



TUGAS AKHIR - RC14-1501

**ALTERNATIF PERENCANAAN GEOTEKNIK UNTUK
PEMBANGUNAN KOLAM LONCAT INDAH
DI BANJARMASIN**

NOOR HADIAWATI AISYAH
NRP. 3114 105 009

Dosen Pembimbing I
Prof. Ir. Indrasurya B. Mochtar, M.Sc. Ph.D

Dosen Pembimbing II
Ir. Suwarno, M.Eng

JURUSAN TEKNIK SIPIL
Fakultas Teknik Sipil dan Perencanaan
Institut Teknologi Sepuluh Nopember
Surabaya 2017



TUGAS AKHIR RC - 14-1501

**ALTERNATIF PERENCANAAN GEOTEKNIK UNTUK
PEMBANGUNAN KOLAM LONCAT INDAH
DI BANJARMASIN**

NOOR HADIAWATI AISYAH
NRP. 3114 105 009

Dosen Pembimbing I
Prof. Ir. Indrasurya B. Mochtar, M.Sc, Ph.D

Dosen Pembimbing II
Ir. Suwarno, M.Eng

JURUSAN TEKNIK SIPIL
Fakultas Teknik Sipil dan Perencanaan
Institut Teknologi Sepuluh Nopember
Surabaya 2017



FINAL PROJECT - RC141501

**GEOTECHNICAL PLANNING ALTERNATIVES FOR
CONSTRUCTION OF DIVING POOL IN BANJARMASIN**

NOOR HADIAWATI AISYAH
NRP. 3114 105 009

Supervisor I
Prof. Ir. Indrasurya B. Mochtar, M.Sc, Ph.D

Supervisor II
Ir. Suwarno, M.Eng

DEPARTEMENT OF CIVIL ENGINEERING
Faculty of Civil Engineering and Planning
Sepuluh Nopember Institute Of Technology
Surabaya 2017

**ALTERNATIF PERENCANAAN GEOTEKNIK
UNTUK PEMBANGUNAN KOLAM LONCAT INDAH
DI BANJARMASIN**

TUGAS AKHIR
Diajukan Untuk Memenuhi Salah Satu Syarat
Memperoleh Gelar Sarjana Teknik
pada
Bidang Studi Geoteknik
Program Studi S-1 Lintas Jalur Jurusan Teknik Sipil
Fakultas Teknik Sipil dan Perencanaan
Institut Teknologi Sepuluh Nopember

Oleh :
NOOR HADIAWATI AISYAH
Nrp. 3114 105 009

Disetujui oleh Pembimbing Tugas Akhir :

Pembimbing I :

1. Prof. Ir. Indrasurya B. M. M.Sc, Ph.D

Pembimbing II :

2. Ir. Suwarno, M.Eng



**SURABAYA
JANUARI, 2017**

ALTERNATIF PERENCANAAN GEOTEKNIK UNTUK PEMBANGUNAN KOLAM LONCAT INDAH DI BANJARMASIN

Nama Mahasiswa : Noor Hadiawati Aisyah

NRP : 3114105009

Jurusan : Teknik Sipil FTSP-ITS

Dosen Pembimbing : 1. Prof. Ir. Indrasurya B.M, M.Sc., Ph.D

2. Ir. Suwarno, M.Eng

Abstrak

Pembangunan kolam loncat indah dengan dimensi 21 x 17 x 6.5 m di Banjarmasin, Kalimantan Selatan mengalami kelongsoran pada tanah galian yang diakibatkan oleh kurangnya jumlah turap mikropile ukuran 25 x 25 cm sedalam 10m yang dipancang di lapangan, sedangkan berdasarkan hasil analisis dibutuhkan sebanyak 10 buah dengan spasi 1.25 m. Hal ini juga disebabkan adanya penumpukan tanah bekas galian setinggi 4 m dan kondisi tanah dari hasil penyelidikan tersebut dominan lanau kelempungan dengan NSPT 1 di kedalaman yang bervariasi, mulai dari kedalaman 19-22 m.

Pada tugas akhir ini kemudian direncanakan alternatif geoteknik untuk pembangunan kolam loncat indah dengan melakukan penimbunan diatas muka air banjir setinggi H_{final} 2.5 m, kolam loncat indah direncanakan akan dibangun pada tanah timbunan dan tanah dasar sedalam 4.0 m. Perencanaan perkuatan tanah dianalisis terhadap kondisi I dimana terdapat beda tinggi muka air tanah setinggi 4.0m dan kondisi II dimana muka air tanah diturunkan terlebih dahulu menggunakan wellpoint dan pompa sehingga tidak terjadi perbedaan tinggi muka air. Selain itu untuk menahan beban kolam digunakan tiang pancang bore pile d80cm L 30m.

Berdasarkan hasil perhitungan diperoleh H_{insial} 4.20 m, PVD 100 x 5mm spasi 0.70 m dengan pola pemasangan segitiga dan waktu konsolidasi 20 minggu. Perkuatan timbunan dengan

geotextile UW-250 sebanyak 9 lapis. Alternatif perkuatan tanah yang dipilih adalah menggunakan turap steel sheet pile NSP II 400 x 100 x 10.5 mm untuk perkuatan sisi galian dan steel pipe pile d40cm L = 25 m sebagai perkuatan sisi ujung timbunan untuk menghindari turunnya muka air tanah pada area di luar kolam loncat indah. struktur dinding kolam dengan tebal 30 cm dan pelat lantai tebal 50 cm, tiang pancang bor sebanyak 36 buah.

Total biaya material untuk pembangunan kolam locat indah berdasarkan pemilihan alternatif VII adalah sebesar Rp 6.648.818.103,- (Enam milyar enam ratus empat puluh delapan juta delapan ratus delapan belas ribu seratus tiga rupiah)

Kata kunci : Banjarmasin, Kolam Loncat Indah, Turap, Keruntuhan Galian Pada Tanah Lunak, wellpoint

GEOTECHNICAL PLANNING ALTERNATIVES FOR CONSTRUCTION OF DIVING POOL IN BANJARMASIN

| | |
|------------|---|
| Name | : Noor Hadiawati Aisyah |
| NRP | : 3114105009 |
| Department | : Teknik Sipil FTSP-ITS |
| Supervisor | : 1. Prof. Ir. Indrasurya B.M, M.Sc., Ph.D 2. Ir. Suwarno, M.Eng |

Abstract

The construction of diving pool dimension 21 x 17 x 6,5 m in Banjarmasin, South Kalimantan encountered an collapse on the excavated soil caused by the lack of micropile as a sheet pile amount with the size of 25 x 25 cm and with the depth of 10m staked in the field, whilst, based on the analysis result, 10 micropile as a sheet pile with the space of 1.25 m are required. It is also caused by a buildup of ground excavated with the height of 4 m and the condition of the soil from the investigation result is dominant of silty clay with NSPT 1 in variant depth starting from 19-22 m.

In this final project, then planned a geotechnical alternatives for the construction of diving pool by doing a hoarding at the above of the flood water level with the height of H_{final} 2.5 m, it is planned that the diving pool will be built on the soil embankment and on the subgrade with the depth of 4.0 m. Soil reinforcement planning is analyzed towards condition I where there is a height difference of ground water level with the height of 4.0 m and condition II where the ground water level is lowered in advance using a wellpoint and a pump so that there would not be a difference of water level. Besides, to withstand the pool load, a d80cm L 30m bore pile is used.

Based on the calculation result, H_{insial} 4.20 m, PVD 100 x 5mm space 0.70 m with triangle mounting pattern and 20 weeks consolidation time. The embankment reinforcement with 9 layers of UW-250. Alternative soil reinforcement chosen is using steel sheet pile type NSP II 400 x 100 x 10.5 mm for the cultivation of

the excavation and steel pipe pile d 40cm L = 25 m as a reinforcement of the end side of embankment to avoid the fall of the groundwater levels on the area outside the diving pool. The wall structure with the thickness of 30 cm, 50 cm slab, and 36 bored piles as pile foundation.

The total of material costs for the construction of diving pool based on alternative VII choice is Rp 6.648.818.103,- (Six billion six hundred and forty-eight million eight hundred and eighteen thousand one hundred and three rupiahs).

Keywords : Banjarmasin, Diving Pool, Sheet Pile, Excavation Collapse in Soft Soil, Wellpoint.

KATA PENGANTAR

Segala puji bagi Allah SWT yang telah melimpahkan berkat dan rahmat-Nya, sehingga penulis dapat menyelesaikan Tugas Akhir yang berjudul "**Alternatif Perencanaan Geoteknik Untuk Pembangunan Kolam Loncat Indah di Banjarmasin**".

Tugas Akhir ini disusun untuk memenuhi salah satu syarat memperoleh gelar Sarjana Teknik pada Program Studi S-1 Lintas Jalur Teknik Sipil, Fakultas Teknik Sipil dan Perencanaan, Institut Teknologi Sepuluh Nopember Surabaya.

Penulis menyadari bahwa Tugas Akhir ini tidak dapat diselesaikan tanpa pihak-pihak yang mendukung, membimbing, dan membantu baik selama pelaksanaan dan penyusunannya, sehingga dalam kesempatan ini penulis mengucapkan terima kasih kepada :

1. Ayahanda Marhadi dan Ibunda Masnawati, keluarga serta sahabat yang selalu memberikan dorongan baik materiil dan moril;
2. Bapak Prof. Ir. Indrasurya B. Mochtar, M.Sc, Ph.D, selaku dosen pembimbing I;
3. Bapak Ir. Suwarno, M.Eng, selaku dosen pembimbing II;
4. Ibu Dr. Yudhi Lastiasih, S.T., M.T. dan Bapak Musta'in Arif, S.T., M.T., selaku dosen konsultasi Proposal Tugas Akhir;
5. Seluruh dosen, staff dan teman-teman Lintas Jalur 2014 Jurusan Teknik Sipil ITS.

Akhir kata, Penulis menyadari sepenuhnya bahwa Tugas Akhir ini masih banyak kekurangan dan jauh dari sempurna, oleh karena itu penulis mengharapkan kritik dan saran yang bersifat membangun. Semoga laporan ini dapat bermanfaat bagi penulis khususnya dan bagi pembaca umumnya.

Surabaya, Januari 2017
Penulis

"Halaman ini sengaja dikosongkan"

DAFTAR ISI

| | |
|--|------|
| HALAMAN JUDUL | i |
| LEMBAR PENGESAHAN | ii |
| ABSTRAK | iii |
| ABSTRACT | v |
| KATA PENGANTAR | vii |
| DAFTAR ISI | ix |
| DAFTAR GAMBAR | xiii |
| DAFTAR TABEL | xvii |
| BAB I PENDAHULUAN | 1 |
| 1.1. Latar Belakang | 1 |
| 1.2. Perumusan Masalah | 2 |
| 1.3. Tujuan | 3 |
| 1.4. Manfaat | 3 |
| 1.5. Batasan Masalah | 3 |
| 1.6. Kondisi Aktual Proyek | 4 |
| BAB II TINJAUAN PUSTAKA | 9 |
| 2.1. Karakteristik Tanah Lempung | 9 |
| 2.2. Korelasi SPT | 10 |
| 2.3. Stabilitas Lereng | 14 |
| 2.3.1. Lereng Terbatas | 16 |
| 2.3.2. Metode Bishop | 18 |
| 2.4. Tekanan Tanah Lateral | 20 |
| 2.4.1. Tekanan Tanah Aktif dan Tekanan Tanah Pasif | 20 |
| 2.4.2. Pengaruh Beban di Atas Tanah | 23 |
| 2.5. Perkuatan Dengan Turap | 26 |
| 2.5.1. Tipe Turap | 27 |
| 2.5.2. Turap Kantilever dalam Tanah Kohesif | 32 |
| 2.5.3. Defleksi Tiang | 35 |
| 2.6. Cerucuk | 38 |
| 2.7. Metode <i>Preloading</i> | 43 |
| 2.7.1. Pemampatan Konsolidasi | 43 |
| 2.7.2. Distribusi Tegangan | 44 |
| 2.7.3. Waktu Konsolidasi | 45 |

| | |
|---|----|
| 2.7.4. Penentuan Tinggi Timbunan Awal | 47 |
| 2.7.5. Peningkatan Daya Dukung Tanah dengan Metode <i>Preloading</i> | 48 |
| 2.8. Percepatan Pemampatan dengan <i>Vertical Drain</i> | 49 |
| 2.8.1. Menentukan Kedalaman <i>Vertical Drain</i> | 50 |
| 2.8.2. Menentukan Waktu Konsolidasi akibat <i>Vertikal Drain</i> | 50 |
| 2.9. Perkuatan dengan <i>Geotextile</i> | 53 |
| 2.10. Daya Dukung Tiang Bor..... | 58 |
| 2.11. <i>Dewatering</i> | 60 |
| 2.12. Dinding dan Pelat Lantai | 66 |
| 2.9.1. Dimensi dan Penulangan | 66 |
| 2.9.2. Kontrol <i>Uplift</i> | 68 |
| BAB III METODOLOGI | 71 |
| 3.1. Bagan Alir | 71 |
| 3.2. Studi Literatur..... | 73 |
| 3.3. Pengumpulan dan Analisis Data..... | 74 |
| 3.4. Analisis Penyebab Kelongsoran..... | 74 |
| 3.5. Perencanaan Alternatif Geoteknik..... | 74 |
| 3.6. Kesimpulan dan Saran..... | 75 |
| BAB IV ANALISIS DATA TANAH DAN DATA PERENCANAAN..... | 77 |
| 4.1. Data Tanah..... | 77 |
| 4.1.1. Lokasi Pengambilan Data..... | 77 |
| 4.1.2. Data <i>Standart Penetration Test</i> | 77 |
| 4.1.3. Penentuan Parameter Tanah | 77 |
| 4.1.4. Pengolahan Data Tanah..... | 78 |
| 4.2. Data Spesifikasi Bahan..... | 83 |
| 4.2.1. Data <i>Existing</i> | 83 |
| 4.2.2. Data Perencanaan | 83 |
| BAB V PEMBAHASAN | 85 |
| 5.1. Kronologis Pelaksanaan | 85 |
| 5.2. Analisis Penyebab Kelongsoran | 88 |
| 5.2.1. Perhitungan beban yang bekerja..... | 88 |
| 5.2.2. Analisis Turap Sebagai Cerucuk | 88 |

| | |
|---|-----|
| 5.3. Alternatif Geoteknik Untuk Pembangunan Kolam Loncat Indah..... | 95 |
| 5.3.1. Perhitungan H initial dan H final..... | 95 |
| 5.3.2. Perhitungan Waktu Konsolidasi | 101 |
| 5.3.3. Perencanaan <i>Prefabricated Vertical Drain</i> (PVD)..... | 102 |
| 5.3.4. Penimbunan Bertahap..... | 110 |
| 5.3.5. Perencanaan Geotextile sebagai Perkuatan Timbunan | 118 |
| 5.3.6. Perencanaan Turap Kondisi I | 126 |
| 5.3.7. Perencanaan Turap Kondisi II | 145 |
| 5.3.8. Perencanaan Dinding Kolam | 159 |
| 5.3.9. Perencanaan Struktur Lantai..... | 162 |
| 5.4. Alternatif Geoteknik Untuk Pembangunan Kolam Renang 180 | |
| 5.4.1. Perencanaan Dinding Kolam Renang..... | 180 |
| 5.4.2. Perencanaan Struktur Lantai Kolam Renang..... | 183 |
| 5.1. Perhitungan Biaya Material | 200 |
| 5.5.1. Biaya Material untuk Alternatif Kolam Loncat Indah | 201 |
| 5.5.2. Biaya Material untuk Kolam Renang | 207 |
| BAB VI KESIMPULAN DAN SARAN | 209 |
| 6.1. Kesimpulan..... | 209 |
| 6.2. Saran | 213 |
| DAFTAR PUSTAKA..... | 215 |
| LAMPIRAN | |
| BIODATA PENULIS | |

"Halaman ini sengaja dikosongkan"

DAFTAR GAMBAR

| | | |
|-------------|--|----|
| Gambar 1.1 | Site plan Kolam Loncat Indah | 4 |
| Gambar 1.2 | Titik Lokasi Penyelidikan Tanah Lapangan | 4 |
| Gambar 1.3 | Kondisi Tanah Dan Turap Yang Longsor..... | 5 |
| Gambar 1.4 | Kondisi <i>Bracing</i> Baja | 5 |
| Gambar 1.5 | Kelongsonan Turap dan Cerucuk Batang Kelapa | 6 |
| Gambar 1.6 | Kelongsonan Tanah dan Turap..... | 6 |
| Gambar 1.7 | Skur Baja WF Melengkung | 7 |
| Gambar 1.8 | Sketsa Model Keruntuhan Tanah Potongan A-A (tanpa skala) | 7 |
| Gambar 1.9 | Sketsa Model Keruntuhan Tanah Potongan B-B (tanpa skala)..... | 8 |
| Gambar 2.1 | Sketsa Jenis Keruntuhan | 14 |
| Gambar 2.2 | Stabilitas Lereng Terbatas | 16 |
| Gambar 2.3 | Gaya-Gaya Yang Bekerja Pada Irisan | 18 |
| Gambar 2.4 | Distribusi Tekanan Tanah Aktif dan Pasif Rankine Untuk Permukaan Tanah Horizontal | 21 |
| Gambar 2.5 | Tekanan Tanah Lateral Akibat Beban Terbagi Rata q | 23 |
| Gambar 2.6 | Tekanan Tanah Pada Dinding Akibat Beban Titik. | 24 |
| Gambar 2.7 | Tekanan Tanah Pada Dinding Akibat Beban Garis | 25 |
| Gambar 2.8 | Tekanan Tanah Pada Dinding Akibat Beban Terbagi Rata Memanjang..... | 26 |
| Gambar 2.9 | Contoh Penurapan..... | 27 |
| Gambar 2.10 | Turap Kayu | 28 |
| Gambar 2.11 | Turap Beton | 28 |
| Gambar 2.12 | Turap Baja | 29 |
| Gambar 2.13 | Dinding Turap Kantilever..... | 30 |
| Gambar 2.14 | Dinding Turap Diangker..... | 31 |
| Gambar 2.15 | Dinding Turap Dengan Landasan..... | 32 |
| Gambar 2.16 | Tekanan Tanah Awal Pada Turap Kantilever Yang Dipancang Pada Tanah Kohesif..... | 33 |

| | |
|---|----|
| Gambar 2.17 Tekanan Tanah Pada Perancangan Turap Dalam Tanah Kohesif Dengan Tanah Urug Granuler | 35 |
| Gambar 2.18 Asumsi Gaya yang di terima Cerucuk | 38 |
| Gambar 2.19 Harga f untuk Berbagai Jenis Tanah..... | 40 |
| Gambar 2.20 Grafik untuk Mencari Harga FM | 42 |
| Gambar 2.21 Grafik untuk Menentukan Faktor Pengaruh pada Beban Trapesium (NAVFAC DM – 7, 1970)..... | 45 |
| Gambar 2.22 Harga kenaikan tegangan tanah efektif (σ'_p) sejalan dengan waktu pada tanah yang terkonsolidasi..... | 49 |
| Gambar 2.23 Pemasangan <i>vertical drain</i> pada kedalaman lapisan <i>compressible</i> | 50 |
| Gambar 2.24 Pola susunan PVD bujur sangkar | 51 |
| Gambar 2.25 Pola susunan PVD segitiga | 51 |
| Gambar 2.26 Konsolidasi tanah lunak dengan vertical drain. | 52 |
| Gambar 2.27 <i>External Stability</i> pada <i>Geotextile Walls</i> (a) Aman terhadap geser (b) Aman terhadap geser (c) Aman terhadap kelongsoran daya dukung..... | 56 |
| Gambar 2.28 <i>Open Pumping</i> | 60 |
| Gambar 2.29 <i>Predrainage</i> | 61 |
| Gambar 2.30 <i>Predrainage</i> Dengan <i>Wellpoint</i> | 62 |
| Gambar 2.31 <i>Cut Off Dewatering</i> | 63 |
| Gambar 2.32 <i>Confined Aquifer</i> | 64 |
| Gambar 2.33 <i>Water Table Aquifer</i> | 65 |
| Gambar 2.34 <i>Profil Well System</i> | 66 |
| Gambar 3.1 Diagram Alir Tugas Akhir..... | 72 |
| Gambar 4.1 Grafik Hubungan Antara N-SPT dengan Kedalaman | 78 |
| Gambar 4.2 Konsistensi Lapisan Tanah | 79 |
| Gambar 4.3 Detail Turap Minipile Beton di Lapangan | 83 |
| Gambar 5.1 Penumpukan Bekas Galian Tanah | 85 |
| Gambar 5.2 Pemasangan Skur Baja WF | 86 |
| Gambar 5.3 Skur Baja dengan Perkuatan Kremona | 87 |
| Gambar 5.4 Kondisi Struktur Kolam Akibat Kelongsoran | 87 |
| Gambar 5.5 Permodelan Analisis Kelongsoran..... | 89 |

| | |
|---|-----|
| Gambar 5.6 Bidang Longsor dengan Perkuatan Turap | 89 |
| Gambar 5.7 Permodelan Alternatif Pembangunan Kolam Loncat Indah | 95 |
| Gambar 5.8 Kurva Hubungan Antara $H_{initial}$ & H_{final} | 99 |
| Gambar 5.9 Kurva Hubungan Antara H_{final} & <i>Settlement</i> | 100 |
| Gambar 5.10 Grafik Hubungan antara Waktu Konsolidasi dengan Derajat Konsolidasi Pola Pemasangan Segitiga . | 109 |
| Gambar 5.11 Grafik Hubungan antara Waktu Konsolidasi dengan Derajat Konsolidasi Pola Pemasangan Segiempat | 109 |
| Gambar 5.12 Grafik Hubungan $H_{timbunan}$ & $SF_{minimum}$ | 111 |
| Gambar 5.13 Model Bidang Longsor Timbunan..... | 118 |
| Gambar 5.14 Sketsa Perkuatan Timbunan di sisi Galian | 123 |
| Gambar 5.15 Permodelan Perencanaan Turap Kondisi I..... | 126 |
| Gambar 5.16 Diagram Tekanan Kondisi I..... | 132 |
| Gambar 5.17 Diagram Momen Kondisi I..... | 139 |
| Gambar 5.18 Hasil Output PCA-Col untuk <i>Bored Pile</i> Dimensi 1200 mm..... | 141 |
| Gambar 5.19 Permodelan Perencanaan Turap dan <i>wellpoit</i> pada Kondisi II | 145 |
| Gambar 5.20 Diagram Tekanan Kondisi II | 146 |
| Gambar 5.21 Diagram Momen Tekanan Kondisi II | 150 |
| Gambar 5.22 Hasil Output PCA-Col untuk Bored Pile Dimensi 600 mm | 156 |
| Gambar 5.23 Sketsa Perencanaan Struktur Lantai Kolam..... | 162 |
| Gambar 5.24 Konfigurasi Tiang $D_s = 0.8$ m | 168 |
| Gambar 5.25 Permodelan Pelat Lantai pada Program SAP | 171 |
| Gambar 5.26 Diagram Momen Pelat Lantai Output Program SAP | 171 |
| Gambar 5.27 Hasil Output PCA-Col untuk Bored Pile Dimensi 800 mm | 176 |
| Gambar 5.28 Sketsa Perencanaan Kolam Renang | 180 |
| Gambar 5.29 Konfigurasi Tiang 5×8 $D_s = 0.8$ m | 188 |
| Gambar 5.30 Permodelan Pelat Lantai Kolam Renang pada Program SAP | 191 |

| | |
|---|-----|
| Gambar 5.31 Diagram Momen Pelat Lantai Kolam Renang Output Program SAP | 191 |
| Gambar 5.32 Hasil Output PCA-Col untuk Bored Pile Dimensi 800 mm | 196 |

DAFTAR TABEL

| | | |
|------------|---|-----|
| Tabel 2.1 | Korelasi SPT..... | 10 |
| Tabel 2.2 | Representatif Nilai γ_d dan γ_{sat} | 11 |
| Tabel 2.3 | Konsistensi Tanah Untuk Tanah Dominan Lanau dan Lempung | 12 |
| Tabel 2.4 | Pedoman Memprakirakan Harga ϕ Dari Harga N _{SPT} . Untuk Tanah Dominan Pasir (Dari Teng, 1962)..... | 12 |
| Tabel 2.5 | Perkiraan Harga ϕ Untuk Tanah Kohesif | 13 |
| Tabel 2.6 | Nilai Perkiraan Modulus Elastisitas Tanah | 13 |
| Tabel 2.7 | Poisson's Ratio | 14 |
| Tabel 2.8 | Nilai Hc Berdasarkan Konsistensi Tanah..... | 15 |
| Tabel 2.9 | Nilai Perkiraan Kedalaman Penembusan Turap Berdasarkan Nilai SPT | 33 |
| Tabel 2.10 | Nilai Nh untuk Tanah Granuler (c=0) | 36 |
| Tabel 2.11 | Nilai Nh untuk Tanah Kohesif (Paulo dan Davis, 1980) | 37 |
| Tabel 2.12 | Variasi Faktor Waktu terhadap Derajat Konsolidasi | 46 |
| Tabel 2.13 | Nilai Faktor Geotekstil | 54 |
| Tabel 2.14 | Hambatan antar Tanah dan Pondasi | 57 |
| Tabel 2.15 | Tebal Minimum Pelat Tanpa Balok Interior* | 67 |
| Tabel 4.1 | Hasil Analisis Korelasi SPT Titik B-1 | 80 |
| Tabel 4.2 | Hasil Analisis Data Tanah Berdasarkan Ardhana Mochtar | 82 |
| Tabel 4.3 | Spesifikasi Tiang Pancang dan Turap | 83 |
| Tabel 5.1 | Hasil Output Permodelan X-stabl..... | 90 |
| Tabel 5.2 | Rekapitulasi Perhitungan H inisial dan Penurunan | 99 |
| Tabel 5.3 | Hasil Perhitungan $\Sigma H\sqrt{Cv}$ | 101 |
| Tabel 5.4 | Faktor Hambatan PVD untuk Pola Pemasangan Segitiga | 103 |
| Tabel 5.5 | Hasil Perhitungan Derajat Konsolidasi Total untuk Pola Pemasangan Segitiga dengan Spasi 0.70 m ... | 105 |
| Tabel 5.6 | Faktor Hambatan PVD untuk Pola Pemasangan Segiempat..... | 107 |

| | |
|---|-----|
| Tabel 5.7 Hasil Perhitungan Derajat Konsolidasi Total untuk Pola Pemasangan Segiempat dengan Spasi 0.70 m | 108 |
| Tabel 5.8 Rekapitulasi SF min dengan Variasi Tinggi Timbunan | 110 |
| Tabel 5.9 Tahapan Penimbunan Minggu ke-9..... | 111 |
| Tabel 5.10 Hasil Perhitungan Tegangan di tiap Lapisan Tanah U=100% | 113 |
| Tabel 5.11 Rumusan Penambahan Tegangan Efektif Akibat Beban Timbunan Apabila $U < 100\%$ | 114 |
| Tabel 5.12 Hasil Perhitungan Tegangan di tiap Lapisan Tanah, $U < 100\%$ | 116 |
| Tabel 5.13 Peningkatan Nilai Cu pada Minggu ke-9 | 117 |
| Tabel 5.14 Hasil Perhitungan Momen Penahan Geotextile dan Panjang Geotextile di belakang Bidang Longsor... <td>121</td> | 121 |
| Tabel 5.15 Perhitungan Panjang Geotextile di depan Bidang Longsor | 122 |
| Tabel 5.16 Perhitungan Panjang Total Geotextile..... | 122 |
| Tabel 5.17 Perhitungan Tekanan Tanah | 130 |
| Tabel 5.18 Perhitungan Gaya Akibat Tekanan Air Kondisi I .. | 133 |
| Tabel 5.19 Perhitungan Gaya Akibat Tekanan Tanah Aktif Kondisi I | 133 |
| Tabel 5.20 Perhitungan Gaya Akibat Tekanan Tanah Pasif Kondisi I | 134 |
| Tabel 5.21 Perhitungan Momen pertitik Kondisi I..... | 136 |
| Tabel 5.22 Perhitungan Gaya Akibat Tekanan Tanah Aktif Kondisi II | 147 |
| Tabel 5.23 Perhitungan Gaya Akibat Tekanan Tanah Pasif Kondisi II | 147 |
| Tabel 5.24 Perhitungan Momen pertitik Kondisi II..... | 149 |
| Tabel 5.25 Harga Qe dengan Berbagai Variasi Diameter | 164 |
| Tabel 5.26 Rekapitulasi Qs dengan $D = 0.8 \text{ m}$ $L = 30 \text{ m}$ | 166 |
| Tabel 5.27 Daya dukung ijin tiang dengan variasi Ds Tiang Bor Kolam Loncat Indah | 167 |
| Tabel 5.28 Konfigurasi Tiang Bor Berdasarkan Ds | 170 |

| | | |
|------------|--|-----|
| Tabel 5.29 | Harga Qe dengan Berbagai Variasi Diameter Tiang Bor Kolam Renang | 184 |
| Tabel 5.30 | Rekapitulasi Qs dengan D = 0.8 m L=34 m | 186 |
| Tabel 5.31 | Daya dukung ijin tiang dengan variasi Ds Tiang Bor Kolam Renang | 187 |
| Tabel 5.32 | Konfigurasi Tiang Bor Kolam Renang Berdasarkan Ds | 190 |
| Tabel 5.33 | Harga Satuan Material..... | 200 |
| Tabel 5.34 | Total Biaya Alternatif I | 201 |
| Tabel 5.35 | Total Biaya Alternatif II | 202 |
| Tabel 5.36 | Total Biaya Alternatif III..... | 202 |
| Tabel 5.37 | Total Biaya Alternatif IV..... | 203 |
| Tabel 5.38 | Total Biaya Alternatif V | 203 |
| Tabel 5.39 | Total Biaya Alternatif VI..... | 204 |
| Tabel 5.40 | Total Biaya Alternatif VII | 204 |
| Tabel 5.41 | Total Biaya Alternatif VIII..... | 205 |
| Tabel 5.42 | Total Biaya Alternatif IX..... | 205 |
| Tabel 5.43 | Total Biaya Alternatif X | 206 |
| Tabel 5.44 | Total Biaya Material untuk Berbagai Alternatif.... | 206 |
| Tabel 5.45 | Total Biaya Material Pembangunan Kolam Renang | 207 |
| Tabel 6.1 | Total Biaya Material untuk Berbagai Alternatif Pembangunan Kolam Loncat Indah..... | 212 |
| Tabel 6.2 | Total Biaya Material untuk Pembangunan Kolam Renang | 213 |

"Halaman ini sengaja dikosongkan"

BAB I

PENDAHULUAN

1.1. Latar Belakang

Atlet loncat indah Kontingen Provinsi Kalimantan Selatan pernah merajai loncat indah di Pekan Olahraga Nasional (PON) Jakarta tahun 1996 dengan merebut tiga medali emas dibagian putri melalui Dwi Mariastuti dan Husaini Noor yang juga meraih tiga emas di kelompok putra. Di ajang *Southeast Asian* (SEA) Games pun, Dwi Mariastuti menyumbangkan medali emas bagi Indonesia. Begitu juga Surya Saputra mendulang emas di PON maupun di SEA Games.(Banjarmasin Post, 2014)

Seiring dengan target Pemerintah Provinsi Kalimantan Selatan untuk mengembalikan kejayaan atlet renang dan loncat indah di ajang PON dan SEA Games waktu mendatang, Ketua Pengurus Provinsi Persatuan Renang Seluruh Indonesia (PRSI) Kalimantan Selatan Nasib Alamsyah mengatakan, atlet loncat indah daerahnya sangat memerlukan penambahan fasilitas kolam loncat indah untuk latihan, agar bisa memenangi kejuaraan berbagai pertandingan.(Repubika Online, 2014)

Terkait dengan rencana tersebut, Pemerintah melakukan pembangunan kolam loncat indah dengan standar Fédération Internationale de Natation (FINA), yaitu dengan ukuran 21 m x 17 m x 6,5 m dan *platform* tertinggi 10 m. Pembangunan tersebut berlokasi di salah satu gedung olahraga di Banjarmasin, Kalimantan Selatan. Dimana pada lokasi tersebut dilakukan penyelidikan tanah lapangan *Standart Penetration Test* dan *Bore Log* sampai kedalaman 40 m pada 5 titik di sekitar area lokasi perencanaan. Kondisi tanah dari hasil penyelidikan tersebut adalah dominan jenis tanah lanau kelempungan dengan NSPT 1 di kedalaman yang bervariasi, mulai dari kedalaman 19-22 m.

Selama proses pembangunan kolam loncat indah, struktur turap dengan *bracing strut* dipergunakan untuk menahan tebing galian tanah sedalam 6 m. Namun, saat pelaksanaan penggalian

tanah di lapangan, terjadi kegagalan konstruksi yang disebabkan karena penggalian tanah yang dilakukan sekaligus sedalam 3 m, mengakibatkan dinding-dinding turap dan *strut* melengkung ke bagian dalam kolam, sehingga terjadi keruntuhan pada tebing galian dan struktur turap.

Penyebab lainnya juga ditimbulkan karena penumpukan tanah bekas galian setinggi kurang lebih 4 m di sisi utara kolam menjadi beban tambahan pada tanah dasarnya. Pelaksanaan konstruksi juga dilakukan saat curah hujan mulai tinggi, sehingga *slidding* tanah semakin menekan dinding turap ke arah dalam. Hal-hal tersebut semakin memperparah kondisi keruntuhan yang terjadi pada struktur penahan dan tanahnya.

Analisis mengenai penyebab terjadinya kelongsoran tanah galian, kegagalan struktur turap dan alternatif geoteknik perlu dilakukan untuk membuktikan dan memberikan solusi atas permasalahan yang ada pada pembangunan kolam loncat indah tersebut. Berdasarkan uraian di atas, maka diperlukan penelitian dengan judul "**Alternatif Perencanaan Geoteknik Untuk Pembangunan Kolam Loncat Indah di Banjarmasin**".

1.2. Perumusan Masalah

Berdasarkan uraian latar belakang, maka dapat dirumuskan suatu permasalahan sebagai berikut;

- 1) Apakah penyebab terjadinya kelongsoran tanah galian dan kegagalan struktur turap?
- 2) Bagaimana alternatif geoteknik untuk pembangunan kolam loncat indah di lokasi tersebut?
- 3) Bagaimana kah perencanaan struktur dinding dan lantai kolam loncat indah?
- 4) Bagaimana kah perencanaan struktur dinding dan lantai kolam renang ?
- 5) Berapa biaya berdasarkan kebutuhan material untuk pembangunan kolam loncat indah dan renang?
- 6) Alternatif manakah yang paling optimal dari segi biaya untuk pembangunan kolam loncat indah?

1.3. Tujuan

Berdasarkan perumusan masalah di atas, maka tujuan yang ingin dicapai dari penelitian ini adalah untuk mengetahui;

- 1) Penyebab terjadinya kelongsoran tanah dan kegagalan struktur turap,
- 2) Berbagai alternatif geoteknik untuk pembangunan kolam loncat indah di Banjarmasin,
- 3) Dimensi struktur dinding dan pelat lantai kolam loncat indah,
- 4) Dimensi struktur dinding dan pelat lantai kolam loncat renang
- 5) Total biaya material untuk pembangunan kolam loncat indah dan renang,
- 6) Alternatif yang paling optimal dari segi biaya.

1.4. Manfaat

Manfaat yang dapat diperoleh dari penelitian ini adalah diharapkan dapat memberikan masukan kepada pelaksana dan perencana proyek mengenai alternatif geoteknik untuk pembangunan kolam loncat indah, khususnya pada lokasi yang memiliki jenis tanah dasar dominan lanau kelempungan yang sangat lunak.

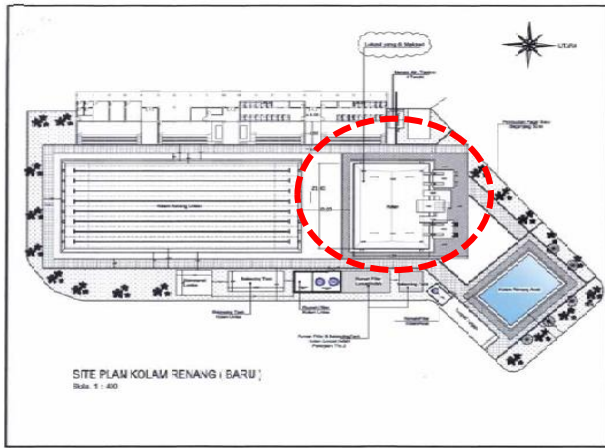
1.5. Batasan Masalah

Untuk memperkecil ruang lingkup, maka penelitian ini dilakukan dengan beberapa batasan masalah, sebagai berikut;

- 1) Tidak memperhitungkan struktur menara loncat dan bangunan penunjang lainnya
- 2) Pemilihan alternatif perencanaan hanya diperhitungkan dari segi biaya material
- 3) Tidak memperhitungkan rencana anggaran biaya atas jenis perkuatan dan metode yang dipilih
- 4) Tidak menjelaskan mengenai metode pelaksanaan di lapangan.

1.6. Kondisi Aktual Proyek

Gambar 1.1 menunjukkan *site plan* dari pembangunan kolam loncat indah dan Gambar 1.2 menunjukkan lokasi dari titik-titik penyelidikan tanah lapangan.



Gambar 1.1 *Site plan* Kolam Loncat Indah
 (Sumber: Konsultan Perencana Proyek)



Gambar 1.2 Titik Lokasi Penyelidikan Tanah Lapangan
(Sumber: Konsultan Perencanaan Proyek)

Dokumentasi kondisi kolam loncat indah di Banjarmasin yang mengalami kegagalan struktur saat proses pelaksanaan fisik, dapat dilihat pada Gambar 1.3 dan Gambar 1.4



Gambar 1.3 Kondisi Tanah Dan Turap Yang Longsor
(Sumber: Konsultan Pengawas Proyek)



Gambar 1.4 Kondisi *Bracing Baja*
(Sumber: Konsultan Pengawas Proyek)

Gambar 1.5 dan Gambar 1.6 menunjukkan kelongsoran turap, cerucuk, serta kelongsoran tanah.



Gambar 1.5 Kelongsoran Turap dan Cerucuk Batang Kelapa
(Sumber : Konsultan Pengawas Proyek)



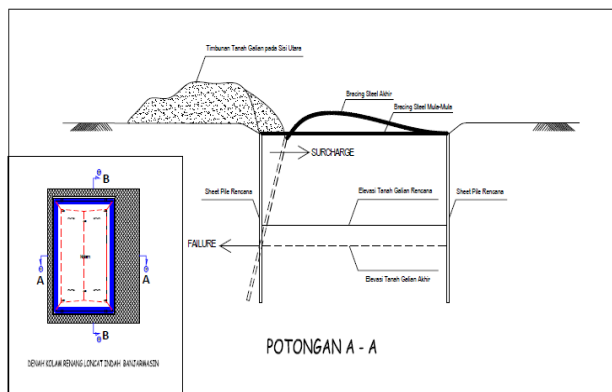
Gambar 1.6 Kelongsoran Tanah dan Turap
(Sumber : Konsultan Pengawas Proyek)

Gambar 1.7 menunjukkan skur baja WF yang melengkung akibat kegagalan struktur, sedangkan pada Gambar 1.8 dan Gambar 1.9 merupakan hasil observasi visual yang

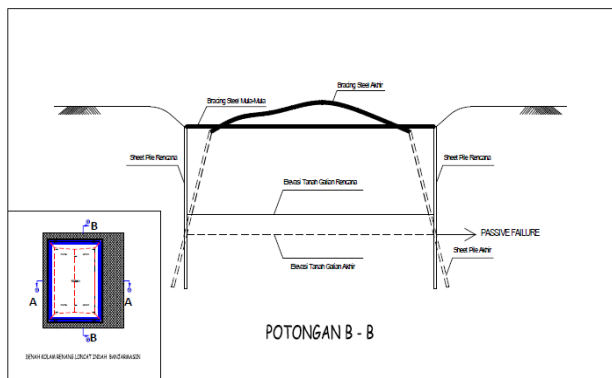
memperlihatkan sketsa awal mengenai model keruntuhan tanah pada dinding galian kolam loncat indah Banjarmasin



Gambar 1.7 Skur Baja WF Melengkung
(Sumber : Konsultan Pengawas Proyek)



Gambar 1.8 Sketsa Model Keruntuhan Tanah Potongan A-A
(tanpa skala)
(Sumber : Konsultan Pengawas Proyek)



Gambar 1.9 Sketsa Model Keruntuhan Tanah Potongan B-B
 (tanpa skala)
 (Sumber : Konsultan Pengawas Proyek)

BAB II

TINJAUAN PUSTAKA

2.1. Karakteristik Tanah Lempung

Pelapukan tanah akibat reaksi kimia menghasilkan susunan kelompok partikel berukuran koloid dengan diameter butiran lebih kecil dari 0,002 mm disebut mineral lempung. Partikel lempung berbentuk seperti lembaran yang mempunyai permukaan khusus, sehingga lempung mempunyai sifat sangat dipengaruhi oleh gaya-gaya permukaan (Hardiyatmo, 2010).

Pada beberapa kasus, partikel berukuran antara 0,002 mm sampai 0,005 mm juga masih digolongkan sebagai partikel lempung (ASTM D-653). Disini tanah diklasifikasikan sebagai lempung hanya berdasarkan ukurannya saja, padahal belum tentu tanah dengan ukuran partikel lempung tersebut mengandung mineral-mineral lempung (Das, 1998).

Dari segi mineral yang disebut tanah lempung ialah yang mempunyai partikel-partikel mineral tertentu yang menghasilkan sifat-sifat plastis pada tanah bila dicampur dengan air (Grim, 1953). Sifat-sifat yang dimiliki tanah lempung (Hardiyatmo, 1999) adalah sebagai berikut:

1. Ukuran butir halus, kurang dari 0,002 mm
2. Permeabilitas rendah
3. Kenaikan air kapiler tinggi
4. Bersifat sangat kohesif
5. Kadar kembang susut yang tinggi
6. Proses konsolidasi lambat.

Sesuai dengan karakteristiknya, tanah lempung merupakan tanah yang dapat mengalami penyusutan (*Shrinkage*) dan pengembangan (*Swelling*). Penyusutan dan pengembangan inilah yang biasanya berpengaruh terhadap konstruksi yang ditahannya. Selain itu, tanah lempung memiliki sifat yang kurang menguntungkan secara teknis bagi pekerjaan konstruksi karena memiliki pemampatan yang besar dalam waktu yang lama.

2.2. Korelasi SPT

Nilai SPT dapat digunakan untuk menghitung sifat *friction angle* (ϕ), *relative density* (Dr), kapasitas dukung dan penurunan, kecepatan gelombang geser (v_s) tanah, maupun potensi likuifikasi. Di sisi lain, uji SPT yang sebenarnya dikembangkan untuk tanah berbutir kasar telah diaplikasikan untuk pada tanah berbutir halus untuk memperkirakan *undrained compressive strength* (qu), *undrained shear strength* (Su) dan koefisien kompresibilitas volume (mv).

Perkiraan nilai-nilai tersebut seperti pada Tabel 2.1 dan Tabel 2.2

Tabel 2.1 Korelasi SPT

| Uraian | Tanah Tidak Kohesif | | | | |
|---------------------------------|----------------------------|--------|--------|----------------------------|-------|
| | 0-10 | 11-30 | 31-50 | >50 | |
| Berat isi, kN/m ³ | 12-16 | 14-18 | 16-20 | 18-23 | |
| Sudut geser, ϕ | 25-35 | 28-36 | 30-40 | >35 | |
| Keadaan | Lepas | Sedang | Padat | Sangat padat | |
| Tanah Kohesif | | | | | |
| N | <4 | 4-6 | 6-15 | 16-25 | >25 |
| Berat isi, kN/m ³ | 14-18 | 16-18 | 16-18 | 16-18 | >20 |
| qu, kPa | <25 | 20-50 | 30-60 | 40-200 | >100 |
| Konsistensi | Sangat lunak | Lunak | Sedang | Kenyal (<i>stiff</i>) | Keras |

(Sumber: Bowles & Hanim, 2004)

Tabel 2.2 Representatif Nilai γ_d dan γ_{sat}

| Type | Soil description | Unit weight range (kN/m^3) | |
|--------------------------|---|--------------------------------|-----------|
| | | Dry | Saturated |
| Cohesionless | Soft sedimentary (chalk, shale, siltstone, coal) | 12 | 18 |
| Compacted Broken rock | Hard sedimentary (Conglomerate, sandstone) | 14 | 19 |
| | Metamorphic | 18 | 20 |
| | Igneous | 17 | 21 |
| Sands and gravels | Very loose | 14 | 17 |
| | Loose | 15 | 18 |
| | Medium dense | 17 | 20 |
| | Dense | 19 | 21 |
| | Very dense | 21 | 22 |
| Sands | Loose | | |
| | Uniformly graded | 14 | 17 |
| | Well graded | 16 | 19 |
| | Dense | | |
| | Uniformly graded | 18 | 20 |
| Cohesive | Well graded | 19 | 21 |
| | Soft – organic | 8 | 14 |
| | Soft – non organic | 12 | 16 |
| | Stiff | 16 | 18 |
| | Hard | 18 | 20 |

(Sumber: Look, 2007)

Korelasi nilai Cu dengan NSPT dan sondir untuk tanah dominan lanau dan lempung menurut Mochtar, 2006 seperti pada Tabel 2.3

Tabel 2.3 Konsistensi Tanah Untuk Tanah Dominan Lanau dan Lempung

| Konsistensi tanah | Taksiran harga kekuatan geser undrained, C_u | | Taksiran harga SPT, harga N | Taksiran harga tahanan conus, q_c (dari Sondir) | |
|--------------------------|--|--------------------|-----------------------------|---|------------|
| | kPa | ton/m ² | | kg/cm ² | kPa |
| Sangat lunak (very soft) | 0-12.5 | 0-1.25 | 0-2.5 | 0-10 | 0-1000 |
| Lunak (soft) | 12.5-25 | 1.25-2.5 | 2.5-5 | 10-20 | 1000-2000 |
| Menengah (medium) | 25-50 | 2.5-5.0 | 5-10 | 20-40 | 2000-4000 |
| Kaku (stiff) | 50-100 | 5.0-10 | 10-20 | 40-75 | 4000-7500 |
| Sangat kaku (very stiff) | 100-200 | 10-20 | 20-40 | 75-150 | 7500-15000 |
| Keras (hard) | > 200 | > 20 | > 40 | > 150 | > 15000 |

(Sumber : Mochtar, 2012)

Taksiran harga sudut geser, berat volume jenuh dan kepadatan relatif menurut Mochtar, 2009 seperti pada Tabel 2.4

Tabel 2.4 Pedoman Memprakirakan Harga ϕ Dari Harga N_{SPT}. Untuk Tanah Dominan Pasir (Dari Teng, 1962)

| Kondisi kepadatan | Kepadatan relatif, R_d (%) | Perkiraan Harga N _{SPT} | Perkiraan harga, ϕ (°) | Perkiraan berat volume jenuh, γ_{sat} (ton/m ³) |
|------------------------------|------------------------------|----------------------------------|-----------------------------|--|
| very loose (sangat renggang) | 0 s/d 15 | 0 s/d 4 | 0 s/d 28 | < 1.60 |
| loose (renggang) | 15 s/d 35 | 4 s/d 10 | 28 s/d 30 | 1.50 – 2.0 |
| medium (menengah) | 35 s/d 65 | 10 s/d 30 | 30 s/d 36 | 1.75 – 2.10 |
| dense (rapat) | 65 s/d 85 | 30 s/d 50 | 36 s/d 41 | 1.75 – 2.25 |
| very dense (sangat rapat) | 85 s/d 100 | > 50 | 41* | |

(Sumber: Mochtar, 2009)

Tabel 2.5 Perkiraan Harga ϕ Untuk Tanah Kohesif

| Type | <i>Soil description</i> | <i>Effective cohesion (kPa)</i> | <i>Friction angle (degrees)</i> |
|----------|-------------------------|---------------------------------|---------------------------------|
| Cohesive | Soft – organic | 5-10 | 10-20 |
| | Soft – non organic | 10-20 | 15-25 |
| | Stiff | 20-50 | 20-30 |
| | Hard | 50-100 | 25-30 |

(Sumber: Look, 2007)

Nilai modulus young menunjukkan besarnya nilai elastisitas tanah yang merupakan perbandingan antara tegangan yang terjadi terhadap regangan. Nilai ini bisa didapatkan dari Triaxial Test. Nilai Modulus elastisitas (Es) secara empiris dapat ditentukan dari jenis tanah dan data sondir seperti pada Tabel 2.6

Tabel 2.6 Nilai Perkiraan Modulus Elastisitas Tanah

| Jenis Tanah | Es (Kg/cm ²) |
|-------------------|--------------------------|
| Lempung | |
| Sangat lunak | 3 – 30 |
| Lunak | 20 – 40 |
| Sedang | 45 – 90 |
| Keras | 70 – 200 |
| Berpasir | 300 – 425 |
| Pasir | |
| Berlanau | 50 – 200 |
| Tidak padat | 100 – 250 |
| Padat | 500 – 1000 |
| Pasir dan Kerikil | |
| Padat | 800 – 2000 |
| Tidak padat | 500 – 1400 |
| Lanau | 20 – 200 |
| Loses | 150 – 600 |
| Cadas | 1400 – 14000 |

(Sumber : Bowles, 1997)

Poisson Ratio didefinisikan sebagai perbandingan antara regangan lateral dan longitudinal. Tabel 2.7 di bawah ini merupakan Poisson's Ratio untuk beberapa material :

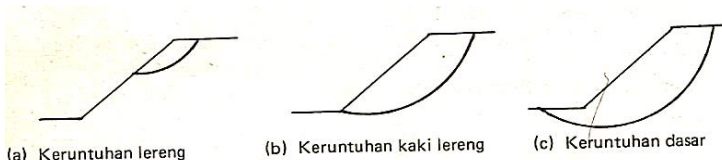
Tabel 2.7 Poisson's Ratio

| Material | Poisson's ratio v |
|-------------------------|---|
| Lempung jenuh | 0.4 – 0.5 |
| Lempung tak jenuh | 0.1 – 0.3 |
| Lempung berpasir | 0.2 – 0.3 |
| Lanau | 0.3 – 0.35 |
| Pasir padat | 0.1 – 1.00 |
| Pasir berkerikil | 0.3 – 0.4 |
| Batuhan (<i>Rock</i>) | 0.1 – 0.4 (agak bergantung jenis batuan) |
| Tanah lus | 0.1 – 0.3 |
| Es | 0.36 |
| Beton | 0.15 – 0.25 |

(Sumber: Bowles, 1988)

2.3. Stabilitas Lereng

Suatu keruntuhan teknis yang paling umum adalah longsorannya suatu timbunan atau galian dan telah dilakukan sejumlah besar penelitian untuk mencari sebab-sebab keruntuhan ini. Air sering merupakan penyebab kelongsoran tanah, baik dengan mengikis suatu lapisan pasir, melumasi batuan ataupun meningkatkan kadar air suatu lempung, dan karenanya mengurangi kekuatan geser. Apabila terjadi suatu longsoran dalam tanah lempung, seringkali didapat merupakan sepanjang suatu busur lingkaran. Busur lingkaran ini dapat memotong permukaan lereng, melalui titik kaki lereng (*toe*) atau memotong dasar lereng (*deep seated*) dan menyebakan pengangkatan pada dasar seperti pada Gambar 2.1



Gambar 2.1 Sketsa Jenis Keruntuhan
(Smith & Madyayanti, 1992)

Sebab-sebab keruntuhan lereng pada suatu galian akan sangat berbeda dengan pada suatu timbunan. Suatu galian adalah suatu kasus tanpa pembebahan dimana tanah dihilangkan, oleh karena itu menyebabkan sokongan tegangan di dalam tanah.

1. Retak-retak Tarik

Pada suatu galian, retak-retak tarik dapat terbentuk pada puncak lereng dan retak-retak ini merupakan tanda-tanda pertama dari keruntuhan lereng. Kedalaman teoritis dari retak-retak ini seperti pada Persamaan 2.1

$$Z_o = 2c \sqrt{\frac{N_\phi}{\gamma}} \quad (2.1)$$

2. Galian-galian vertikal

Galian vertikal di dalam suatu tanah lempung akan tetap stabil untuk suatu periode singkat, terutama akibat tekanan pori negatif yang disebabkan oleh penghilangan beban. Tetapi akan sangat berbahaya membiarkan suatu galian vertikal tanpa penunjang pada setiap waktu.

Tinggi kritis dari suatu galian vertikal;

$$H_c = \frac{2,67c}{\gamma} \quad (2.2)$$

Pada tanah kohesif, galian dengan sisi-sisi vertikal secara teoritis dapat dibuat sampai kedalaman H_c (Persamaan 2.2) tanpa perlu struktur penguat. Nilai H_c untuk lempung dengan berbagai konsistensi seperti pada Tabel 2.3

Tabel 2.8 Nilai H_c Berdasarkan Konsistensi Tanah

| Konsistensi Tanah | Sangat Lunak | Lunak | Sedang |
|-------------------|--------------|-------|--------|
| H_c (ft) | < 8 | 8-16 | 16-32 |

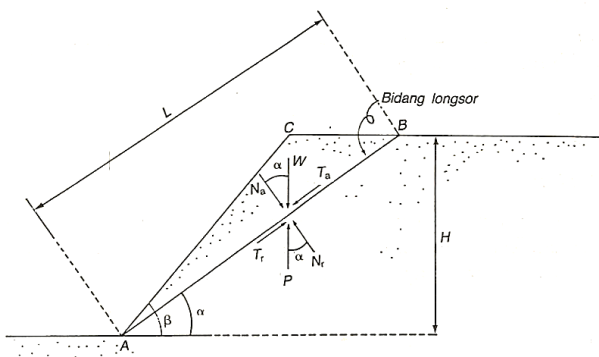
(Sumber : Terzaghi & B.Peck, 1993)

Jika tanah galian dengan sisi-sisi vertikal yang tidak berpenguat sama sekali dibuat pada tanah kohesif, maka rekanan tegangan (*tension crack*) cenderung muncul pada permukaan tanah

yang berdampingan dengan galian beberapa jam atau hari setelah penggalian. Adanya rekanan-rekanan semacam itu amat sangat mengurangi ketinggian kritis dan segera atau beberapa waktu kemudian sisi galian akan runtuh. Untuk mencegah kecelakaan tersebut pinggiran vertikal dari galian disangga oleh turap dan penguat horizontal yang biasanya dikenal sebagai penunjang (*struts*) atau penahanan/*penopang* (*braces*).

Data yang diperlukan sebagai dasar desain yang layak dari sistem penguat bergantung pada kedalaman galian. Dapat dibedakan antara galian dangkal (*shallow cuts*) dengan kedalaman kurang dari 20 ft dan galian dalam (*deep cuts*) dengan kedalaman lebih dari 20 ft.

2.3.1. Lereng Terbatas



Gambar 2.2 Stabilitas Lereng Terbatas
(Hardiyatmo, 1994)

Gambar 2.2 memperlihatkan timbunan yang terletak di atas tanah asli yang miring. Akibat permukaan tanah asli yang miring, timbunan akan longsor sepanjang bidang datar AB. Dimana pada lapisan tanah asli masih terdapat lapisan lemah yang berada di dasar timbunannya.

Berat massa tanah yang akan longsor

$$W = \frac{1}{2} \gamma H^2 \left(\frac{\sin(\beta - \alpha)}{\sin \beta \cdot \sin \alpha} \right) \quad (2.3)$$

Dimana :

W = berat tanah di atas bidang longsor

α = sudut longsor terhadap horizontal

β = sudut lereng tanah

Tegangan normal (σ) dan tegangan geser (τ) yang terjadi akibat berat tanah pada bidang AB adalah

$$\sigma = \frac{\frac{1}{2} \gamma H \cdot \sin \alpha \cdot \cos \alpha \cdot \sin(\beta - \alpha)}{\sin \beta \cdot \sin \alpha} \quad (2.4)$$

$$\tau = \frac{\frac{1}{2} \gamma H \cdot \sin^2 \alpha \cdot \sin(\beta - \alpha)}{\sin \beta \cdot \sin \alpha} \quad (2.5)$$

Tahanan geser yang terjadi pada bidang AB adalah

$$\tau_d = c_d + \sigma \tan \phi_d \quad (2.6)$$

Pada saat keseimbangan batas tercapai, $\tau = \tau_d$ maka akan diperoleh persamaan

$$c_d = \frac{1}{2} \gamma H \left(\frac{\sin(\beta - \alpha)(\sin \alpha - \cos \alpha \tan \phi_d)}{\sin \beta} \right) \quad (2.7)$$

Saat kondisi kritis $F = 1$ diperoleh persamaan tinggi H yang paling kritis

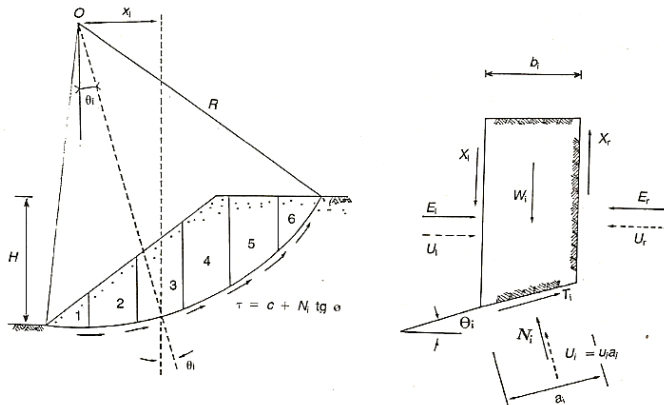
$$H_c = \frac{4c}{\gamma} \left(\frac{\sin \beta \cos \phi}{1 - \cos(\beta - \phi)} \right) \quad (2.8)$$

Dimana :

- H_c = tinggi lereng kritis
- α = sudut longsor terhadap horizontal
- β = sudut lereng tanah
- c = kohesi
- γ = berat volume tanah
- ϕ = sudut geser dalam tanah

2.3.2. Metode Bishop

Apabila tanah tidak homogen dan aliran rembesan terjadi di dalam tanahnya memberikan bentuk aliran dan berat volume tanah yang tidak menentu. Gaya normal yang bekerja pada suatu titik di lingkaran bidang longsor, terutama dipengaruhi oleh berat tanah di atas titik tersebut. Dalam metode irisan, massa tanah yang longsor dipecah-pecah menjadi beberapa irisan vertikal. Kemudian keseimbangan dari tiap-tiap irisan diperhatikan. Gambar 2.3 memperlihatkan suatu irisan dengan gaya-gaya yang bekerja padanya.



Gambar 2.3 Gaya-Gaya Yang Bekerja Pada Irisan
(Hardiyatmo, 1994)

Gaya-gaya ini terdiri dari gaya geser (X_r dan X_I), gaya normal efektif (E_r dan E_I) di sepanjang sisi irisannya, resultan gaya geser efektif (T_i), dan resultan gaya normal efektif (N_i) yang

bekerja di sepanjang dasar irisannya. Pada irisannya, tekanan air pori U_I dan U_r bekerja di kedua sisinya dan tekanan U_i bekerja pada dasarnya.

Metode irisan yang disederhanakan diberikan oleh Bishop (1955). Metode ini menganggap bahwa gaya-gaya yang bekerja pada sisi-sisi irisan mempunyai resultan nol pada arah vertikal. Persamaan kuat geser dalam tinjauan tegangan efektif yang dapat dikerahkan tanah, hingga tercapainya kondisi keseimbangan batas dengan memperhatikan faktor aman, adalah

$$\tau = \frac{c'}{F} + (\sigma - u) \cdot \frac{\operatorname{tg} \phi'}{F} \quad (2.9)$$

Dimana σ adalah tegangan normal total pada bidang longsor dan u adalah tekanan air pori.

Untuk irisan ke- i , nilai $T_i = \tau \cdot a_i$ yaitu nilai gaya geser yang berkembang pada bidang longsor untuk keseimbangan batas, maka

$$T_i = \frac{c' a_i}{F} + (N_i - u_i a_i) \cdot \frac{\operatorname{tg} \phi'}{F} \quad (2.10)$$

Kondisi keseimbangan momen terhadap pusat rotasi O antara berat massa tanah yang akan longsor dengan gaya geser total pada dasar bidang longsornya dapat dinyatakan

$$\sum W_i x_i = \sum T_i R \quad (2.11)$$

Dengan x_i adalah jarak W_i ke pusat rotasi O .

Persamaan faktor aman untuk analisis stabilitas lereng metode bishop adalah

$$F = \frac{\sum_{i=1}^{i=n} [c' b i + W i (1 - r_u) \operatorname{tg} \phi'] \cdot \left(\frac{1}{\cos \theta i (1 + \operatorname{tg} \theta i \operatorname{tg} \phi') / F} \right)}{\sum_{i=1}^{i=n} W i \sin \theta i} \quad (2.12)$$

Dimana :

- r_u = nilai banding tekanan pori
- F = faktor aman
- c' = kohesi tanah efektif
- ϕ' = sudut geser dalam tanah efektif
- W_i = berat irisan tanah ke- i
- θ = sudut yang didefinisikan

$$r_u = \frac{ub}{W} = \frac{u}{\gamma \cdot h} \quad (2.13)$$

Dimana :

- r_u = nilai banding tekanan pori
- u = tekanan air pori
- b = lebar irisan
- γ = berat volume tanah
- h = tinggi irisan rata-rata

2.4. Tekanan Tanah Lateral

Tekanan tanah lateral adalah gaya yang ditimbulkan oleh akibat dorongan tanah di belakang struktur penahan tanah. Besarnya tekanan lateral telah diketahui sangat dipengaruhi oleh perubahan letak (*displacement*) dari dinding penahan dan sifat-sifat tanahnya. Variasi dari besarnya tekanan tanah lateral yang disebakan oleh sifat tanah tegantung dari tipe tanah, apakah tanah berupa tanah kohesif atau non kohesif, porositas, kadar air dan berat volumenya. Besarnya tekanan tanah total juga tergantung pada tinggi dari tanah urugannya. (Hardiyatmo, 1994)

2.4.1. Tekanan Tanah Aktif dan Tekanan Tanah Pasif

Jika dinding turap mengalami keluluhuan atau bergerak ke arah luar dari tanah urugan di belakangnya, maka tanah urugan

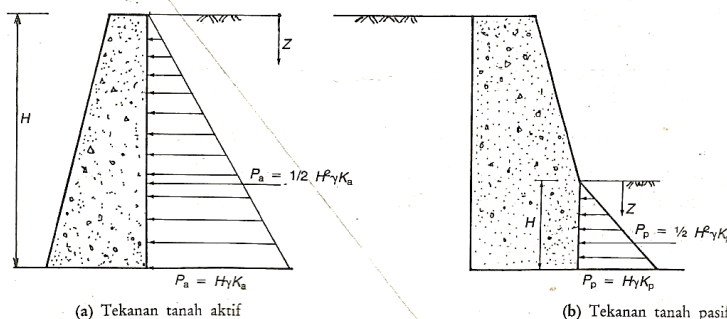
akan bergerak longsor ke bawah dan menekan dinding penahannya. Tekanan tanah seperti ini disebut tekanan tanah aktif (*active earth pressure*), sedangkan nilai banding tekanan horizontal dan tekanan vertikal yang terjadi didefinisikan sebagai koefisien tekanan tanah aktif (*coefficient of active earth pressure*) atau K_a , seperti pada Persamaan 2.14

$$K_a = \operatorname{tg}^2 \left(45 - \frac{\phi}{2} \right) \quad (2.14)$$

Jika suatu gaya mendorong dinding penahan tanah ke arah tanah urugannya, tekanan ranah dalam kondisi ini disebut tekanan tanah pasif (*passive earth pressure*), sedangkan nilai banding tekanan horizontal dan tekanan vertikal yang terjadi didefinisikan sebagai koefisien tekanan tanah pasif (*coefficient of passive earth pressure*) atau K_p , seperti pada Persamaan 2.15

$$K_p = \operatorname{tg}^2 \left(45 + \frac{\phi}{2} \right) \quad (2.15)$$

Tekanan tanah lateral pada dinding dengan permukaan rata seperti pada Gambar 2.4 yang memperlihatkan dinding penahan tanah dengan urugan tanah tak berkohesi ($c = 0$).



Gambar 2.4 Distribusi Tekanan Tanah Aktif dan Pasif Rankine Untuk Permukaan Tanah Horizontal
(Hardiyatmo, 1994)

Untuk dinding setinggi H , tekanan tanah aktif Rankine pada dasar dinding (Gambar 2.4.a) dapat dirumuskan sebagai;

$$Pa = H \cdot \gamma \cdot Ka \quad (2.16)$$

Tekanan tanah aktif total (Pa) untuk dinding penahan tanah setinggi H sama dengan luas diagram tekanannya (Gambar 2.4.a), yaitu;

$$Pa = 1/2 \cdot H^2 \cdot \gamma \cdot Ka \quad (2.17)$$

Distribusi tekanan tanah lateral terhadap dinding penahan tanah untuk tekanan pasif Rankine, diperlihatkan pada Gambar 2.4.b
Tekanan tanah pasif pada dasar dinding penahan tanah;

$$Pp = H \cdot \gamma \cdot Kp \quad (2.18)$$

Tekanan tanah pasif total (Pp) adalah luas diagram tekanan pasifnya, yaitu;

$$Pp = 1/2 \cdot H^2 \cdot \gamma \cdot Kp \quad (2.19)$$

Besarnya tekanan tanah aktif dan pasif pada dinding penahan tanah dengan tanah urugan yang berupa tanah kohesif, dapat dinyatakan pada rumus;

Untuk sudut geser, $\phi \neq 0$ maka;

$$Pa = 1/2 \cdot H^2 \cdot \gamma \cdot Ka - 2cH\sqrt{Ka} \quad (2.20)$$

$$Pp = 1/2 \cdot H^2 \cdot \gamma \cdot Kp + 2cH\sqrt{Kp} \quad (2.21)$$

Untuk sudut geser, $\phi = 0$ maka harga Ka dan $Kp = 1$ dan $c = cu$, sehingga;

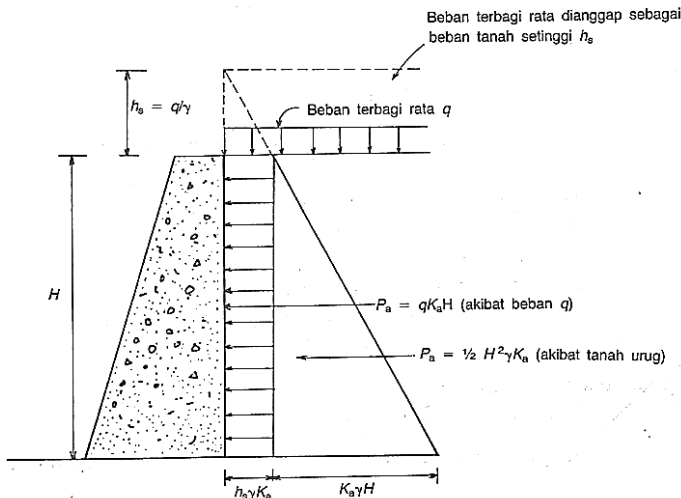
$$Pa = 1/2 \cdot H^2 \cdot \gamma - 2cu \cdot H + \frac{2 \cdot Cu^2}{\gamma} \quad (2.22)$$

$$Pp = 1/2 \cdot H^2 \cdot \gamma - 2 \cdot Cu \cdot H \quad (2.23)$$

2.4.2. Pengaruh Beban di Atas Tanah

1. Beban Terbagi Rata

Kadang-kadang tanah urugan di belakang dinding penahan tanah dipengaruhi oleh beban terbagi rata dengan menganggap beban terbagi rata q sebagai beban tanah setebal hs dengan berat volume (γ) tertentu (Gambar 2.5)



Gambar 2.5 Tekanan Tanah Lateral Akibat Beban Terbagi Rata q
(Hardiyatmo, 1994)

Tekanan tanah arah lateral pada kedalaman hs dari tinggi tanah anggapan akan sebesar;

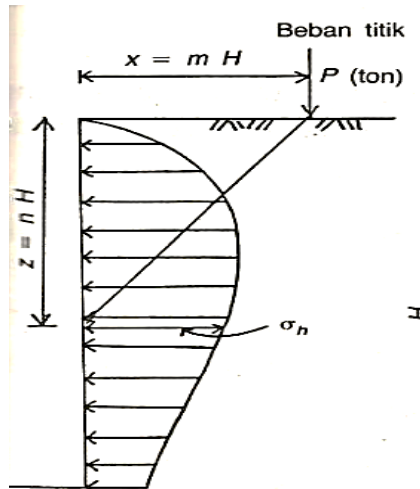
$$P_a = hs \cdot \gamma \cdot K_a = q \cdot K_a \quad (2.24)$$

Akibat adanya beban terbagi rata ini, tambahan tekanan tanah aktif pada dinding penahan tanah setinggi H dapat dinyatakan pada persamaan 2.14

$$P_a = hs \cdot \gamma \cdot K_a = q \cdot K_a \quad (2.25)$$

2. Beban Titik

Tekanan lateral akibat beban titik di atas tanah urugan dapat dihitung dengan persamaan Boussinesq (Spangler, 1938). Jika beban titik P terletak seperti pada Gambar 2.6



Gambar 2.6 Tekanan Tanah Pada Dinding Akibat Beban Titik

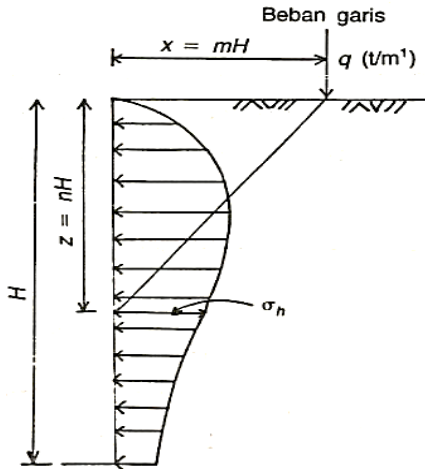
(Hardiyatmo, 1994)

$$\sigma_h = \frac{1,77P}{H^2} \cdot \frac{m^2 n^2}{(m^2 + n^2)^3} \quad \text{untuk } m > 0,4 \quad (2. 26)$$

$$\sigma_h = \frac{0,28P}{H^2} \cdot \frac{n^2}{(0,16 + n^2)^3} \quad \text{untuk } m \leq 0,4 \quad (2. 27)$$

3. Beban Garis

Beban garis dapat berupa dinding beton, pagar, saluran di dalam tanah dan lain-lain. Untuk beban garis sebesar q persatuan lebar seperti pada Gambar 2.7



Gambar 2.7 Tekanan Tanah Pada Dinding Akibat Beban Garis
(Hardiyatmo, 1994)

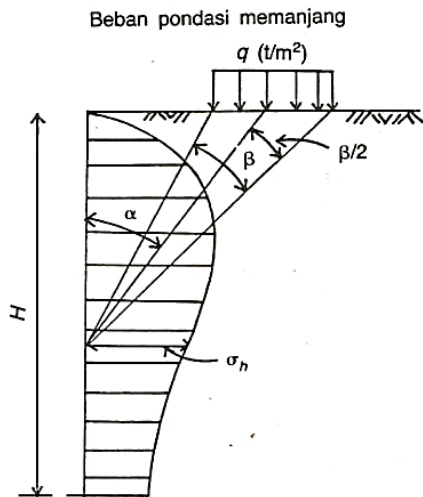
Persamaan tekanan tanah lateral (Terzaghi, 1954) sebagai berikut;

$$\sigma_h = \frac{4q}{\pi H} \cdot \frac{m^2 n}{(m^2 + n^2)^2} \quad \text{untuk } m > 0,4 \quad (2.28)$$

$$\sigma_h = \frac{q}{H} \cdot \frac{0,203 \cdot n}{(0,16 + n^2)^2} \quad \text{untuk } m \leq 0,4 \quad (2.29)$$

4. Beban Terbagi Rata Memanjang

Suatu beban terbagi rata memanjang q dapat berupa jalan raya, jalan kereta api atau timbunan tanah yang sejajar dengan dinding penahan tanahnya seperti pada Gambar 2.8



Gambar 2.8 Tekanan Tanah Pada Dinding Akibat Beban Terbagi Rata Memanjang
(Hardiyatmo, 1994)

Persamaan Terzaghi (1943) sebagai berikut;

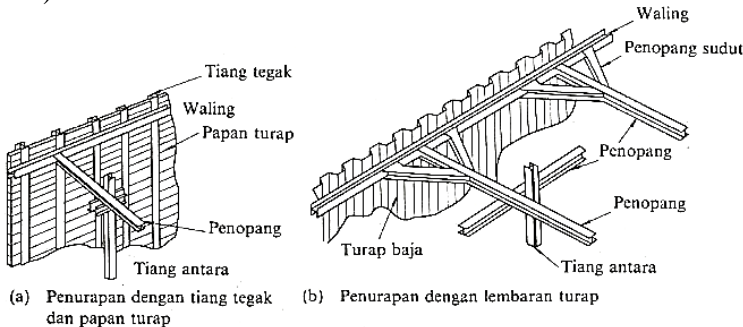
$$\sigma_h = \frac{2q}{H} \cdot (\beta - \sin \beta \cos 2\alpha) \quad (2.30)$$

2.5. Perkuatan Dengan Turap

Turap adalah konstruksi yang dapat menahan tekanan tanah di sekelilingnya, mencegah terjadinya kelongsoran maupun mencegah rembesan air. Turap biasanya terdiri dari dinding turap dan penyangganya seperti pada Gambar 2.9, turap yang banyak dipakai adalah turap dengan tiang tegak, papan turap, serta turap yang terdiri dari jajaran tiang-tiang, dan kadang-kadang dipakai turap beton yang dicor di tempat (*cast in place*) seperti pada konstruksi tembok menerus di bawah tanah.(Taulu, 2000).

Bila tanah yang ditahan dangkal, maka cukup gunakan turap kantilever. Namun, bila kedalaman tanah yang ditahan sangat dalam, maka harus digunakan turap yang diangker. Dinding turap tidak cocok untuk menahan tanah yang sangat tinggi, karena akan

memerlukan luas tampang bahan turap yang besar. Selain itu, turap juga tidak cocok digunakan pada tanah yang mengandung banyak batuan-batuan, karena menyulitkan pemancangan (Hardiyatmo, 2010).



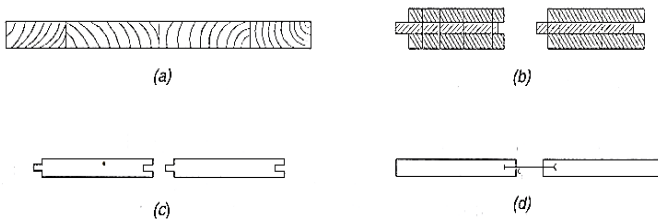
Gambar 2.9 Contoh Penurapan
(Taulu, 2000)

2.5.1. Tipe Turap

Berhubungan adanya berbagai cara untuk memasang turap, maka perlu dipilih cara yang tepat, yaitu ditinjau dari mutu tanah pondasi, tinggi muka air atau tinggi muka air tanah dan keamanan. Tipe turap dapat dibedakan berdasarkan bahan yang digunakan, jenis dinding dan tipe dinding turap.

1. Tipe turap berdasarkan bahan yang digunakan
 - a. Turap Kayu

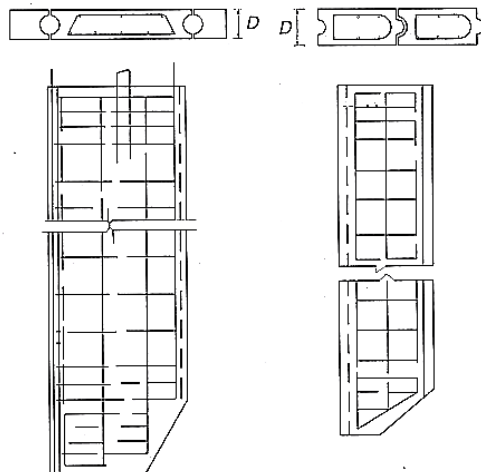
Turap kayu digunakan untuk dinding penahan tanah yang tidak begitu tinggi, karena tidak kuat menahan beban-beban lateral yang besar. Turap ini tidak cocok digunakan pada tanah berkerikil, karena turap cenderung pecah bila dipancang. Bila turap kayu digunakan untuk bangunan permanen yang berada di atas muka air, maka perlu diberikan lapisan pelindung agar tidak mudah lapuk. Turap kayu banyak digunakan pada pekerjaan-pekerjaan sementara, misalnya untuk penahan tebing galian. Bentuk-bentuk susunan turap kayu dapat dilihat pada Gambar 2.10



Gambar 2.10 Turap Kayu
(Hardiyatmo, 2010)

b. Turap Beton

Turap beton merupakan balok-balok beton yang telah dicetral sebelum dipasang dengan bentuk tertentu. Balok-balok turap dibuat saling mengkait satu sama lain seperti Gambar 2.11



Gambar 2.11 Turap Beton
(Hardiyatmo, 2010)

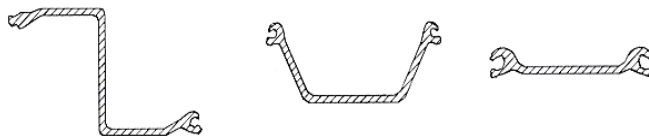
Masing-masing balok, kecuali dirancang kuat menahan beban-beban yang bekerja pada turap, juga terhadap beban-

bebannya yang akan bekerja pada waktu pengangkatannya. Ujung bawah turap biasanya dibentuk meruncing untuk memudahkan pemancangan.

c. Turap Baja

Turap baja seperti pada Gambar 2.12 sangat umum digunakan untuk bangunan permanen maupun sementara, karena lebih menguntungkan dan mudah penanganannya. Keuntungan-keuntungannya antara lain:

- 1) Turap baja kuat menahan gaya-gaya benturan pada saat pemancangan
- 2) Bahan turap relatif tidak begitu berat
- 3) Turap dapat digunakan berulang-ulang
- 4) Turap baja mempunyai keawetan yang tinggi
- 5) Penyambungan mudah, bila kedalaman turap besar



Gambar 2.12 Turap Baja
(Hardiyatmo, 2010)

2. Konstruksi turap dapat digolongkan berdasarkan jenis dinding turap

a. Turap dengan tiang tegak dan papan turap

Turap jenis ini adalah turap yang menahan tekanan tanah dengan jalan memasang papan turap secara mendatar, diletakan diantara tiang tegak dari profil H dengan jarak yang sama. Turap semacam ini dalam bentuk sederhana, umumnya berupa pagar kayu.

b. Turap yang terbuat dari deretan tiang-tiang

Turap jenis ini merupakan suatu cara dimana deretan tiang dipakai sebagai dinding turap dan untuk keperluan ini dapat dipakai deretan tiang kayu, tiang beton maupun tiang baja. Dinding yang tebuat dari tiang baja sangat menonjol dalam

sifat rapat air dan kekuatannya, maka tiang baja sering dipakai untuk pekerjaan penggalian yang besar-besar.

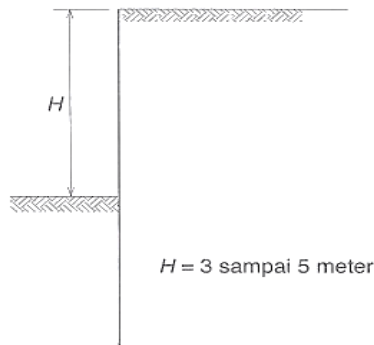
c. Turap dari beton yang dicor di tempat

Turap dari beton yang dicor di tempat, adalah suatu cara dimana dinding turap terbuat dari tiang-tiang beton yang dicor di tempat sehingga merupakan tembok di bawah tanah. Untuk membuat tembok di bawah tanah, ada dua macam cara yang pertama adalah dengan membuat tembok menerus dan kedua adalah dengan membuat dinding dari deretan kolom. Turap ini tidak perlu dibongkar setelah pekerjaan selesai dan dimanfaatkan sebagai bagian dari konstruksi itu sendiri.

3. Tipe dinding turap

a. Dinding turap kantilever

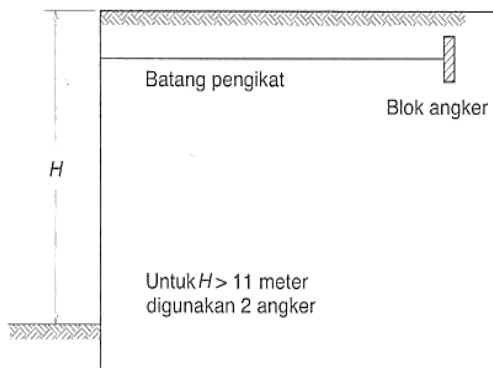
Dinding kantilever seperti pada Gambar 2.13 merupakan turap yang dalam menahan beban lateral mengandalkan tahanan tanah di depan dinding. Defleksi lateral yang terjadi relatif besar pada pemakaian turap kantilever. Karena luas tampang bahan turap yang dibutuhkan bertambah besar dengan ketinggian tanah yang ditahan akibat momen lentur yang timbul, turap kantilever hanya cocok untuk menahan tanah dengan ketinggian/kedalaman sedang.



Gambar 2.13 Dinding Turap Kantilever
(Hardiyatmo, 2010)

b. Dinding turap diangker

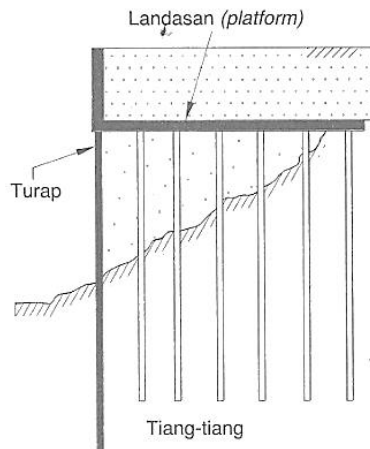
Dinding turap diangker seperti pada Gambar 2.14 cocok untuk menahan tebing galian yang dalam, tetapi masih bergantung pada kondisi tanah. Dinding turap ini menahan beban lateral dengan mengandalkan tahanan tanah pada bagian turap yang terpancang ke dalam tanah dengan dibantu oleh angker yang dipasang pada bagian atasnya. Kedalaman turap menembus tanah bergantung pada besarnya tekanan tanah. Untuk ketinggian tanah yang ditahan $H > 11$ m, maka diperlukan turap dengan 2 angker.



Gambar 2.14 Dinding Turap Diangker
(Hardiyatmo, 2010)

c. Dinding turap dengan landasan yang didukung tiang

Dinding turap semacam ini dalam menahan tekanan tanah lateral dibantu oleh tiang-tiang, dimana di atas tiang-tiang tersebut dibuat landasan untuk meletakan bangunan tertentu. Tiang-tiang pendukung landasan juga berfungsi untuk mengurangi beban lateral pada turap. Dinding turap ini dibuat bila di dekat lokasi dinding turap direncanakan akan dibangun jalan kereta api, mesin derek atau bangunan-bangunan berat lainnya. Dinding turap dengan landasan ditunjukkan pada Gambar 2.15



Gambar 2.15 Dinding Turap Dengan Landasan
(Hardiyatmo, 2010)

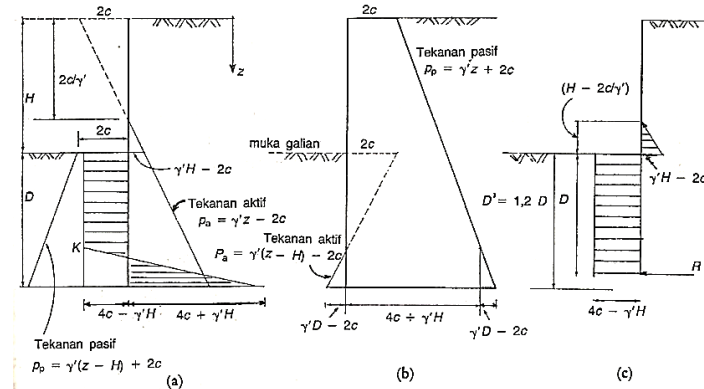
2.5.2. Turap Kantilever dalam Tanah Kohesif

Pada turap kantilever, stabilitas turap sepenuhnya ditahan oleh tekanan tanah pasif di muka dindingnya. Turap ini biasanya digunakan untuk kedalaman galian sedang, karena penampang turap yang dibutuhkan bertambah bila ketinggian tanah galiannya bertambah akibat momen lentur yang timbul. Pergeseran arah lateral relatif besar, pada pemakaian turap kantilever. Dinding turap kantilever bila dipancang ke dalam tanah lanau atau lempung dapat berotasi pada titik ujung bawah dari turapnya. Tekanan tanah pasif bekerja di depan ujung bawah sampai permukaan turap bagian depan. (Hardiyatmo, 1994)

1. Seluruh turap dipancang di dalam lapisan lempung

Perancangan turap dalam tanah kohesif sangat kompleks, karena dalam kenyataannya kuat geser tanah lempung berubah dengan waktu, dengan demikian tekanan tanah lateral juga berubah. Segera sesudah turap dipancang, tekanan tanah dihitung berdasarkan kuat geser *undrained*, yaitu hanya memperhitungkan nilai kohesi dengan $\phi = 0$. Analisisnya dapat dilakukan dengan mengambil nilai c dari kuat geser tekan bebas

(*unconfined compression strength*). Kondisi tekanan awal untuk turap yang dipancang pada tanah kohesif di seluruh bagiannya ditunjukkan pada Gambar 2.16



Gambar 2.16 Tekanan Tanah Awal Pada Turap Kantilever Yang Dipancang Pada Tanah Kohesif (Teng, 1962)

Prosedur perancangan;

- 1) Suatu kedalaman penembusan turap di bawah muka tanah galiannya (D), diestimasikan dengan nilai N dari *SPT* dan kerapatan relatif dari tanahnya, seperti yang diberikan dalam Tabel 2.9

Tabel 2.9 Nilai Perkiraan Kedalaman Penembusan Turap Berdasarkan Nilai *SPT*

| Nilai SPT | Kerapatan Relatif (D) | Kedalaman penembusan turap |
|-----------|-----------------------|----------------------------|
| 0 – 4 | Sangat tidak padat | 2,00H |
| 5 – 10 | Tidak padat | 1,5H |
| 11 – 30 | Sedang | 1,25H |
| 31 – 50 | Padat | 1,00H |
| > 50 | Sangat padat | 0,75H |

(Sumber : Hardiyatmo, 1994)

- 2) Tentukan tekanan tanah pasif dan aktif
 Karena pada $\phi = 0$, $K_a = K_p = 1$, tekanan tanah pasif di sisi kiri turap dapat dinyatakan dengan persamaan;

$$P_p = \gamma'(z - H) + 2c \quad (2.31)$$

Tekanan tanah aktif di sebelah kanan turap

$$P_a = \gamma' z - 2c \quad (2.32)$$

Zona yang mengalami tarikan, yang kemungkinan dapat menimbulkan retakan di atas tanah lempung diabaikan. Karena kemiringan garis tekanan aktif dan tekanan pasif sama ($K_a = K_p$), tahanan neto pada sisi kiri turap besarnya konstan di bawah tanah galian, dan diberikan oleh persamaan;

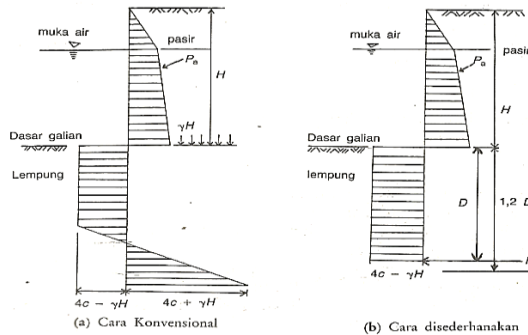
$$P_p - P_a = 4c - \gamma' H \quad (2.33)$$

Secara teoritis turap tidak akan menerima tekanan lateral bila $\gamma' H = 4c$. Pada turap bagian bawah bergerak ke kanan (Gambar 2.14), tahanan tanah pasif dinyatakan;

$$P_p - P_a = 4c + \gamma' H \quad (2.34)$$

- 3) Hitunglah keseimbangan statis berdasarkan diagram tekanan tanah. Jumlah gaya-gaya horizontal harus nol dan jumlah momen terhadap sembarang titik harus nol. Jumlah gaya horizontal dapat dihitung dari luas diagram tekanan yang disederhanakan pada Gambar 2.16.c, yaitu dengan menganggap tekanan pasif pada sisi turap digantikan oleh rekasi gaya R . Kedalaman D harus dikalikan faktor 1,2 sampai 1,4.
2. Turap dipancang pada tanah kohesif diurug tanah granuler Metode di atas dapat digunakan untuk kasus dimana turap dipancang di dalam tanah lempung dan diurug dengan tanah granuler, seperti yang diperlihatkan pada Gambar 2.17. Hanya perbedaannya pada tekanan tanah aktif di atas garis

galian adalah sama dengan Kay_z untuk tanah urugan granulernya. Penyelesaian menurut metode yang disederhanakan dapat dilihat pada Gambar 2.17.b, cara perhitungan sama seperti yang sudah dibahas sebelumnya.



Gambar 2.17 Tekanan Tanah Pada Perancangan Turap Dalam Tanah Kohesif Dengan Tanah Urug Granuler
(Teng, 1962)

Dalam perancangan sangat aman bila nilai c dipertimbangkan sama dengan nol. Nilai akhir sudut geser dalam tanah akan mendekati sekitar 20 sampai 30 derajat. Tekanan tanah dalam tanah lempung untuk periode jangka panjang mendekati sama seperti tekanan lateral pada tanah granuler.

2.5.3. Defleksi Tiang

Metode broms (1964a) dapat digunakan untuk menghitung defleksi lateral tiang yang berada pada lapisan tanah homogen dan murni berupa tanah kohesif (lempung jenuh, $\emptyset = 0$) atau granuler (pasir, $c = 0$).

Untuk tanah kohesif letak jepit maksimum:

$$ZF = 1.8 T \quad (2.35)$$

$$\text{Dengan nilai } T = \sqrt[5]{\frac{EI}{n_h}} \quad (2.36)$$

$$\text{Sehingga nilai } Hu = \frac{M_{max}}{Z_f} \quad (2.37)$$

- 1) Tiang dalam tanah kohesif

Untuk tiang dalam tanah kohesif tiang dikaitkan dengan faktor tak berdimensi βL , dengan

$$\beta = \left(\frac{khd}{4 E_p I_p} \right) \quad (2.38)$$

Dengan :

β = faktor

kh = koefisien reaksi subgrade (kN/m^3)

Nh = $Nh(z/d)$

Nh = koefisien reaksi subgrade (kN/m^3) Tabel 2.10 dan Tabel 2.11

z = kedalaman dari permukaan tanah (m)

d = diameter tiang (m)

E_p = modulus elastis tiang (Kn/m^2)

I_p = momen inersia dari penampang tiang (m^4)

Tabel 2.10 Nilai Nh untuk Tanah Granuler ($c=0$)

| Kerapatan relative (Dr) | Tak padat | Sedang | Padat |
|--|-----------|----------|-----------|
| Interval nilai A | 100-300 | 300-1000 | 1000-2000 |
| Nilai A dipakai | 200 | 600 | 1500 |
| Nh , pasir kering atau lembab (terzaghi) (KN/m^3) | 2425 | 7275 | 19400 |
| Nh pasir terendam air (KN/m^3) | | | |
| Terzaghi | 1386 | 4850 | 11779 |
| reese et al | 5300 | 16300 | 34000 |

(Sumber : Hardiyatmo, 2010)

Tabel 2.11 Nilai N_h untuk Tanah Kohesif (Paulo dan Davis, 1980)

| Tanah | N_h (Kn/m ³) | Referensi |
|-------------------------------------|----------------------------|--|
| Lempung terkonsolidasi Normal lunak | 166-3518 | Reese dan Matlock (1956) |
| | 277-554 | Davisson – Prakash (1963) |
| Lempung terkonsolidasi normal | 111-277 | Peck dan Davisson (1962) |
| Organik | 111-831 | Davisson (1970) |
| Gambut | 5527.7-111 | Davisson (1970) Wilson dan Hilts (1967) |
| Loess | 8033-11080 | Bowles (1968) |

(Sumber : Hardiyatmo, 2010)

Defleksi ujung tiang di permukaan tanah (y_0) dinyatakan dengan persamaan sebagai berikut :

- a. Tiang ujung bebas berlakukan seperti tiang pendek, bila $\beta L < 1.5$ dengan besarnya defleksi tiang dipermukaan tanah:

$$y_0 = \frac{4H(1+1.5e/L)}{kh.d.L} \quad (2.39)$$

Rotasi tiang (Θ)

$$\theta = \frac{6H(1+1.5e/L)}{kh.d.L} \quad (2.40)$$

Dengan :

 H = beban lateral (kN) e = jarak beban terhadap muka tanah (kN/m²) L = Panjang Tiang (m)

- b. Tiang ujung jepit dianggap berkelakuan seperti tiang pendek bila $\beta L < 0.5$

$$y_0 = \frac{H}{kh.d.L} \quad (2.41)$$

- c. Tiang ujung bebas dianggap seperti tiang panjang (tidak kaku), bila $\beta L > 2.5$ defleksi tiang dipermukaan tanah :

$$y_0 = \frac{2H\beta(e\beta + 1)}{kh.d} \quad (2.42)$$

Rotasi tiang (Θ)

$$\theta = \frac{2H\beta^2(1+2e\beta)}{kh.d} \quad (2.43)$$

Tiang ujung jepit dianggap sebagai tiang panjang (tidak kaku) bila $\beta L > 1.5$, dengan :

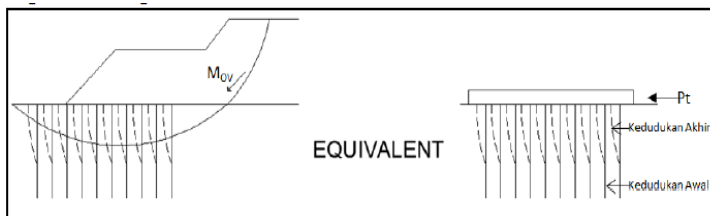
$$y_0 = \frac{H\beta}{kh.d} \quad (2.44)$$

2.6. Cerucuk

Penggunaan cerucuk dimasukkan untuk menaikkan tahanan geser tanah. Bila tahanan tanah terhadap geser meningkat, daya dukung tanah juga meningkat. Konstruksi cerucuk yang dapat dipakai yaitu, cerucuk bambu, cerucuk kayu, cerucuk beton (mikropile) dan lain-lain.

Mochtar, I.B. (2000) mengembangkan teori untuk konstruksi cerucuk dengan menggunakan asumsi (Gambar_) sebagai berikut:

1. Kelompok cerucuk dianggap sebagai kelompok tiang (cerucuk) dengan "rigid cap" di permukaan tanah yang menerima gaya horizontal.
2. Gaya horizontal tersebut merupakan tegangan geser yang terjadi sepanjang bidang gelincir.



Gambar 2.18 Asumsi Gaya yang di terima Cerucuk
(Mochtar, I.B., 2000)

Untuk menghitung kebutuhan cerucuk per-meter, terlebih dahulu ditentukan kekuatan 1 (satu) tiang/cerucuk untuk menahan gaya horizontal. Kemudian berdasarkan perbandingan dari besarnya momen penggerak dengan momen penahan yang dibutuhkan ditentukan jumlah tiang/cerucuk yang diperlukan. Sesuai dengan syarat kestabilan lereng, maka dengan pemberian cerucuk harga angka keamanan dari kestabilan lereng harus dibuat menjadi sekurang-kurangnya 1.10 untuk kondisi dengan beban sementara (kendaraan) dan sekurang-kurangnya 1.50 untuk kondisi hanya beban timbunan embankment saja.

Adapun prosedur dari perlindungan kebutuhan cerucuk adalah sebagai berikut (NAVFAC DM-7, 1971) :

- Perhitungan kekuatan 1 (satu) buah cerucuk terhadap gaya horizontal.
- Menghitung faktor kekakuan relatif (T)

$$T = \left(\frac{EI}{f} \right)^{\frac{1}{5}} \quad (2.45)$$

Dimana:

E = modulus elastisitas tiang (cerucuk), kg/cm^2

I = momen inersia tiang (cerucuk), cm^4

f = koefisien darl variasi modulus tanah, kg/cm^3

T = dalam cm

Harga f didapat dengan bantuan Gambar 2.21 (dari Design Manual, NAVFAC DM-7 1971) yang merupakan grafik hubungan antara f dengan *unconfined compression strength*, $q_u = 2 C_u$.

- Menghitung gaya horisontal yang mampu ditahan 1 (satu) tiang
- $$M_p = F_M (P \times T) \quad (2.46)$$

Dimana:

M_p = momen lentur yang bekerja pada cerucuk akibat beban P , $\text{kg}\cdot\text{cm}$

F_M = koefisien momen akibat gaya lateral P

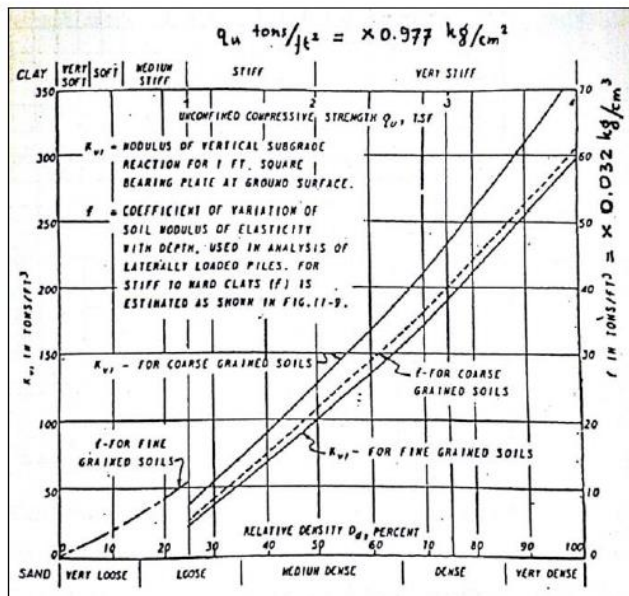
P = gaya horisontal yang diterima cerucuk, kg

T = faktor kekakuan relatif, cm

Dengan merencanakan panjang cerucuk yang tertahan di bawah/atas bidang gelincir (L) didapat L/T . Dari harga L/T pada kedalaman ($=Z$) dengan bantuan Gambar__ (dari Design Manual, NAVFAC DM-7 1971) maka didapatkan harga F_M . Jadi gaya horisontal yang mampu dipikul oleh 1 (satu) cerucuk adalah :

$$P = \frac{Mp}{F_M \times T} \quad (2.47)$$

Gaya maksimal P_{max} yang dapat ditahan oleh satu cerucuk terjadi bila M_p = momen maksimum lentur bahan cerucuk. Bila kekuatan bahan dan dimensi bahan diketahui, maka :



Gambar 2.19 Harga f untuk Berbagai Jenis Tanah
(Sumber : *Design Manual*, NAVFAC DM-7, 1971)

Harga M_p yang telah diperoleh kemudian dipergunakan untuk menghitung gaya maksimum (P_{max}) yang dapat ditahan oleh satu cerucuk, yaitu:

$$P_{max} \text{ 1 cerucuk} = \frac{M_p \text{ max } 1 \text{ cerucuk}}{F_M \times T} \times F_k g \quad (2. 48)$$

Dimana menurut Rusdiansyah, dkk (2015);

$$F_k g = 2.30 \times Y_t \times Y_s \times Y_n \times Y_D \quad (2. 49)$$

Dimana:

- Y_t = variasi rasio tancap
untuk $X_t < 5$

$$Y_t = 0.05 X_t \quad (2. 50)$$

untuk $5 < X_t < 20$,

$$Y_t = 0.09 (X_t) - 0.35 \quad (2. 51)$$

untuk $X_t > 20$

$$Y_t = 1.45$$

- Y_s = variasi spasi

$$Y_s = -0.057(X_s)^2 + 0.614 (X_s) - 0.658 \quad (2. 52)$$

X_s = Spasi

= S/D

- Y_n = variasi jumlah (sejajar)

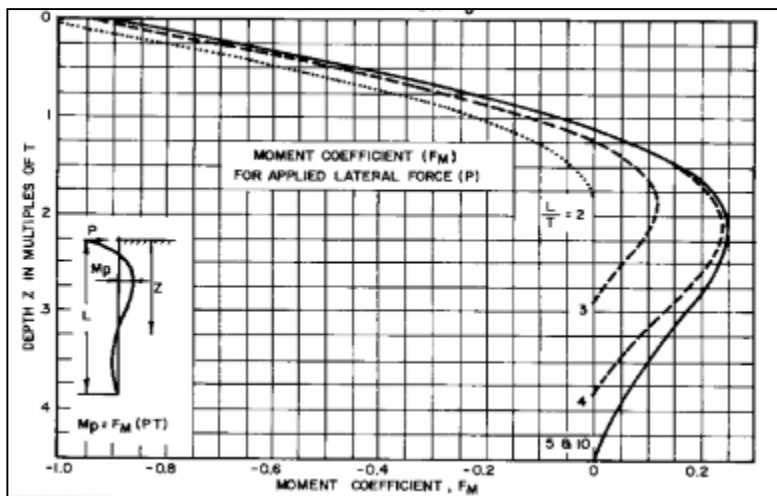
$$= 1.051 - 0.047(X_n) \quad (2. 53)$$

X_n = jumlah cerucuk

- Y_D = $46.616(X_D) - 3.582$

X_D = Rasio

= D/T



Gambar 2.20 Grafik untuk Mencari Harga F_M
 (Sumber: *Design Manual*, NAVFAC DM-7, 1971)

- b. Untuk menghitung banyaknya tiang/cerucuk per-meter, maka ditentukan gaya horisontal total yang terjadi pada bidang gelincir (Pt). Gaya horizontal Pt tersebut kemudian direncanakan untuk dipikul oleh cerucuk.

Untuk itu, Momen Dorong (MD) yang terjadi akibat beban timbunan dan beban lain yang ada perlu dihitung.

Dengan menggunakan Xstabl, diperoleh angka keamanan minimum (SF min), Momen Penahan (MR), titik pusat bidang longsor, dan jari-jari kelongsoran. Dari data yang diperoleh tersebut kemudian dihitung Momen Dorong (MD), yaitu:

$$M_D = \frac{MR}{SF_{\min}} \quad (2.55)$$

Dimana :

SF = Safety factor /angka keamanan

MR = $\sum \Delta c_u \times L \times R$

$\sum \Delta c_u$ = tegangan geser undrained tanah dasar

L = panjang bidang gelincir

R = jari – jari putar bidang gelincir

Setelah besarnya MD dan MR diketahui, langkah selanjutnya adalah menghitung Momen Penahan Tambahan (ΔMR) yang diperlukan untuk meningkatkan Angka Keamanan, SF, caranya :

- Menentukan Angka Keamanan Rencana (SF min)
 - SF renc ≥ 1.10 untuk beban sementara
 - SF renc ≥ 1.50 untuk beban tetap
- Menghitung Momen Penahan Tambahan (ΔMR)

$$\Delta MR = (SF_{\text{rencana}} - SF_{\text{min}}) \times MD \quad (2.56)$$

Dengan diperolehnya harga ΔMR . besarnya tambahan gaya yang harus dipikul oleh cerucuk (Pt) dapat ditentukan dengan cara:

$$Pt = \frac{\Delta MR}{R} \quad (2.57)$$

Dimana R adalah jari-jari kelongsoran

Jumlah cerucuk (n) yang harus dipasang persatuan panjang adalah;

$$n = \frac{\Delta MR}{\Delta MR \times P_{\text{maks}} - 1 \text{ cerucuk}} \quad (2.58)$$

2.7. Metode Preloading

2.7.1. Pemampatan Konsolidasi

Besar pemampatan tanah akibat konsolidasi primer dari tanah lempung ini tergantung dari sejarah tanahnya, yaitu *normally consolidated* (NC) atau *overconsolidated* (OC).

- a. Terkonsolidasi normal (normally consolidated)

Tekanan efektif overburden yang dialami tanah pada saat itu adalah merupakan tekanan maksimum yang pernah dialami oleh tanah itu. Besarnya pemampatan NC dapat dihitung sebagai berikut:

$$S_{ci} = \left[\frac{C_c}{1 + e_o} \log \frac{p'_o + \Delta p}{p'_o} \right] \times H_i \quad (2.59)$$

b. Terlalu terkonsolidasi (*Overconsolidated*)

Tekanan efektif *overburden* yang dialami tanah pada saat itu adalah lebih kecil dari tekanan yang pernah dialami oleh tanah itu sebelumnya. Tekanan efektif *overburden* maksimum yang pernah dialami sebelumnya dinamakan tekanan prakonsolidasi (*preconsolidation pressure*). Perumusan pemampatan konsolidasi untuk tanah ini dirumuskan sebagai berikut:

Jika $p'_o + \Delta p < p'_c$, maka :

$$S_{ci} = \left[\frac{C_s}{1+e_o} \log \frac{p'_o + \Delta p}{p'_o} \right] x H_i \quad (2. 60)$$

Jika $p'_o + \Delta p > p'_c$, maka :

$$S_{ci} = \left[\frac{C_s}{1+e_o} \log \frac{p'_c}{p'_o} + \frac{C_c}{1+e_o} \log \frac{p'_o + \Delta p}{p'_o} \right] x H_i \quad (2. 61)$$

Dimana:

S_{ci} = Pemampatan konsolidasi pada lapisan tanah ke-i yang ditinjau.

H_i = Tebal lapisan tanah ke-i

e_o = Angka pori awal dari lapisan tanah ke-i

C_c = Indeks kompresi dari lapisan ke-i

C_s = Indeks mengembang dari lapisan ke-i

P_o' = Tegangan Overburden efektif

P_c' = Tegangan prakonsolidasi efektif

Δp = Penambahan beban vertikal pada lapisan yang ditinjau akibat beban timbunan dihitung dengan persamaan:

2.7.2. Distribusi Tegangan

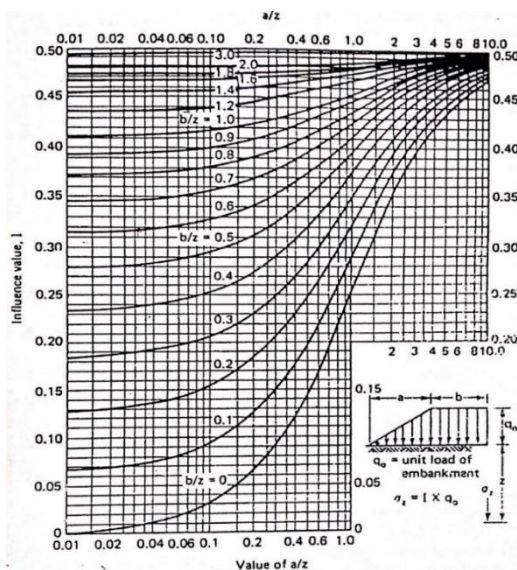
Besar penambahan beban akibat beban timbunan dalam bentuk trapezium dapat dihitung dengan persamaan:

$$\Delta p = 2 x I x q \quad (2. 62)$$

Dimana :

q = Tegangan *vertical effective* di permukaan tanah akibat embankment jalan.

I = Faktor pengaruh yang diperoleh yang dari grafik pada Gambar 2.21 (NAVFAC DM – 7, 1970)



Gambar 2.21 Grafik untuk Menentukan Faktor Pengaruh pada Beban Trapesium (NAVFAC DM – 7, 1970)

2.7.3. Waktu Konsolidasi

Menurut Terzaghi dalam Das (1985), lama waktu konsolidasi (t) dapat dihitung dengan persamaan:

$$t = \frac{T_v(H_{dr})^2}{C_v} \quad (2.63)$$

Dimana:

T_v = faktor waktu, tergantung dari derajat konsolidasi U

H_{dr} = tebal lapisan yang memampat (panjang aliran yang harus ditembus air pori)

C_v = koefisien konsolidasi untuk aliran air pori arah vertikal

t = lama waktu untuk menyelesaikan konsolidasi (Mochtar, 2000)

Faktor waktu T_v adalah merupakan fungsi langsung dari derajat konsolidasi ($U\%$) dan bentuk dari distribusi tegangan air pori (u) di dalam tanah (aliran satu arah atau dua arah). Apabila

distribusi tegangan air porinya merata (homogen) maka hubungan T_v dan U adalah (Tabel 2.12)

Tabel 2.12 Variasi Faktor Waktu terhadap Derajat Konsolidasi

| Derajat Konsolidasi U% | Faktor Waktu T_v |
|-------------------------------|--------------------------------------|
| 0 | 0 |
| 10 | 0.008 |
| 20 | 0.031 |
| 30 | 0.071 |
| 40 | 0.126 |
| 50 | 0.197 |
| 60 | 0.287 |
| 70 | 0.403 |
| 80 | 0.567 |
| 90 | 0.848 |
| 100 | ~ |

(Sumber : Das, 1993)

Koefisien konsolidasi vertical C_v diperoleh dari grafik korelasi antara besarnya pemampatan tanah dengan waktu (t). Berikut adalah persamaan yang dipakai :

$$C_v = \frac{0.197(H \times 2)^2}{t_{50}} \quad (2.64)$$

Apabila lapisan tanahnya heterogen dan mempunyai beberapa nilai C_v , maka harga C_v yang dipakai adalah nilai C_v gabungan (ABSI,1965).

$$C_{vgab} = \frac{(H_1 + H_2 + \dots + H_n)^2}{\left[\frac{H_1}{\sqrt{Cv_1}} + \frac{H_2}{\sqrt{Cv_2}} + \dots + \frac{H_n}{\sqrt{Cv_n}} \right]^2} \quad (2.65)$$

Dimana :

H_i = Tebal lapisan i

Cvi = Harga C_v lapisan i

Apabila tebal lapisan lempung (*compressible soil*) kita sebut H, maka panjang aliran *drainage* H_{dr} adalah :

H_{dr} = $\frac{1}{2} H$, bila arah aliran air selama proses konsolidasi adalah dua arah (ke atas dan ke bawah)

H_{dr} = H, bila arah aliran *drainage*-nya satu arah (ke atas atau ke bawah). Hal ini terjadi bila di atas atau biasanya di bawah lapisan lempung tersebut merupakan lapisan yang kedap air (*impermeable*).

2.7.4. Penentuan Tinggi Timbunan Awal

Setelah pemampatan tanah dasar terjadi, tinggi timbunan awal (H_{awal}) yang direncanakan akan sesuai dengan tinggi timbunan yang diinginkan (H_{akhir}).

Penentuan tinggi awal pada saat pelaksanaan (dengan memperhatikan penurunan), dapat hitung dengan rumus:

$$q = (H_w + Sc)\gamma'_{timb} + (H_{initial} - H_w - Sc)\gamma_{timb} \quad (2.66)$$

$$q = (H_{initial} \times \gamma_{timb}) - ((Sc + H_w)\gamma_{timb}) + ((Sc + H_w)\gamma'_{timb}) \quad (2.67)$$

$$H_{initial} = \frac{q + (Sc + H_w) \times (\gamma_{timb} - \gamma'_{timb})}{\gamma_{timb}} \quad (2.68)$$

$$H_{akhir} = H_{initial} - Sc \quad (2.69)$$

Bila $\gamma_{sat} = \gamma_{timb}$, maka :

$$q = H_{initial} \times \gamma_{timb} - Sc \times \gamma_w \quad (2.70)$$

$$H_{initial} = \frac{q + Sc \times \gamma_w}{\gamma_{timb}} \quad (2.71)$$

Dimana :

H_{initial} = tinggi timbunan awal

H_{akhir} = tinggi timbunan akhir

Sc = total pemampatan tanah akibat timbunan H

γ'_{timb} = berat volume efektif material timbunan

H_w = tinggi muka air

2.7.5. Peningkatan Daya Dukung Tanah dengan Metode *Preloading*

Daya dukung tanah dasar dapat meningkat jika beban timbunan diletakkan secara bertahap sampai mencapai tinggi timbunan kritis (H_c). Berdasarkan penelitian yang telah dilakukan oleh Ardana dan Mochtar (1999), diketahui bahwa terdapat hubungan antara kekuatan geser *undrained* (C_u) dan tegangan tanah vertikal efektif (σ'_v). Untuk tanah yang sedang mengalami konsolidasi, harga σ'_v berubah sesuai dengan waktu. Secara umum menurut Ardana dan Mochtar (1999) harga σ'_v dapat dicari dengan cara berikut ini:

$$\sigma'_v = \left(\frac{p_0' + \Delta p'}{p_0'} \right)^u \times p_0' \quad (2.72)$$

Bila : $U = 100\% = 1$, maka $\sigma'_v = p_0' + \Delta p'$

$$- \quad \sigma'_1 = \sigma'_0 + \Delta \sigma'_i \quad (2.73)$$

$$- \quad \sigma'_2 = \sigma'_0 + \Delta \sigma'_i + \Delta \sigma'_2 \quad (2.74)$$

$$- \quad \sigma'_2 = \sigma'_1 + \Delta \sigma'_2 \quad (2.75)$$

$$- \quad \sigma'_3 = \sigma'_0 + \Delta \sigma'_i + \Delta \sigma'_2 + \Delta \sigma'_3 \quad (2.76)$$

$$- \quad \sigma'_3 = \sigma'_2 + \Delta \sigma'_3 \quad (2.77)$$

- Dst.

$U < 100\% = 1$, maka $\sigma'_v < p_0' + \Delta p'$

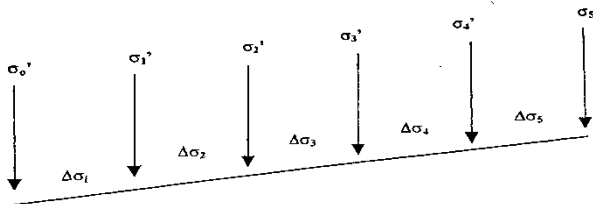
$$- \quad \Delta \sigma'_i (u_1) = \left[\left(\frac{\sigma'_1}{\sigma'_0} \right)^{U1} x \sigma'_0 \right] - \sigma'_0 \quad (2.78)$$

$$- \quad \Delta \sigma'_i (u_2) = \left[\left(\frac{\sigma'_2}{\sigma'_1} \right)^{U1} x \sigma'_1 \right] - \sigma'_1 \quad (2.79)$$

$$-\Delta\sigma_i' (u_3) = \left[\left(\frac{\sigma'_3}{\sigma'_2} \right)^{U1} x\sigma'_2 \right] - \sigma'_2 \quad (2.80)$$

- Dst.

$$\sigma_{baru}' = \sigma'_0 + \Delta\sigma'_1 + \Delta\sigma'_2 + \Delta\sigma'_3 + \dots + \Delta\sigma'_i \quad (2.81)$$



Gambar 2.22 Harga kenaikan tegangan tanah efektif (σ') sejalan dengan waktu pada tanah yang terkonsolidasi

Harga σ'_{baru} dipakai untuk mencari Cu baru sebagai parameter kekuatan daya dukung tanah dasar setelah terjadi konsolidasi selama t waktu. Dari hasil penelitian Ardana dan Mochtar (1999) dapat dicari dengan cara berikut ini:

- a. Untuk harga *Plasticity Index*, PI tanah $< 120\%$

$$Cu (\text{kg/cm}^2) = 0,0737 + (0,1899 - 0,0016 \text{ PI}) \sigma'_0 \quad (2.82)$$

- b. Untuk harga *Plasticity Index*, PI tanah $> 120\%$

$$Cu (\text{kg/cm}^2) = 0,0737 + (0,454 - 0,00004\text{PI}) \sigma'_0 \quad (2.83)$$

Dimana harga σ'_0 dalam kg/cm^2

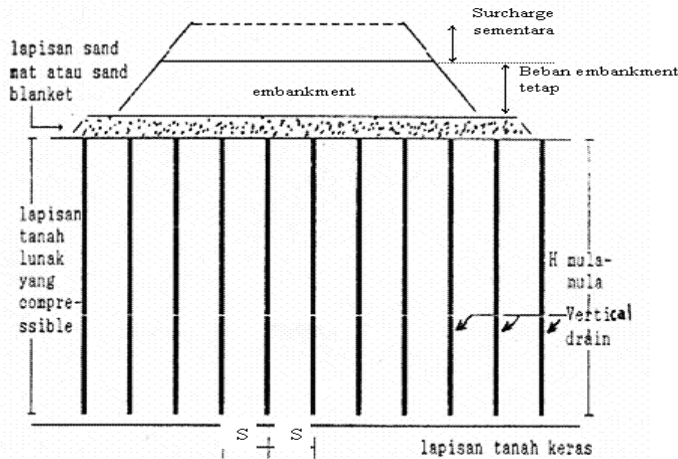
2.8. Percepatan Pemampatan dengan Vertical Drain

Fungsi utama digunakannya *vertical drain* dalam suatu lapisan tanah lempung “*compressible*” adalah untuk mempercepat proses konsolidasi primer. Metode perbaikan tanah dengan menggunakan *vertical drain* hakekatnya adalah untuk mereduksi waktu antara dua fase pelaksanaan di saat diterapkannya penimbunan bertahap dan mengurangi waktu yang diperlukan untuk memperoleh derajat konsolidasi. *Vertical drain* dapat diklasifikasikan menjadi 3 (tiga) tipe umum, yaitu : *sand drain*,

fabric encased drain, dan *prefabricated vertical drain* (PVD). Adapun untuk PVD itu sendiri bisa berupa karton, *textile*, plastik, atau material lainnya (bahan karung dan sabut kelapa). Pada umumnya PVD banyak digunakan karena kemudahan pemasangan di lapangan. Tiang-tiang atau lubang-lubang tersebut "dipasang" di dalam tanah pada jarak tertentu sehingga memperpendek jarak aliran drainase air pori (*drainage path*). (Mochtar, 2000).

2.8.1. Menentukan Kedalaman Vertical Drain

Kedalaman *vertical drain* ditentukan oleh tebal lapisan tanah yang mengalami konsolidasi (Gambar 2.23), yaitu sedalam H tanah. Besar kedalaman *vertical drain* dalam perencanaan ini dipasang sampai kedalaman tanah *compressible*, yaitu $N\text{-SPT} < 10$.



Gambar 2.23 Pemasangan *vertical drain* pada kedalaman lapisan *compressible*

(sumber: Mochtar, 2000)

2.8.2. Menentukan Waktu Konsolidasi akibat Vertikal Drain

Penentuan waktu konsolidasi didasarkan teori aliran pasir vertikal menurut Barron (1948), menggunakan asumsi teori Terzaghi tentang konsolidasi linier satu dimensi. Teori tersebut menetapkan hubungan antara waktu, diameter drain, jarak antara

drain, koefisien konsolidasi dan rata-rata derajat konsolidasi. Penentuan waktu konsolidasi dari teori Barron (1948) adalah :

$$t = \left(\frac{D^2}{8xCh} \right) x F(n) x \ln \left(\frac{1}{1 - \bar{U}_h} \right) \quad (2.84)$$

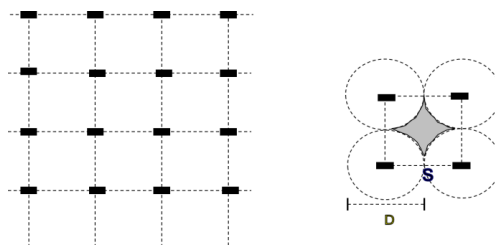
Dimana :

t = waktu untuk menyelesaikan konsolidasi primer

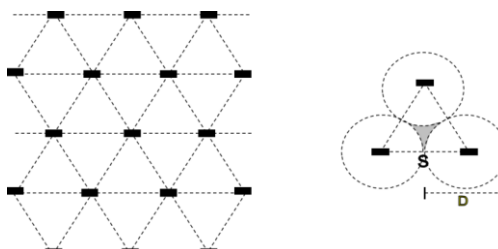
D = diameter *equivalen* dari lingkaran tanah yang merupakan daerah pengaruh PVD

Harga $D = 1,13 \times s$ untuk pola susunan bujur sangkar (Gambar 2.24)

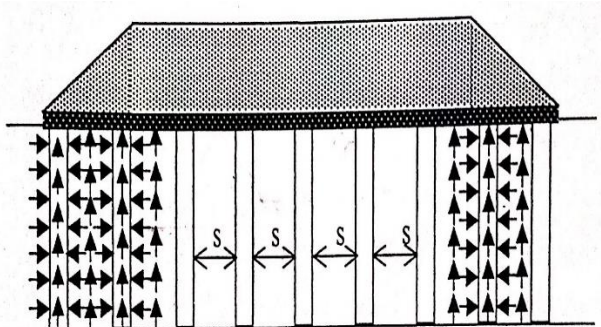
Harga $D = 1,05 \times s$ untuk pola susunan segitiga (Gambar 2.25)



Gambar 2.24 Pola susunan PVD bujur sangkar
(sumber : Mochtar, 2000)



Gambar 2.25 Pola susunan PVD segitiga
(sumber : Mochtar, 2000)



Gambar 2.26 Konsolidasi tanah lunak dengan vertical drain.

Ch = koefisien konsolidasi tanah horisontal

$$= (kh/kv) \cdot Cv \quad (2.85)$$

Kh/kv = perbandingan antara koefisien permeabilitas tanah dasar arah horizontal dan vertikal, untuk tanah lempung yang jenuh air, harga (kh/kv) berkisar antara 2 sampai 5. (sumber : Mochtar,2000)

$F(n)$ = faktor hambatan yang disebabkan karena jarak antara PVD

Hansbo (1979) menentukan waktu konsolidasi dengan menggunakan persamaan berikut :

$$t = \left(\frac{D^2}{8 \cdot Ch} \right) [2F(n)] \ln \left(\frac{1}{1 - \bar{U}h} \right) \quad (2.86)$$

Dimana :

t = waktu yang diperlukan untuk mencapai $\bar{U}h$

D = diameter lingkaran.

Ch = koefisien konsolidasi aliran horizontal

$F(n)$ = faktor hambatan disebabkan karena jarak antara PVD.

$\bar{U}h$ = derajat konsolidasi tanah arah horisontal

Selain konsolidasi arah horisontal, terjadi juga kosolidasi arah vertikal. Waktu konsolidasi vertikal sebagai berikut :

$$T_v = \frac{t \cdot Cv}{(Hd r^2)} \quad (2.87)$$

Dimana :

t = waktu sembarang yang dipilih

H_{dr} = panjang PVD.

C_v = harga C_v tanah pada lapisan setebal panjang PVD

T_v = bilangan tak berdimensi yang disebut faktor waktu

Harga U_v dicari dengan persamaan :

Untuk $U_v > 60\%$:

$$U_v = (100 - 10^a) \quad (2.88)$$

Dimana :

$$a = \frac{1.781 - T_v}{0.933} \quad (2.89)$$

Untuk U_v antara 0 s/d 60% :

$$U_v = \left(2 \sqrt{\frac{t_v}{\pi}} \right) \times 100\% \quad (2.90)$$

Derajat konsolidasi rata-rata U dapat dicari dengan cara :

$$U = [1 - (1 - U_h)(1 - U_v)] \times 100\% \quad (2.91)$$

2.9. Perkuatan dengan *Geotextile*

Perhitungan perencanaan geotekstil memerlukan data yang didapat dari program bantu seperti XSTABL, antara lain nilai faktor keamanan (SF), momen penahan/ momen resisten (Mr), jari-jari kelongsoran (R), serta koordinat titik pusat bidang longsor. Tahapan perhitungan penggunaan geotextile adalah :

1) Mencari nilai momen dorong (M_D)

$$M_{dorong} = \frac{M_{res}}{SF} \quad (2.92)$$

2) Mencari nilai $M_{resisten}$ rencana dengan angka keamanan rencana (biasanya SF = 1,2)

$$M_{resisten\ rencana} = M_{dorong} \times SF_{rencana} \quad (2.93)$$

3) Mencari nilai tambahan Momen penahan (ΔMR) dari FS rencana

$$\Delta MR = M_{resisten\ rencana} - M_{resisten\ yang\ terjadi} \quad (2.94)$$

4) Mencari Kekuatan dari bahan geotekstil

Pada perencanaan geotextile harus dipertimbangkan kekuatan tarik ijin dari bahan geotextile tersebut dalam menerima atau memikul gaya geser saat terjadinya kelongsoran. Rumus kekuatan bahan geotextile adalah persamaan :

$$T_{allow} = T_{ult} \times \left(\frac{1}{FS_{id} \times FS_{cr} \times FS_{cd} \times FS_{bd}} \right) \quad (2.95)$$

Dimana :

T_{allow} = kekuatan geotekstil yang tersedia

T_{ult} = kekuatan ultimate geotekstil

FS_{id} = faktor keamanan akibat kerusakan pada saat pemasangan

FS_{cr} = faktor keamanan akibat rangkak

FS_{cd} = faktor keamanan akibat pengaruh bahan-bahan kimia

FS_{id} = faktor keamanan akibat pengaruh aktifitas biologi dalam tanah

FS_{id} , FS_{cr} , FS_{cd} , FS_{id} merupakan faktor reduksi akibat pengurangan kekuatan geotextile yang besarnya dapat dilihat pada tabel berikut

Tabel 2.13 Nilai Faktor Geotekstil

| Penggunaan Geotextile | Faktor Pemasangan, FS_{id} | Faktor Rangkak, FS_{cr} | Faktor Kimia, FS_{cd} | Faktor Biolog, FS_{id} |
|-----------------------|------------------------------|---------------------------|-------------------------|--------------------------|
| Separation | 1,1 – 2,5 | 1,1 – 1,2 | 1,0 – 1,5 | 1,0 – 1,2 |
| Cushioning | 1,1 – 2,0 | 1,2 – 1,5 | 1,0 – 2,0 | 1,0 – 1,2 |
| Unpaved Roads | 1,1 – 2,0 | 1,5 – 2,5 | 1,0 – 1,5 | 1,0 – 1,2 |
| Walls | 1,1 – 2,0 | 2,0 – 4,0 | 1,0 – 1,5 | 1,0 – 1,3 |
| Embankments | 1,1 – 2,0 | 2,0 – 3,0 | 1,0 – 1,5 | 1,0 – 1,3 |
| Bearing Capacity | 1,1 – 2,0 | 2,0 – 4,0 | 1,0 – 1,5 | 1,0 – 1,3 |
| Slope Stabilization | 1,1 – 1,5 | 1,5 – 2,0 | 1,0 – 1,5 | 1,0 – 1,3 |
| Pavement Overlays | 1,1 – 1,5 | 1,0 – 1,2 | 1,0 – 1,5 | 1,0 – 1,1 |
| Railroads | 1,5 – 3,0 | 1,0 – 1,5 | 1,5 – 2,0 | 1,0 – 1,2 |
| Flexible Form | 1,1 – 1,5 | 1,5 – 3,0 | 1,0 – 1,5 | 1,0 – 1,1 |
| Silt Fences | 1,1 – 1,5 | 1,5 – 2,5 | 1,0 – 1,5 | 1,0 – 1,1 |

5) Menentukan jumlah geotekstil yang dibutuhkan

$$\Delta MR < T_{allow} \times \sum R_i \quad (2.96)$$

Dimana :

$\sum R_i$ = penjumlahan jarak pasang masing-masing geotekstil terhadap titik-titik pusat jari-jari kelongsoran, hingga

nilainya lebih besar dari nilai Momen resisten yang dibutuhkan (ΔMR)

- 6) Menghitung panjang geotekstil di belakang bidang longsor (Le)

Panjang geotextile di belakang bidang longsor dapat diketahui melalui rumusan:

$$Le = \frac{T_{all} \times SF}{(\tau_{atas} + \tau_{bawah})xE} \quad (2.97)$$

$$\tau_i = Cu_i + \sigma_v \tan\theta \quad (2.98)$$

Dimana :

Tall = kekuatan tarik yang diijinkan (tereduksi oleh faktor-faktor)

SF = faktor keamanan (rencana)

E = efisiensi (diambil E = 0.8)

τ_{atas} = tegangan geser antara geotextile dengan tanah di atas geotextile

τ_{bawah} = tegangan geser antara geotextile dengan tanah di bawah geotextile

C = kohesi tanah

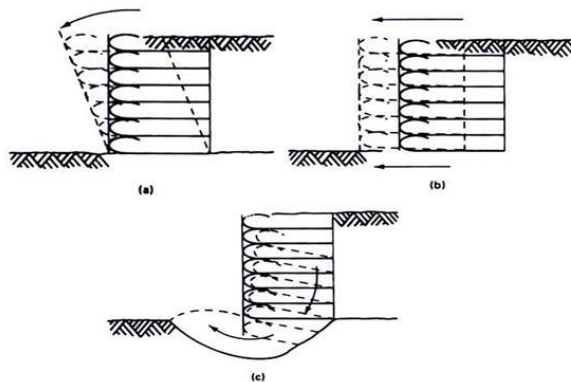
θ = sudut tahanan geser tanah

- 7) Menghitung panjang geotekstil di depan bidang longsor

Panjang geotekstil di depan bidang longsor dapat diperoleh dengan menggambar manual secara tepat model timbunan, daerah bidang longsor, dan panjang geotekstil di belakang bidang longsor sesuai dengan koordinat titiknya, yang diperoleh dari program XSTABL. Kebutuhan panjang total geotekstil adalah jumlah panjang geotekstil di belakang bidang longsor dan panjang geotekstil di depan bidang longsor.

- 8) Kontrol *External Stability*

Untuk perencanaan *Geotextile* sebagai dinding penahan tanah perlu diperhatikan *External Stability*, yaitu:



Gambar 2.27 *External Stability* pada *Geotextile Walls* (a) Aman terhadap geser (b) Aman terhadap geser (c) Aman terhadap kelongsoran daya dukung

a. Kontrol Terhadap Geser

Faktor keamanan dapat dihitung dengan rumusan:

$$F = \frac{a \times b + N \times \tan \delta}{T} \quad (2.99)$$

Dimana: R = resultan gaya-gaya yang bekerja

N = komponen vertikal R

T = komponen horizontal R

b = lebar pondasi / landasan

a = karakteristik adhesi

δ = sudut geser antara dasar tembok dengan tanah

F = faktor keamanan

$F \geq 1.5$, untuk tekanan pasif diabaikan

$F \geq 2.0$, untuk tekanan pasif tidak diabaikan

Menurut Terzaghi dan Peck, unsur adhesi dapat diabaikan namun tetap menggunakan unsur lekatan antar tanah dan pondasi, sehingga perumusannya menjadi:

$$F = \frac{N \times \tan \delta}{T} \quad (2.100)$$

Tabel 2.14 Hambatan antar Tanah dan Pondasi

| | |
|---|---------------------|
| Tanah pondasi dengan butiran kasar, tanpa lempung dan lanau | $\delta = 30^\circ$ |
| Tanah pondasi dengan butiran kasar, dengan lempung atau lanau | $\delta = 25^\circ$ |
| Kasus yang lainnya | $\delta = 20^\circ$ |

(sumber : Herman Wahyudi, 1999)

Geser juga bisa terjadi didalam penahan itu sendiri.

Syarat agar tidak terjadi hal demikian adalah:

$$T < f \times N$$

$$F = \frac{f \times N}{T} \quad (2. 101)$$

Dimana:

 f = koefisien gesekan antar material didalam dinding. Pada umumnya dipakai $f = 0,60$. (Wahyudi, Herman 1999)

b. Kontrol Terhadap Guling

Faktor keamanan dapat dihitung dengan rumusan:

$$FS = \sum \frac{\text{resisting moment}}{\text{driving moment}}$$

$$FS = \sum \frac{w_i \cdot x_i + Pa \sin \delta \cdot x_i}{Pa \cos \delta \cdot R_i} \quad (2. 102)$$

Dimana:

 w_i = Berat tanah di atas *geotextile* (t/m^3) x_i/R_i = Jarak dari titik berat gaya ke titik O yang ditinjau/lengan momen (m) Pa = Gaya akibat tekanan tanah aktif (t/m^3)

c. Kontrol Terhadap Daya Dukung Sebagai Pondasi

Kontrol daya dukung tanah yang dikemukakan oleh Terzaghi adalah :

$$ql = C.Nc + q.Nq + 0.5\gamma BN_\gamma \quad (2. 103)$$

Dimana:

q_l = tegangan dalam tanah maksimum

B = lebar dasar pondasi

D = kedalaman pondasi (terdalam)

γ = berat volume tanah

C = kohesi tanah

N_γ, N_c, N_q = koefisien daya dukung tanah akibat γ (Lampiran 1)

SF = angka keamanan, umumnya ditetapkan $\geq 1,5$

2.10. Daya Dukung Tiang Bor

Salah satu alternatif pemakaian pondasi dalam adalah tiang bor. Istilah tiang bor dikarenakan ketika pemasangan tiang tersebut, dibuat lubang pada tanah di kedalaman tertentu dengan cara dibor, kemudian dimasukan rangkaian tulangan dan selanjutnya dimasukan adukan beton. Terkadang penulangan dipasang tidak sampai dasar tiang. Hal ini dilakukan untuk pertimbangan efisiensi (Djoko Untung, 2010).

Penentuan diameter tiang (D_s)

$$D_s = 2.257 \sqrt{\frac{Q_w}{f'c}} \quad (2. 104)$$

Dimana,

Q_w = beban yang bekerja diatas tiang

$f'c$ = mutu beton

D_s = diameter tiang bor

Daya dukung tiang dihitung dengan rumus

$$Qu = Qe + Qf \quad (2. 105)$$

Dimana,

Qu = daya dukung ultimate

Qe = daya dukung di ujung tiang

Qs = daya dukung pada selimut tiang

1) Daya dukung di ujung tiang (Qe)

$$Qe = Ap (CN_c + qN_q + 0.3\gamma DbN\gamma) \quad (2. 106)$$

Dimana:

A_p = luas penampang pada ujung tiang

C = cohesi tanah

γ = berat volume tanah

D_b = diameter dasar tiang

q = tegangan efektif vertical

N_c, N_g, N_q = faktor daya dukung diperoleh dari grafik
bergantung pada ϕ

2) Daya dukung pada selimut tiang (Q_f)

Untuk Jenis Tanah Pasir ($c=0$)

$$Q_e = A_p q (N_q - 1) \quad (2. 107)$$

$$Q_f = \pi D_s (1 - \sin \phi) \int_0^L \sigma' \tan \delta \, dz \quad (2. 108)$$

Dimana:

L = panjang tiang

dz = luas diagram tekanan tanah pada tiang

δ = $2/3 \phi$

Untuk Jenis Tanah liat ($\phi = 0$ & $N_q = 1$)

$$Q_e = A_p C_u N_c \quad (2. 109)$$

$$Q_f = \alpha C_u p \Delta l \quad (2. 110)$$

Dimana,

$N_c = 9$

C_u = undrained cohesion

p = keliling tiang

Δl = tebal lapisan tanah

$\alpha = 0.35 - 0.6$

$$Q_{jin} = \frac{Q_e + Q_f}{SF} \quad (2. 111)$$

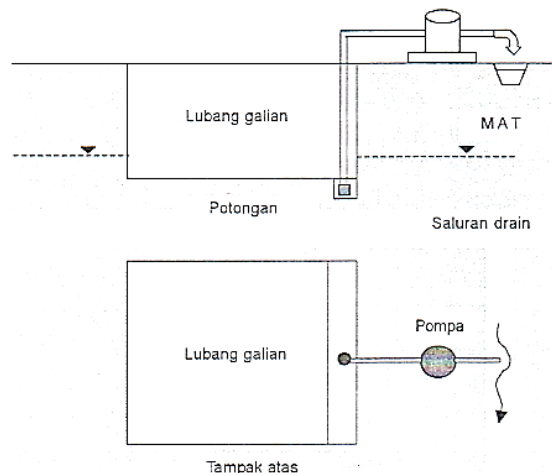
2.11. Dewatering

Dewatering atau pekerjaan pengeringan bertujuan untuk dapat mengendalikan air (air tanah/permukaan) agar tidak mengganggu/menghambat proses pelaksanaan suatu pekerjaan konstruksi, terutama untuk pelaksanaan bagian struktur yang berada dalam tanah dan di bawah muka air tanah.

Secara mendasar ada beberapa metode *dewatering* yang dapat diterapkan pada proses pelaksanaan proyek konstruksi, yaitu;

1. *Open pumping*

Pada metode ini air dibiarkan mengalir ke dalam lubang galian, kemudian dipompa keluar melalui sumur atau selokan penampung di dasar galian, seperti pada Gambar 2.28



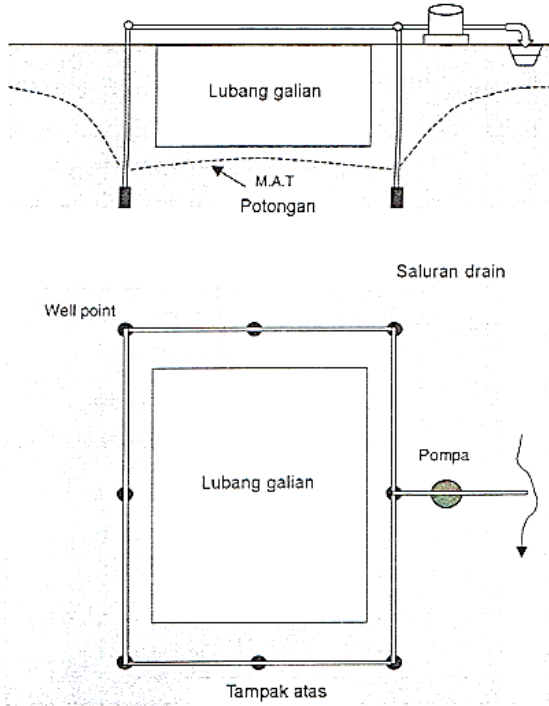
Gambar 2.28 *Open Pumping*
(Asiyanto, 2006)

Metode *open pumping* dipilih apabila;

- a. Karakteristik tanah merupakan tanah padat, bergradiasi baik dan berkohesi
- b. Jumlah air yang akan dipompa tidak besar debitnya

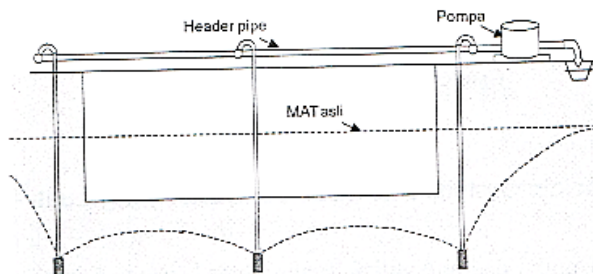
- c. Dapat dibuat sumur/selokan penampung untuk pompa
 - d. Galian tidak dalam
2. *Predrainage*

Pada metode ini muka air tanah (*water table*) diturunkan terlebih dulu sebelum penggalian dimulai dengan menggunakan *wellpoints*, seperti pada Gambar 2.29



Gambar 2.29 *Predrainage*
(Asiyanto, 2006)

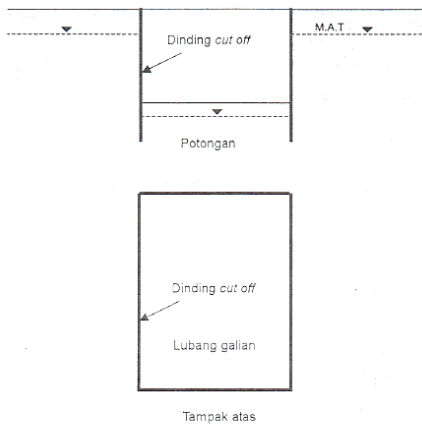
Untuk daerah galian yang luas dan harus digali sekaligus, biasanya di bagian tengah daerah galian terpaksa dipasang *wellpoints*, seperti pada Gambar 2.30



Gambar 2.30 *Predrainage Dengan Wellpoint*
(Asiyanto, 2006)

Metode *predrainage* dipilih apabila;

- Karakteristik tanah merupakan tanah lepas, berbutir seragam, cadas lunak dan banyak celah
 - Jumlah air yang akan dipompa cukup besar debitnya
 - Slope tanah sensitif terhadap erosi atau mudah terjadi *rotary slide*
 - Penurunan muka air tanah tidak mengganggu /merugikan bangunan sekitarnya
 - Tersedia saluran pembuangan air *dewatering*
3. *Cut off*
Pada metode ini aliran air tanah dipotong dengan beberapa cara, yaitu dengan menggunakan *steel sheet pile*, *concrete diaphragm wall*, *secant piles* dan *slurry trenches* seperti pada Gambar 2.31



Gambar 2.31 *Cut Off Dewatering*
(Asiyanto, 2006)

Metode *cut off* dipilih apabila;

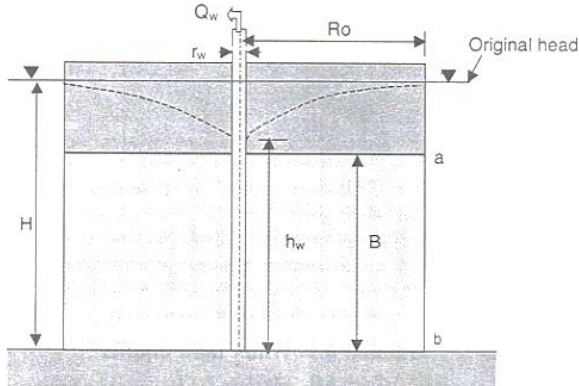
- Karakteristik tanah merupakan tanah lepas, berbutir seragam, cadas lunak dan banyak celah
- Jumlah air yang akan dipompa cukup besar debitnya
- Dinding *cut off* diperlukan juga untuk struktur penahan tanah
- Gedung di sebelah yang ada sensitif terhadap penurunan muka air tanah
- Tidak tersedia saluran pembuangan
- Diperlukan untuk menunjang metode *top down* pada pekerjaan *basement*

Analisis hidrologi pada sistem dewatering adalah rumus-rumus pendekatan atau empiris yang digunakan untuk menghitung debit air yang harus dipompa. Ada tiga kondisi dalam penyusunan rumus, yaitu;

1. *Confined aquifer*

Gambar 2.32 sebuah sumur dengan friksi kecil yang ditembus sepenuhnya pada *confined aquifer* dengan permeability K dan ketebalan B. Pada jarak Ro dari sumur,

air disedot/dopompa keluar dengan debit konstan Q dan menurunkan muka air tanah di sumur menjadi h_w .



Gambar 2.32 *Confined Aquifer*
(Asiyanto, 2006)

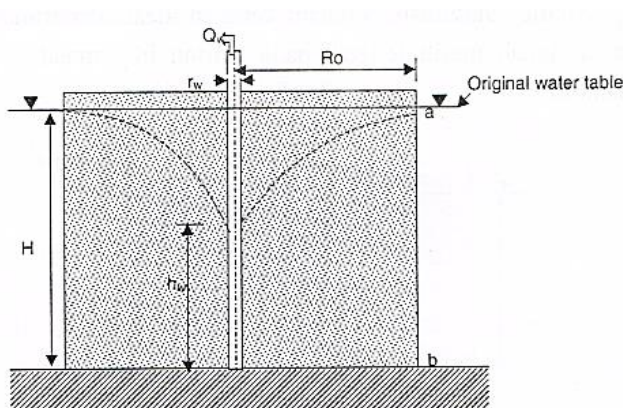
Aquifer diasumsikan dalam keadaan ideal. Penurunan muka air tanah masih terletak pada lapisan *impermeable*, sehingga;

$$Q_w = \frac{2\pi K B (H - h_w)}{\ln R_o / r_w} \quad (2.112)$$

Dimana Q dalam m^3/hari , H , h , R_o , r_w dalam meter dan K dalam m/hari

2. Water table aquifer

Arus air tanah pada *water table aquifer* lebih kompleks, namun rumus pendekatan yang ada cukup memberikan perkiraan yang bagus. Penurunan muka air tanah hanya melalui satu jenis tanah permeable (porous), seperti pada Gambar 2.33



Gambar 2.33 Water Table Aquifer
(Asiyanto, 2006)

$$Q_w = \frac{2\pi K.(H^2 - h_w^2)}{\ln(R_o/r_w)} \quad (2.113)$$

Dimana Q dalam m^3/hari , H , h , R_o , r_w dalam meter dan K dalam m/hari

3. Mixed aquifer

Penurunan muka air tanah melalui dua jenis tanah yaitu lapisan impermeable dan lapisan permeable seperti pada Gambar 2.34

$$Q_w = \frac{\pi K.(2BH - B^2 - h_w^2)}{\ln(R_o/r_w)} \quad (2.114)$$

Dimana Q dalam m^3/hari , H , h , R_o , r_w dalam meter dan K dalam m/hari

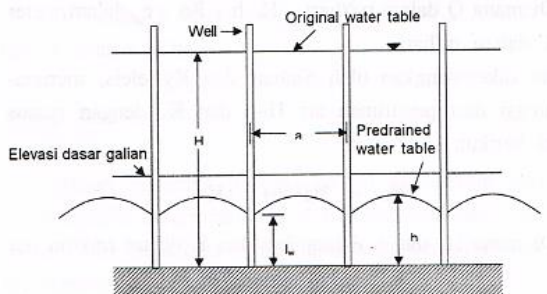
Ro dikembangkan oleh Sichert dan Kyrielies, merupakan fungsi dari penurunan air $H-h$ dan K dengan rumus sebagai berikut;

$$Ro = 3(H-h).v.K \quad (2.115)$$

Dimana H dan h dalam feet dan K dalam mikron/detik

Kapasitas well merupakan fungsi dari panjang lw ke dalam *aquifer* yang jenuh, *permeability* dari *aquifer* K dan terbatas

dalam diameter well r_w . Pada *water table aquifer* yang tidak terlalu jauh dari dasar galian, dapat dilihat profil dari *well system* pada Gambar 2.34



Gambar 2.34 *Profil Well System*
(Asiyanto, 2006)

Besarnya kapasitas *well* dapat dihitung dengan rumus sebagai berikut;

$$Q_w = \frac{\Pi K \cdot (H^2 - h^2)}{Ln. Ro / r_w} \quad (2.116)$$

2.12. Dinding dan Pelat Lantai

2.9.1. Dimensi dan Penulangan

Berdasarkan SNI 2847:2013 Persyaratan beton struktural untuk bangunan gedung, bahwa konstruksi dua arah (non prategang) harus mengendalikan tebal minimum pelat atau konstruksi dua arah lainnya yang didesain sesuai dengan ketentuan Pasal 13 dan memenuhi persyaratan dari 13.6.1.2. Tebal pelat tanpa balok interior yang membentang di antara tumpuan pada semua sisinya harus memenuhi salah satu ketentuan dari 9.5.3.2 atau 9.5.3.4.

Untuk pelat tanpa balok interior yang membentang di antara tumpuan dan mempunyai rasio bentang panjang terhadap bentang pendek yang tidak lebih dari 2, tebal minimumnya harus memenuhi ketentuan Tabel 9.5(c) dan tidak boleh kurang dari nilai berikut:

Tabel 2.15 Tebal Minimum Pelat Tanpa Balok Interior*

| Tegangan leleh, f_y MPa [†] | Tanpa penebalan [‡] | | Dengan penebalan [‡] | | | |
|---|------------------------------|-----------------------------------|-------------------------------|---------------------|-----------------------------------|------------|
| | Panel eksterior | | Panel interior | Panel eksterior | Panel interior | |
| | Tanpa balok pinggir | Dengan balok pinggir [§] | | Tanpa balok pinggir | Dengan balok pinggir [§] | |
| 280 | $t_n / 33$ | $t_n / 36$ | $t_n / 36$ | $t_n / 36$ | $t_n / 40$ | $t_n / 40$ |
| 420 | $t_n / 30$ | $t_n / 33$ | $t_n / 33$ | $t_n / 33$ | $t_n / 36$ | $t_n / 36$ |
| 520 | $t_n / 28$ | $t_n / 31$ | $t_n / 31$ | $t_n / 31$ | $t_n / 34$ | $t_n / 34$ |

*Untuk konstruksi dua arah, t_n adalah panjang bentang bersih dalam arah panjang, diukur muka ke muka tumpuan pada pelat tanpa balok dan muka ke muka balok atau tumpuan lainnya pada kasus yang lain.
[†]Untuk f_y antara nilai yang diberikan dalam tabel, tebal minimum harus ditentukan dengan interpolasi linier.
[‡]Panel drop difinisikan dalam 13.2.5.
[§]Pelat dengan balok di antara kolom kolomnya di separang tepi eksterior. Nilai α_2 untuk balok tepi tidak boleh kurang dari 0,8.

(Sumber: SNI 2847:2013, Tabel 9.5(c))

Tulangan minimum pada komponen struktur lentur pada setiap penampang komponen struktur lentur dimana tulangan tarik diperlukan oleh analisis, A_s yang tersedia tidak boleh kurang dari nilai yang diberikan oleh;

$$A_{\min} = \frac{0,25\sqrt{fc'}}{f_y} \cdot b_w d \quad (2. 117)$$

dan tidak lebih kecil dari $1,4b_w d/f_y$

Pasal 13.3.2 Spasi tulangan pada penampang kritis tidak boleh melebihi dua kali tebal slab, kecuali untuk bagian luas slab konstruksi sel atau berusuk. Pasal 13.3.3 Tulangan momen positif yang tegak lurus terhadap tepi tak menerus harus menerus ke tepi slab dan mempunyai penanaman, lurus atau kait, paling sedikit 150 mm dalam balok tepi (spandrel), kolom, atau dinding.

Menentukan rasio kekuatan material

$$m = \frac{f_y}{0,85fc'} \quad (2. 118)$$

$$R_n = \frac{Mu}{\phi \times b \times d^2} \quad (2. 119)$$

Menentukan rasio penulangan

$$\rho \text{ perlu} = \frac{1}{m} \left[1 - \sqrt{1 - \frac{2mR_n}{f_y}} \right] \quad (2. 120)$$

Berdasarkan SNI 2487-2013 Pasal 7.12.2.1 (c) untuk slab yang menggunakan batang tulangan ulir atau tulangan kawat las mutu 420, maka rasio tulangan terhadap luas bruto penampang beton, $\rho = 0.0018$

Berdasarkan SNI 2487 Pasal 14.3.2 (b) untuk perencanaan dinding ρ_{\min} tulangan vertikal untuk batang tulangan ulir $\leq D-16$ adalah 0.0012 dan 0.0015 untuk $> D-16$ atau dapat menggunakan $1.4/f_y$.

Menentukan luasan tulangan yang diperlukan

$$As = \rho \cdot b \cdot d \quad (2. 121)$$

Menghitung momen nominal

$$\Omega M_n = \phi A_s f_y \left(d - \frac{a}{2} \right) \quad (2. 122)$$

$$a = \frac{As \times f_y}{0.85 f'_c c \times b} \quad (2. 123)$$

Perhitungan jarak tulangan:

Berdasarkan SNI 2487 Pasal 7.12.2.2 Jarak tulangan susut dan suhu satu sama lain tidak boleh lebih jauh dari 5 kali tebal dinding atau tidak lebih jauh dari 450 mm.

2.9.2. Kontrol *Uplift*

Struktur bangunan bawah tanah dikontrol kestabilannya terhadap gaya angkat ke atas akibat tekanan air tanah. Kontrol *uplift pressure* dilakukan terutama pada bagian pelat lantai paling bawah yang bersentuhan langsung dengan tanah. Lapisan tanah kedap air seperti lempung di bawah pelat akan ikut sebagai penahan gaya angkat ini. Persamaannya dapat dihitung sebagai berikut.

$$F_b = \frac{W_{struktur} + \sum_i \cdot \gamma_{ti} \cdot h_i + \frac{Q_s}{3}}{H_w \gamma_w A} \quad (2.124)$$

Dimana:

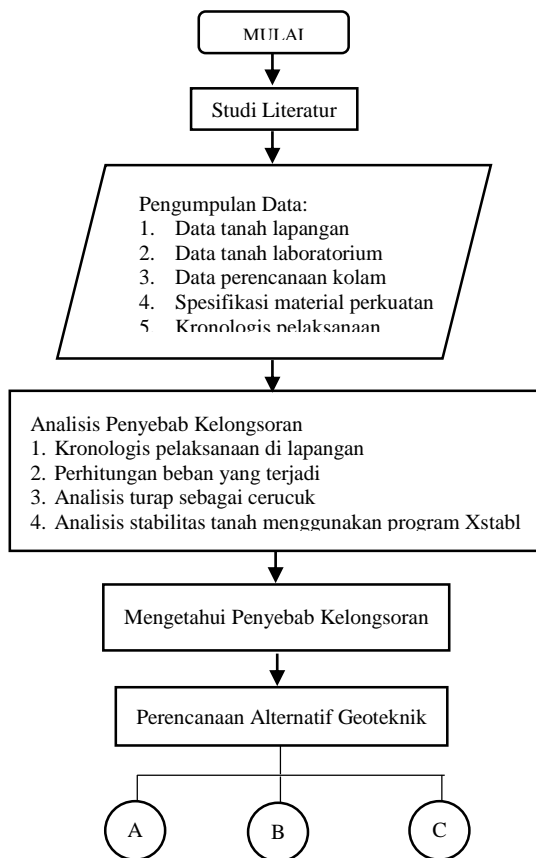
- F_b = FS terhadap gaya angkat $\geq 1,2$
- $W_{struktur}$ = berat struktur di atas tanah
- γ_{ti} = berat jenis tanah kedap air
- h_i = tebal lapisan tanah kedap air
- Q_s = *skin friction*
- H_w = tinggi muka air tanah
- γ_w = berat jenis air tanah
- A = luasan pelat yang paling bawah

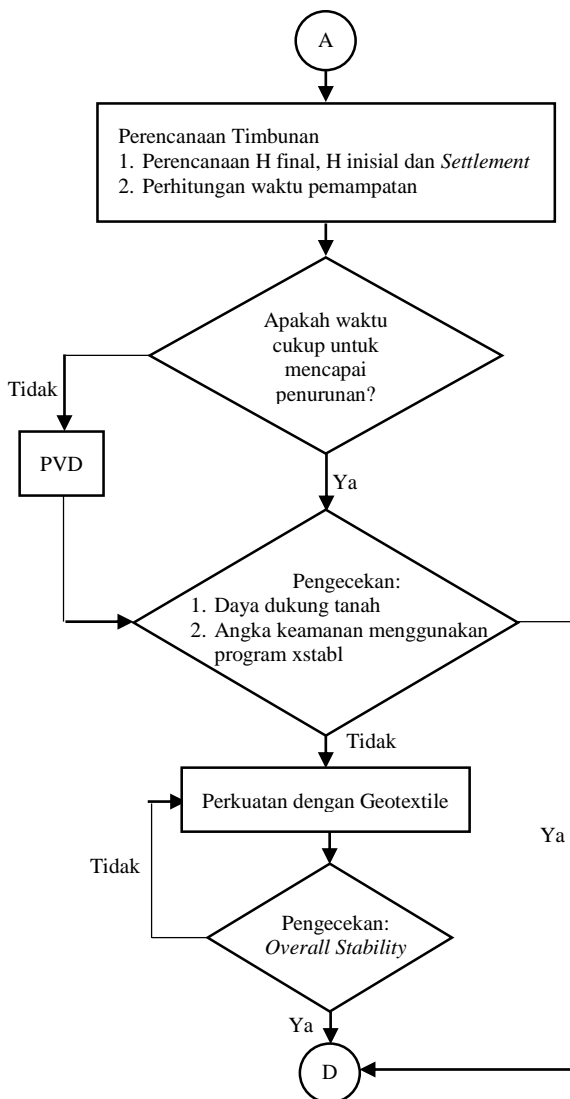
"Halaman ini sengaja dikosongkan"

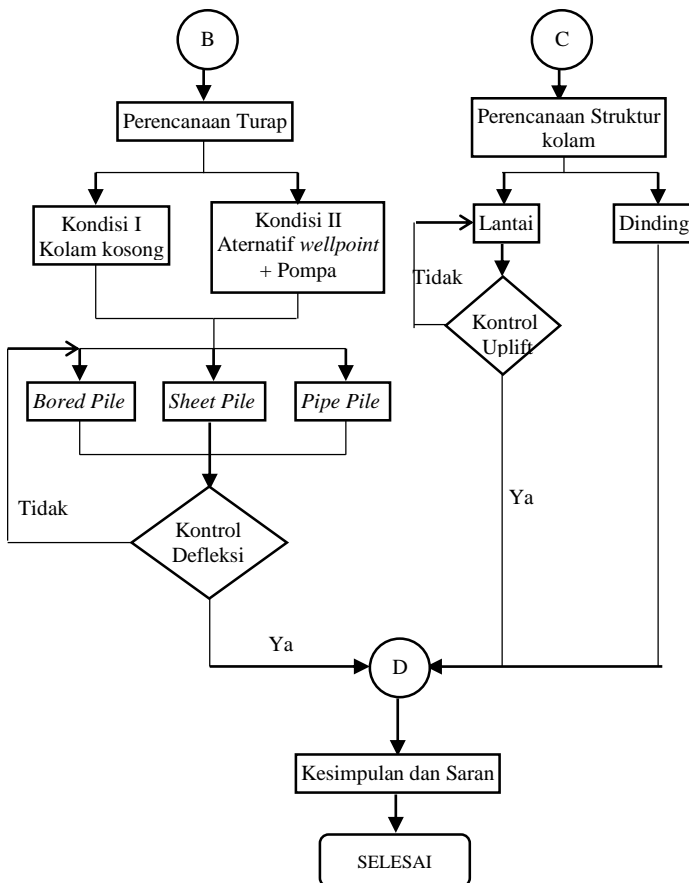
BAB III METODOLOGI

3.1. Bagan Alir

Berikut ini adalah diagram alir dalam penulisan Tugas Akhir "Alternatif Perencanaan Geoteknik Untuk Pembangunan Kolam Loncat Indah di Banjarmasin"







Gambar 3.2 Diagram Alir Tugas Akhir

3.2. Studi Literatur

Studi literatur adalah tahapan untuk mengumpulkan dasar-dasar teori yang didapat dari berbagai sumber literatur yang kemudian dipelajari dan digunakan sebagai acuan dalam melakukan perencanaan. Adapun dasar teori yang akan digunakan sebagai acuan dalam melakukan perencanaan adalah sebagai berikut:

- 1) Teori tekanan tanah
- 2) Teori kelongsoran tanah
- 3) Teori *preloading*
- 4) Teori PVD
- 5) Teori *geotextile*
- 6) Perkuatan dengan turap
- 7) Konsolidasi
- 8) Teori daya dukung
- 9) Teori tentang dinding dan pelat lantai

3.3. Pengumpulan dan Analisis Data

Data-data yang diperlukan dalam perencanaan ini adalah data sekunder yang didapat dari instansi terkait atau hasil survei dari pihak lain. Data tersebut meliputi :

- 1) Data tanah lapangan
- 2) Data tanah laboratorium
- 3) Data perencanaan kolam loncat indah
- 4) Spesifikasi material perkuatan
- 5) Kronologis pelaksanaan

3.4. Analisis Penyebab Kelongsoran

Analisis yang dimaksud untuk mengevaluasi kondisi *existing* turap di lapangan. Analisis dilakukan dalam beberapa tahap, sebagai berikut;

- 1) Kronologis pelaksanaan di lapangan
- 2) Perhitungan beban yang terjadi
- 3) Analisis turap sebagai cerucuk
- 4) Analisis stabilitas tanah menggunakan program Xstabl

Berdasarkan hasil analisis tersebut didapatkan penyebab terjadinya kelongsoran tanah dan struktur turap di lapangan.

3.5. Perencanaan Alternatif Geoteknik

Perencanaan geoteknik yang akan dilakukan terlebih dahulu adalah menentukan parameter tanah dari hasil penyelidikan tanah di lapangan yang kemudian di korelasi. Hal ini dilakukan karena keterbatasan data tanah yang didapatkan. Selanjutnya hasil korelasi

digunakan sebagai dasar perencanaan. Adapun tahapannya sebagai berikut;

- 1) Perencanaan timbunan untuk mengetahui besarnya H *inisial* dan *settlement*
- 2) Perencanaan PVD, jika waktu konsolidasi membutukan waktu yang sangat lama
- 3) Perhitungan peningkatan harga Cu akibat *preloading*
- 4) Perencanaan geotextile sebagai perkuatan timbunan
- 5) Perencanaan turap dilakukan dengan 2 kondisi, dimana kondisi I adalah saat kolam kosong dan kondisi II adalah kondisi kolam kosong dan muka air diturunkan sehingga tidak terjadi perbedaan tinggi muka air. Perencanaan profil turap dengan 3 jenis profil yaitu *bored pile*, *steel sheet pile*, dan *steel pipe pile*.
- 6) Perencanaan struktur kolam meliputi pelat lantai dan dinding kolam berdasarkan SNI 2478:2013.

3.6. Kesimpulan dan Saran

Pada bab kesimpulan ini dipaparkan beberapa hasil dari analisis penyebab kelongsoran dan perhitungan alternatif perkuatan seperti yang telah direncanakan dan pemilihan alternatif dari segi biaya material.

"Halaman ini sengaja dikosongkan"

BAB IV

ANALISIS DATA TANAH DAN DATA PERENCANAAN

4.1. Data Tanah

4.1.1. Lokasi Pengambilan Data

Lokasi pengambilan data tanah untuk pembangunan kolam loncat indah terletak di Banjarmasin, Kalimantan Selatan. Dimana pada lokasi tersebut dilakukan penyelidikan tanah lapangan *Standart Penetration Test* dan *Bore Log* sampai kedalaman 40 m pada 5 titik di sekitar area lokasi perencanaan seperti pada Gambar 1.2.

4.1.2. Data Standart Penetration Test

Terdapat 5 titik Pengeboran dan *Standart Penetration Test* (SPT) yang dilakukan di lokasi pembangunan yaitu B-1, B-2, B-3, B-4 dan B-5. Dimana interval pengamatan dilakukan setiap 2 meter sedalam -40 meter dari elevasi tanah asli. Hasil penyelidikan tanah dapat dilihat pada Lampiran 1.

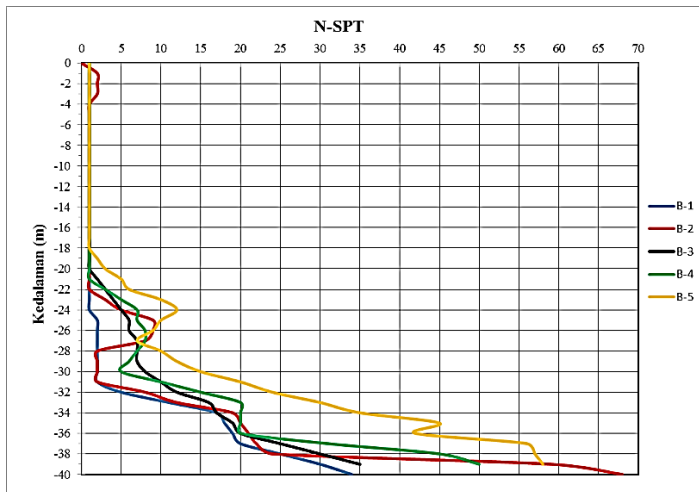
4.1.3. Penentuan Parameter Tanah

Parameter tanah ditentukan dari hasil analisa SPT dengan menggunakan tabel korelasi dan rumus sebagai berikut;

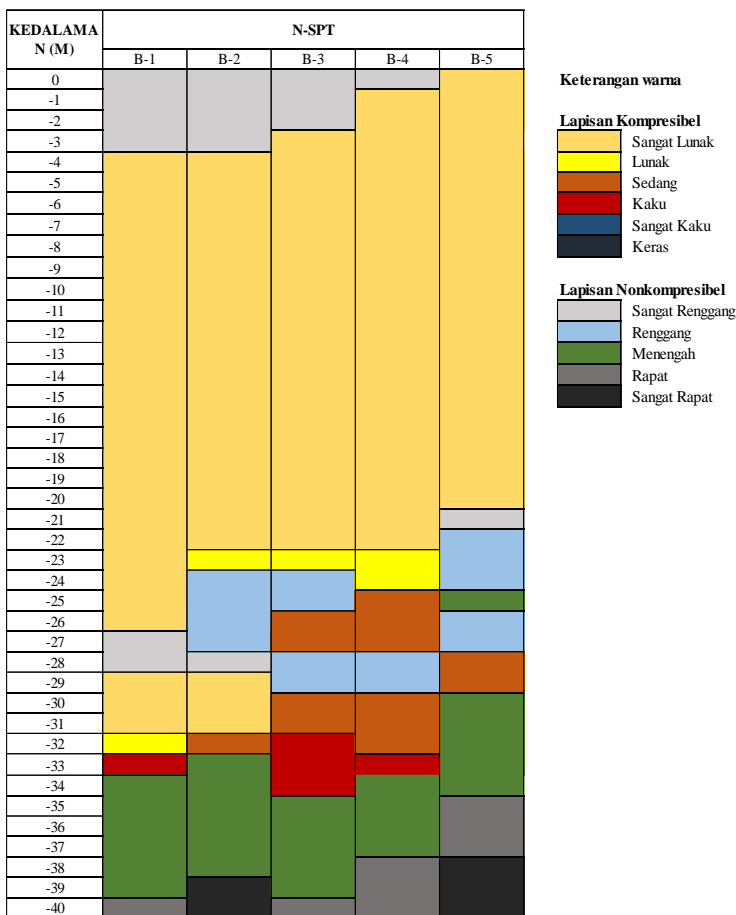
- 1) Nilai sudut geser ditaksir menggunakan korelasi dari Mochtar (2009, 2012) seperti pada Tabel 2.3, Tabel 2.4 dan kekuatan geser *undrained* (C_u) dihitung menggunakan rumus Ardhana & Mochtar pada Persamaan 2.30
- 2) Nilai berat isi dan sudut geser ditaksir menggunakan korelasi Bowles dan Hainim (2004) seperti pada Tabel 2.1
- 3) Nilai angka pori, kadar air, C_v ditaksir menggunakan korelasi Biarez (lampiran 1)

4.1.4. Pengolahan Data Tanah

Data hasil *Standart Penetration Test* kemudian dibuat grafik hubungan antara N-SPT dan kedalaman serta konsistensi lapisan tanah seperti Gambar 4.1 dan Gambar 4.2



Gambar 4.1 Grafik Hubungan Antara N-SPT dengan Kedalaman



Gambar 4.2 Konsistensi Lapisan Tanah

Gambar 4.1 menunjukkan kondisi kritis tanah adalah di titik B-1, Kemudian data B-1 digunakan untuk data perencanaan. Data tanah B-1 dikorelasikan sesuai dengan parameter tanah yang diperlukan. Hasil pengolahan data seperti pada Tabel 4.1

Tabel 4.1 Hasil Analisis Korelasi SPT Titik B-1

| Kedalaman m | Jenis Tanah | Konsistensi Tanah | N-SPT | γ_b | γ_{sat} | γ' | ϕ | Angka Pori, e | Kadar air | PI | LL | Cv |
|----------------|-------------------|----------------------|-------|--------------------|--------------------|--------------------|--------|------------------|--------------|----|----|--------------------|
| | | | | ton/m ³ | ton/m ³ | ton/m ³ | (°) | | % | % | % | cm ² /s |
| 0.00 - 3.00 | Pasir Kelanauan | Sangat renggang | 2 | 1.42 | 1.50 | 0.50 | 25 | 2.38 | 88 | - | - | - |
| 3.00 - 24.00 | Lanau Kelempungan | Sangat lunak | 1 | 1.40 | 1.47 | 0.47 | 0 | 2.62 | 96.89 | 30 | 58 | 0.000158 |
| 24.00 - 26.00 | Lanau Kepasiran | Sangat lunak | 2 | 1.42 | 1.48 | 0.48 | 10 | 2.54 | 93.32 | 25 | 50 | 0.000175 |
| 26.00 - 28.00 | Pasir Kelanauan | Sangat renggang | 2 | 1.42 | 1.50 | 0.50 | 25 | 2.38 | 88 | - | - | - |
| 28.00 - 31.00 | Lanau Kelempungan | Sangat lunak | 2 | 1.42 | 1.48 | 0.48 | 0 | 2.54 | 93.32 | 30 | 58 | 0.000175 |
| 31.00 - 33.00 | Lanau Kelempungan | Kaku | 11 | 1.60 | 1.80 | 0.80 | 0 | 1.14 | 42.03 | 30 | 58 | 0.000767 |
| 33.00 - 39.00 | Pasir | Medium | 23 | 1.70 | 2.00 | 1.00 | 35 | 0.35 | 13 | - | - | - |
| 39.00 - 40.00 | Pasir | Rapat | 34 | 1.75 | 2.10 | 1.10 | 37 | 0.29 | 10.6 | - | - | - |

Nilai Cu pada lapisan tanah kohesif dihitung setiap 2 meter, dimana perhitungan nilai Cu berdasarkan rumus Ardhana Mochtar (1999), persamaan 2.30 adalah sebagai berikut;

$$PL = 30\%$$

Perhitungan Po'

$$\begin{aligned} Po'_1 &= \gamma'_1 \cdot h_1 \\ &= 0.50 \times 1.50 = 0.75 \text{ t/m}^2 \\ &= 0.075 \text{ kg/cm}^2 \end{aligned}$$

$$\begin{aligned} Po'_2 &= Po'_1 + (\gamma'_2 \cdot h_2) \\ &= 0.75 + (0.47 \times 1.00) = 1.97 \text{ t/m}^2 \\ &= 0.197 \text{ kg/cm}^2 \end{aligned}$$

$$\begin{aligned} Po'_3 &= Po'_2 + (\gamma'_3 \cdot h_3) \\ &= 1.97 + (0.47 \times 1.00) = 2.91 \text{ t/m}^2 \\ &= 0.291 \text{ kg/cm}^2 \end{aligned}$$

$$\begin{aligned} Po'_4 &= Po'_3 + (\gamma'_4 \cdot h_4) \\ &= 2.91 + (0.47 \times 1.00) = 3.85 \text{ t/m}^2 \\ &= 0.385 \text{ kg/cm}^2 \end{aligned}$$

Hasil perhitungan Po' sampai dengan Po'₃₃ direkapitulasi dalam Tabel 4.2

Perhitungan Cu

Cu dihitung hanya pada lapisan tanah kohesif, yaitu:

$$\begin{aligned} Cu_2 &= 0.0737 + (0.19 - 0.0016PI) \cdot Po'_2 \\ &= 0.0737 + (0.19 - 0.0016 \times 30\%) \times 0.197 \\ &= 0.111 \text{ kg/cm}^2 \sim 1.11 \text{ t/m}^2 \end{aligned}$$

$$\begin{aligned} Cu_3 &= 0.0737 + (0.19 - 0.0016PI) \cdot Po'_3 \\ &= 0.0737 + (0.19 - 0.0016 \times 30\%) \times 0.291 \\ &= 0.129 \text{ kg/cm}^2 \sim 1.29 \text{ t/m}^2 \end{aligned}$$

$$\begin{aligned} Cu_4 &= 0.0737 + (0.19 - 0.0016PI) \cdot Po'_4 \\ &= 0.0737 + (0.19 - 0.0016 \times 30\%) \times 0.385 \\ &= 0.147 \text{ kg/cm}^2 \sim 1.47 \text{ t/m}^2 \end{aligned}$$

Hasil perhitungan nilai Cu sampai dengan Cu₃₃ dapat dilihat pada Tabel 4.2

Tabel 4.2 Hasil Analisis Data Tanah Berdasarkan Ardhana Mochtar

| Kedalaman (m) | Jenis Tanah | N-SPT | H (m) | Pusat, h (m) | γ_b ton/m ³ | γ_{sat} ton/m ³ | γ' ton/m ³ | Po' | | Cu | |
|------------------|-------------------|-------|----------|-----------------|----------------------------------|--------------------------------------|---------------------------------|--------------------|-------|--------------------|--------------------|
| | | | | | ton/m ² | kg/cm ² | kg/cm ² | ton/m ² | | kg/cm ² | ton/m ² |
| 3 | Pasir Kelanauan | 2 | 3.00 | 1.50 | 1.42 | 1.50 | 0.50 | 0.75 | 0.075 | 0 | 0 |
| 5 | | 1 | 2.00 | 1.00 | 1.40 | 1.47 | 0.47 | 1.97 | 0.197 | 0.111 | 1.11 |
| 7 | | 1 | 2.00 | 1.00 | 1.40 | 1.47 | 0.47 | 2.91 | 0.291 | 0.129 | 1.29 |
| 9 | | 1 | 2.00 | 1.00 | 1.40 | 1.47 | 0.47 | 3.85 | 0.385 | 0.147 | 1.47 |
| 11 | | 1 | 2.00 | 1.00 | 1.40 | 1.47 | 0.47 | 4.79 | 0.479 | 0.164 | 1.64 |
| 13 | | 1 | 2.00 | 1.00 | 1.40 | 1.47 | 0.47 | 5.73 | 0.573 | 0.182 | 1.82 |
| 15 | | 1 | 2.00 | 1.00 | 1.40 | 1.47 | 0.47 | 6.67 | 0.667 | 0.200 | 2.00 |
| 17 | | 1 | 2.00 | 1.00 | 1.40 | 1.47 | 0.47 | 7.61 | 0.761 | 0.218 | 2.18 |
| 19 | | 1 | 2.00 | 1.00 | 1.40 | 1.47 | 0.47 | 8.55 | 0.855 | 0.236 | 2.36 |
| 21 | | 1 | 2.00 | 1.00 | 1.40 | 1.47 | 0.47 | 9.49 | 0.949 | 0.254 | 2.54 |
| 23 | | 1 | 2.00 | 1.00 | 1.40 | 1.47 | 0.47 | 10.43 | 1.043 | 0.271 | 2.71 |
| 24 | | 1 | 1.00 | 0.50 | 1.40 | 1.47 | 0.47 | 11.14 | 1.114 | 0.285 | 2.85 |
| 26 | Lanau Kepasiran | 2 | 2.00 | 1.00 | 1.42 | 1.48 | 0.48 | 11.85 | 1.185 | 0.298 | 2.98 |
| 28 | Pasir Kelanauan | 2 | 2.00 | 1.00 | 1.42 | 1.50 | 0.50 | 12.83 | 1.283 | 0 | 0 |
| 30 | Lanau Kelempungan | 2 | 2.00 | 1.00 | 1.42 | 1.48 | 0.48 | 13.81 | 1.381 | 0.335 | 3.35 |
| 31 | | 2 | 1.00 | 0.50 | 1.42 | 1.48 | 0.48 | 14.53 | 1.453 | 0.349 | 3.49 |
| 33 | | 11 | 2.00 | 1.00 | 1.60 | 1.80 | 0.80 | 15.57 | 1.557 | 0.369 | 3.69 |

4.2. Data Spesifikasi Bahan

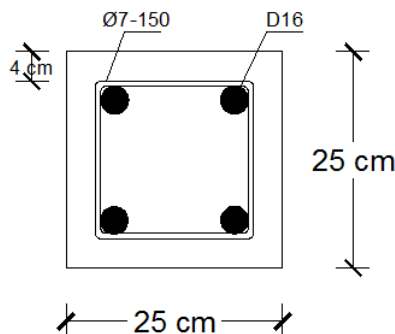
4.2.1. Data Existing

Spesifikasi turap yang digunakan di lapangan sesuai dengan perencanaan oleh konsultan perencana seperti pada Tabel 4.3 dan Gambar 4.3

Tabel 4.3 Spesifikasi Tiang Pancang dan Turap

| No | Keterangan | Tiang Pancang/Turap |
|----|------------------|-----------------------|
| 1 | Tipe material | <i>Minipile</i> beton |
| 2 | Dimensi | 25 cm x 25 cm |
| 3 | Panjang | 30 m, 10 m |
| 4 | Sifat pemasangan | <i>Injection Pile</i> |

(Sumber : Konsultan Perencana)



Gambar 4.3 Detail Turap Minipile Beton di Lapangan

4.2.2. Data Perencanaan

Adapun data perencanaan spesifikasi bahan yang akan digunakan dalam perhitungan konstruksi adalah sebagai berikut;

1) Geotextile

Geotextile digunakan sebagai perkuatan timbunan trapesium. *Geotextile* direncanakan menggunakan spesifikasi Unggul-Tex UW 250 dengan tensile strength 52 KN/m produksi PT. Teknindo Geosistem Unggul. Spesifikasi selengkapnya dapat dilihat pada Lampiran 1.

2) *Prefabricated Vertical Drain*

PVD yang digunakan adalah merk CeTeau Drain CT-D812 produksi PT. Teknindo Geosistem Unggul dengan dimensi 100 x 5 mm, spesifikasi selengkapnya dapat dilihat pada Lampiran 1.

3) Turap

Turap yang digunakan sebagai perkuatan tanah galian antara lain turap baja dari PT. Nippon & Sumitomo Indonesia. Spesifikasi dari turap ini dapat dilihat pada Lampiran 1, dan turap *bored pile* dengan dimensi 1.2 m dan 0.6 m.

4) Tiang Pancang

Tiang pancang yang digunakan sebagai perkuatan pondasi untuk menahan beban kolam menggunakan tiang *bored pile* dimensi 0.8 m.

BAB V

PEMBAHASAN

5.1. Kronologis Pelaksanaan

Adapun kronologis pelaksanaan pembangunan kolam loncat indah berdasarkan investigasi konsultan pengawas lapangan adalah sebagai berikut;

- 1) Pembongkaran kolam lama menggunakan tenaga manual dan peralatan *circle*. Pembongkaran dinding dan plat lantai bak kolam dilaksanakan menggunakan alat berat yaitu *excavator* PC 200, pembongkaran dimulai dari area menara dan selasar serta pembongkaran pondasi menara sedalam 4 m dari permukaan tanah. Kemudian tanah bekas galian ditumpuk ke area sisi utara dari menara hingga terjadi penumpukan tanah bekas galian kurang lebih 4 m, seperti pada Gambar 5.1



Gambar 5.1 Penumpukan Bekas Galian Tanah
(Sumber: Konsultan Pengawas Proyek)

- 2) Kontraktor mendatangkan sheet pile 25 x 25 panjang 10 m (3+7) dengan plat sambung tebal 6 mm tanpa pelat sepatu dan tidak dilengkapi dengan hasil tes tekan/tarik dari laboratorium
- 3) Kontraktor melanjutkan penggalian dengan menggunakan *excavator* PC 200. Penggalian yang seharusnya secara bertahap dilakukan kontraktor sekaligus dengan kedalaman 6

m pada sisi dalam sheet pile area tribun dan arah memanjang kolam lama, sehingga terjadi sliding tanah menekan sheet pile ke arah dalam kolam,

- 4) Kontraktor melaksanakan perbaikan siring yang miring ke dalam kolam dengan melaksanakan pengecoran kepala sheet pile keliling siring pada kolam dan memasang skur baja WF 250 sebagai penahan/penyangga kedua sisi sheet pile, seperti pada Gambar 5.2



Gambar 5.2 Pemasangan Skur Baja WF
(Sumber: Konsultan Pengawas Proyek)

- 5) Penggalian kembali dilaksanakan sampai peil dasar kolam selanjutnya pembuatan penguat/pengaku penahan siring setelah terjadi skur baja WF melengkung dengan cara pembuatan skur baja dengan perkuatan kremona, seperti pada Gambar 5.3



Gambar 5.3 Skur Baja dengan Perkuatan Kremona
(Sumber: Konsultan Pengawas Proyek)

- 6) Saat pelaksanaan curah hujan mulai tinggi, sehingga sliding tanah makin menekan sheet pile ke arah dalam kolam. Hal ini menyebabkan posisi sheet pile semakin miring, pada akhirnya pekerjaan dihentikan dengan kondisi struktur kolam seperti pada Gambar 5.4



Gambar 5.4 Kondisi Struktur Kolam Akibat Kelongsoran
(Sumber: Konsultan Pengawas Proyek)

5.2. Analisis Penyebab Kelongsoran

Berdasarkan kronologis pelaksanaan, bahwa penumpukan tanah bekas galian, penggunaan alat berat dan cerucuk sebagai turap, menjadi poin penting dalam analisis penyebab kelongsoran ini. Adapun tahapan analisis ini, sebagai berikut;

5.2.1. Perhitungan beban yang bekerja

1. Beban alat berat

Berdasarkan manual book excavator Komatsu PC-200, diketahui;

$$\text{Berat operasi alat} = 20 \text{ ton}$$

$$\text{Lebar alat} = 2.8 \text{ m}$$

$$\text{Panjang} = 3.27 \text{ m}$$

$$\begin{aligned}\text{Beban alat berat} &= \frac{\text{Berat operasi alat}}{\text{Lebar alat} \times \text{Panjang}} \\ &= \frac{20 \text{ ton}}{2.8 \text{ m} \times 3.27 \text{ m}} \\ &= 2.20 \text{ ton/m}^2\end{aligned}$$

2. Beban Timbunan bekas galian

Berdasarkan laporan konsultan pengawas, tanah bekas galian ditumpuk di sisi kolam dengan perkiraan jarak 3 m dan tinggi timbunan mencapai 4 m.

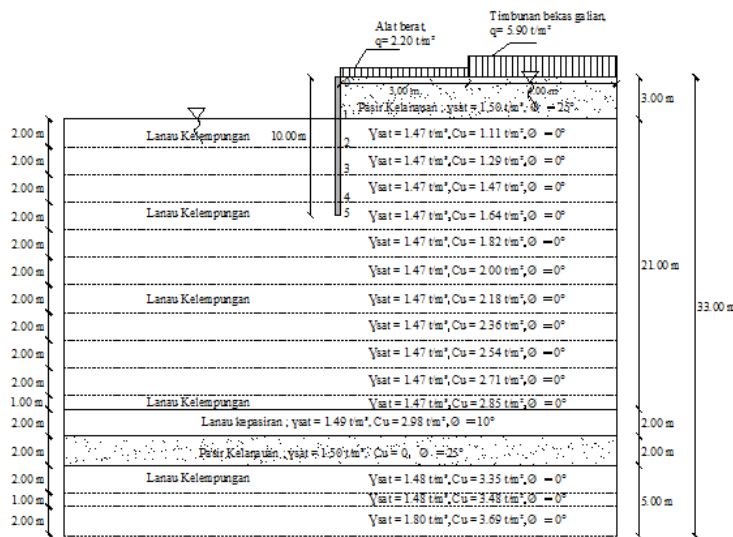
$$\gamma_{\text{tanah}} = 1.47 \text{ ton/m}^3$$

$$\text{Tinggi timbunan} = 4.0 \text{ m}$$

$$\begin{aligned}\text{Beban timbunan} &= \frac{\gamma_{\text{tanah}}}{\text{Tinggi timbunan}} \\ &= \frac{1.47 \text{ ton/m}^3}{4.0 \text{ m}} \\ &= 5.90 \text{ ton/m}^2\end{aligned}$$

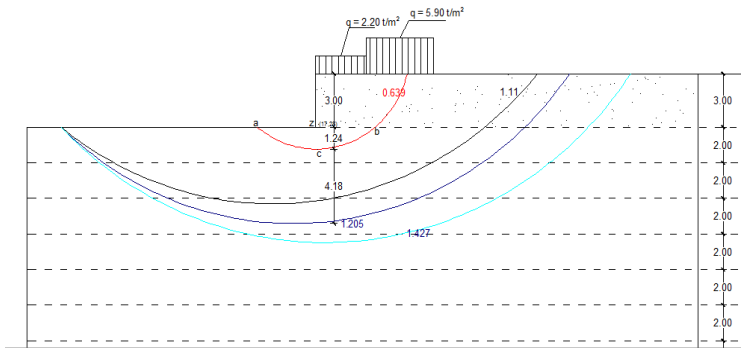
5.2.2. Analisis Turap Sebagai Cerucuk

Di lapangan turap dipancang sedalam 10 meter dan tanah digali sedalam 3 m, kemudian mengalami kelongsoran. Dengan data tanah seperti pada Tabel 4.1 dan Tabel 4.2, maka kondisi lapangan dapat dimodelkan seperti pada Gambar 5.5



Gambar 5.5 Permodelan Analisis Kelongsoran

Bidang longsor diketahui dengan memodelkan Gambar 5.5 pada program bantu X-stabl. Adapun hasil output bidang longsor yang digunakan sebagai analisis seperti pada Gambar 5.6 dan Tabel 5.1



Gambar 5.6 Bidang Longsor dengan Perkuatan Turap

Tabel 5.1 Hasil Output Permodelan X-stabl

| No | FOS | Circle Center | | Koord. Dasar Bidang Longsor | | Koord. Batas Longsor | | | | Radius (m) | Panjang Bidang Longsor | Moment Rest. (kNm) |
|----|-------|----------------|----------------|-----------------------------|----------------|----------------------------|----------------------------|----------------------------|----------------------------|------------|------------------------|--------------------|
| | | X ₀ | Y ₀ | X _c | Y _c | X _{a_n} | Y _{a_n} | X _{b_n} | Y _{b_n} | | | |
| 1 | 0.639 | 17.07 | 32.28 | 17.07 | 26.76 | 13.59 | 28 | 20.55 | 28 | 5.52 | 6.96 | 738.2 |
| 2 | 1.205 | 15.70 | 42.59 | 15.76 | 22.58 | 2 | 28 | 29.4 | 28 | 20.01 | 27.4 | 8150 |

Mikropile yang digunakan di lapangan sebagai perkuatan, kemudian dianalisis kebutuhannya untuk mengetahui apakah jumlah mikropile yang dipancang di lapangan telah mencukupi sebagai perkuatan. Adapun data mikropile eksisting, sebagai berikut;

$$b = 250 \text{ mm}$$

$$h = 250 \text{ mm}$$

$$fc' = 30 \text{ Mpa}$$

$$b = 25 \text{ cm}$$

$$h = 25 \text{ cm}$$

$$fc' = 30 \text{ Mpa}$$

$$fy' = 400 \text{ Mpa}$$

$$D = 16 \text{ mm}$$

$$\emptyset = 7 \text{ mm}$$

$$d' = 40 \text{ mm}$$

Jumlah tulangan tarik = 2 buah

Jumlah tulangan tekan = 2 buah

Jarak Pemasangan Tulangan = 150 mm

Perhitungan Momen Ultimate

$$\begin{aligned} As \text{ tarik} &= 2 \times \frac{1}{4} \pi D^2 \\ &= 2 \times \frac{1}{4} \pi \times 16^2 \\ &= 401.92 \text{ mm}^2 \end{aligned}$$

$$\begin{aligned} As \text{ tekan} &= 2 \times \frac{1}{4} \pi D^2 \\ &= 2 \times \frac{1}{4} \pi \times 16^2 \\ &= 401.92 \text{ mm}^2 \end{aligned}$$

$$\begin{aligned} d &= h - d' - (1/2D) - \emptyset \\ &= 250 - 40 - (1/2 \times 16) - 7 \\ &= 195 \text{ mm} \end{aligned}$$

$$\begin{aligned}
 a &= \frac{As \text{ tarik} \cdot F_y}{0.85 \times f_{c'} \times b} \\
 &= \frac{401.92 \times 400}{0.85 \times 30 \times 250} \\
 &= 25.218 \text{ mm}
 \end{aligned}$$

$$\begin{aligned}
 C &= 0.85 \times f_{c'} \times b \times a \\
 &= 0.85 \times 30 \times 400 \times 25.218 \\
 &= 160768 \text{ N}
 \end{aligned}$$

Momen Nominal

$$\begin{aligned}
 M_n &= C \left(d - \frac{a}{2} \right) + As' \cdot f_y (d - d') \\
 &= 160768 \times \left(195 - \frac{25.218}{2} \right) + 401.92 \times 400 \times (195 - 40) \\
 &= 54241635.31 \text{ Nmm} \\
 &= 5.424 \text{ tonm}
 \end{aligned}$$

Momen Ultimate

$$\begin{aligned}
 M_u &= 0.8 \times M_n \\
 &= 0.8 \times 5.424 \\
 &= 4.339 \text{ Tm} = 433933.08 \text{ Kgcm}
 \end{aligned}$$

Perhitungan Gaya Penahan

Momen Inersia (I)

$$\begin{aligned}
 I &= \frac{1}{12} b h^3 \\
 &= \frac{1}{12} \times 250 \times 250^3 \\
 &= 325520833 \text{ mm}^4 = 32552.08 \text{ cm}^4
 \end{aligned}$$

Modulus Elastisitas (E):

$$\begin{aligned}
 E &= 4700 \sqrt{f_{c'}} \\
 &= 4700 \sqrt{30} \\
 &= 25742.96 \text{ Kg/cm}^2
 \end{aligned}$$

Faktor Modulus Tanah (f)

$$\begin{aligned} Cu &= 1.11 \text{ kN/m}^2 \\ &= 0.111 \text{ kg/cm}^2 \end{aligned}$$

$$\begin{aligned} qu &= 2 \times Cu \\ &= 2 \times 0.111 \\ &= 0.222 \text{ kg/cm}^2 = 0.277 \text{ ton/ft}^2 \end{aligned}$$

Berdasarkan Grafik NAVFAC DM-7, 1971 : Kurva menentukan harga f dari berbagai jenis tanah diperoleh harga;

$$f = 3.2 \text{ ton/ft}^3 \sim 0.1024 \text{ kg/cm}^3$$

Faktor Kekakuan Relatif (T)

$$\begin{aligned} T &= \left(\frac{EI}{f} \right)^{1/5} \\ &= \left(\frac{25742.96 \times 32552.08}{0.1024} \right)^{1/5} \\ &= 96.07 \text{ cm} \end{aligned}$$

Koefisien momen akibat gaya lateral P (FM)

- Panjang sheet pile yang dipancang di lapangan (Lo)
Lo = 10 m

- Panjang sheet pile di atas bidang longsor (L_1)
 $L_1 = 3 + 1.24$
= 4.24 m

- Panjang sheet pile di bawah bidang longsor (L_2)

$$\begin{aligned} L_1 &= Lo - L_1 \\ &= 10 - 4.24 \\ &= 5.76 \text{ m} = 576 \text{ cm} \end{aligned}$$

$$\frac{L}{T} = \frac{576}{96.07} = 5.996$$

Berdasarkan Grafik NAVFAC DM-7, 1971 : Kurva menentukan harga FM diperoleh harga;

$$Z = 0$$

$$FM = 0.90$$

Menghitung Fkg

Dimana;

- Variasi Rasio Tancap (Yt)

$$\begin{aligned} Xt &= L/D \\ &= 5.76/0.25 = 23.04 \end{aligned}$$

Untuk $Xt < 20$, maka;

$$Yt = 1.45$$

- Variasi Spasi (Ys)

$$\begin{aligned} Xs &= 5D \\ &= 5 \times 0.25 = 1.25 \text{ m} \end{aligned}$$

$$\begin{aligned} Ys &= -0.057(Xs)^2 + 0.614Xs - 0.658 \\ &= -0.057(1.25)^2 + (0.614 \times 1.25) - 0.658 \\ &= 0.02044 \end{aligned}$$

- Variasi Jumlah Sejajar (Yn)

Jumlah cerucuk diasumsikan

$$Xn = 7 \text{ buah}$$

$$\begin{aligned} Yn &= 1.051 - 0.047Xn \\ &= 1.051 - (0.047 \times 7) \\ &= 0.722 \end{aligned}$$

- Variasi Diameter (Y_D)

$$\begin{aligned} X_D &= D/T \\ &= 25/96.07 = 0.260 \end{aligned}$$

$$\begin{aligned} Y_D &= 46.616X_D - 3.582 \\ &= (46.616 \times 0.260) - 3.582 \\ &= 8.549 \end{aligned}$$

$$Fkg = 2.30 \times Yt \times Ys \times Yn \times Y_D$$

$$\begin{aligned} &= 2.30 \times 1.450 \times 0.02044 \times 0.722 \times 8.549 \\ &= 0.421 \end{aligned}$$

Gaya horizontal yang mampu dipikul 1 buah cerucuk (Pmax)

$$\begin{aligned}
 P_{\text{max}} &= \left(\frac{M_{\text{pmax}}}{F \times M} \right) \times F_{\text{kg}} \\
 &= \left(\frac{433933.08}{0.90 \times 96.07} \right) \times 0.421 \\
 &= 2111.33 \text{ Kg} \\
 &= 21.113 \text{ kN}
 \end{aligned}$$

Perhitungan Jumlah Cerucuk

$$SF_{\text{min}} = 0.639$$

$$MR_{\text{min}} = 738.2 \text{ kNm}$$

$$\text{Radius} = 5.52 \text{ m}$$

$$SF_{\text{rencana}} = 1.3$$

$$M_{\text{dorong}} = \frac{MR_{\text{min}}}{SF_{\text{min}}} = \frac{738.2}{0.639} = 1155.24 \text{ kNm}$$

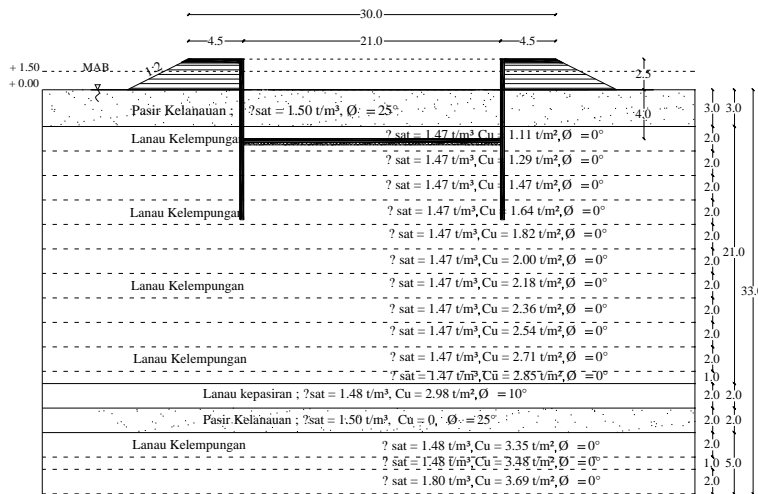
$$\begin{aligned}
 \Delta MR &= (SF_{\text{rencana}} - SF_{\text{min}}) \times M_{\text{dorong}} \\
 &= (1.3 - 0.639) \times 1155.24 \\
 &= 763.62 \text{ kNm}
 \end{aligned}$$

$$\begin{aligned}
 n &= \frac{\Delta MR}{P_{\text{max}} \text{ 1 cerucuk} \times R} \\
 &= \frac{763.62}{21.113 \times 5.52} \\
 &= 6.55 = 7 \text{ buah}
 \end{aligned}$$

Berdasarkan hasil perhitungan dibutuhkan cerucuk sebanyak 7 buah dengan spasi 1.50 m sebagai perkuatan tanah galian kolam. Jika jumlah ini dibandingkan dengan jumlah cerucuk yang dipancang di lapangan yaitu sebanyak 1 buah dengan spasi 1.00 m, maka hal ini membuktikan bahwa kelongsoran terjadi akibat kurangnya jumlah perkuatan yang dipancang di lapangan.

5.3. Alternatif Geoteknik Untuk Pembangunan Kolam Loncat Indah

Pada alternatif ini kolam loncat indah sedalam 6.5 meter akan dibangun pada tanah timbunan dan tanah aslinya, seperti pada Gambar 5.7



Gambar 5.7 Permodelan Alternatif Pembangunan Kolam Loncat Indah

Berdasarkan permodelan alternatif tersebut, adapun tahapan perencanaannya sebagai berikut;

5.3.1. Perhitungan H initial dan H final

Seperti pada Gambar 5.7 tinggi timbunan rencanakan berada diatas muka air banjir (MAB), Jika direncanakan;

$$\begin{aligned}
 \text{Elevasi muka air kolam} &= \text{Elevasi muka air banjir} + \text{elevasi jagaan} \\
 &= 1.50 + 1.00 \\
 &= 2.50 \text{ m}
 \end{aligned}$$

Maka berdasarkan elevasi muka air kolam, H final direncanakan setinggi 2.50 meter.

Urutan perhitungan penentuan H initial adalah sebagai berikut;

- 1) Menentukan lapisan *compressible* dan beban

Tebal lapisan compressible (H) yang akan diperhitungkan adalah sampai kedalaman 33 meter. Dimana pada lapisan tersebut N-SPT > 10 (Lampiran 1)

Pembagian lapisan tanah direncanakan tiap 2 meter.

Beban permisalan ditentukan sebesar 2.0 t/m², 3.0 t/m², 4.0 t/m², 5.0 t/m², 6.0 t/m², 7.0 t/m², 8.0 t/m².

- 2) Menghitung tegangan *overburden* (P_o') dan *preconsolidation* (P_c')

Berdasarkan Tabel 4.1 Perhitungan tegangan efektif overburden, sebagai berikut;

$$\begin{aligned} P_{o'1} &= \gamma' \times Z_1 \\ &= 0.50 \times 1.50 \\ &= 0.75 \text{ t/m}^2 \end{aligned}$$

$$\begin{aligned} P_{o'2} &= P_{o'1} + [\gamma' \times (H_1 - Z_1)] + [(Z_2 - H_1) \times \gamma'] \\ &= 0.75 + [0.50 \times (3.00 - 1.50)] + [(4.00 - 3.00) \times 0.47] \\ &= 1.97 \text{ t/m}^2 \end{aligned}$$

Perhitungan tegangan *Preconsolidation* (P_c')

Fluktuasi muka air yaitu sebesar 1.50 t/m², maka

$$\begin{aligned} P_{c'1} &= P_{o'1} + P_c' \\ &= 0.75 + 1.50 \\ &= 2.25 \text{ t/m}^2 \end{aligned}$$

$$\begin{aligned} P_{c'2} &= P_{o'2} + P_c' \\ &= 1.97 + 1.50 \\ &= 3.47 \text{ t/m}^2 \end{aligned}$$

Hasil perhitungan tegangan efektif *overburden* dan tegangan *preconsolidation* pada lapisan tanah lainnya direkapitulasi pada (Lampiran 2)

- 3) Menghitung distribusi tegangan akibat timbunan

Data perencanaan;

$$\text{Lebar timbunan} = 30 \text{ m}$$

$$\text{Kemiringan talud} = 1 : 2$$

$$\gamma \text{ timbunan} = 1.80 \text{ t/m}^3$$

$$q = 2.00 \text{ t/m}^2$$

Kondisi awal

$$H \text{ awal} = q / \gamma \text{ timbunan}$$

$$= 2.00 / 1.80$$

$$= 1.11 \text{ m}$$

$$a = \text{rasio kemiringan talud} \times H \text{ awal}$$

$$= 2 \times 1.11$$

$$= 2.22 \text{ m}$$

$$b = \frac{1}{2} \times \text{lebar timbunan}$$

$$= \frac{1}{2} \times 30$$

$$= 15 \text{ m}$$

Harga faktor pengaruh akibat beban timbunan diperoleh dari kurva pengaruh I (NAVFAC DM-7, 1970), Gambar 2.21, maka:

$$a/z = 2.22 / 1.50 = 1.481$$

$$b/z = 15 / 1.50 = 10.00$$

$$I = 0.50$$

$$\begin{aligned}\Delta P_1 &= 2 \times I \times q \\ &= 2 \times 0.50 \times 2.00 \\ &= 2.00 \text{ t/m}^2\end{aligned}$$

- 4) Menghitung besarnya penurunan

Data perhitungan;

Lapisan tanah 2 :

$$H = 2.00 \text{ m}$$

$$e_o = 2.62$$

$$C_c = 1.15$$

$$C_s = 0.21$$

$$Pc'_2 = 3.47 \text{ t/m}^2$$

$$Po'_2 = 1.97 \text{ t/m}^2$$

$$\Delta P_2 = 2.00 \text{ t/m}^2$$

$OCR = \frac{Pc'}{Po'} = \frac{3.47}{1.97} = 1.76 > 1$, maka termasuk *Over consolidated soil*

$$\begin{aligned} P'o_2 + \Delta P_2 &= 1.95 + 2.00 \\ &= 3.95 \text{ t/m}^2 > Pc' = 3.47 \text{ t/m}^2 \end{aligned}$$

$$\begin{aligned} Sc_2 &= \left[\frac{Cs}{1+eo} \log \frac{Pc'}{Po'} + \frac{Cc}{1+eo} \log \frac{Po'+\Delta P}{Pc'} \right] \times Hi \\ &= \left[\frac{0.21}{1+2.62} \log \frac{3.47}{1.97} + \frac{1.15}{1+2.62} \log \frac{1.97+2.00}{3.47} \right] \times 2.00 \\ &= 0.066 \text{ m} \end{aligned}$$

- 5) Menghitung H inisial & H final

Percobaan pertama dengan beban timbunan $q = 2.00 \text{ t/m}^2$ diperoleh Sc total akibat timbunan = 0.273 m.

Data timbunan $\gamma_{timbun} = 1.80 \text{ t/m}^3$; $\gamma_{sat} = 2.13 \text{ t/m}^3$

Maka;

$$\begin{aligned} H_{initial} &= \frac{q + Sc \cdot (\gamma_{timb} - \gamma'_{timb})}{\gamma_{timb}} \\ &= \frac{2.00 + 0.273 \times (1.80 - 1.13)}{1.80} \\ &= 1.213 \text{ m} \end{aligned}$$

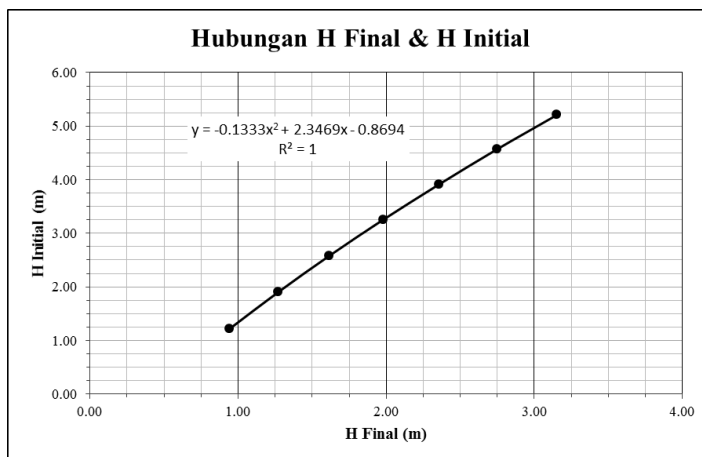
$$\begin{aligned} H_{final} &= H_{initial} - Sc \\ &= 1.213 - 0.273 \\ &= 0.940 \text{ m} \end{aligned}$$

Berdasarkan hasil perhitungan dengan percobaan beban yang berbeda-beda, maka diperoleh harga H awal, H akhir dan Sc untuk tiap masing-masing percobaan, seperti pada Tabel 5.2

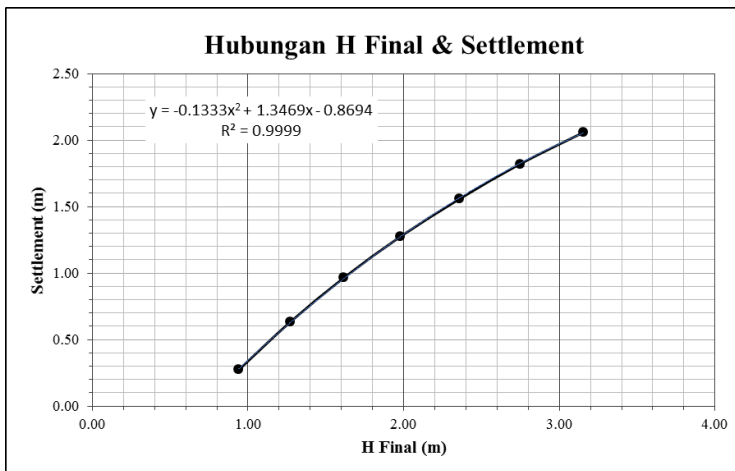
Tabel 5.2 Rekapitulasi Perhitungan H inisial dan Penurunan

| q | Sc Timbunan | H inisial | H final |
|------------------|------------------------|------------------|----------------|
| t/m ² | m | m | m |
| 2.00 | 0.273 | 1.213 | 0.940 |
| 3.00 | 0.632 | 1.902 | 1.270 |
| 4.00 | 0.966 | 2.582 | 1.616 |
| 5.00 | 1.275 | 3.253 | 1.978 |
| 6.00 | 1.557 | 3.913 | 2.356 |
| 7.00 | 1.820 | 4.567 | 2.747 |
| 8.00 | 2.057 | 5.211 | 3.154 |

Harga H_{initial} dan H_{final} pada Tabel 5.2 kemudian diplotkan seperti Gambar 5.8

Gambar 5.8 Kurva Hubungan Antara H_{intial} & H_{final}

Harga H_{final} dan *Settlement* pada Tabel 5.2 kemudian diplotkan seperti Gambar 5.9



Gambar 5.9 Kurva Hubungan Antara H_{final} & *Settlement*

$H_{initial}$ yang diperlukan untuk kedalaman kolam 2.5 meter adalah $H_{final} = 2.50$ m

Berdasarkan rumusan grafik hubungan H_{final} & $H_{initial}$, Gambar 5.8

$$\begin{aligned}
 H_{Initial} &= -0.1333X^2 + 2.3469X - 0.8694 \\
 &= (-0.1333 \times 2.50^2) + (2.3469 \times 2.50) - 0.8694 \\
 &= 4.165 \text{ m} \sim 4.20 \text{ m}
 \end{aligned}$$

Berdasarkan rumusan grafik hubungan H_{final} & *Settlement*, Gambar 5.9, terjadi penurunan sebesar;

$$\begin{aligned}
 Sc &= -0.1333X^2 + 1.3469X - 0.8694 \\
 &= (-0.1333 \times 2.50^2) + (1.3469 \times 2.50) - 0.8694 \\
 &= 1.665 \text{ m}
 \end{aligned}$$

Hasil seluruh perhitungan $H_{initial}$ dan H_{final} dengan berbagai percobaan beban timbunan direkapitulasi pada Lampiran 2.

5.3.2. Perhitungan Waktu Konsolidasi

Perhitungan waktu konsolidasi untuk $U_v = 90\%$ dari data sebelumnya didapatkan:

Tabel 5.3 Hasil Perhitungan $\Sigma H \sqrt{Cv}$

| No | Jenis Tanah | Tebal (m) | z (m) | Cc | Cs | ϵ_0 | Cv (cm ² /s) | H/Cv | $\Sigma H/Cv$ |
|----|-------------------|-----------|-------|------|------|--------------|-------------------------|--------|---------------|
| 1 | Pasir Kelanuan | 3.00 | 1.50 | - | - | 2.38 | - | - | - |
| 2 | | 2.00 | 4.00 | 1.15 | 0.21 | 2.62 | 0.000158 | 159.11 | 1821.86 |
| 3 | | 2.00 | 6.00 | 1.15 | 0.21 | 2.62 | 0.000158 | 159.11 | |
| 4 | | 2.00 | 8.00 | 1.15 | 0.21 | 2.62 | 0.000158 | 159.11 | |
| 5 | | 2.00 | 10.00 | 1.15 | 0.21 | 2.62 | 0.000158 | 159.11 | |
| 6 | | 2.00 | 12.00 | 1.15 | 0.21 | 2.62 | 0.000158 | 159.11 | |
| 7 | | 2.00 | 14.00 | 1.15 | 0.21 | 2.62 | 0.000158 | 159.11 | |
| 8 | | 2.00 | 16.00 | 1.15 | 0.21 | 2.62 | 0.000158 | 159.11 | |
| 9 | | 2.00 | 18.00 | 1.15 | 0.21 | 2.62 | 0.000158 | 159.11 | |
| 10 | | 2.00 | 20.00 | 1.15 | 0.21 | 2.62 | 0.000158 | 159.11 | |
| 11 | | 2.00 | 22.00 | 1.15 | 0.21 | 2.62 | 0.000158 | 159.11 | |
| 12 | | 1.00 | 23.50 | 1.15 | 0.21 | 2.62 | 0.000158 | 79.56 | |
| 13 | Lanau Kepasiran | 2.00 | 25.00 | 1.04 | 0.19 | 2.54 | 0.000175 | 151.19 | |
| 14 | Pasir Kelanuan | 2.00 | 27.00 | - | - | 2.38 | - | - | |
| 15 | Lanau Kelempungan | 2.00 | 29.00 | 1.09 | 0.21 | 2.54 | 0.000175 | 151.19 | 226.78 |
| 16 | | 1.00 | 30.50 | 1.09 | 0.21 | 2.54 | 0.000175 | 75.59 | |

Berdasarkan Tabel 5.3

- Menghitung harga Cv rata-rata

Ada terdapat 2 lapisan *compressible* dengan tebal

$$H_1 = 23 \text{ m}$$

$$H_2 = 3 \text{ m}$$

$$\begin{aligned} Cv_{\text{rata-rata1}} &= \frac{(\Sigma H)^2}{\left(\sum \frac{H}{Cv} \right)^2} \\ &= \frac{23^2}{1821.86^2} \\ &= 1.594E-04 \text{ cm}^2/\text{sec} \\ &= 0.5026135 \text{ m}^2/\text{th} \end{aligned}$$

$$\begin{aligned} Cv_{\text{rata-rata1}} &= \frac{3^2}{226.78^2} \\ &= 1.750E-04 \text{ cm}^2/\text{sec} \\ &= 0.55188 \text{ m}^2/\text{th} \end{aligned}$$

2) Menghitung waktu konsolidasi

Berdasarkan tabel variasi faktor waktu terhadap derajat konsolidasi (Tabel 2.12), untuk derajat konsolidasi 90%, Harga $T_v = 0.848$

lapisan bagian atas dan bawah lapisan *compressible* merupakan lapisan porous, sehingga arah alirannya adalah *double drainage*, maka;

$$\begin{aligned} t_1 &= \frac{T_{90\%} (H_d r)^2}{C_v} \\ &= \frac{0.848 \left(\frac{23}{2}\right)^2}{0.5026135} \\ &= 223.13 \text{ Tahun} \\ t_2 &= \frac{0.848 \left(\frac{3}{2}\right)^2}{0.55188} \\ &= 3.46 \text{ Tahun} \end{aligned}$$

Waktu yang dibutuhkan untuk menghilangkan *consolidation settlement* sangat lama yaitu 223.13 tahun, sehingga diperlukan pemasangan PVD untuk mempercepat proses konsolidasi.

5.3.3. Perencanaan *Prefabricated Vertical Drain* (PVD)

1) Perencanaan Jarak Pemasangan PVD Pola Segitiga

Dimensi PVD direncanakan menggunakan dimensi dengan lebar 100 mm dan tebal 5 mm. pemasangan PVD direncanakan dengan beberapa variasi jarak. Adapun perhitungannya sebagai berikut;

a. Fungsi hambatan yang diakibatkan jarak pemasangan $F(n)$

Data perencanaan :

$$a = 0.10 \text{ m}$$

$$b = 0.005 \text{ m}$$

$$S = 0.50 \text{ m}$$

$$\begin{aligned} dw &= \frac{2(a+b)}{\pi} \\ &= \frac{2(0.10+0.005)}{\pi} = 0.00525 \text{ m} \end{aligned}$$

$$\begin{aligned} D &= 1.05S \\ &= 1.05 \times 0.50 = 0.052 \text{ m} \end{aligned}$$

$$n = \frac{D}{dw} = \frac{0.525}{0.0525} = 10.00$$

$$\begin{aligned} F(n) &= \left(\frac{n^2}{n^2 - 1} \right) x \left(\ln(n) - \frac{3}{4} - \frac{1}{4n^2} \right) \\ &= \left(\frac{10^2}{10^2 - 1} \right) x \left(\ln(10) - \frac{3}{4} - \frac{1}{4 \times 10^2} \right) \\ &= 1.57 \end{aligned}$$

Hasil perhitungan fungsi hambatan dengan berbagai jarak direkapitulasi pada Tabel 5.4

Tabel 5.4 Faktor Hambatan PVD untuk Pola Pemasangan Segitiga

| Jarak PVD S (m) | D (m) | a (m) | b (m) | dw (m) | n | F(n) |
|--------------------|----------|----------|----------|-----------|-------|------|
| 0.50 | 0.525 | 0.10 | 0.005 | 0.0525 | 10.00 | 1.57 |
| 0.60 | 0.630 | 0.10 | 0.005 | 0.0525 | 12.00 | 1.75 |
| 0.70 | 0.735 | 0.10 | 0.005 | 0.0525 | 14.00 | 1.90 |
| 0.80 | 0.840 | 0.10 | 0.005 | 0.0525 | 16.00 | 2.03 |
| 1.00 | 1.050 | 0.10 | 0.005 | 0.0525 | 20.00 | 2.25 |
| 1.20 | 1.260 | 0.10 | 0.005 | 0.0525 | 24.00 | 2.43 |
| 1.50 | 1.575 | 0.10 | 0.005 | 0.0525 | 30.00 | 2.65 |
| 1.80 | 1.890 | 0.10 | 0.005 | 0.0525 | 36.00 | 2.84 |
| 2.00 | 2.100 | 0.10 | 0.005 | 0.0525 | 40.00 | 2.94 |
| 2.50 | 2.625 | 0.10 | 0.005 | 0.0525 | 50.00 | 3.16 |

b. Perhitungan derajat konsolidasi total

Berdasarkan perhitungan sebelumnya diperoleh data sebagai berikut:

$$\begin{aligned}
 Cv_{rata-rata} &= 0.009639 \text{ m}^2/\text{minggu} \\
 Hdr &= 11.50 \text{ m} \\
 S &= 0.70 \text{ m} \\
 D &= 0.735 \text{ m} \\
 F(n) &= 1.90 \\
 t &= 1 \text{ minggu} \\
 Ch &= 3 \times Cv \\
 &= 3 \times 0.009639 \\
 &= 0.02892 \text{ m}^2/\text{minggu}
 \end{aligned}$$

Derajat konsolidasi vertikal

$$Tv = \frac{t \cdot Cv}{Hd^2} = \frac{1 \times 0.009639}{11.5^2} = 0.0000729$$

$$U_v = 2\sqrt{\frac{Tv}{\pi}} = 2\sqrt{\frac{0.0000729}{\pi}} = 0.0096 \%$$

Derajat konsolidasi horizontal :

$$\begin{aligned}
 U_h &= 1 - \left(\frac{1}{e^{\left(\frac{t \times 8 \times Ch}{D^2 \times 2 \times F(n)} \right)}} \right) = 1 - \left(\frac{1}{e^{\left(\frac{1 \times 8 \times 0.02892}{0.735^2 \times 2 \times 1.90} \right)}} \right) \\
 &= 0.107 %
 \end{aligned}$$

Derajat konsolidasi total :

$$\begin{aligned}
 U_{total} &= (1 - (1 - Uh)(1 - Uv)) \times 100\% \\
 &= (1 - (1 - 0.107) \times (1 - 0.0096)) \times 100\% \\
 &= 11.53\%
 \end{aligned}$$

Hasil perhitungan derajat konsolidasi total untuk minggu selanjutnya direkapitulasi pada Tabel 5.5

Tabel 5.5 Hasil Perhitungan Derajat Konsolidasi Total untuk Pola Pemasangan Segitiga dengan Spasi 0.70 m

| t (minggu) | Tv | Uv (%) | Uh (%) | Utotal (%) |
|---------------|-----------|-----------|-----------|---------------|
| 1 | 0.0000729 | 0.0096 | 0.107 | 11.53 |
| 2 | 0.0001458 | 0.0136 | 0.202 | 21.29 |
| 3 | 0.0002187 | 0.0167 | 0.287 | 29.91 |
| 4 | 0.0002915 | 0.0193 | 0.363 | 37.55 |
| 5 | 0.0003644 | 0.0215 | 0.431 | 44.34 |
| 6 | 0.0004373 | 0.0236 | 0.492 | 50.39 |
| 7 | 0.0005102 | 0.0255 | 0.546 | 55.77 |
| 8 | 0.0005831 | 0.0272 | 0.595 | 60.56 |
| 9 | 0.0006560 | 0.0289 | 0.638 | 64.83 |
| 10 | 0.0007289 | 0.0305 | 0.676 | 68.63 |
| 11 | 0.0008017 | 0.0320 | 0.711 | 72.02 |
| 12 | 0.0008746 | 0.0334 | 0.742 | 75.04 |
| 13 | 0.0009475 | 0.0347 | 0.769 | 77.74 |
| 14 | 0.0010204 | 0.0360 | 0.794 | 80.14 |
| 15 | 0.0010933 | 0.0373 | 0.816 | 82.28 |
| 16 | 0.0011662 | 0.0385 | 0.836 | 84.19 |
| 17 | 0.0012391 | 0.0397 | 0.853 | 85.90 |
| 18 | 0.0013119 | 0.0409 | 0.869 | 87.42 |
| 19 | 0.0013848 | 0.0420 | 0.883 | 88.77 |
| 20 | 0.0014577 | 0.0431 | 0.895 | 89.98 |
| 21 | 0.0015306 | 0.0441 | 0.906 | 91.06 |
| 22 | 0.0016035 | 0.0452 | 0.916 | 92.02 |
| 23 | 0.0016764 | 0.0462 | 0.925 | 92.88 |
| 24 | 0.0017493 | 0.0472 | 0.933 | 93.65 |

Hasil perhitungan derajat konsolidasi total dengan berbagai variasi jarak dapat dilihat pada Lampiran 2

2) Perencanaan Jarak Pemasangan PVD Pola Segiempat

Dimensi PVD direncanakan menggunakan dimensi dengan lebar 100 mm dan tebal 5 mm. pemasangan PVD direncanakan dengan beberapa variasi jarak. Adapun perhitungannya sebagai berikut;

- a. Fungsi hambatan yang diakibatkan jarak pemasangan $F(n)$

Data perencanaan :

$$a = 0.10 \text{ m}$$

$$b = 0.005 \text{ m}$$

$$S = 0.50 \text{ m}$$

$$\begin{aligned} dw &= \frac{2(a+b)}{\pi} \\ &= \frac{2(0.10+0.005)}{\pi} = 0.00525 \text{ m} \end{aligned}$$

$$D = 1.13S$$

$$= 1.135 \times 0.50 = 0.0565 \text{ m}$$

$$n = \frac{D}{dw} = \frac{0.565}{0.00525} = 10.76$$

$$\begin{aligned} F(n) &= \left(\frac{n^2}{n^2 - 1} \right) \times \left(\ln(n) - \frac{3}{4} - \frac{1}{4n^2} \right) \\ &= \left(\frac{10.76^2}{10.76^2 - 1} \right) \times \left(\ln(10.76) - \frac{3}{4} - \frac{1}{4 \times 10.76^2} \right) \\ &= 1.64 \end{aligned}$$

Hasil perhitungan fungsi hambatan dengan berbagai jarak direkapitulasi pada Tabel 5.6

Tabel 5.6 Faktor Hambatan PVD untuk Pola Pemasangan Segiempat

| Jarak PVD S (m) | D (m) | a (m) | b (m) | dw (m) | n | F(n) |
|--------------------|----------|----------|----------|-----------|-------|------|
| 0.50 | 0.565 | 0.10 | 0.005 | 0.0525 | 10.76 | 1.64 |
| 0.60 | 0.678 | 0.10 | 0.005 | 0.0525 | 12.91 | 1.82 |
| 0.70 | 0.791 | 0.10 | 0.005 | 0.0525 | 15.07 | 1.97 |
| 0.80 | 0.904 | 0.10 | 0.005 | 0.0525 | 17.22 | 2.10 |
| 1.00 | 1.130 | 0.10 | 0.005 | 0.0525 | 21.52 | 2.32 |
| 1.20 | 1.356 | 0.10 | 0.005 | 0.0525 | 25.83 | 2.50 |
| 1.50 | 1.695 | 0.10 | 0.005 | 0.0525 | 32.29 | 2.73 |
| 1.80 | 2.034 | 0.10 | 0.005 | 0.0525 | 38.74 | 2.91 |
| 2.00 | 2.260 | 0.10 | 0.005 | 0.0525 | 43.05 | 3.01 |
| 2.50 | 2.825 | 0.10 | 0.005 | 0.0525 | 53.81 | 3.24 |

b. Perhitungan derajat konsolidasi total

Berdasarkan perhitungan sebelumnya diperoleh data sebagai berikut:

$$Cv_{\text{rata-rata}} = 0.009639 \text{ m}^2/\text{minggu}$$

$$H_{dr} = 11.50 \text{ m}$$

$$S = 0.70 \text{ m}$$

$$D = 0.791 \text{ m}$$

$$F(n) = 1.97$$

$$t = 1 \text{ minggu}$$

$$Ch = 3 \times Cv$$

$$= 3 \times 0.009639$$

$$= 0.02892 \text{ m}^2/\text{minggu}$$

Derajat konsolidasi vertikal

$$T_v = \frac{t \cdot Cv}{H_{dr}^2} = \frac{1 \times 0.009639}{11.5^2} = 0.0000729$$

$$U_v = 2\sqrt{\frac{T_v}{\pi}} = 2\sqrt{\frac{0.0000729}{\pi}} = 0.0096 \%$$

Derajat konsolidasi horizontal :

$$U_h = 1 - \left(e^{\left(\frac{t \times 8 \times Ch}{D^2 \times 2 \times F(n)} \right)} \right) = 1 - \left(e^{\left(\frac{1 \times 8 \times 0.02892}{0.79 F \times 2 \times 1.97} \right)} \right)$$

$$= 0.09 \%$$

Derajat konsolidasi total :

$$U_{\text{total}} = (1 - (1 - U_h)(1 - U_v)) \times 100\%$$

$$= (1 - (1 - 0.09)(1 - 0.0096)) \times 100\%$$

$$= 9.83\%$$

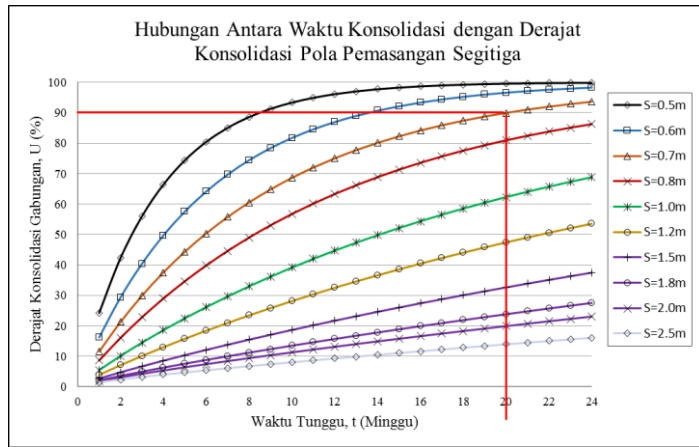
Hasil perhitungan derajat konsolidasi total untuk minggu selanjutnya direkapitulasi pada Tabel 5.7

Tabel 5.7 Hasil Perhitungan Derajat Konsolidasi Total untuk Pola Pemasangan Segiempat dengan Spasi 0.70 m

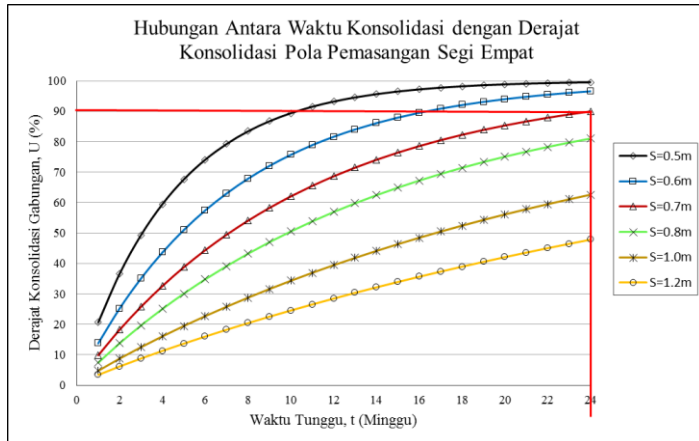
| t (minggu) | Tv | Uv (%) | Uh (%) | Utotal (%) |
|---------------|-----------|-----------|-----------|---------------|
| 1 | 0.0000729 | 0.0096 | 0.090 | 9.83 |
| 2 | 0.0001458 | 0.0136 | 0.171 | 18.24 |
| 3 | 0.0002187 | 0.0167 | 0.245 | 25.80 |
| 4 | 0.0002915 | 0.0193 | 0.313 | 32.62 |
| 5 | 0.0003644 | 0.0215 | 0.374 | 38.80 |
| 6 | 0.0004373 | 0.0236 | 0.431 | 44.40 |
| 7 | 0.0005102 | 0.0255 | 0.482 | 49.47 |
| 8 | 0.0005831 | 0.0272 | 0.528 | 54.08 |
| 9 | 0.0006560 | 0.0289 | 0.570 | 58.27 |
| 10 | 0.0007289 | 0.0305 | 0.609 | 62.07 |
| 11 | 0.0008017 | 0.0320 | 0.644 | 65.52 |
| 12 | 0.0008746 | 0.0334 | 0.676 | 68.65 |
| 13 | 0.0009475 | 0.0347 | 0.705 | 71.50 |
| 14 | 0.0010204 | 0.0360 | 0.731 | 74.09 |
| 15 | 0.0010933 | 0.0373 | 0.755 | 76.44 |
| 16 | 0.0011662 | 0.0385 | 0.777 | 78.58 |
| 17 | 0.0012391 | 0.0397 | 0.797 | 80.52 |
| 18 | 0.0013119 | 0.0409 | 0.815 | 82.29 |
| 19 | 0.0013848 | 0.0420 | 0.832 | 83.89 |
| 20 | 0.0014577 | 0.0431 | 0.847 | 85.35 |
| 21 | 0.0015306 | 0.0441 | 0.861 | 86.68 |
| 22 | 0.0016035 | 0.0452 | 0.873 | 87.88 |
| 23 | 0.0016764 | 0.0462 | 0.884 | 88.98 |
| 24 | 0.0017493 | 0.0472 | 0.895 | 89.98 |

Hasil perhitungan derajat konsolidasi total dengan berbagai variasi jarak dapat dilihat pada Lampiran 2.

Harga-harga derajat konsolidasi gabungan terhadap waktu kemudian diplotkan pada Gambar 5.10



Gambar 5.10 Grafik Hubungan antara Waktu Konsolidasi dengan Derajat Konsolidasi Pola Pemasangan Segitiga



Gambar 5.11 Grafik Hubungan antara Waktu Konsolidasi dengan Derajat Konsolidasi Pola Pemasangan Segiempat

Dari grafik perbandingan di atas didapatkan waktu konsolidasi 90% pada PVD dengan pola segitiga adalah 20 minggu dengan jarak 0.70 meter, sedangkan pada PVD dengan pola segiempat adalah 24 minggu. Maka pola pemasangan yang dipilih adalah pola segitiga.

5.3.4. Penimbunan Bertahap

Berdasarkan hasil perhitungan pada sub bab 5.3.1, $H_{\text{inisial}} = 4.20 \text{ m}$. Jika direncanakan kecepatan penimbunan = 0.5 m/minggu, maka:

$$\begin{aligned} \text{Jumlah tahapan (n)} &= \frac{H_{\text{inisial}}}{\text{Kecepatan Penimbunan}} = \frac{4.20}{0.5} \\ &= 9 \text{ tahapan} \end{aligned}$$

Tinggi penimbunan harus memperhatikan tinggi timbunan kritis (H_{cr}) yang masih mampu dipikul oleh tanah dasar agar timbunan tidak mengalami kelongsoran.

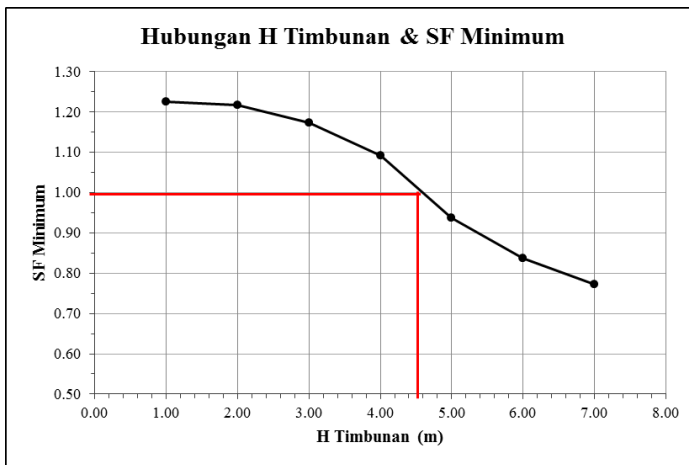
1) Menentukan Tinggi Timbunan Kritis (H_{cr})

H_{cr} ditentukan menggunakan program bantu X-STABL dengan memodelkan H timbunan per 1 meter, berikut adalah hasil rekapitulasi output program:

Tabel 5.8 Rekapitulasi SF min dengan Variasi Tinggi Timbunan

| H timb (m) | SF min |
|---------------|--------|
| 1 | 1.225 |
| 2 | 1.216 |
| 3 | 1.172 |
| 4 | 1.091 |
| 5 | 0.936 |
| 6 | 0.836 |
| 7 | 0.773 |

Data pada Tabel 5.8 kemudian diplotkan pada Gambar 5.12



Gambar 5.12 Grafik Hubungan H timbunan & SF_{\min}

H_{cr} ditentukan dengan $SF_{\min} = 1.00$ dengan menggunakan Grafik pada Gambar 5.12 diperoleh $H_{cr} = 4.50$ m.

- 2) Menentukan Tahapan Penimbunan
 $H_{\text{inisial}} < H_{\text{kritis}} = 4.20 \text{ m} < 4.50 \text{ m}$, maka penimbunan dapat dilakukan menerus tanpa penundaan. Tahapan penimbunan sampai tahap ke 9 disajikan pada Tabel 5.9

Tabel 5.9 Tahapan Penimbunan Minggu ke-9

| Tahap Penimbunan | 1 | 2 | 3 | 4 | 5 | 6 | 7 | 8 | 9 |
|---------------------|----------------|---|---|---|---|---|---|---|---|
| Tinggi Timbunan (m) | Waktu (minggu) | | | | | | | | |
| 0.50 | 1 | | | | | | | | |
| 1.00 | 2 | 1 | | | | | | | |
| 1.50 | 3 | 2 | 1 | | | | | | |
| 2.00 | 4 | 3 | 2 | 1 | | | | | |
| 2.50 | 5 | 4 | 3 | 2 | 1 | | | | |
| 3.00 | 6 | 5 | 4 | 3 | 2 | 1 | | | |
| 3.50 | 7 | 6 | 5 | 4 | 3 | 2 | 1 | | |
| 4.00 | 8 | 7 | 6 | 5 | 4 | 3 | 2 | 1 | |
| 4.20 | 9 | 8 | 7 | 6 | 5 | 4 | 3 | 2 | 1 |

- 3) Menghitung Tegangan di tiap Lapisan Tanah U=100%
Kedalaman 0 – 3 m

$$Po' = 0.75 \text{ t/m}^2$$

$$\begin{aligned}\sigma_1 &= Po' + \Delta P_1 \\ &= 0.75 + (2 \times 0.5 \times 0.5 \times 1.80) \\ &= 1.65 \text{ t/m}^2\end{aligned}$$

$$\begin{aligned}\sigma_2 &= \sigma_1 + \Delta P_2 \\ &= 1.65 + (2 \times 0.5 \times 0.5 \times 1.80) \\ &= 2.55 \text{ t/m}^2\end{aligned}$$

$$\begin{aligned}\sigma_3 &= \sigma_2 + \Delta P_3 \\ &= 1.65 + (2 \times 0.5 \times 0.5 \times 1.80) \\ &= 3.45 \text{ t/m}^2\end{aligned}$$

$$\begin{aligned}\sigma_4 &= \sigma_3 + \Delta P_4 \\ &= 3.45 + (2 \times 0.5 \times 0.5 \times 1.80) \\ &= 4.35 \text{ t/m}^2\end{aligned}$$

$$\begin{aligned}\sigma_5 &= \sigma_4 + \Delta P_5 \\ &= 4.35 + (2 \times 0.5 \times 0.5 \times 1.80) \\ &= 5.25 \text{ t/m}^2\end{aligned}$$

$$\begin{aligned}\sigma_6 &= \sigma_5 + \Delta P_6 \\ &= 5.25 + (2 \times 0.5 \times 0.5 \times 1.80) \\ &= 6.15 \text{ t/m}^2\end{aligned}$$

$$\begin{aligned}\sigma_7 &= \sigma_6 + \Delta P_7 \\ &= 6.15 + (2 \times 0.5 \times 0.5 \times 1.80) \\ &= 7.05 \text{ t/m}^2\end{aligned}$$

$$\begin{aligned}\sigma_8 &= \sigma_7 + \Delta P_8 \\ &= 7.05 + (2 \times 0.5 \times 0.5 \times 1.80) \\ &= 7.95 \text{ t/m}^2\end{aligned}$$

$$\begin{aligned}\sigma_9 &= \sigma_8 + \Delta P_9 \\ &= 7.95 + (2 \times 0.5 \times 0.2 \times 1.80) \\ &= 8.31 \text{ t/m}^2\end{aligned}$$

Perhitungan tegangan selanjutnya direkapitulasi pada Tabel 5.10

Tabel 5.10 Hasil Perhitungan Tegangan di tiap Lapisan Tanah U=100%

| No. | Derajat Konsolidasi 100% | | | | | | | | | | |
|-----|--------------------------|----------------------------|---------------------------------|---------------------------------|---------------------------------|---------------------------------|---------------------------------|---------------------------------|---------------------------------|---------------------------------|---------------------------------|
| | Tegangan | P_o' (t/m ²) | σ_1' (t/m ²) | σ_2' (t/m ²) | σ_3' (t/m ²) | σ_4' (t/m ²) | σ_5' (t/m ²) | σ_6' (t/m ²) | σ_7' (t/m ²) | σ_8' (t/m ²) | σ_9' (t/m ²) |
| | Kedalaman (m) | H = 0 m | 0.5 | 1.0 | 1.5 | 2.0 | 2.5 | 3.0 | 3.5 | 4.0 | 4.2 |
| 1 | 0 - 3 | 0.750 | 1.650 | 2.550 | 3.450 | 4.350 | 5.250 | 6.150 | 7.050 | 7.950 | 8.310 |
| 2 | 3 - 5 | 1.970 | 2.870 | 3.770 | 4.670 | 5.570 | 6.470 | 7.370 | 8.270 | 9.170 | 9.530 |
| 3 | 5 - 7 | 2.910 | 3.783 | 4.656 | 5.529 | 6.402 | 7.275 | 8.148 | 9.021 | 9.894 | 10.243 |
| 4 | 7 - 9 | 3.850 | 4.696 | 5.542 | 6.388 | 7.234 | 8.080 | 8.926 | 9.772 | 10.618 | 10.956 |
| 5 | 9 - 11 | 4.790 | 5.618 | 6.446 | 7.274 | 8.102 | 8.930 | 9.758 | 10.586 | 11.414 | 11.745 |
| 6 | 11 - 13 | 5.730 | 6.527 | 7.325 | 8.122 | 8.920 | 9.717 | 10.514 | 11.312 | 12.109 | 12.428 |
| 7 | 13 - 15 | 6.670 | 7.408 | 8.146 | 8.884 | 9.622 | 10.360 | 11.098 | 11.836 | 12.574 | 12.869 |
| 8 | 15 - 17 | 7.610 | 8.339 | 9.068 | 9.797 | 10.526 | 11.255 | 11.984 | 12.713 | 13.442 | 13.734 |
| 9 | 17 - 19 | 8.550 | 9.236 | 9.922 | 10.607 | 11.293 | 11.979 | 12.665 | 13.351 | 14.036 | 14.311 |
| 10 | 19 - 21 | 9.490 | 10.154 | 10.818 | 11.483 | 12.147 | 12.811 | 13.475 | 14.139 | 14.804 | 15.069 |
| 11 | 21 - 23 | 10.430 | 11.056 | 11.683 | 12.309 | 12.936 | 13.562 | 14.188 | 14.815 | 15.441 | 15.692 |
| 12 | 23 - 24 | 11.135 | 11.734 | 12.334 | 12.933 | 13.533 | 14.132 | 14.731 | 15.331 | 15.930 | 16.170 |
| 13 | 24 - 26 | 11.850 | 12.426 | 13.002 | 13.578 | 14.154 | 14.730 | 15.306 | 15.882 | 16.458 | 16.688 |
| 14 | 26 - 28 | 12.830 | 13.402 | 13.975 | 14.547 | 15.120 | 15.692 | 16.264 | 16.837 | 17.409 | 17.638 |
| 15 | 28 - 30 | 13.810 | 14.332 | 14.854 | 15.376 | 15.898 | 16.420 | 16.942 | 17.464 | 17.986 | 18.195 |
| 16 | 30 - 31 | 14.530 | 15.032 | 15.534 | 16.037 | 16.539 | 17.041 | 17.543 | 18.045 | 18.548 | 18.748 |
| 17 | 31 - 33 | 15.570 | 16.060 | 16.549 | 17.039 | 17.528 | 18.018 | 18.508 | 18.997 | 19.487 | 19.683 |

- 4) Menghitung Penambahan Tegangan Efektif Akibat Beban Timbunan Apabila $U < 100\%$

Derajat konsolidasi total (U_{total}) yang digunakan pada perhitungan ini adalah berdasarkan hasil perhitungan pada pemasangan PVD pola segitiga dengan jarak 0.7 meter (Sub bab 5.3.3). Adapun rumusan penambahan tegangan efektif akibat beban timbunan apabila $U < 100\%$ pada Tabel 5.11

Tabel 5.11 Rumusan Penambahan Tegangan Efektif Akibat Beban Timbunan Apabila $U < 100\%$

| Tahapan Timbunan (m) | Umur Timbunan (minggu) | Derajat Konsolidasi Utatal (%) | ΔP_i pada $U < 100\%$ |
|----------------------|------------------------|--------------------------------|---|
| Tanah Asli | | 100 | |
| 0.0 - 0.5 | 9 | 64.83 | $\left[\left(\frac{\sigma'_1}{P_o'} \right)^U \cdot P_o' \right] - P_o'$ |
| 0.5 - 1.00 | 8 | 60.56 | $\left[\left(\frac{\sigma'_{1.2}}{\sigma'_1} \right)^U \cdot \sigma'_1 \right] - \sigma'_1$ |
| 1.00 - 1.50 | 7 | 55.77 | $\left[\left(\frac{\sigma'_{1.3}}{\sigma'_2} \right)^U \cdot \sigma'_{1.3} \right] - \sigma'_{1.3}$ |
| 1.50 - 2.00 | 6 | 50.39 | $\left[\left(\frac{\sigma'_{1.4}}{\sigma'_3} \right)^U \cdot \sigma'_{1.4} \right] - \sigma'_{1.4}$ |
| 2.00 - 2.50 | 5 | 44.34 | $\left[\left(\frac{\sigma'_{1.5}}{\sigma'_4} \right)^U \cdot \sigma'_{1.5} \right] - \sigma'_{1.5}$ |
| 2.50 - 3.00 | 4 | 37.55 | $\left[\left(\frac{\sigma'_{1.6}}{\sigma'_5} \right)^U \cdot \sigma'_{1.6} \right] - \sigma'_{1.6}$ |
| 3.00 - 3.50 | 3 | 29.91 | $\left[\left(\frac{\sigma'_{1.7}}{\sigma'_6} \right)^U \cdot \sigma'_{1.7} \right] - \sigma'_{1.7}$ |
| 3.00 - 4.00 | 2 | 21.29 | $\left[\left(\frac{\sigma'_{1.8}}{\sigma'_7} \right)^U \cdot \sigma'_{1.8} \right] - \sigma'_{1.8}$ |
| 4.00 - 4.2 | 1 | 11.53 | $\left[\left(\frac{\sigma'_{1.9}}{\sigma'_8} \right)^U \cdot \sigma'_{1.9} \right] - \sigma'_{1.9}$ |

Kedalaman 0 – 3 m

$$\Delta P_1 = \left[\left(\frac{1.65}{0.75} \right)^{0.6483} \times 1.65 \right] - 1.65 = 0.50 \text{ t/m}^2$$

$$\Delta P_2 = \left[\left(\frac{2.55}{1.65} \right)^{0.6056} x 2.55 \right] - 2.55 = 0.498 \text{ t/m}^2$$

$$\Delta P_3 = \left[\left(\frac{3.45}{2.55} \right)^{0.5577} x 3.45 \right] - 3.45 = 0.468 \text{ t/m}^2$$

$$\Delta P_4 = \left[\left(\frac{4.35}{3.45} \right)^{0.5039} x 4.35 \right] - 4.35 = 0.427 \text{ t/m}^2$$

$$\Delta P_5 = \left[\left(\frac{5.25}{4.35} \right)^{0.4434} x 5.25 \right] - 5.25 = 0.378 \text{ t/m}^2$$

$$\Delta P_6 = \left[\left(\frac{6.15}{5.25} \right)^{0.3755} x 6.15 \right] - 6.15 = 0.321 \text{ t/m}^2$$

$$\Delta P_7 = \left[\left(\frac{7.05}{6.15} \right)^{0.2991} x 7.05 \right] - 7.05 = 0.256 \text{ t/m}^2$$

$$\Delta P_8 = \left[\left(\frac{7.95}{7.05} \right)^{0.2129} x 7.95 \right] - 7.95 = 0.183 \text{ t/m}^2$$

$$\Delta P_9 = \left[\left(\frac{8.31}{7.95} \right)^{0.1153} x 8.31 \right] - 8.31 = 0.041 \text{ t/m}^2$$

$$\begin{aligned}\sum \sigma' &= P_0 + \Delta P_1 + \Delta P_2 + \Delta P_3 + \Delta P_4 + \Delta P_5 + \Delta P_6 + \Delta P_7 + \Delta P_8 + \Delta P_9 \\ &= 0.75 + 0.50 + 0.498 + 0.468 + 0.427 + 0.378 + 0.321 + \\ &\quad 0.256 + 0.183 + 0.041 \\ &= 3.823 \text{ t/m}^2\end{aligned}$$

Hasil perhitungan tegangan selanjutnya direkapitulasi pada Tabel 5.12

Tabel 5.12 Hasil Perhitungan Tegangan di tiap Lapisan Tanah, U<100%

| Derajat Konsolidasi U < 100% | | | | | | | | | | | Σσ' (t/m ²) |
|--|-----------------|-----------------|-----------------|-----------------|-----------------|-----------------|-----------------|-----------------|-----------------|-----------------|-------------------------|
| Perubahan Tegangan (t/m ²) | P _{o'} | ΔP ₁ | ΔP ₂ | ΔP ₃ | ΔP ₄ | ΔP ₅ | ΔP ₆ | ΔP ₇ | ΔP ₈ | ΔP ₉ | Σσ' (t/m ²) |
| Tinggi Penimbunan (m) | 0 | 0.5 | 1.0 | 1.5 | 2.0 | 2.5 | 3.0 | 3.5 | 4.0 | 4.2 | |
| Umur Timbunan (minggu) | - | 20 | 19 | 18 | 17 | 16 | 15 | 14 | 13 | 12 | |
| Kedalaman (m) \ U (%) | 100 | 64.83 | 60.56 | 55.77 | 50.39 | 44.34 | 37.55 | 29.91 | 21.29 | 11.53 | |
| 0 - 3 | 0.750 | 0.500 | 0.498 | 0.468 | 0.427 | 0.378 | 0.321 | 0.256 | 0.183 | 0.041 | 3.823 |
| 3 - 5 | 1.970 | 0.544 | 0.515 | 0.478 | 0.434 | 0.383 | 0.324 | 0.258 | 0.184 | 0.041 | 5.131 |
| 5 - 7 | 2.910 | 0.540 | 0.507 | 0.468 | 0.424 | 0.373 | 0.316 | 0.252 | 0.179 | 0.040 | 6.009 |
| 7 - 9 | 3.850 | 0.529 | 0.496 | 0.457 | 0.413 | 0.364 | 0.308 | 0.245 | 0.174 | 0.038 | 6.874 |
| 9 - 11 | 4.790 | 0.522 | 0.488 | 0.449 | 0.406 | 0.357 | 0.302 | 0.241 | 0.171 | 0.038 | 7.764 |
| 11 - 13 | 5.730 | 0.505 | 0.472 | 0.435 | 0.392 | 0.345 | 0.292 | 0.232 | 0.165 | 0.036 | 8.605 |
| 13 - 15 | 6.670 | 0.470 | 0.439 | 0.404 | 0.365 | 0.321 | 0.271 | 0.216 | 0.153 | 0.034 | 9.341 |
| 15 - 17 | 7.610 | 0.465 | 0.434 | 0.400 | 0.361 | 0.317 | 0.268 | 0.214 | 0.152 | 0.033 | 10.254 |
| 17 - 19 | 8.550 | 0.439 | 0.409 | 0.377 | 0.340 | 0.299 | 0.253 | 0.201 | 0.143 | 0.031 | 11.043 |
| 19 - 21 | 9.490 | 0.425 | 0.397 | 0.366 | 0.330 | 0.290 | 0.245 | 0.195 | 0.139 | 0.030 | 11.908 |
| 21 - 23 | 10.430 | 0.402 | 0.375 | 0.345 | 0.312 | 0.274 | 0.232 | 0.185 | 0.131 | 0.029 | 12.715 |
| 23 - 24 | 11.135 | 0.385 | 0.359 | 0.331 | 0.299 | 0.263 | 0.222 | 0.177 | 0.126 | 0.027 | 13.323 |
| 24 - 26 | 11.850 | 0.370 | 0.346 | 0.318 | 0.287 | 0.253 | 0.214 | 0.170 | 0.121 | 0.026 | 13.955 |
| 26 - 28 | 12.830 | 0.368 | 0.344 | 0.316 | 0.286 | 0.251 | 0.213 | 0.169 | 0.120 | 0.026 | 14.923 |
| 28 - 30 | 13.810 | 0.336 | 0.314 | 0.289 | 0.261 | 0.229 | 0.194 | 0.154 | 0.110 | 0.024 | 15.722 |
| 30 - 31 | 14.530 | 0.324 | 0.302 | 0.278 | 0.251 | 0.221 | 0.187 | 0.149 | 0.106 | 0.023 | 16.370 |
| 31 - 33 | 15.570 | 0.316 | 0.295 | 0.271 | 0.245 | 0.215 | 0.182 | 0.145 | 0.103 | 0.022 | 17.365 |

5) Menghitung Kenaikan Daya Dukung (Cu baru)

Kedalaman 0 – 3 m

Jenis tanah= pasir kelanauan

$$\text{Cu lama} = 0 \text{ t/m}^2$$

$$\text{Cu baru} = 0 \text{ t/m}^2$$

Kedalaman 3 – 5 m

Jenis tanah= lanau kelempungan

$$\text{PI} = 30\%$$

$$\text{Cu lama} = 1.11 \text{ t/m}^2$$

$$\text{Cu baru} = 0.0737 + (0.1899 - 0.0016 \times 30\%) \times 0.513$$

$$= 0.1709 \text{ kg/m}^2 \sim 1.709 \text{ t/m}^2$$

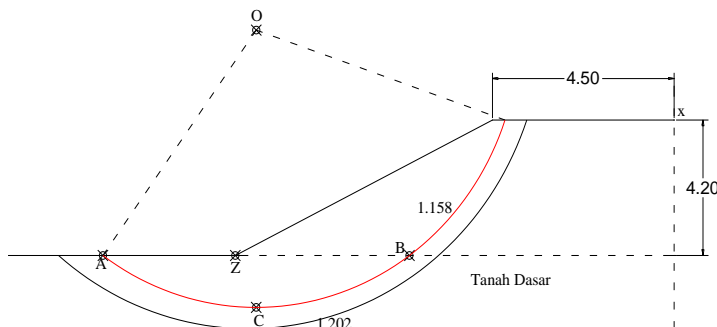
Hasil perhitungan Cu baru pada kedalaman lapisan tanah selanjutnya direkapitulasi pada Tabel 5.13

Tabel 5.13 Peningkatan Nilai Cu pada Minggu ke-9

| Kedalaman (m) | PI | Cu lama (t/m²) | Cu baru (t/m²) |
|----------------------|-----------|--------------------------------------|--------------------------------------|
| 0 – 3 | - | 0.000 | 0.000 |
| 3 – 5 | 30.00 | 1.110 | 1.709 |
| 5 – 7 | 30.00 | 1.289 | 1.875 |
| 7 – 9 | 30.00 | 1.467 | 2.039 |
| 9 – 11 | 30.00 | 1.645 | 2.208 |
| 11 – 13 | 30.00 | 1.823 | 2.367 |
| 13 – 15 | 30.00 | 2.001 | 2.506 |
| 15 – 17 | 30.00 | 2.179 | 2.679 |
| 17 – 19 | 30.00 | 2.357 | 2.829 |
| 19 – 21 | 30.00 | 2.536 | 2.993 |
| 21 – 23 | 30.00 | 2.714 | 3.145 |
| 23 – 24 | 30.00 | 2.847 | 3.261 |
| 24 – 26 | 25.00 | 2.983 | 3.381 |
| 26 – 28 | - | 0.000 | 0.000 |
| 28 – 30 | 30.00 | 3.354 | 3.715 |
| 30 – 31 | 30.00 | 3.491 | 3.838 |
| 31 – 33 | 30.00 | 3.959 | 4.026 |

5.3.5. Perencanaan Geotextile sebagai Perkuatan Timbunan

Hal pertama yang harus dilakukan untuk merencanakan kebutuhan geotextile adalah mencari bidang longsor dengan menggunakan program bantu Xstabl. Adapun data lebar timbunan = 30 m dan H insial = 4.2 m,. Model bidang longsor yang dihasilkan program seperti pada Gambar 5.13



Gambar 5.13 Model Bidang Longsor Timbunan

Dari hasil *output* program tersebut diperoleh data-data sebagai berikut:

$$SF_{min} = 1.158$$

Koordinat dasar timbunan di titik Z

$$X_z = 15$$

$$Y_z = 33$$

Jari - jari kelongsoran

$$R = 8.6$$

Koordinat pusat bidang longsor (Titik o)

$$X_o = 15.68$$

$$Y_o = 39.99$$

Koordinat batas longsor (Titik A dan B)

$$X_A = 10.67$$

$$Y_A = 33$$

$$X_B = 20.68$$

$$Y_B = 33$$

Koordinat dasar bidang longsor (Titik C)

$$X_c = 15.67$$

$$Y_c = 31.39$$

Momen Penahan

$$MR_{\min} = 1319 \text{ kN-m}$$

Urutan perhitungan perencanaan geotextile sebagai berikut:

- 1) Perhitungan nilai momen dorong

$$\begin{aligned} M_{\text{dorong}} &= \frac{MR_{\min}}{SF_{\min}} \\ &= \frac{1319}{1.158} \\ &= 1139.033 \text{ kNm} \end{aligned}$$

- 2) Perhitungan nilai momen rencana

$$SF_{\text{rencana}} = 1.5$$

$$\begin{aligned} MR_{\text{rencana}} &= M_{\text{dorong}} \times SF_{\text{rencana}} \\ &= 1139.033 \times 1.5 \\ &= 1708.549 \text{ kNm} \end{aligned}$$

- 3) Mencari nilai tambahan momen penahan

$$\begin{aligned} \Delta MR &= MR_{\text{rencana}} - MR_{\min} \\ &= 1708.549 - 1319 \\ &= 389.549 \text{ kNm} \end{aligned}$$

- 4) Menghitung kekuatan geotextile yang diijinkan

Geotextile yang digunakan dalam perencanaan ini adalah produksi Geosistem Teknikindo dengan spesifikasi material sebagai berikut:

Tipe = UW250

Kuat tarik = 52 kN/m'

Berdasarkan Tabel 2.13 direncanakan nilai:

SF instalasi, Fsid = 1.5

SF faktor rangkak, Fscr = 2.5

SF faktor kimiawi, Fscd = 1.25

SF faktor biologi, Fsbd = 1.2

$$\begin{aligned}
 T_{\text{allow}} &= \frac{T}{F_{\text{sid}} \times F_{\text{scr}} \times F_{\text{scd}} \times F_{\text{sbd}}} \\
 &= \frac{52}{1.5 \times 2.5 \times 1.25 \times 1.2} \\
 &= 9.245 \text{ kN/m}
 \end{aligned}$$

- 5) Menghitung panjang geotextile di belakang bidang longsor

Data timbunan:

$$H_i = 4.20 \text{ m}$$

$$\gamma_{\text{timb}} = 18.00 \text{ kN/m}^3$$

$$\sigma_v = \gamma_{\text{timb}} \times H_i$$

$$= 4.2 \times 18.00$$

$$= 75.6 \text{ kN/m}^2$$

$$C_u = 0$$

$$\phi_i = 30$$

$$\tau_1 = C_u + \sigma_v \tan \phi$$

$$= 0 + 75.6 \times \tan 30$$

$$= 43.648 \text{ kN/m}^2$$

Data lapisan atas tanah dasar

$$\gamma = 15.00 \text{ kN/m}^3$$

$$C_u = 0$$

$$\phi_i = 25$$

$$\tau_2 = C_u + \sigma_v \tan \phi$$

$$= 0 + 15.00 \times \tan 25$$

$$= 6.995 \text{ kN/m}^2$$

Panjang perlu geotextile di belakang bidang longsor:

$$\begin{aligned}
 L_e &= \frac{T_{\text{allow}} \times SF}{(\tau_1 + \tau_2) \times E} \\
 &= \frac{9.245 \times 1.5}{(43.648 + 6.995) \times 0.8} \\
 &= 0.342 \text{ m}
 \end{aligned}$$

Panjang geotextile di belakang bidang longsor dipasang mulai dari titik bidang longsor sampai dengan batas ujung galian

(titik x, Gambar 5.13) dan harus lebih besar dari Le hasil perhitungan.

6) Menghitung kebutuhan geotextile

Pada geotextile lapisan pertama (pada dasar timbunan)

$$H_{i1} = 4.20 \text{ m}$$

$$T_{i1} = Y_o - Y_z$$

$$= 39.99 - 33$$

$$= 6.99 \text{ m}$$

$$\begin{aligned} M_{\text{geotextile}} &= T_{\text{allow}} \times T_i \\ &= 9.245 \times 6.99 \\ &= 64.623 \text{ kNm} \end{aligned}$$

Cek:

$$\Sigma Momen > \Delta MR$$

$64.623 < 389.549 \rightarrow$ diperlukan lapis tambahan

Untuk perhitungan jumlah lapis geotextile yang dibutuhkan dan panjang geotextile dibelakang bidang longsor direkapitulasi pada Tabel 5.14

Tabel 5.14 Hasil Perhitungan Momen Penahan Geotextile dan Panjang Geotextile di belakang Bidang Longsor

| Jumlah Layer (n) | Hi (m) | Ti (m) | τ_1 (kN/m ²) | τ_2 (kN/m ²) | $M_{\text{geotextile}}$ (kN.m) | $\Sigma M_{\text{geotextile}}$ (kN.m) | Le (m) | Le psg (m) |
|---------------------|-----------|-----------|----------------------------------|----------------------------------|-----------------------------------|--|-----------|---------------|
| 1 | 4.2 | 6.99 | 43.648 | 6.995 | 64.623 | 64.623 | 0.34 | 8.70 |
| 2 | 3.7 | 6.49 | 38.452 | 38.452 | 60.000 | 124.623 | 0.23 | 8.10 |
| 3 | 3.2 | 5.99 | 33.255 | 33.255 | 55.378 | 180.000 | 0.26 | 7.55 |
| 4 | 2.7 | 5.49 | 28.059 | 28.059 | 50.755 | 230.755 | 0.31 | 7.10 |
| 5 | 2.2 | 4.99 | 22.863 | 22.863 | 46.133 | 276.888 | 0.38 | 6.70 |
| 6 | 1.7 | 4.49 | 17.667 | 17.667 | 41.510 | 318.398 | 0.49 | 6.39 |
| 7 | 1.2 | 3.99 | 12.471 | 12.471 | 36.888 | 355.285 | 0.70 | 6.10 |
| 8 | 0.7 | 3.49 | 7.275 | 7.275 | 32.265 | 387.550 | 1.19 | 5.86 |
| 9 | 0.2 | 2.99 | 2.078 | 2.078 | 27.643 | 415.193 | 4.17 | 5.66 |

7) Menghitung panjang geotextile di depan bidang longsor

Panjang geotextile bagian ini dihitung dengan bantuan program autocad untuk mengetahui koordinat pakai.

$L_d = (\text{koordinat-x bidang longsor lapisan } i \text{ geotextile terpasang}) - (\text{koordinat tepi timbunan lapisan } i \text{ geotextile dipasang})$

Perhitungan L_d direkapitulasi pada Tabel 5.15

Tabel 5.15 Perhitungan Panjang Geotextile di depan Bidang Longsor

| Jumlah Layer (n) | Koord. Y _{geotextile} | Koord. pakai | | Koord. X _{tepi timb.} | Ld (m) |
|---------------------|-----------------------------------|--------------|------|-----------------------------------|-----------|
| | | x | y | | |
| 1 | 33 | 20.68 | 33 | 15 | 5.68 |
| 2 | 33.5 | 21.32 | 33.5 | 16 | 5.32 |
| 3 | 34 | 21.85 | 34 | 17 | 4.85 |
| 4 | 34.5 | 22.3 | 34.5 | 18 | 4.3 |
| 5 | 35 | 22.68 | 35 | 19 | 3.68 |
| 6 | 35.5 | 23.01 | 35.5 | 20 | 3.01 |
| 7 | 36 | 23.29 | 36 | 21 | 2.29 |
| 8 | 36.5 | 23.53 | 36.5 | 22 | 1.53 |
| 9 | 37 | 23.74 | 37 | 23 | 0.74 |

- 8) Menghitung panjang total geotextile

$$\begin{aligned} L_{\text{total}} &= L_e + L_d + L_o + S_v \\ &= 8.70 + 5.68 + 1.00 + 0.50 \\ &= 15.88 \text{ m} \end{aligned}$$

Di pasang $L = 16.00 \text{ m}$ pada layer kesatu.

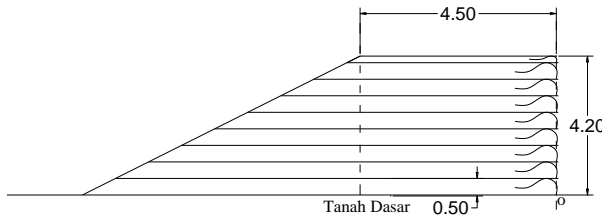
Perhitungan panjang total geotextile direkapitulasi pada Tabel 5.16

Tabel 5.16 Perhitungan Panjang Total Geotextile

| Jumlah Layer (n) | 1 Sisi | | | | | |
|---------------------|--------------------|--------------------|--------------------|--------------------|------------------------|-------------------------|
| | L _e (m) | L _d (m) | L _o (m) | S _v (m) | L _{total} (m) | L _{pasang} (m) |
| 1 | 8.70 | 5.68 | 1.00 | 0.50 | 15.88 | 16.00 |
| 2 | 8.10 | 5.32 | 1.00 | 0.50 | 14.92 | 15.00 |
| 3 | 7.55 | 4.85 | 1.00 | 0.50 | 13.90 | 14.00 |
| 4 | 7.10 | 4.3 | 1.00 | 0.50 | 12.90 | 13.00 |
| 5 | 6.70 | 3.68 | 1.00 | 0.50 | 11.88 | 12.00 |
| 6 | 6.39 | 3.01 | 1.00 | 0.50 | 10.90 | 11.00 |
| 7 | 6.10 | 2.29 | 1.00 | 0.50 | 9.89 | 10.00 |
| 8 | 5.86 | 1.53 | 1.00 | 0.50 | 8.89 | 9.00 |
| 9 | 5.66 | 0.74 | 1.00 | 0.50 | 7.90 | 8.00 |

9) Kontrol stabilitas timbunan

Timbunan disisi galian juga direncanakan sebagai *geotextile wall* (Gambar 5.14), sehingga stabilitas timbunan perlu dikontrol terhadap guling, geser dan keruntuhan pondasi.



Gambar 5.14 Sketsa Perkuatan Timbunan di sisi Galian

a. Cek terhadap guling

Data tanah timbunan :

$$\gamma_{timb} = 1.80 \text{ t/m}^3$$

$$\phi = 30^\circ$$

$$C = 0$$

$$H = 4.2 \text{ m}$$

$$\begin{aligned} P_1 &= 0.5 \times \gamma_{timb} \times K_a \times H^2 \\ &= 0.5 \times 1.80 \times 0.33 \times 4.2^2 \\ &= 5.29 \text{ ton} \end{aligned}$$

Momen pendorong:

$$\begin{aligned} MP_1 &= P_1 \cos \delta \times R \\ &= 5.29 \cos (2/3 \times 30) \times (4.2/3) \\ &= 6.96 \text{ tm} \end{aligned}$$

Momen penahan

$$\begin{aligned} W &= \text{berat tanah} + \text{berat geotextile} \\ &= (\gamma_{timb} \times H \times K_a) + (n \times T_{allow}) \\ &= (1.80 \times 4.2 \times 0.33) + (9 \times 0.924) \\ &= 10.84 \text{ ton} \end{aligned}$$

$$M_w = W \cdot R$$

$$\begin{aligned} &= 10.84 \times 4.5/2 \\ &= 24.39 \text{ tm} \end{aligned}$$

$$MP_1 = P_1 \sin \delta \times R$$

$$= 5.29 \sin (2/3 \times 30) \times (1/3 \times 1.80 \times 0.33 \times 4.2)$$

$$= 1.52 \text{ tm}$$

$$\Sigma M_{\text{penahan}} = 24.39 + 1.52$$

$$= 25.91 \text{ tm}$$

$$SF_{\text{guling}} = \frac{M_{\text{penahan}}}{M_{\text{dorong}}} > 1.2$$

$$= \frac{25.91}{6.96} > 1.2$$

$$= 3.72 > 1.2 \dots (\text{Ok})$$

- b. Cek terhadap Geser

Gaya pendorong :

$$P_1 \cos \delta = 4.97 \text{ ton}$$

Gaya penahan :

$$P_1 \sin \delta = 1.81 \text{ ton}$$

$$W = 10.84 \text{ ton}$$

$$\Sigma Gaya_{\text{penahan}} = 1.81 + 10.84$$

$$= 12.65 \text{ ton}$$

$$SF_{\text{geser}} = \frac{\text{Gaya penahan}}{\text{Gaya dorong}} > 1.2$$

$$= \frac{12.65}{4.97} > 1.2$$

$$= 2.54 > 1.2 \dots (\text{Ok})$$

- c. Cek terhadap keruntuhan pondasi

Data lapis tanah dasar

Pasir kelanauan $\gamma_{tsat} = 1.50 \text{ t/m}^3$, $H = 3.00 \text{ m}$, $\phi = 25^\circ$

Berdasarkan tabel Vesic 1978 diperoleh harga:

$$N_c = 20.72, N_q = 10.66, N_y = 10.88$$

$$Pult = C.N_c + qN_q + 0.5yBN_y$$

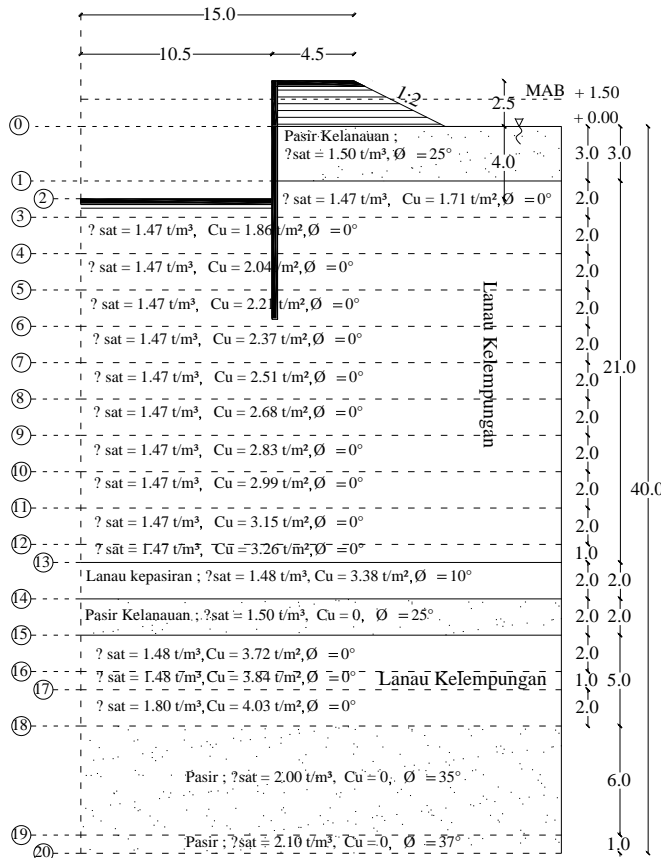
$$= 0 + (0.50 \times 3.00 \times 10.66) + (0.5 \times 0.5 \times 4.5 \times 10.88)$$

$$= 28.23 \text{ t/m}^2$$

$$\begin{aligned} P_{act} &= V_{timb} \times H \\ &= 1.80 \times 4.2 \\ &= 7.56 \text{ t/m}^2 \\ SF &= \frac{P_{ult}}{P_{act}} > 1.2 \\ &= \frac{28.23}{7.56} > 1.2 \\ &= 3.73 > 1.2 \dots (\text{Ok}) \end{aligned}$$

5.3.6. Perencanaan Turap Kondisi I

Kondisi I adalah kondisi air kolam kosong, sehingga terdapat beda tinggi muka air pada sisi kiri dan kanan. Adapun permodelannya seperti Gambar 5.15



Gambar 5.15 Permodelan Perencanaan Turap Kondisi I

1) Perhitungan Tekanan Tanah

Titik 1 & 2 :

Jenis lapisan 1= Lanau berpasir

$$H_1 = 3.00 \text{ m}$$

$$\phi = 25^\circ$$

$$\gamma' = 0.50 \text{ t/m}^3$$

Jenis lapisan 2= Lempung berlanau

$$h_2 = 1.00 \text{ m}$$

$$\phi = 0^\circ$$

$$\gamma' = 0.47 \text{ t/m}^3$$

- Perhitungan beban timbunan

$$\begin{aligned} q &= \gamma \cdot h \\ &= 1.80 \times 2.5 \\ &= 4.50 \text{ t/m}^2 \end{aligned}$$

- Perhitungan Koefisien Tekanan

Titik 0 – 1_{atas}

$$\begin{aligned} K_{a0} &= \tan(45 - \phi/2)^2 \\ &= \tan(45 - 25/2)^2 \\ &= 0.41 \end{aligned}$$

$$\begin{aligned} K_{p0} &= \tan(45 + \phi/2)^2 \\ &= \tan(45 + 25/2)^2 \\ &= 2.46 \end{aligned}$$

Titik 1_{bawah} – 13_{atas}

$$\phi = 0 \text{ maka, } K_{a1bawah} = K_{p2bawah} = 1.00$$

- Perhitungan Tekanan Vertikal Kanan

$$\begin{aligned} \sigma_{V1 \text{ atas}} &= q + (\gamma'_1 \cdot h_1) \\ &= 4.50 + (0.50 \times 3.00) \\ &= 6.00 \text{ t/m}^2 \end{aligned}$$

$$\sigma_{V1 \text{ bawah}} = 6.00 \text{ t/m}^2$$

$$\begin{aligned} \sigma_{V2 \text{ atas}} &= \sigma_{V1} + (\gamma'_2 \cdot h_2) \\ &= 6.00 + (0.47 \times 1.00) \\ &= 6.47 \text{ t/m}^2 \end{aligned}$$

$$\sigma_{V2 \text{ bawah}} = 6.47 \text{ t/m}^2$$

- Perhitungan Tekanan Vertikal Kiri

Perhitungan tekanan vertikal kiri dimulai dari titik 3

$$\begin{aligned}\sigma v_3 \text{ atas} &= (\gamma'_3 \cdot h_3) \\ &= (0.47 \times 1.00) \\ &= 0.47 \text{ t/m}^2\end{aligned}$$

$$\begin{aligned}\sigma v_3 \text{ bawah} &= \sigma v_3 \text{ atas} \\ &= (0.47 \times 1.00) \\ &= 0.47 \text{ t/m}^2\end{aligned}$$

$$\begin{aligned}\sigma v_4 \text{ atas} &= \sigma v_3 \text{ bawah} + (\gamma'_4 \cdot h_4) \\ &= 0.47 \times (0.47 \times 2.00) \\ &= 1.41 \text{ t/m}^2\end{aligned}$$

$$\begin{aligned}\sigma v_4 \text{ bawah} &= \sigma v_4 \text{ atas} \\ &= 1.41 \text{ t/m}^2\end{aligned}$$

- Perhitungan Tekanan horizontal

Titik 0 – 2_{atas}

$$\begin{aligned}\sigma v_{H0} \text{ bawah} &= q \cdot K_a \\ &= 4.50 \times 0.41 = 1.83 \text{ t/m}^2\end{aligned}$$

$$\begin{aligned}\sigma v_{H1} \text{ atas} &= \sigma v_1 \cdot K_{a\text{atas}} \\ &= 6.00 \times 0.41 = 2.44 \text{ t/m}^2\end{aligned}$$

$$\begin{aligned}\sigma v_{H1} \text{ bawah} &= \sigma v_1 \cdot K_{a\text{bawah}} \\ &= 6.00 \times 1.00 = 6.00 \text{ t/m}^2\end{aligned}$$

$$\begin{aligned}\sigma v_{H2} \text{ atas} &= \sigma v_2 \cdot K_{a\text{atas}} \\ &= 6.47 \times 1.00 = 6.47 \text{ t/m}^2\end{aligned}$$

Titik 2_{bawah} merupakan dasar galian, sehingga perhitungan pada titik tinjau

Lapisan kohesif dengan $\phi=0$:

$$\text{Tekanan aktif} = \sigma v_{\text{kanan i}} \cdot K_a - 2C \sqrt{K_a}$$

$$\text{Tekanan pasif} = \sigma v_{\text{kiri i}} \cdot K_p + 2C \sqrt{K_p}$$

Karena nilai $K_a = K_p = 1$, maka resultan tekanan tanah yang terjadi adalah;

Tekanan tanah = Tekanan tanah Pasif – Tekanan tanah aktif

$$\begin{aligned}&= \sigma v_{\text{kiri i}} + 2C - \sigma v_{\text{kanan i}} - 2C \\ &= 4C - \sigma v_{\text{kanan i}} + \sigma v_{\text{kiri i}}\end{aligned}$$

$$\begin{aligned}\sigma v_{H2 \text{ bawah}} &= (4 \times 1.71) - 6.47 + 0 \\ &= 0.37 \text{ t/m}^2 \text{ (Pasif)}\end{aligned}$$

$$\begin{aligned}\sigma v_{H3 \text{ atas}} &= (4 \times 1.71) - 6.94 + 0.47 \\ &= 0.37 \text{ t/m}^2 \text{ (Pasif)}\end{aligned}$$

$$\begin{aligned}\sigma v_{H3 \text{ bawah}} &= (4 \times 1.88) - 6.94 + 0.47 \\ &= 1.03 \text{ t/m}^2 \text{ (Pasif)}\end{aligned}$$

$$\begin{aligned}\sigma v_{H3 \text{ atas}} &= (4 \times 1.88) - 7.88 + 1.41 \\ &= 1.03 \text{ t/m}^2 \text{ (Pasif)}\end{aligned}$$

Titik 13_{bawah} – 14_{atas}

Perhitungan tekanan untuk lapisan kohesif dengan $\phi \neq 0$

$$\begin{aligned}\sigma v_{H13 \text{ bawah}} &= [\sigma v_{\text{kiri i}} \cdot K_p + 2C\sqrt{K_p}] - [\sigma v_{\text{kanan i}} \cdot K_a - 2C\sqrt{K_a}] \\ &= [9.40 \times 1.42 + (2 \times 3.38\sqrt{1.42})] - [15.87 \times 0.70 - (2 \times 3.38\sqrt{0.70})] \\ &= 15.91 \text{ t/m}^2 \text{ (Pasif)}\end{aligned}$$

$$\begin{aligned}\sigma v_{H14 \text{ atas}} &= [\sigma v_{\text{kiri i}} \cdot K_p + 2C\sqrt{K_p}] - [\sigma v_{\text{kanan i}} \cdot K_a - 2C\sqrt{K_a}] \\ &= [10.36 \times 1.42 + (2 \times 3.38\sqrt{1.42})] - [16.83 \times 0.70 - (2 \times 3.38\sqrt{0.70})] \\ &= 16.60 \text{ t/m}^2 \text{ (Pasif)}\end{aligned}$$

Titik 14_{bawah} – 15_{atas}

Perhitungan tekanan untuk lapisan non kohesif :

$$\begin{aligned}\sigma v_{H14 \text{ bawah}} &= (\sigma v_{\text{kiri i}} \cdot K_p) - (\sigma v_{\text{kanan i}} \cdot K_a) \\ &= (10.36 \times 3.69) - (16.83 \times 0.27) \\ &= 18.70 \text{ t/m}^2 \text{ (Pasif)}\end{aligned}$$

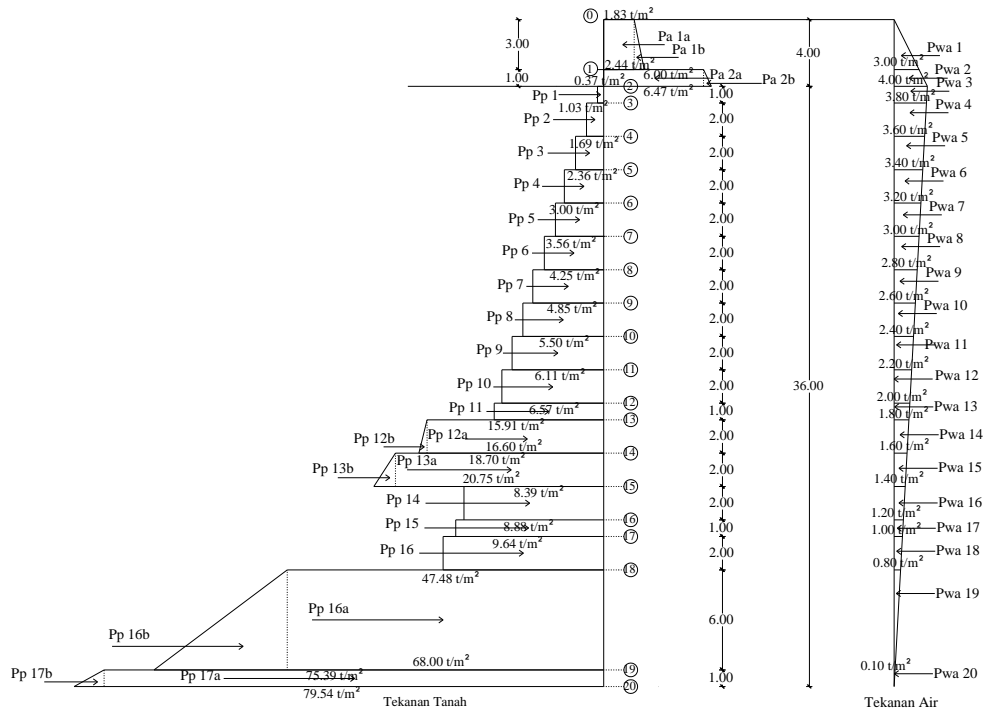
$$\begin{aligned}\sigma v_{H15 \text{ atas}} &= (\sigma v_{\text{kiri i}} \cdot K_p) - (\sigma v_{\text{kanan i}} \cdot K_a) \\ &= (11.36 \times 3.69) - (17.83 \times 0.27) \\ &= 20.75 \text{ t/m}^2 \text{ (Pasif)}\end{aligned}$$

Hasil perhitungan tekanan tanah direkapitulasi pada Tabel 5.17

Tabel 5.17 Perhitungan Tekanan Tanah

| Titik | | Jenis Tanah | h_i m | γ_{sat} ton/m ³ | γ' ton/m ³ | C_u ton/m ² | ϕ (°) | Ka | Kp | σ'_v kiri ton/m ² | σ'_v kanan ton/m ² | σ'_H ton/m ² | Ket |
|-------|-------|-------------------|------------|--------------------------------------|---------------------------------|-----------------------------|---------------|------|------|--|---|-----------------------------------|-------|
| 0 | bawah | Pasir Kelanauan | 0 | 1.50 | 0.50 | 0.00 | 25 | 0.41 | 2.46 | - | 4.50 | 1.83 | Aktif |
| 1 | atas | Pasir Kelanauan | 3 | 1.50 | 0.50 | 0.00 | 25 | 0.41 | 2.46 | - | 6.00 | 2.44 | Aktif |
| | bawah | Lanau Kelempungan | 0 | 1.47 | 0.47 | 1.71 | 0 | 1.00 | 1.00 | - | 6.00 | 6.00 | Aktif |
| 2 | atas | Lanau Kelempungan | 1 | 1.47 | 0.47 | 1.71 | 0 | 1.00 | 1.00 | - | 6.47 | 6.47 | Aktif |
| | bawah | Lanau Kelempungan | 0 | 1.47 | 0.47 | 1.71 | 0 | 1.00 | 1.00 | - | 6.47 | 0.37 | Pasif |
| 3 | atas | Lanau Kelempungan | 1 | 1.47 | 0.47 | 1.71 | 0 | 1.00 | 1.00 | 0.47 | 6.94 | 0.37 | Pasif |
| | bawah | Lanau Kelempungan | 0 | 1.47 | 0.47 | 1.88 | 0 | 1.00 | 1.00 | 0.47 | 6.94 | 1.03 | Pasif |
| 4 | atas | Lanau Kelempungan | 2 | 1.47 | 0.47 | 1.88 | 0 | 1.00 | 1.00 | 1.41 | 7.88 | 1.03 | Pasif |
| | bawah | Lanau Kelempungan | 0 | 1.47 | 0.47 | 2.04 | 0 | 1.00 | 1.00 | 1.41 | 7.88 | 1.69 | Pasif |
| 5 | atas | Lanau Kelempungan | 2 | 1.47 | 0.47 | 2.04 | 0 | 1.00 | 1.00 | 2.35 | 8.82 | 1.69 | Pasif |
| | bawah | Lanau Kelempungan | 0 | 1.47 | 0.47 | 2.21 | 0 | 1.00 | 1.00 | 2.35 | 8.82 | 2.36 | Pasif |
| 6 | atas | Lanau Kelempungan | 2 | 1.47 | 0.47 | 2.21 | 0 | 1.00 | 1.00 | 3.29 | 9.76 | 2.36 | Pasif |
| | bawah | Lanau Kelempungan | 0 | 1.47 | 0.47 | 2.37 | 0 | 1.00 | 1.00 | 3.29 | 9.76 | 3.00 | Pasif |
| 7 | atas | Lanau Kelempungan | 2 | 1.47 | 0.47 | 2.37 | 0 | 1.00 | 1.00 | 4.23 | 10.70 | 3.00 | Pasif |
| | bawah | Lanau Kelempungan | 0 | 1.47 | 0.47 | 2.51 | 0 | 1.00 | 1.00 | 4.23 | 10.70 | 3.56 | Pasif |
| 8 | atas | Lanau Kelempungan | 2 | 1.47 | 0.47 | 2.51 | 0 | 1.00 | 1.00 | 5.17 | 11.64 | 3.56 | Pasif |
| | bawah | Lanau Kelempungan | 0 | 1.47 | 0.47 | 2.68 | 0 | 1.00 | 1.00 | 5.17 | 11.64 | 4.25 | Pasif |
| 9 | atas | Lanau Kelempungan | 2 | 1.47 | 0.47 | 2.68 | 0 | 1.00 | 1.00 | 6.11 | 12.58 | 4.25 | Pasif |
| | bawah | Lanau Kelempungan | 0 | 1.47 | 0.47 | 2.83 | 0 | 1.00 | 1.00 | 6.11 | 12.58 | 4.85 | Pasif |
| 10 | atas | Lanau Kelempungan | 2 | 1.47 | 0.47 | 2.83 | 0 | 1.00 | 1.00 | 7.05 | 13.52 | 4.85 | Pasif |
| | bawah | Lanau Kelempungan | 0 | 1.47 | 0.47 | 2.99 | 0 | 1.00 | 1.00 | 7.05 | 13.52 | 5.50 | Pasif |

| Titik | | Jenis Tanah | hi m | Y _{sat} ton/m ³ | Y' ton/m ³ | Cu ton/m ² | Ø (°) | Ka | Kp | σ' v kiri ton/m ² | σ' v kanan ton/m ² | σ' H ton/m ² | Ket |
|-------|-------|-------------------|---------|--|--------------------------|--------------------------|----------|------|------|---------------------------------|----------------------------------|----------------------------|-------|
| 11 | atas | Lanau Kelempungan | 2 | 1.47 | 0.47 | 2.99 | 0 | 1.00 | 1.00 | 7.99 | 14.46 | 5.50 | Pasif |
| | bawah | Lanau Kelempungan | 0 | 1.47 | 0.47 | 3.15 | 0 | 1.00 | 1.00 | 7.99 | 14.46 | 6.11 | Pasif |
| 12 | atas | Lanau Kelempungan | 2 | 1.47 | 0.47 | 3.15 | 0 | 1.00 | 1.00 | 8.93 | 15.40 | 6.11 | Pasif |
| | bawah | Lanau Kelempungan | 0 | 1.47 | 0.47 | 3.26 | 0 | 1.00 | 1.00 | 8.93 | 15.40 | 6.57 | Pasif |
| 13 | atas | Lanau Kelempungan | 1 | 1.47 | 0.47 | 3.26 | 0 | 1.00 | 1.00 | 9.40 | 15.87 | 6.57 | Pasif |
| | bawah | Lanau Kepasiran | 0 | 1.48 | 0.48 | 3.38 | 10 | 0.70 | 1.42 | 9.40 | 15.87 | 15.91 | Pasif |
| 14 | atas | Lanau Kepasiran | 2 | 1.48 | 0.48 | 3.38 | 10 | 0.70 | 1.42 | 10.36 | 16.83 | 16.60 | Pasif |
| | bawah | Pasir Kelanauan | 0 | 1.50 | 0.50 | 0.00 | 25 | 0.41 | 2.46 | 10.36 | 16.83 | 18.70 | Pasif |
| 15 | atas | Pasir Kelanauan | 2 | 1.50 | 0.50 | 0.00 | 25 | 0.41 | 2.46 | 11.36 | 17.83 | 20.75 | Pasif |
| | bawah | Lanau Kelempungan | 0 | 1.48 | 0.48 | 3.71 | 0 | 1.00 | 1.00 | 11.36 | 17.83 | 8.39 | Pasif |
| 16 | atas | Lanau Kelempungan | 2 | 1.48 | 0.48 | 3.71 | 0 | 1.00 | 1.00 | 12.32 | 18.79 | 8.39 | Pasif |
| | bawah | Lanau Kelempungan | 0 | 1.48 | 0.48 | 3.84 | 0 | 1.00 | 1.00 | 12.32 | 18.79 | 8.88 | Pasif |
| 17 | atas | Lanau Kelempungan | 1 | 1.48 | 0.48 | 3.84 | 0 | 1.00 | 1.00 | 12.80 | 19.27 | 8.88 | Pasif |
| | bawah | Lanau Kelempungan | 0 | 1.80 | 0.80 | 4.03 | 0 | 1.00 | 1.00 | 12.80 | 19.27 | 9.64 | Pasif |
| 18 | atas | Lanau Kelempungan | 2 | 1.80 | 0.80 | 4.03 | 0 | 1.00 | 1.00 | 14.40 | 20.87 | 9.64 | Pasif |
| | bawah | Pasir | 0 | 2.00 | 1.00 | 0.00 | 35 | 0.27 | 3.69 | 14.40 | 20.87 | 47.48 | Pasif |
| 19 | atas | Pasir | 6 | 2.00 | 1.00 | 0.00 | 35 | 0.27 | 3.69 | 20.40 | 26.87 | 68.00 | Pasif |
| | bawah | Pasir | 0 | 2.10 | 1.10 | 0.00 | 37 | 0.25 | 4.02 | 20.40 | 26.87 | 75.39 | Pasif |
| 20 | atas | Pasir | 1 | 2.10 | 1.10 | 0.00 | 37 | 0.25 | 4.02 | 21.50 | 27.97 | 79.54 | Pasif |



Gambar 5.16 Diagram Tekanan Kondisi I

2) Perhitungan Gaya

Perhitungan gaya yang bekerja berdasarkan diagram tekanan (Gambar 5.16) direkapitulasi pada Tabel;

Tabel 5.18 Perhitungan Gaya Akibat Tekanan Air Kondisi I

| No | Pi | Harga P (Ton) | No | Pi | Harga P (Ton) |
|----|---------|---|----|---------|---|
| 1 | Pwa 1 | $0.50 \times 3.00 \times 3.00 = 4.50$ | 20 | Pwa 11a | $2.20 \times 2.00 = 4.40$ |
| 2 | Pwa 2a | $3.00 \times 1.00 = 3.00$ | 21 | Pwa 11b | $0.5 \times (2.40 - 2.20) \times 2.00 = 0.20$ |
| 3 | Pwa 2b | $0.5 \times (4.00 - 3.00) \times 1.00 = 0.50$ | 22 | Pwa 12a | $2.00 \times 2.00 = 4.00$ |
| 4 | Pwa 3a | $3.80 \times 1.00 = 3.80$ | 23 | Pwa 12b | $0.5 \times (2.20 - 2.00) \times 2.00 = 0.20$ |
| 5 | Pwa 3b | $0.5 \times (4.00 - 3.80) \times 1.00 = 0.10$ | 24 | Pwa 13a | $1.80 \times 1.00 = 1.80$ |
| 6 | Pwa 4a | $3.60 \times 2.00 = 7.20$ | 25 | Pwa 13b | $0.5 \times (2.00 - 1.80) \times 1.00 = 0.10$ |
| 7 | Pwa 4b | $0.5 \times (3.80 - 3.60) \times 2.00 = 0.20$ | 26 | Pwa 14a | $1.60 \times 2.00 = 3.20$ |
| 8 | Pwa 5a | $3.40 \times 2.00 = 6.80$ | 27 | Pwa 14b | $0.5 \times (1.80 - 1.60) \times 2.00 = 0.20$ |
| 9 | Pwa 5b | $0.5 \times (3.60 - 3.40) \times 2.00 = 0.20$ | 28 | Pwa 15a | $1.40 \times 2.00 = 2.80$ |
| 10 | Pwa 6a | $3.20 \times 2.00 = 6.40$ | 29 | Pwa 15b | $0.5 \times (1.60 - 1.40) \times 2.00 = 0.20$ |
| 11 | Pwa 6b | $0.5 \times (3.40 - 3.20) \times 2.00 = 0.20$ | 30 | Pwa 16a | $1.20 \times 2.00 = 2.40$ |
| 12 | Pwa 7a | $3.00 \times 2.00 = 6.00$ | 31 | Pwa 16b | $0.5 \times (1.40 - 1.20) \times 2.00 = 0.20$ |
| 13 | Pwa 7b | $0.5 \times (3.20 - 3.00) \times 2.00 = 0.20$ | 32 | Pwa 17a | $1.00 \times 1.00 = 1.00$ |
| 14 | Pwa 8a | $2.80 \times 2.00 = 5.60$ | 33 | Pwa 17b | $0.5 \times (1.20 - 1.00) \times 1.00 = 0.10$ |
| 15 | Pwa 8b | $0.5 \times (3.00 - 2.80) \times 2.00 = 0.20$ | 34 | Pwa 18a | $0.80 \times 2.00 = 1.60$ |
| 16 | Pwa 9a | $2.60 \times 2.00 = 5.20$ | 35 | Pwa 18b | $0.5 \times (1.00 - 0.80) \times 2.00 = 0.20$ |
| 17 | Pwa 9b | $0.5 \times (2.80 - 2.60) \times 2.00 = 0.20$ | 36 | Pwa 19a | $0.10 \times 6.00 = 0.60$ |
| 18 | Pwa 10a | $2.40 \times 2.00 = 4.80$ | 37 | Pwa 19b | $0.5 \times (0.80 - 0.10) \times 6.00 = 2.10$ |
| 19 | Pwa 10b | $0.5 \times (2.60 - 2.40) \times 2.00 = 0.20$ | 38 | Pwa 20 | $0.10 \times 1.00 = 0.10$ |

Tabel 5.19 Perhitungan Gaya Akibat Tekanan Tanah Aktif Kondisi I

| No | Pi | Harga P (Ton) |
|----|-------|---|
| 1 | Pa 1a | $1.83 \times 3.00 = 5.48$ |
| 2 | Pa 1b | $0.5 \times (2.44 - 1.83) \times 3.00 = 0.91$ |
| 3 | Pa 2a | $6.00 \times 1.00 = 6.00$ |
| 4 | Pa 2b | $0.5 \times (6.47 - 6.00) \times 1.00 = 0.24$ |

Tabel 5.20 Perhitungan Gaya Akibat Tekanan Tanah Pasif Kondisi I

| No | Pi | Harga P (Ton) |
|----|-------|----------------------------------|
| 1 | Pp1 | 0.37 x 1.00 = 0.37 |
| 2 | Pp2 | 1.03 x 2.00 = 2.06 |
| 3 | Pp3 | 1.69 x 2.00 = 3.37 |
| 4 | Pp4 | 2.36 x 2.00 = 4.72 |
| 5 | Pp5 | 3.00 x 2.00 = 6.00 |
| 6 | Pp6 | 3.56 x 2.00 = 7.11 |
| 7 | Pp7 | 4.25 x 2.00 = 8.49 |
| 8 | Pp8 | 4.85 x 2.00 = 9.69 |
| 9 | Pp9 | 5.50 x 2.00 = 11.00 |
| 10 | Pp10 | 6.11 x 2.00 = 12.22 |
| 11 | Pp11 | 6.57 x 1.00 = 6.57 |
| 12 | Pp12a | 15.91 x 2.00 = 31.82 |
| | Pp12b | 0.5 x(16.6-15.91)x 2.00 = 0.69 |
| 13 | Pp13a | 18.70 x 2.00 = 37.39 |
| | Pp13b | 0.5 x(20.75-18.70)x 2.00 = 2.06 |
| 14 | Pp14 | 8.39 x 2.00 = 16.78 |
| 15 | Pp15 | 8.88 x 1.00 = 8.88 |
| 16 | Pp16 | 9.64 x 2.00 = 19.27 |
| 17 | Pp17a | 47.48 x 6.00 = 284.90 |
| 18 | Pp17b | 0.5 x(68-47.48)x 6.00 = 61.55 |
| 19 | Pp18a | 75.39 x 1.00 = 75.39 |
| 20 | Pp18b | 0.5 x(79.54 - 75.39)x 1.0= 12.45 |

3) Perhitungan Momen Pertitik

Panjang turap yang dibutuhkan terletak pada harga momen = 0, untuk mengetahuinya maka perlu dihitung harga momen per titik. Adapun perhitungannya sebagai berikut:

$$\begin{aligned}
 \text{Titik 1} &= MPa1a + MPa1b + MPwa1 \\
 &= (5.48 t x 1.50m) + (0.91 t x 1.00m) + (4.50 t x 1.00m) \\
 &= 8.22 + 0.91 + 4.50 \\
 &= 13.63 \text{ tm}
 \end{aligned}$$

$$\begin{aligned}
 \text{Titik 2} &= (\text{MPa1a} + \text{MPa1b}) + (\text{MPa2a} + \text{MPa2b}) + \text{MPwa1} + \\
 &\quad \text{MPwa2} \\
 &= [(5.48 \text{ t} \times 2.50\text{m}) + (0.91\text{t} \times 2.00\text{m})] + [(6.00 \text{ t} \times \\
 &\quad 0.50 \text{ m}) + (0.24\text{t} \times 0.33\text{m})] + (4.50 \text{ t} \times 2.00\text{m}) + \\
 &\quad [(3.00 \text{ t} \times 0.5 \text{ m}) + (0.5 \times 0.33)] \\
 &= 13.70 + 1.83 + 3.00 + 0.08 + 9.00 + 1.67 \\
 &= 29.27 \text{ tm}
 \end{aligned}$$

$$\begin{aligned}
 \text{Titik 3} &= (\text{MPa1a} + \text{MPa1b}) + (\text{MPa2a} + \text{MPa2b}) + \text{MPwa1} + \\
 &\quad \text{MPwa2} + \text{MPwa3} - \text{MPp1} \\
 &= [(5.48 \text{ t} \times 3.50\text{m}) + (0.91\text{t} \times 3.00\text{m})] + [(6.00 \text{ t} \times \\
 &\quad 1.50 \text{ m}) + (0.24\text{t} \times 1.33\text{m})] + (4.50 \text{ t} \times 3.00\text{m}) + \\
 &\quad [(3.00 \text{ t} \times 1.5 \text{ m}) + (0.5 \times 1.33)] + [(3.80\text{t} \times \\
 &\quad 0.5\text{m}) + (0.10\text{t} \times 0.67\text{m})] - (0.37\text{t} \times 0.5\text{m}) \\
 &= 19.18 + 2.74 + 9.00 + 0.31 + 13.5 + 5.17 + 1.97 - \\
 &\quad 0.18 \\
 &= 51.68 \text{ tm}
 \end{aligned}$$

$$\begin{aligned}
 \text{Titik 4} &= (\text{MPa1a} + \text{MPa1b}) + (\text{MPa2a} + \text{MPa2b}) + \text{MPwa1} + \\
 &\quad \text{MPwa2} + \text{MPwa3} + \text{MPwa4} - \text{MPp1} - \text{MPp2} \\
 &= [(5.48 \text{ t} \times 5.50\text{m}) + (0.91\text{t} \times 5.00\text{m})] + [(6.00 \text{ t} \times \\
 &\quad 3.50 \text{ m}) + (0.24\text{t} \times 3.33\text{m})] + (4.50 \text{ t} \times 5.00\text{m}) + \\
 &\quad [(3.00 \text{ t} \times 3.5 \text{ m}) + (0.5 \times 3.33)] + [(3.80\text{t} \times \\
 &\quad 2.5\text{m}) + (0.10\text{t} \times 2.67\text{m})] + [(7.20 \text{ t} \times 1.00\text{m}) + (0.20\text{t} \\
 &\quad \times 1.33\text{m})] - (0.37\text{ton} \times 2.5\text{m}) - (2.06 \text{ ton} \times 1.00\text{m}) \\
 &= 30.13 + 4.57 + 21.00 + 0.78 + 22.5 + 12.17 + 9.77 \\
 &\quad + 7.47 - 0.91 - 2.06 \\
 &= 105.41 \text{ tm}
 \end{aligned}$$

Perhitungan momen selanjutnya direkapitulasi pada Tabel 5.21

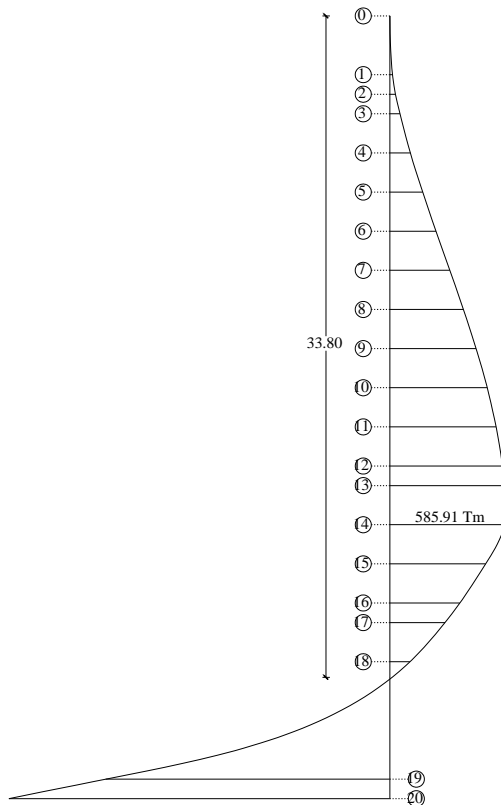
Tabel 5.21 Perhitungan Momen pertitik Kondisi I

| Titik | Momen yang berkerja pada titik | Perhitungan Momen Titik | | | | | | | Σ momen Tomm |
|-------|--|-------------------------|---------|---------|---------|---------|---------|---------|------------------------|
| 1 | Mpa1a+Mpa1b+MPwa1 | = 8.22 | + 0.91 | + 4.50 | | | | | 13.63 |
| 2 | Mpa1a+Mpa1b+MPa2a+MPa2b+Mpwa1+MPwa2 | = 13.70 | + 1.83 | + 3.00 | + 0.08 | + 9.00 | + 1.67 | | 29.27 |
| 3 | Mpa1a+Mpa1b+MPa2a+MPa2b+Mpwa1+MPwa2+MPwa3 -MPp1 | = 19.18 | + 2.74 | + 9.00 | + 0.31 | + 13.50 | + 5.17 | + 1.97 | 51.68 |
| 4 | Mpa1a+Mpa1b+MPa2a+MPa2b+Mpwa1+MPwa2+MPwa3 +MPwa4-MPp1-MPp2 | = 30.13 | + 4.57 | + 21.00 | + 0.78 | + 22.50 | + 12.17 | + 9.77 | 105.41 |
| 5 | Mpa1a+Mpa1b+MPa2a+MPa2b+Mpwa1+MPwa2+MPwa3 +MPwa4+MPwa5-MPp1-MPp2-MPp3 | = 41.09 | + 6.39 | + 33.00 | + 1.25 | + 31.50 | + 19.17 | + 17.57 | 168.10 |
| 6 | Mpa1a+Mpa1b+MPa2a+MPa2b+Mpwa1+MPwa2+MPwa3 +MPwa4+MPwa5+MPwa6-MPp1-MPp2-MPp3-MPp4 | = 52.05 | + 8.22 | + 45.00 | + 1.72 | + 40.50 | + 26.17 | + 25.37 | 236.30 |
| 7 | Mpa1a+Mpa1b+MPa2a+MPa2b+Mpwa1+MPwa2+MPwa3 +MPwa4+MPwa5+MPwa6+MPwa7-MPp1-MPp2-MPp3 -MPp4-MPp5 | = 63.01 | + 10.04 | + 57.00 | + 2.19 | + 49.50 | + 33.17 | + 33.17 | 306.58 |
| 8 | Mpa1a+Mpa1b+MPa2a+MPa2b+Mpwa1+MPwa2+MPwa3 +MPwa4+MPwa5+MPwa6+MPwa7+MPwa8-MPp1-MPp2 -MPp3-MPp4-MPp5-MPp6 | = 73.97 | + 11.87 | + 69.00 | + 2.66 | + 58.50 | + 40.17 | + 40.97 | 375.76 |
| 9 | Mpa1a+Mpa1b+MPa2a+MPa2b+Mpwa1+MPwa2+MPwa3 +MPwa4+MPwa5+MPwa6+MPwa7+MPwa8+MPwa9-MPp1 -MPp2-MPp3-MPp4-MPp5-MPp6-MPp7 | = 84.93 | + 13.70 | + 81.00 | + 3.13 | + 67.50 | + 47.17 | + 48.77 | 440.53 |
| 10 | Mpa1a+Mpa1b+MPa2a+MPa2b+Mpwa1+MPwa2+MPwa3 +MPwa4+MPwa5+MPwa6+MPwa7+MPwa8+MPwa9+MPwa10 -MPp1-MPp2-MPp3-MPp4-MPp5-MPp6-MPp7 -MPp8 | = 95.88 | + 15.52 | + 93.00 | + 3.60 | + 76.50 | + 54.17 | + 56.57 | 497.52 |
| | | + 96.27 | + 77.07 | + 59.47 | + 43.47 | + 29.07 | + 16.27 | + 5.07 | |
| | | - 5.31 | - 26.80 | - 37.10 | - 42.49 | - 41.97 | - 35.55 | - 25.48 | |
| | | - 9.69 | | | | | | | |

| Titik | Momen yang berkerja pada titik | Perhitungan Momen Titik | | | | | | | | Σ momen Tomm |
|-------|---|-------------------------|----------|----------|----------|----------|----------|----------|---------|------------------------|
| 11 | $M_{pa1a} + M_{pa1b} + M_{pa2a} + M_{pa2b} + M_{pwa1} + M_{pwa2} + M_{pwa3} + M_{pwa4} + M_{pwa5} + M_{pwa6} + M_{pwa7} + M_{pwa8} + M_{pwa9} + M_{pwa10} + M_{pwa11} - M_{pp1} - M_{pp2} - M_{pp3} - M_{pp4} - M_{pp5} - M_{pp6} - M_{pp7} - M_{pp8} - M_{pp9}$ | = | 106.84 | + 17.35 | + 105.00 | + 4.07 | + 85.50 | + 61.17 | + 64.37 | |
| | | + 111.07 | + 91.07 | + 72.67 | + 55.87 | + 40.67 | + 27.07 | + 15.07 | | 543.41 |
| | | + 4.67 | - 6.04 | - 30.93 | - 43.84 | - 51.93 | - 53.96 | - 49.78 | | |
| | | - 42.47 | - 29.07 | - 11.00 | | | | | | |
| 12 | $M_{pa1a} + M_{pa1b} + M_{pa2a} + M_{pa2b} + M_{pwa1} + M_{pwa2} + M_{pwa3} + M_{pwa4} + M_{pwa5} + M_{pwa6} + M_{pwa7} + M_{pwa8} + M_{pwa9} + M_{pwa10} + M_{pwa11} + M_{pwa12} - M_{pp1} - M_{pp2} - M_{pp3} - M_{pp4} - M_{pp5} - M_{pp6} - M_{pp7} - M_{pp8} - M_{pp9} - M_{pp10}$ | = | 117.80 | + 19.18 | + 117.00 | + 4.54 | + 94.50 | + 68.17 | + 72.17 | |
| | | + 125.87 | + 105.07 | + 85.87 | + 68.27 | + 52.27 | + 37.87 | + 25.07 | | 574.88 |
| | | + 13.87 | + 4.27 | - 6.77 | - 35.05 | - 50.59 | - 61.37 | - 65.95 | | |
| | | - 64.00 | - 59.46 | - 48.45 | - 33.00 | - 12.22 | | | | |
| 13 | $M_{pa1a} + M_{pa1b} + M_{pa2a} + M_{pa2b} + M_{pwa1} + M_{pwa2} + M_{pwa3} + M_{pwa4} + M_{pwa5} + M_{pwa6} + M_{pwa7} + M_{pwa8} + M_{pwa9} + M_{pwa10} + M_{pwa11} + M_{pwa12} + M_{pwa13} - M_{pp1} - M_{pp2} - M_{pp3} - M_{pp4} - M_{pp5} - M_{pp6} - M_{pp7} - M_{pp8} - M_{pp9} - M_{pp10} - M_{pp11}$ | = | 123.28 | + 20.09 | + 123.00 | + 4.78 | + 99.00 | + 71.67 | + 76.07 | |
| | | + 133.27 | + 112.07 | + 92.47 | + 74.47 | + 58.07 | + 43.27 | + 30.07 | | 584.26 |
| | | + 18.47 | + 8.47 | + 0.97 | - 7.14 | - 37.11 | - 53.96 | - 66.09 | | |
| | | - 71.95 | - 71.11 | - 67.95 | - 58.14 | - 44.01 | - 24.45 | - 3.29 | | |
| 14 | $M_{pa1a} + M_{pa1b} + M_{pa2a} + M_{pa2b} + M_{pwa1} + M_{pwa2} + M_{pwa3} + M_{pwa4} + M_{pwa5} + M_{pwa6} + M_{pwa7} + M_{pwa8} + M_{pwa9} + M_{pwa10} + M_{pwa11} + M_{pwa12} + M_{pwa13} + M_{pwa14} - M_{pp1} - M_{pp2} - M_{pp3} - M_{pp4} - M_{pp5} - M_{pp6} - M_{pp7} - M_{pp8} - M_{pp9} - M_{pp10} - M_{pp11} - M_{pp12}$ | = | 134.24 | + 21.92 | + 135.00 | + 5.25 | + 108.00 | + 78.67 | + 83.87 | |
| | | + 148.07 | + 126.07 | + 105.67 | + 86.87 | + 69.67 | + 54.07 | + 40.07 | | 585.91 |
| | | + 27.67 | + 16.87 | + 4.77 | + 3.47 | - 7.87 | - 41.23 | - 60.71 | | |
| | | - 75.54 | - 83.94 | - 85.33 | - 84.94 | - 77.52 | - 66.01 | - 48.89 | | |
| | | - 16.43 | - 32.28 | | | | | | | |
| 15 | $M_{pa1a} + M_{pa1b} + M_{pa2a} + M_{pa2b} + M_{pwa1} + M_{pwa2} + M_{pwa3} + M_{pwa4} + M_{pwa5} + M_{pwa6} + M_{pwa7} + M_{pwa8} + M_{pwa9} + M_{pwa10} + M_{pwa11} + M_{pwa12} + M_{pwa13} + M_{pwa14} + M_{pwa15} - M_{pp1} - M_{pp2} - M_{pp3} - M_{pp4} - M_{pp5} - M_{pp6} - M_{pp7} - M_{pp8} - M_{pp9} - M_{pp10} - M_{pp11} - M_{pp12} - M_{pp13}$ | = | 145.20 | + 23.74 | + 147.00 | + 5.72 | + 117.00 | + 85.67 | + 91.67 | |
| | | + 162.87 | + 140.07 | + 118.87 | + 99.27 | + 81.27 | + 64.87 | + 50.07 | | |
| | | + 36.87 | + 25.27 | + 8.57 | + 10.27 | + 3.07 | - 8.60 | - 45.36 | | 489.59 |
| | | - 67.45 | - 84.98 | - 95.93 | - 99.55 | - 101.93 | - 96.90 | - 88.01 | | |
| | | - 73.34 | - 29.58 | - 97.30 | - 38.76 | | | | | |
| 16 | $M_{pa1a} + M_{pa1b} + M_{pa2a} + M_{pa2b} + M_{pwa1} + M_{pwa2} + M_{pwa3} + M_{pwa4} + M_{pwa5} + M_{pwa6} + M_{pwa7} + M_{pwa8} + M_{pwa9} + M_{pwa10} + M_{pwa11} + M_{pwa12} + M_{pwa13} + M_{pwa14} + M_{pwa15} + M_{pwa16} - M_{pp1} - M_{pp2} - M_{pp3} - M_{pp4} - M_{pp5} - M_{pp6} - M_{pp7} - M_{pp8} - M_{pp9} - M_{pp10} - M_{pp11} - M_{pp12} - M_{pp13} - M_{pp14}$ | = | 156.15 | + 25.57 | + 159.00 | + 6.19 | + 126.00 | + 92.67 | + 99.47 | |
| | | + 177.67 | + 154.07 | + 132.07 | + 111.67 | + 92.87 | + 75.67 | + 60.07 | | |
| | | + 46.07 | + 33.67 | + 12.37 | + 17.07 | + 9.07 | + 2.67 | - 9.33 | | 358.40 |
| | | - 49.48 | - 74.20 | - 94.42 | - 107.93 | - 113.77 | - 118.92 | - 116.28 | | |
| | | - 110.02 | - 97.79 | - 42.72 | - 162.32 | - 117.66 | - 16.78 | | | |

| Titik | Momen yang berkerja pada titik | Perhitungan Momen Titik | | | | | | | Σ momen Tonm |
|-------|--|-------------------------|----------|----------|----------|----------|----------|----------|---------------------|
| 17 | $M_{pa1a} + M_{pa1b} + M_{pa2a} + M_{pa2b} + M_{pwa1} + M_{pwa2} + M_{pwa3}$ $+ M_{pwa4} + M_{pwa5} + M_{pwa6} + M_{pwa7} + M_{pwa8} + M_{pwa9} + M_{pwa10}$ $+ M_{pwa11} + M_{pwa12} + M_{pwa13} + M_{pwa14} + M_{pwa15} + M_{pwa16} + M_{pwa17}$ $- M_{pp1} - M_{pp2} - M_{pp3} - M_{pp4} - M_{pp5} - M_{pp6} - M_{pp7}$ $- M_{pp8} - M_{pp9} - M_{pp10} - M_{pp11} - M_{pp12} - M_{pp13} - M_{pp14}$ $- M_{pp15}$ | = 161.63 | + 26.48 | + 165.00 | + 6.42 | + 130.50 | + 96.17 | + 103.37 | 281.80 |
| | | + 185.07 | + 161.07 | + 138.67 | + 117.87 | + 98.67 | + 81.07 | + 65.07 | |
| 18 | $M_{pa1a} + M_{pa1b} + M_{pa2a} + M_{pa2b} + M_{pwa1} + M_{pwa2} + M_{pwa3}$ $+ M_{pwa4} + M_{pwa5} + M_{pwa6} + M_{pwa7} + M_{pwa8} + M_{pwa9} + M_{pwa10}$ $+ M_{pwa11} + M_{pwa12} + M_{pwa13} + M_{pwa14} + M_{pwa15} + M_{pwa16} + M_{pwa17}$ $+ M_{pp18} - M_{pp1} - M_{pp2} - M_{pp3} - M_{pp4} - M_{pp5} - M_{pp6}$ $- M_{pp7} - M_{pp8} - M_{pp9} - M_{pp10} - M_{pp11} - M_{pp12} - M_{pp13}$ $- M_{pp14} - M_{pp15} - M_{pp16}$ | = 172.59 | + 28.31 | + 177.00 | + 6.89 | + 139.50 | + 103.17 | + 111.17 | 103.39 |
| | | + 199.87 | + 175.07 | + 151.87 | + 130.27 | + 110.27 | + 91.87 | + 75.07 | |
| 19 | $M_{pa1a} + M_{pa1b} + M_{pa2a} + M_{pa2b} + M_{pwa1} + M_{pwa2} + M_{pwa3}$ $+ M_{pwa4} + M_{pwa5} + M_{pwa6} + M_{pwa7} + M_{pwa8} + M_{pwa9} + M_{pwa10}$ $+ M_{pwa11} + M_{pwa12} + M_{pwa13} + M_{pwa14} + M_{pwa15} + M_{pwa16} + M_{pwa17}$ $+ M_{pwa18} + M_{pwa19} - M_{pp1} - M_{pp2} - M_{pp3} - M_{pp4} - M_{pp5}$ $- M_{pp6} - M_{pp7} - M_{pp8} - M_{pp9} - M_{pp10} - M_{pp11} - M_{pp12}$ $- M_{pp13} - M_{pp14} - M_{pp15} - M_{pp16} - M_{pp17}$ | = 205.47 | + 33.79 | + 213.00 | + 8.30 | + 166.50 | + 124.17 | + 134.57 | -1452.03 |
| | | + 244.27 | + 217.07 | + 191.47 | + 167.47 | + 145.07 | + 124.27 | + 105.07 | |
| 20 | $M_{pa1a} + M_{pa1b} + M_{pa2a} + M_{pa2b} + M_{pwa1} + M_{pwa2} + M_{pwa3}$ $+ M_{pwa4} + M_{pwa5} + M_{pwa6} + M_{pwa7} + M_{pwa8} + M_{pwa9} + M_{pwa10}$ $+ M_{pwa11} + M_{pwa12} + M_{pwa13} + M_{pwa14} + M_{pwa15} + M_{pwa16} + M_{pwa17}$ $+ M_{pwa18} + M_{pwa19} + M_{pwa20} - M_{pp1} - M_{pp2} - M_{pp3} - M_{pp4}$ $- M_{pp5} - M_{pp6} - M_{pp7} - M_{pp8} - M_{pp9} - M_{pp10} - M_{pp11}$ $- M_{pp12} - M_{pp13} - M_{pp14} - M_{pp15} - M_{pp16} - M_{pp17} - M_{pp18}$ | = 210.94 | + 34.70 | + 219.00 | + 8.54 | + 171.00 | + 127.67 | + 138.47 | -1947.12 |
| | | + 251.67 | + 224.07 | + 162.07 | + 198.07 | + 150.87 | + 129.67 | + 110.07 | |

Hasil dari perhitungan momen per titik pada Tabel 5.21 kemudian digambarkan pada Gambar 5.17



Gambar 5.17 Diagram Momen Kondisi I

Berdasarkan Gambar 5.17 momen = 0 terletak diantara titik 18 dan 19 yaitu pada kedalaman = 33.80 m, sehingga;

$$\begin{aligned} L_{\text{turap total}} &= L_{\text{bagian timbunan}} + (L_{\text{bagian tanah}} \times SF) \\ &= 2.5 + (33.80 \times 1.2) \\ &= 43 \text{ m} \end{aligned}$$

4) Perencanaan Profil Turap

Panjang turap total = 43 m, sehingga tidak memungkinkan menggunakan turap baja.

Profil turap yang direncanakan adalah *bored pile* dengan spesifikasi sebagai berikut:

$$\text{Diameter bore pile} = 1200 \text{ mm}$$

$$\text{Decking} = 40 \text{ mm}$$

$$\text{Dc} = 1200 - 2 \times 40 \\ = 1120 \text{ mm}$$

$$\text{Kuat tekan beton (f'c)} = 30 \text{ Mpa}$$

$$\text{Kuat leleh tulangan lentur (fy)} = 400 \text{ Mpa}$$

$$\text{Kuat leleh tulangan geser (fyv)} = 250 \text{ mpa}$$

$$\text{Diameter tulangan lentur} = 32 \text{ mm}$$

$$\text{Diameter tulangan geser} = 13 \text{ mm}$$

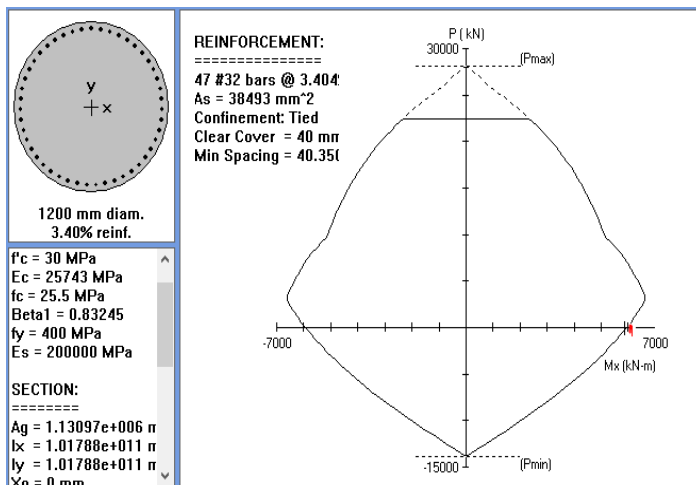
$$\text{Ag (Luas bore pile)} = 0.25 \times \pi \times d^2 \\ = 0.25 \times \pi \times 1200^2 \\ = 1130973 \text{ mm}^2$$

$$\text{Ach (Luas Pengekangan)} = 0.25 \times \pi \times (d - 2 \times \text{decking})^2 \\ = 0.25 \times \pi \times (1200 - 2 \times 40)^2 \\ = 985203 \text{ mm}^2$$

$$\text{Angka rasio } \beta_1 = 0.85 - (f'c - 28) \times 0.05/7 \\ = 0.85 - (30 - 28) \times 0.05/7 \\ = 0.84$$

$$\text{Mu maks} = 5859.09 \text{ kNm}$$

Perencanaan *bored pile* menggunakan program PCA-Col, adapun hasil output program pada Gambar 5.18



Gambar 5.18 Hasil Output PCA-Col untuk *Bored Pile* Dimensi 1200 mm

Kontrol Desain

- Luas tulangan

Berdasarkan SNI 2847-2013 Pasal 10.9.1, Luas tulangan longitudinal tidak boleh kurang dari $0.01Ag$ dan lebih dari $0.08Ag$

$$\begin{aligned} Ast &= n \times \frac{1}{4} \pi \times d^2 \\ &= 47 \times 0.25 \times \pi \times 32^2 \\ &= 37799.64 \text{ mm}^2 \end{aligned}$$

$$Ag = 1130973 \text{ mm}^2$$

$$0.01Ag \leq Ast \leq 0.08Ag$$

$$(0.01 \times 1130973) \leq 11290.10 \text{ mm}^2 \leq (0.08 \times 1130973)$$

$$11309.73 \leq 37799.64 \leq 90477.87 \text{ mm}^2 \rightarrow \text{Ok}$$

- Rasio tulangan

Berdasarkan SNI 2847-2002 Pasal 23.3.2, Kriteria rasio tulangan adalah 1% - 6%, semakin kecil nilai rasio tulangan makan tulangan baja semakin efesien.

Berdasarkan output program, rasio tulangan = 3.40% < 6% (memenuhi syarat)

- Batas Spasi

Berdasarkan SNI 2847-2013 Pasal 7.6.3, Jarak bersih antar tulangan longitudinal tidak boleh kurang dari 40 mm.

Hasil output min spacing = 40.35 mm > 40 mm (Memenuhi syarat)

Perencanaan Penulangan Geser *Bored pile*

Berdasarkan SNI 2847-2013 Pasal 10.9.3 Rasio volume tulangan spiral, ps tidak boleh kurang dari:

$$\begin{aligned}\rho_s &= 0.45 \left(\frac{A_g}{A_{ch}} - 1 \right) \times \frac{f'_c}{f_y} \\ &= 0.45 \left(\frac{282743}{21237} - 1 \right) \times \frac{30}{250} \\ &= 0.0179\end{aligned}$$

Direncanakan menggunakan tulangan D13, maka luas 1 tulangan;

$$\begin{aligned}A_s &= 0.25 \times \pi \times 13^2 \\ &= 132.73 \text{ mm}^2\end{aligned}$$

Jarak spiral maksimal 150 mm

$$\begin{aligned}s &= \frac{A_s \pi (D_c - d_b)}{\frac{\pi}{4} x D_c^2 \rho_s} \\ &= \frac{132.73 \pi (520-13)}{\frac{\pi}{4} x 520^2 x 0.0179} \\ &= 55.51 \text{ mm} < 150 \text{ mm (Ok)}$$

Dipasang tulangan spiral D 13 – 60 mm

Perhitungan Defleksi *Bored Pile* D1200

$$\text{Diameter (D)} = 1200 \text{ mm}$$

$$\text{Panjang tiang pancang (L)} = 40.6 \text{ mm}$$

$$F'_c = 30 \text{ Mpa}$$

$$\begin{aligned}\text{Modulus elastis tiang (Ec)} &= 4700 \times \sqrt{f'_c} \times 10^3 \\ &= 4700 \times \sqrt{30} \times 10^3 \\ &= 25742960 \text{ kN/m}^2\end{aligned}$$

$$\begin{aligned}
 \text{Momen inersia penampang}(I_c) &= \frac{\pi}{64} \times D^4 \\
 &= \frac{\pi}{64} \times 1.2^4 \\
 &= 0.1018 \text{ m}^4
 \end{aligned}$$

Jarak momen terhadap muka tanah (e) = 0 m

Momen design = 5859.09 kNm

Untuk tanah kohesif letak jepit maksimum nilai :

$$\text{ZF} = 1.8 \text{ T}$$

Koefisien reaksi *subgrade* tanah lempung berdasarkan Paulo dan Davis, 1980 (Tabel 2.11)

$$N_h = 554 \text{ kn/m}^3$$

$$\begin{aligned}
 T &= \sqrt[5]{\frac{EI}{N_h}} = \sqrt[5]{\frac{25742960.2 \times 0.1018}{554}} \\
 &= 5.432 \text{ m}
 \end{aligned}$$

$$\begin{aligned}
 \text{ZF} &= 1.8 \times 5.432 \\
 &= 9.78 \text{ m}
 \end{aligned}$$

$$\begin{aligned}
 H_u &= \frac{M_{max}}{Z_f} = \frac{585.91 \text{ tonm}}{9.78 \text{ m}} \\
 &= 59.92 \text{ ton} \\
 &= 599.2 \text{ kN}
 \end{aligned}$$

Untuk tiang dalam tanah kohesif defleksi tiang dikaitkan dengan faktor tak berdimensi (βL), dengan:

$$L \text{ turap bagian tanah} = 40.6 \text{ m}$$

$$\begin{aligned}
 k_h &= N_h (z/d) \\
 &= 554 \times (40.6/1.2) \\
 &= 18725.2 \text{ kN/m}^3
 \end{aligned}$$

$$\begin{aligned}
 \beta &= \left(\frac{k_h \cdot d}{4E_p \cdot I_p} \right) \\
 &= \left(\frac{18725.2 \times 1.2}{4 \times 25742960.2 \times 0.1018} \right) \\
 &= 0.0021
 \end{aligned}$$

$$\beta L = 0.0021 \times 40.6$$

$= 0.087 < 1.5 \rightarrow$ Tiang ujung bebas berlaku seperti tiang pendek

Perhitungan defleksi

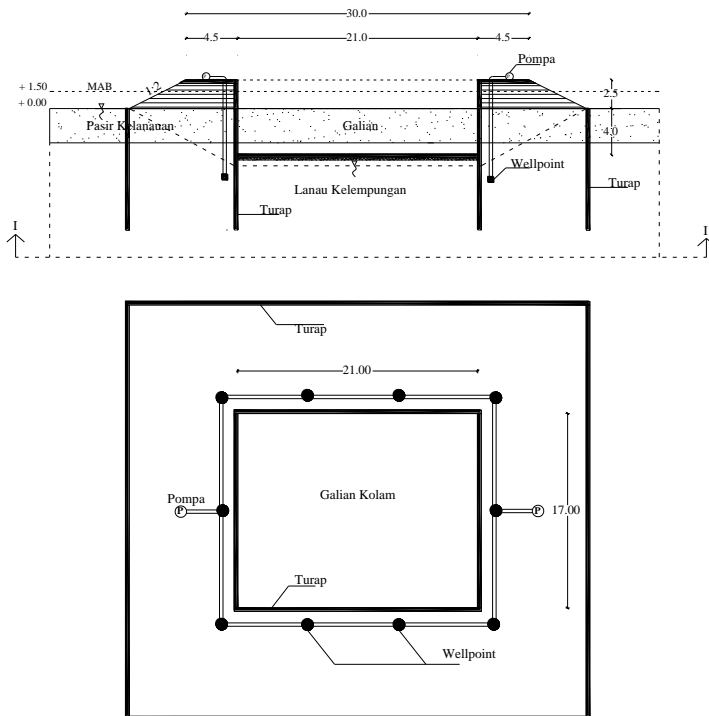
$$\begin{aligned} y_0 &= \frac{4H(1+1.5e/L)}{kh d L} \\ &= \frac{4 \times 599.2 \times (1+1.5 \times 0/40.6)}{18725.2 \times 1.2 \times 40.6} \\ &= 0.0026 \text{ m} \\ &= 0.26 \text{ cm} < 4 \text{ cm} \rightarrow \text{Ok} \end{aligned}$$

Rotasi tiang (Θ)

$$\begin{aligned} \Theta &= \frac{6H(1+1.5e/L)}{kh d L} \\ &= \frac{6 \times 599.2 \times (1+1.5 \times 0/40.6)}{18725.2 \times 1.2 \times 40.6} \\ &= 0.0039 \end{aligned}$$

5.3.7. Perencanaan Turap Kondisi II

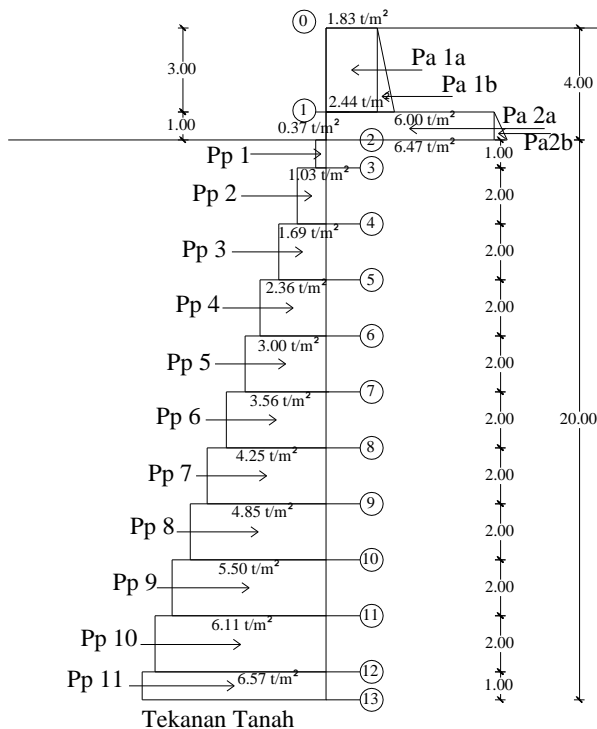
Pada kondisi II muka air tanah (*water table*) diturunkan terlebih dulu sebelum penggalian dimulai dengan menggunakan *wellpoints* dan pompa. Selain itu *wellpoint* dan pompa juga difungsikan ketika air kolam dikosongkan, sehingga tidak terjadi perbedaan tinggi muka air. Permodelan kondisi II seperti pada Gambar 5.19



Gambar 5.19 Permodelan Perencanaan Turap dan *wellpoint* pada Kondisi II

1) Perhitungan Tekanan Tanah

Tekanan tanah yang bekerja pada kondisi II sama halnya dengan kondisi I (sub bab 5.3.6), tetapi pada kondisi II, tekanan air tidak diperhitungkan karena muka air berada pada level yang sama. Sehingga diagram tekanan seperti Gambar 5.20



Gambar 5.20 Diagram Tekanan Kondisi II

Perhitungan gaya dan momen selanjutnya dicoba sampai dengan titik 13.

2) Perhitungan Gaya

Perhitungan gaya yang bekerja berdasarkan diagram tekanan (Gambar 5.20) direkapitulasi pada Tabel ;

Tabel 5.22 Perhitungan Gaya Akibat Tekanan Tanah Aktif Kondisi II

| No | Pi | Harga P (Ton) |
|----|-------|---|
| 1 | Pa 1a | $1.83 \times 3.00 = 5.48$ |
| 2 | Pa 1b | $0.5 \times (2.44 - 1.83) \times 3.00 = 0.91$ |
| 3 | Pa 2a | $6.00 \times 1.00 = 6.00$ |
| 4 | Pa 2b | $0.5 \times (6.47 - 6.00) \times 1.00 = 0.24$ |

Tabel 5.23 Perhitungan Gaya Akibat Tekanan Tanah Pasif Kondisi II

| No | Pi | Harga P (Ton) |
|----|-------|---|
| 1 | Pp1 | $0.37 \times 1.00 = 0.37$ |
| 2 | Pp2 | $1.03 \times 2.00 = 2.06$ |
| 3 | Pp3 | $1.69 \times 2.00 = 3.37$ |
| 4 | Pp4 | $2.36 \times 2.00 = 4.72$ |
| 5 | Pp5 | $3.00 \times 2.00 = 6.00$ |
| 6 | Pp6 | $3.56 \times 2.00 = 7.11$ |
| 7 | Pp7 | $4.25 \times 2.00 = 8.49$ |
| 8 | Pp8 | $4.85 \times 2.00 = 9.69$ |
| 9 | Pp9 | $5.50 \times 2.00 = 11.00$ |
| 10 | Pp10 | $6.11 \times 2.00 = 12.22$ |
| 11 | Pp11 | $6.57 \times 1.00 = 6.57$ |
| 12 | Pp12a | $15.91 \times 2.00 = 31.82$ |
| | Pp12b | $0.5 \times (16.6 - 15.91) \times 2.00 = 0.69$ |
| 13 | Pp13a | $18.70 \times 2.00 = 37.39$ |
| | Pp13b | $0.5 \times (20.75 - 18.70) \times 2.00 = 2.06$ |
| 14 | Pp14 | $8.39 \times 2.00 = 16.78$ |
| 15 | Pp15 | $8.88 \times 1.00 = 8.88$ |
| 16 | Pp16 | $9.64 \times 2.00 = 19.27$ |
| 17 | Pp17a | $47.48 \times 6.00 = 284.90$ |
| 17 | Pp17b | $0.5 \times (68 - 47.48) \times 6.00 = 61.55$ |

3) Perhitungan Momen Pertitik

$$\text{Titik 1} = \text{MPa1a} + \text{MPa1b}$$

$$= (5.48 \text{ ton} \times 1.50\text{m}) + (0.91\text{ton} \times 1.00\text{m})$$

$$= 9.13 \text{ tonm}$$

$$\text{Titik 2} = \text{MPa1a} + \text{MPa1b} + \text{MPa2a} + \text{MPa2b}$$

$$= (5.48 \text{ ton} \times 2.50\text{m}) + (0.91\text{ton} \times 2.00\text{m}) + (6.00 \text{ ton} \times 0.50 \text{ m}) + (0.24\text{ton} \times 0.33\text{m})$$

$$= 18.60 \text{ tonm}$$

$$\text{Titik 3} = \text{MPa1a} + \text{MPa1b} + \text{MPa2a} + \text{MPa2b} - \text{MPp1}$$

$$= (5.48 \text{ ton} \times 3.50\text{m}) + (0.91\text{ton} \times 3.00\text{m}) + (6.00 \text{ ton} \times 1.50 \text{ m}) + (0.24\text{ton} \times 1.33\text{m}) - (0.37\text{ton} \times 0.5\text{m})$$

$$= 31.05 \text{ tonm}$$

$$\text{Titik 4} = \text{MPa1a} + \text{MPa1b} + \text{MPa2a} + \text{MPa2b} - \text{MPp1} - \text{MPp2}$$

$$= (5.48 \text{ ton} \times 5.50\text{m}) + (0.91\text{ton} \times 5.00\text{m}) + (6.00 \text{ ton} \times 3.50 \text{ m}) + (0.24\text{ton} \times 3.33\text{m}) - (0.37\text{ton} \times 2.5\text{m})$$

$$- (2.06 \text{ ton} \times 1.00\text{m})$$

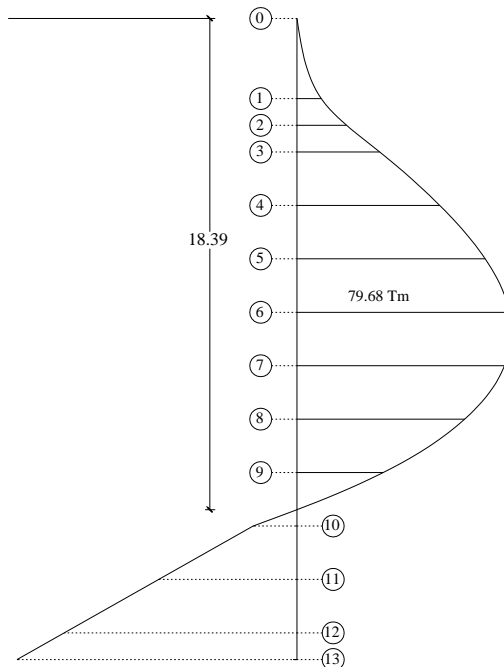
$$= 53.51 \text{ tonm}$$

Perhitungan momen selanjutnya direkapitulasi pada Tabel 5.24

Tabel 5.24 Perhitungan Momen pertitik Kondisi II

| Titik | Momen yang berkerja pada titik | Perhitungan Momen Titik | | | | | | | | Σ momen Tonm |
|-------|---|-------------------------|---------|---------|----------|---------|---------|---------|---------|---------------------|
| 1 | $M_{Pa1a} + M_{Pa1b}$ | = | 8.22 | + 0.91 | | | | | | 9.13 |
| 2 | $M_{Pa1a} + M_{Pa1b} + M_{Pa2a} + M_{Pa2b}$ | = | 13.70 | + 1.83 | + 3.00 | + 0.08 | | | | 18.60 |
| 3 | $M_{Pa1a} + M_{Pa1b} + M_{Pa2a} + M_{Pa2b} - M_{Pp1}$ | = | 19.18 | + 2.74 | + 9.00 | + 0.31 | - 0.18 | | | 31.05 |
| 4 | $M_{Pa1a} + M_{Pa1b} + M_{Pa2a} + M_{Pa2b} - M_{Pp1} - M_{Pp2}$ | = | 30.13 | + 4.57 | + 21.00 | + 0.78 | - 0.91 | - 2.06 | | 53.51 |
| 5 | $M_{Pa1a} + M_{Pa1b} + M_{Pa2a} + M_{Pa2b} - M_{Pp1} - M_{Pp2} - M_{Pp3}$ | = | 41.09 | + 6.39 | + 33.00 | + 1.25 | - 1.65 | - 6.19 | - 3.37 | 70.53 |
| 6 | $M_{Pa1a} + M_{Pa1b} + M_{Pa2a} + M_{Pa2b} - M_{Pp1} - M_{Pp2} - M_{Pp3} - M_{Pp4}$ | = | 52.05 | + 8.22 | + 45.00 | + 1.72 | - 2.38 | - 10.31 | - 10.12 | 79.47 |
| 7 | $M_{Pa1a} + M_{Pa1b} + M_{Pa2a} + M_{Pa2b} - M_{Pp1} - M_{Pp2} - M_{Pp3} - M_{Pp4} - M_{Pp5}$ | = | 63.01 | + 10.04 | + 57.00 | + 2.19 | - 3.11 | - 14.43 | - 16.86 | 77.68 |
| 8 | $M_{Pa1a} + M_{Pa1b} + M_{Pa2a} + M_{Pa2b} - M_{Pp1} - M_{Pp2} - M_{Pp3} - M_{Pp4} - M_{Pp5} - M_{Pp6}$ | = | 73.97 | + 11.87 | + 69.00 | + 2.66 | - 3.84 | - 18.56 | - 23.61 | 62.79 |
| 9 | $M_{Pa1a} + M_{Pa1b} + M_{Pa2a} + M_{Pa2b} - M_{Pp1} - M_{Pp2} - M_{Pp3} - M_{Pp4} - M_{Pp5} - M_{Pp6} - M_{Pp7}$ | = | 84.93 | + 13.70 | + 81.00 | + 3.13 | - 4.57 | - 22.68 | - 30.35 | 32.30 |
| 10 | $M_{Pa1a} + M_{Pa1b} + M_{Pa2a} + M_{Pa2b} - M_{Pp1} - M_{Pp2} - M_{Pp3} - M_{Pp4} - M_{Pp5} - M_{Pp6} - M_{Pp7} - M_{Pp8}$ | = | 95.88 | + 15.52 | + 93.00 | + 3.60 | - 5.31 | - 26.80 | - 37.10 | -16.38 |
| 11 | $M_{Pa1a} + M_{Pa1b} + M_{Pa2a} + M_{Pa2b} - M_{Pp1} - M_{Pp2} - M_{Pp3} - M_{Pp4} - M_{Pp5} - M_{Pp6} - M_{Pp7} - M_{Pp8} - M_{Pp9}$ | = | 106.84 | + 17.35 | + 105.00 | + 4.07 | - 6.04 | - 30.93 | - 43.84 | -85.75 |
| 12 | $M_{Pa1a} + M_{Pa1b} + M_{Pa2a} + M_{Pa2b} - M_{Pp1} - M_{Pp2} - M_{Pp3} - M_{Pp4} - M_{Pp5} - M_{Pp6} - M_{Pp7} - M_{Pp8} - M_{Pp9} - M_{Pp10}$ | = | 117.80 | + 19.18 | + 117.00 | + 4.54 | - 6.77 | - 35.05 | - 50.59 | -178.35 |
| 13 | $M_{Pa1a} + M_{Pa1b} + M_{Pa2a} + M_{Pa2b} - M_{Pp1} - M_{Pp2} - M_{Pp3} - M_{Pp4} - M_{Pp5} - M_{Pp6} - M_{Pp7} - M_{Pp8} - M_{Pp9} - M_{Pp10} - M_{Pp11}$ | = | 123.28 | + 20.09 | + 123.00 | + 4.78 | - 7.14 | - 37.11 | - 53.96 | -234.04 |
| | | | - 66.09 | - 71.95 | - 71.11 | - 67.95 | - 58.14 | - 44.01 | - 24.45 | |
| | | | - 3.29 | | | | | | | |

Hasil dari perhitungan momen per titik pada Tabel 5.24 kemudian digambarkan pada Gambar 5.21



Gambar 5.21 Diagram Momen Tekanan Kondisi II

Berdasarkan Gambar 5.21 momen = 0 terletak diantara titik 9 dan 10, yaitu pada kedalaman = 18.39 m., sehingga;

$$\begin{aligned}
 L_{\text{turap total}} &= L_{\text{bagian timbunan}} + (L_{\text{bagian tanah}} \times SF) \\
 &= 2.5 + (18.39 \times 1.2) \\
 &= 24.57 \text{ m} \sim 25 \text{ m}
 \end{aligned}$$

4) Perencanaan Profil Turap

a. *Steel Pipe Pile*

Berdasarkan Gambar 5.21, momen maksimum terjadi pada titik 6 yaitu sebesar 79.68 Tm.

Turap direncanakan menggunakan profil baja ASTM A572 M Grade 50 dengan tegangan ijin maksimum 4800 kg/cm²

Sehingga modulus section yang dibutuhkan, sebagai berikut;

$$\begin{aligned} S &= \frac{M_{\max}}{\sigma_{\max}} \\ &= \frac{794700 \text{ kgcm}}{1600 \text{ kg/cm}^2} \\ &= 496.69 \text{ cm}^3 \end{aligned}$$

Direncanakan menggunakan turap baja dari Nippon Steel & Sumitomo Metal Indonesia dengan spesifikasi sebagai berikut;

| | | |
|------------------------|---|---------------------------------------|
| Diameter | = | 400 mm |
| <i>Thickness</i> | = | 6 mm |
| Momen Inersia | = | 11900 cm ⁴ |
| | = | 29750 cm ⁴ /m |
| <i>Section modulus</i> | = | 599 cm ³ |
| | = | 1498 cm ³ /m |
| Modulus E baja | = | 200000 Mpa |
| | = | 2 x 10 ⁸ kN/m ² |
| <i>Maximum length</i> | = | 30 m |

Kontrol Defleksi Turap

Untuk tanah kohesif letak jepit maksimum nilai :

$$ZF = 1.8 \text{ T}$$

Koefisien reaksi *subgrade* tanah lempung berdasarkan Paulo dan Davis, 1980 (Tabel 2.11)

$$Nh = 554 \text{ kN/m}^3$$

$$\begin{aligned} T &= \sqrt[5]{\frac{EI}{nh}} = \sqrt[5]{\frac{2 \times 10^8 \times 0.0002975}{554}} \\ &= 2.549 \text{ m} \end{aligned}$$

$$\begin{aligned} ZF &= 1.8 \times 2.549 \\ &= 4.589 \text{ m} \end{aligned}$$

$$\begin{aligned} Hu &= \frac{M_{max}}{Zf} = \frac{79.47 \text{ tonm}}{4.589 \text{ m}} \\ &= 17.318 \text{ ton} \sim 173.18 \text{ kN} \end{aligned}$$

Untuk tiang dalam tanah kohesif defleksi tiang dikaitkan dengan factor tak berdimensi (βL), dengan:

L turap bagian tanah = 22.07 m

$$\begin{aligned} kh &= Nh(z/d) \\ &= 554 \times (22.07/0.4) \\ &= 30564.18 \text{ kN/m}^3 \end{aligned}$$

$$\begin{aligned} \beta &= \left(\frac{kh.d}{4E_p.I_p} \right) \\ &= \left(\frac{30564.18 \times 0.4}{4 \times 2 \times 10^8 \times 0.0002975} \right) \\ &= 0.051 \end{aligned}$$

$$\begin{aligned} \beta L &= 0.051 \times 22.07 \\ &= 1.13 < 1.5 \rightarrow \text{Tiang ujung bebas berlaku seperti tiang pendek} \end{aligned}$$

Perhitungan defleksi

$$\begin{aligned} yo &= \frac{4H(1+1.5e/L)}{kh d L} \\ &= \frac{4 \times 173.18(1+1.5 \times 0/22.07)}{30564.18 \times 0.4 \times 22.07} \\ &= 0.0026 \text{ m} \sim 0.26 \text{ cm} < 4 \text{ cm (Ok)} \end{aligned}$$

Rotasi tiang (Θ)

$$\begin{aligned} \Theta &= \frac{6H(1+1.5e/L)}{kh d L} \\ &= \frac{6 \times 173.18(1+1.5 \times 0/22.07)}{30564.18 \times 0.4 \times 22.07} = 0.0038 \end{aligned}$$

b. *Steel Sheet Pile*

Momen maksimum sebesar 79.68 Tm.

Turap direncanakan menggunakan profil baja ASTM A572 M Grade 50 dengan tegangan ijin maksimum 4800 kg/cm²

Sehingga modulus section yang dibutuhkan, sebagai berikut;

$$\begin{aligned} S &= \frac{M_{\max}}{\sigma_{\max}} \\ &= \frac{794700 \text{ kgcm}}{1600 \text{ kg/cm}^2} \\ &= 496.68 \text{ cm}^3 \end{aligned}$$

Direncanakan menggunakan turap baja dari Nippon Steel & Sumitomo Metal Indonesia dengan spesifikasi sebagai berikut

| | | |
|------------------------|---|---|
| Tipe | = | NS-SP III |
| Dimensi | = | 400 x 100 x 10.5 mm |
| Momen Inersia | = | 8740 cm ⁴ /m |
| <i>Section modulus</i> | = | 874 cm ³ |
| Modulus E baja | = | 200000 Mpa = 2 x 10 ⁸ kN/m ² |
| <i>Maximum length</i> | = | 30 m |

Kontrol Defleksi Turap

Untuk tanah kohesif letak jepit maksimum nilai :

$$ZF = 1.8 \text{ T}$$

Koefisien reaksi *subgrade* tanah lempung berdasarkan Paulo dan Davis, 1980 (Tabel 2.11)

$$Nh = 554 \text{ kN/m}^3$$

$$\begin{aligned} T &= \sqrt[5]{\frac{EI}{nh}} = \sqrt[5]{\frac{2 \times 10^8 \times 0.0000874}{554}} \\ &= 1.994 \text{ m} \end{aligned}$$

$$\begin{aligned} ZF &= 1.8 \times 1.994 \\ &= 3.59 \text{ m} \end{aligned}$$

$$\begin{aligned} Hu &= \frac{M_{\max}}{Zf} = \frac{79.47 \text{ tonmm}}{3.59 \text{ m}} \\ &= 22.14 \text{ ton} = 221.37 \text{ kN} \end{aligned}$$

Untuk tiang dalam tanah kohesif defleksi tiang dikaitkan dengan faktor tak berdimensi (βL), dengan:

$$L_{\text{turap}} \text{ bagian tanah} = 22.07 \text{ m}$$

$$\begin{aligned} kh &= Nh(z/d) \\ &= 554 \times (22.07/0.4) \\ &= 30564.18 \text{ kN/m}^3 \end{aligned}$$

$$\begin{aligned} \beta &= \left(\frac{kh.d}{4E_p I_p} \right) \\ &= \left(\frac{30564.18 \times 0.4}{4 \times 2 \times 10^8 \times 0.0000874} \right) \\ &= 0.175 \\ \beta L &= 0.175 \times 22.07 \\ &= 3.86 > 2.5 \rightarrow \text{Tiang ujung bebas berlaku seperti tiang panjang} \end{aligned}$$

Perhitungan defleksi

$$\begin{aligned} y_0 &= \frac{2H\beta(e\beta + 1)}{kh d} \\ &= \frac{2 \times 221.37 \times 0.175(0 \times 0.175 + 1)}{30564.18 \times 0.4} \\ &= 0.0063 \text{ m} \\ &= 0.63 \text{ cm} < 4 \text{ cm} \rightarrow \text{Ok} \end{aligned}$$

Rotasi tiang (Θ)

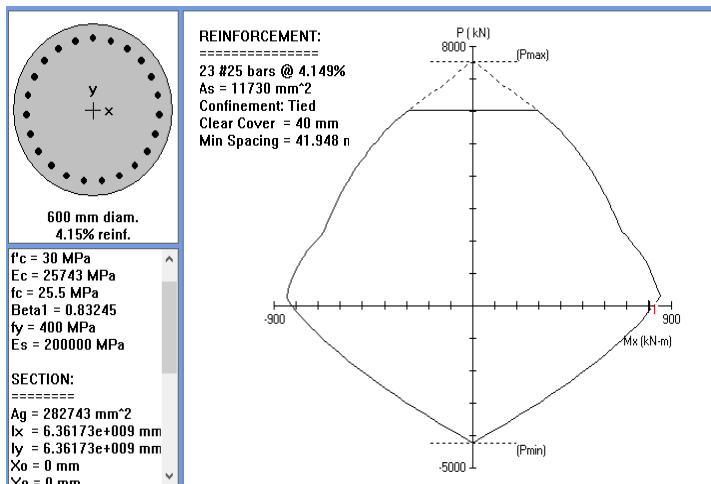
$$\begin{aligned} \Theta &= \frac{2H\beta^2(1+2e\beta)}{kh d} \\ &= \frac{2 \times 221.37 \times 0.175^2(1+2 \times 0 \times 0.175)}{30564.18 \times 0.4} \\ &= 0.001 \end{aligned}$$

c. *Bored Pile*

| | |
|-------------------------------------|--|
| Diameter bore pile | = 600 mm |
| Decking | = 40 mm |
| Dc | = $600 - 2 \times 40$ |
| | = 520 mm |
| Kuat tekan beton (f'_c) | = 30 Mpa |
| Kuat leleh tulangan lentur (fy) | = 400 Mpa |
| Kuat leleh tulangan geser (fyv) | = 250 mpa |
| Diameter tulangan lentur | = 25 mm |
| Diameter tulangan geser | = 13 mm |
| Ag (Luas bore pile) | = $0.25 \times \pi \times d^2$ |
| | = $0.25 \times \pi \times 600^2$ |
| | = 282743 mm ² |
| Ach (Luas Pengekangan) | = $0.25 \times \pi \times (d - 2 \times \text{decking})^2$ |
| | = $0.25 \times \pi \times (600 - 2 \times 40)^2$ |
| | = 212372 mm ² |
| Angka rasio β_1 | = $0.85 - (f'_c - 28) \times 0.05/7$ |
| | = $0.85 - (30 - 28) \times 0.05/7$ |
| | = 0.84 |

$$\text{Mu maks} = 794.68 \text{ kNm}$$

Perencanaan *bored pile* menggunakan program PCA-Col, adapun hasil output program pada Gambar 5.22



Gambar 5.22 Hasil Output PCA-Col untuk Bored Pile Dimensi 600 mm

Kontrol Desain

- Luas tulangan

Berdasarkan SNI 2847-2013 Pasal 10.9.1, Luas tulangan longitudinal tidak boleh kurang dari $0.01Ag$ dan lebih dari $0.08Ag$

$$\begin{aligned} Ast &= n \times \frac{1}{4} \pi \times d^2 \\ &= 23 \times 0.25 \times \pi \times 25^2 \\ &= 11290.10 \text{ mm}^2 \end{aligned}$$

$$Ag = 282743 \text{ mm}^2$$

$$0.01Ag \leq Ast \leq 0.08Ag$$

$$(0.01 \times 282743) \text{ mm}^2 \leq 11290.10 \text{ mm}^2 \leq (0.08 \times 282743) \text{ mm}^2$$

$$3848.45 \leq 11290.10 \leq 30787.61 \text{ mm}^2 \text{ (Memenuhi syarat)}$$

- Rasio tulangan

Berdasarkan SNI 2847-2002 Pasal 23.3.2, Kriteria rasio tulangan adalah 1% - 6%, semakin kecil nilai rasio tulangan makan tulangan baja semakin efesien.

Berdasarkan output program, rasio tulangan = $4.15\% < 6\%$ (memenuhi syarat)

- Batas Spasi

Berdasarkan SNI 2847-2013 Pasal 7.6.3, Jarak bersih antar tulangan longitudinal tidak boleh kurang dari 40 mm.

Hasil output min spacing = 41.95 mm > 40 mm (Memenuhi syarat)

Perencanaan Penulangan Geser *Bored pile*

Berdasarkan SNI 2847-2013 Pasal 10.9.3 Rasio volume tulangan spiral, ps tidak boleh kurang dari:

$$\begin{aligned}\rho_s &= 0.45 \left(\frac{Ag}{Ach} - 1 \right) x \frac{fc'}{fyt} \\ &= 0.45 \left(\frac{282743}{21237} - 1 \right) x \frac{30}{250} \\ &= 0.0179\end{aligned}$$

Direncanakan menggunakan tulangan D13, maka luas 1 tulangan;

$$\begin{aligned}As &= 0.25 \times \pi \times 13^2 \\ &= 132.73 \text{ mm}^2\end{aligned}$$

Jarak spiral maksimal 150 mm

$$\begin{aligned}S &= \frac{As \pi (Dc - db)}{\frac{\pi}{4} x Dc^2 \rho_s} \\ &= \frac{132.73 \pi (520 - 13)}{\frac{\pi}{4} x 520^2 x 0.0179} \\ &= 55.51 \text{ mm} < 150 \text{ mm (Ok)}$$

Dipasang tulangan spiral D 13 – 60 mm

Perhitungan Defleksi *Bored Pile* D600

$$\text{Diameter (D)} = 600 \text{ mm}$$

$$\text{Panjang tiang pancang (L)} = 22.07 \text{ mm}$$

$$F'c = 30 \text{ Mpa}$$

$$\begin{aligned}\text{Modulus elastis tiang (Ec)} &= 4700 \times \sqrt{f'c} \times 10^3 \\ &= 4700 \times \sqrt{30} \times 10^3 \\ &= 25742960 \text{ kN/m}^2\end{aligned}$$

$$\begin{aligned}
 \text{Momen inersia penampang}(I_c) &= \frac{\pi}{64} \times D^4 \\
 &= \frac{\pi}{64} \times 0.6^4 \\
 &= 0.0064 \text{ m}^4
 \end{aligned}$$

Jarak momen terhadap muka tanah (e) = 0 m

Momen design = 794.70 kNm

Untuk tanah kohesif letak jepit maksimum nilai :

$$ZF = 1.8 \text{ T}$$

Koefisien reaksi *subgrade* tanah lempung berdasarkan Paulo dan Davis, 1980 (Tabel 2.11)

$$Nh = 554 \text{ kn/m}^3$$

$$\begin{aligned}
 T &= \sqrt[5]{\frac{EI}{nh}} = \sqrt[5]{\frac{25742960.2 \times 0.0064}{554}} \\
 &= 3.12 \text{ m}
 \end{aligned}$$

$$\begin{aligned}
 ZF &= 1.8 \times 3.12 \\
 &= 5.62 \text{ m}
 \end{aligned}$$

$$\begin{aligned}
 Hu &= \frac{M_{max}}{Zf} = \frac{79.47 \text{ tonm}}{5.62 \text{ m}} \\
 &= 14.15 \text{ ton} \\
 &= 141.51 \text{ kN}
 \end{aligned}$$

Untuk tiang dalam tanah kohesif defleksi tiang dikaitkan dengan faktor tak berdimensi (βL), dengan:

L turap bagian tanah = 22.07 m

$$\begin{aligned}
 kh &= Nh (z/d) \\
 &= 554 \times (22.07/0.6) \\
 &= 20376.12 \text{ kN/m}^3
 \end{aligned}$$

$$\begin{aligned}
 \beta &= \left(\frac{kh.d}{4Ep.Ip} \right) \\
 &= \left(\frac{20376.12 \times 0.6}{4 \times 25742960.2 \times 0.0064} \right) \\
 &= 0.018
 \end{aligned}$$

$$\begin{aligned}\beta L &= 0.018 \times 22.07 \\ &= 0.411 < 1.5 \rightarrow \text{Tiang ujung bebas berlaku seperti tiang pendek}\end{aligned}$$

Perhitungan defleksi

$$\begin{aligned}y_0 &= \frac{4H(1+1.5e/L)}{kh d L} \\ &= \frac{4 \times 141.51x(1+1.5 \times 0/22.07)}{20376.12x 0.6 \times 22.07} \\ &= 0.0021 \text{ m} \\ &= 0.21 \text{ cm} < 4 \text{ cm} \rightarrow \text{Ok}\end{aligned}$$

Rotasi tiang (Θ)

$$\begin{aligned}\Theta &= \frac{6H(1+1.5e/L)}{kh d L} \\ &= \frac{6 \times 141.51x(1+1.5 \times 0/22.07)}{20376.12x 0.6 \times 22.07} \\ &= 0.003\end{aligned}$$

5.3.8. Perencanaan Dinding Kolam

Turap direncanakan permanen sehingga dinding kolam tidak menerima momen yang bekerja, oleh karena itu perencanaan dinding kolam menggunakan perhitungan penulangan praktis dengan data perencanaan sebagai berikut:

Tebal dinding = 300 mm

Selimut beton = 50 mm

Mutu beton (f_c') = 30 Mpa

Mutu Baja (f_y) = 420 Mpa

Diameter Tulangan Vertikal = 13 mm

Diameter Tulangan Horizontal = 8 mm

$d = t - \text{selimut beton} - 0.5\varnothing_{\text{tul vertikal}} - \varnothing_{\text{tul hz}}$

$$= 300 - 50 - 7 - 8$$

$$= 236 \text{ mm}$$

1) Perncanaan Tulangan Vertikal

Berdasarkan SNI 2487 Pasal 14.3.2 (b) ρ_{min} tulangan vertikal untuk batang tulangan ulir $\leq D-16$ adalah 0.0012 dan 0.0015 untuk $> D-16$ atau dapat menggunakan $1.4/f_y$

$$\rho_{min} = \frac{1.4}{f_y}$$

$$= \frac{1.4}{420}$$

$$\rho_{min} = 0.0033$$

Luas Tulangan Vertikal

$$\begin{aligned} As\ perlu &= \rho \times b \times d \\ &= 0.0033 \times 1000 \times 236 \\ &= 785.00\ mm^2 \end{aligned}$$

Luas 1 tulangan D13

$$\begin{aligned} As\ tul &= \frac{1}{4} \times \pi \times d^2 \\ &= \frac{1}{4} \times \pi \times 13^2 \\ &= 132.73\ mm^2 \end{aligned}$$

Perhitungan jumlah tulangan:

$$\begin{aligned} n &= \frac{As\ perlu}{As\ tul.} \\ &= \frac{785}{132.73} \\ &= 5.91 \sim 6\ buah \end{aligned}$$

Perhitungan jarak tulangan:

berdasarkan SNI 2487 Pasal 7.12.2.2 Jarak tulangan susut dan suhu satu sama lain tidak boleh lebih jauh dari 5 kali tebal dinding atau tidak lebih jauh dari 450 mm

$$\begin{aligned} S &= \frac{b}{n - 1} \\ &= \frac{1000}{6 - 1} \\ &= 200\ mm < 450\ mm\ (Ok) \end{aligned}$$

Jadi dipasang tulangan 6D13 – 200mm (As pasang = 796.39 mm²)

2) Perencanaan Tulangan Horizontal

Tulangan horizontal yang berfungsi sebagai tulangan bagi dapat direncanakan menggunakan;

$$\rho_{\text{min}} = 0.0012$$

Luas tulangan perlu

$$As_{\text{perlu}} = \rho \times b \times d$$

$$= 0.0012 \times 1000 \times 236$$

$$= 282.6 \text{ mm}^2$$

Luas 1 tulangan Ø8

$$As_{\text{tul}} = \frac{1}{4} \times \pi \times d^2$$

$$= \frac{1}{4} \times \pi \times 8^2$$

$$= 50.27 \text{ mm}^2$$

Perhitungan jumlah tulangan:

$$n = \frac{As_{\text{perlu}}}{As_{\text{tul}}}$$

$$= \frac{282.6}{50.27}$$

$$= 5.62 \sim 6 \text{ buah}$$

Perhitungan jarak tulangan:

berdasarkan SNI 2487 Pasal 7.12.2.2 Jarak tulangan susut dan suhu satu sama lain tidak boleh lebih jauh dari 5 kali tebal dinding atau tidak lebih jauh dari 450 mm

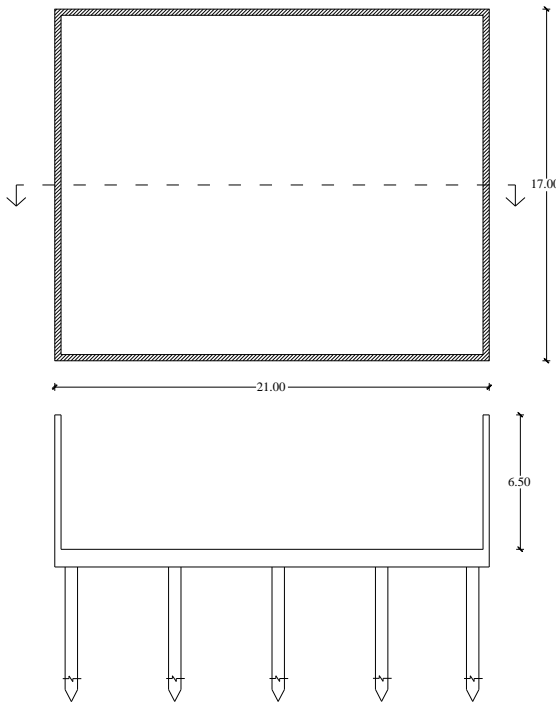
$$\begin{aligned} S &= \frac{b}{n - 1} \\ &= \frac{1000}{6 - 1} \\ &= 200 \text{ mm} < 450 \text{ mm (Ok)} \end{aligned}$$

Jadi dipasang tulangan 6Ø8 – 200mm (As pasang = 301.59 mm²)

Tulangan horizontal dan vertikal dipasang 2 lapis agar menghindari kekeliruan pada saat pelaksanaan.

5.3.9. Perencanaan Struktur Lantai

Direncanakan struktur lantai kolam menggunakan tiang bor seperti pada Gambar 5.23



Gambar 5.23 Sketsa Perencanaan Struktur Lantai Kolam

Data-data perencanaan:

Tebal dinding = 0.3 m

H dinding = 6.5 m

Tebal Pelat = 0.5 m

F_c' = 30 Mpa

1) Perhitungan beban yang bekerja

Adapun beban-beban yang bekerja pada pondasi tiang, antara lain:

$$\begin{aligned}\text{Beban air} &= \gamma_w \times H \times \text{Luas kolam} \\ &= 1.00 \text{ t/m}^3 \times 6.5 \text{ m} \times 21 \text{ m} \times 17 \text{ m} \\ &= 2320.5 \text{ ton}\end{aligned}$$

$$\begin{aligned}\text{Beban dinding x} &= n_x \times \gamma_c \times H \times \text{tebal} \times L_x \\ &= 2 \text{ bh} \times 2.4 \text{ t/m}^3 \times 6.5 \text{ m} \times 0.3 \text{ m} \times 21 \text{ m} \\ &= 196.56 \text{ ton}\end{aligned}$$

$$\begin{aligned}\text{Beban dinding y} &= n_y \times \gamma_c \times H \times \text{tebal} \times L_y \\ &= 2 \text{ bh} \times 2.4 \text{ t/m}^3 \times 6.5 \text{ m} \times 0.3 \text{ m} \times 17 \text{ m} \\ &= 159.12 \text{ ton}\end{aligned}$$

$$\begin{aligned}\text{Beban Pelat} &= \gamma_c \times \text{tebal} \times A \\ &= 2.4 \text{ t/m}^3 \times 0.5 \text{ m} \times (21 \text{ m} \times 17 \text{ m}) \\ &= 428.4 \text{ ton}\end{aligned}$$

$$\begin{aligned}W_{\text{total}} &= \text{Beban air} + \text{beban dinding} + \text{beban pelat} \\ &= 2320.5 + 196.56 + 159.12 + 428.4 \\ &= 3104.58\end{aligned}$$

2) Perencanaan Pondasi Tiang Bor

Tiang bor direncanakan dipancang sampai kedalaman -35.00 atau dengan $L = 30 \text{ m}$

Diameter tiang direncanakan dengan beberapa variasi untuk mengetahui daya dukung pondasi tiang dengan langkah sebagai berikut :

a) Perhitungan daya dukung ujung tiang

$$L_{\text{tiang}} = 30 \text{ m}$$

Ujung tiang berada di tanah lapisan pasir:

Jika direncanakan $D = 0.8 \text{ m}$, maka :

$$\begin{aligned}A_p &= \frac{1}{4} \pi D^2 \\ &= \frac{1}{4} \pi \cdot 0.8^2 \\ &= 0.503 \text{ m}^2\end{aligned}$$

Data lapisan tanah pasir :

$$\phi = 35^\circ$$

Maka berdasarkan tabel Vesic 1978 di peroleh harga $N_q = 33.3$

q' = tekanan vertikal pada ujung tiang diperoleh dari perhitungan tekanan tanah pada sub bab 5.3.6 Tabel 5.17
Hal. 132

$$= 16.40 \text{ t/m}^2$$

$$\begin{aligned} Q_e &= A_p \times q' x (N_q - 1) \\ &= 0.503 \times 16.40 \times (33.1 - 1) \\ &= 266.27 \text{ ton} \end{aligned}$$

Jika direncanakan diameter dengan berbagai variasi, maka diperoleh data sebagai berikut:

Tabel 5.25 Harga Q_e dengan Berbagai Variasi Diameter

| Ds (m) | A _p (m ²) | Q _e (ton) |
|--------|----------------------------------|----------------------|
| 0.6 | 0.283 | 149.775 |
| 0.8 | 0.503 | 266.266 |
| 1.0 | 0.785 | 416.041 |
| 1.2 | 1.131 | 599.099 |

- b) Perhitungan daya dukung selimut tiang

Kedalaman -5.00 – 7.00

$$\begin{aligned} Q_s \text{ lempung} &= \sum \alpha' \cdot C_u \cdot O \cdot \Delta l \\ &= 0.40 \times 1.875 \text{ t/m}^2 \times (\pi \times 0.8\text{m}) \times 2 \text{ m} \\ &= 3.77 \text{ ton} \end{aligned}$$

Kedalaman -26.00 – 28.00

Jenis tanah pasir kelanauan dengan $\emptyset = 10^\circ$

$$Q_s \text{ pasir} = \pi D_s (1 - \sin \Phi) \operatorname{tg} \delta \sigma v' \cdot dz$$

Pada tanah pasir untuk kedalaman > 15Ds maka $\sigma v'$ konstan

$$15Ds = 15 \times 0.8$$

$$= 12 \text{ m atau pada elevasi } -17.00$$

Tekanan vertikal pada ujung tiang diperoleh dari perhitungan tekanan tanah pada sub bab 5.3.6 Tabel 5.17

$$\sigma v' = 6.11 \text{ t/m}^2$$

$$\delta = 2/3 \emptyset$$

$$= 2/3 \times 10^\circ$$

$$= 6.67$$

$$\begin{aligned}
 Q_s \text{ pasir} &= \pi D_s (1 - \sin\Phi) \operatorname{tg} \delta \sigma v' dz \\
 &= \pi \times 0.8m \times (1 - \sin 10^\circ) \times \operatorname{tg} 6.67^\circ \times 6.11t/m^2 \times \\
 &\quad 2.00m \\
 &= 2.981 \text{ ton}
 \end{aligned}$$

Kedalaman -33.00 – 35.00

Jenis tanah pasir dengan $\phi = 35^\circ$

$$Q_s \text{ pasir} = \pi D_s (1 - \sin\Phi) \operatorname{tg} \delta \sigma v' dz$$

Pada tanah pasir untuk kedalaman $> 15D_s$ maka $\sigma v'$ konstan
 $15D_s = 15 \times 0.8$

= 12 m atau pada elevasi -17.00

$$\sigma v' = 6.11 t/m^2$$

$$\delta = 2/3 \phi$$

$$= 2/3 \times 35^\circ$$

$$= 23.33$$

$$Q_s \text{ pasir} = \pi D_s (1 - \sin\Phi) \operatorname{tg} \delta \sigma v' dz$$

$$\begin{aligned}
 &= \pi \times 0.8m \times (1 - \sin 35^\circ) \times \operatorname{tg} 23.33^\circ \times 6.11t/m^2 \times \\
 &\quad 2.00 \text{ m}
 \end{aligned}$$

$$= 5.681 \text{ ton}$$

Perhitungan Q_s dari kedalaman 5-35 m direkapitulasi pada Tabel 5.26

Tabel 5.26 Rekapitulasi Qs dengan D = 0.8 m L = 30 m

| kedalaman (m) | Jenis Lapisan | Cu t/m ² | Ø | Qs (ton) |
|------------------|-------------------|------------------------|----|---------------|
| 5 - 7 | Lanau Kelempungan | 1.875 | 0 | 3.770 |
| 7 - 9 | | 2.039 | 0 | 4.100 |
| 9 - 11 | | 2.208 | 0 | 4.439 |
| 11 - 13 | | 2.367 | 0 | 4.759 |
| 13 - 15 | | 2.506 | 0 | 5.039 |
| 15 - 17 | | 2.679 | 0 | 5.387 |
| 17 - 19 | | 2.829 | 0 | 5.688 |
| 19 - 21 | | 2.993 | 0 | 6.017 |
| 21 - 23 | | 3.145 | 0 | 6.324 |
| 23 - 24 | | 3.261 | 0 | 3.278 |
| 24 - 26 | Lanau kepasiran | 3.381 | 0 | 6.799 |
| 26 - 28 | Pasir kelanauan | 0.000 | 10 | 2.981 |
| 28 - 30 | Lanau Kelempungan | 3.715 | 0 | 7.469 |
| 30 - 31 | | 3.838 | 0 | 7.716 |
| 31 - 33 | | 4.026 | 0 | 8.095 |
| 33 - 35 | Pasir | 0.000 | 35 | 5.681 |
| Qs total | | | | 87.544 |

Daya dukung tiang D = 0.8

$$Qu = Qe + Qs$$

$$= 266.27 \text{ ton} + 87.54 \text{ ton}$$

$$= 353.81 \text{ ton}$$

Jika SF = 3, maka daya dukung ijin tiang :

$$\begin{aligned} Qu \text{ ijin} &= \frac{Qu}{SF} \\ &= \frac{353.81}{3} = 117.937 \text{ ton} \end{aligned}$$

Jika direncanakan diameter dengan berbagai variasi, maka diperoleh data sebagai berikut:

Tabel 5.27 Daya dukung ijin tiang dengan variasi Ds Tiang
Bor Kolam Loncat Indah

| Ds (m) | Qe ton | Qs ton | Qu ton | Qu ijin ton |
|-----------|-----------|-----------|-----------|----------------|
| 0.6 | 149.775 | 61.265 | 211.040 | 70.347 |
| 0.8 | 266.266 | 87.544 | 353.810 | 117.937 |
| 1.0 | 416.041 | 107.105 | 523.147 | 174.382 |
| 1.2 | 599.099 | 131.525 | 730.624 | 243.541 |

c) Perencanaan Konfigurasi Tiang Bor

Direncanakan D = 0.8m,

Min. spasi = 2.5D

$$= 2.5 \times 0.8$$

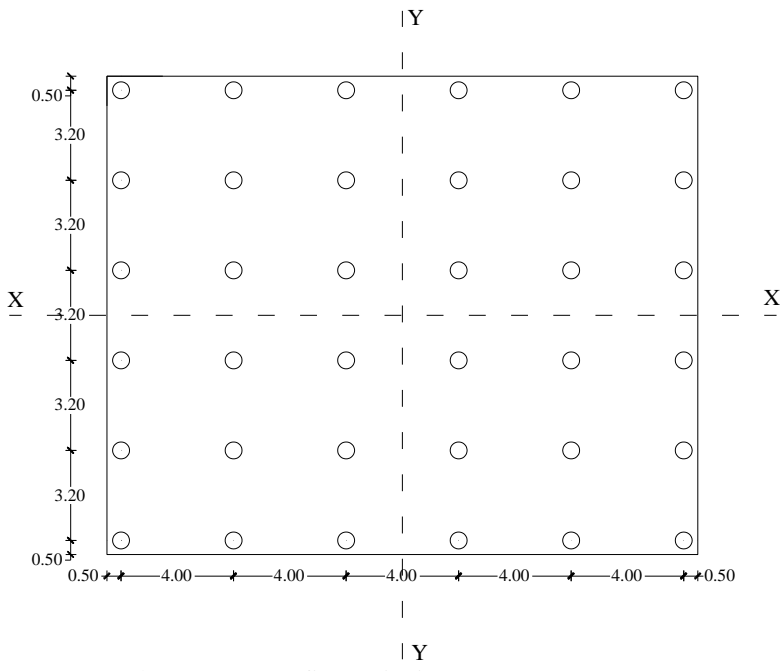
$$= 1.5 \text{ m}$$

Ek = 0.75

$$\begin{aligned} n &= \frac{W}{Ek \cdot Qu \text{ ijin}} \\ &= \frac{3104.58 \text{ ton}}{0.75 \times 117.94 \text{ ton}} \\ &= 35.1 \text{ m} \end{aligned}$$

Direncanakan jumlah tiang = 36 buah

Konfigurasi tiang 6 x 6 buah, seperti pada Gambar 5.24

Gambar 5.24 Konfigurasi Tiang $D_s = 0.8 \text{ m}$

$$S_x = 4.00 \text{ m}$$

$$S_y = 3.20 \text{ m}$$

$$\begin{aligned} P_{\max 1 \text{ tiang}} &= \frac{W}{n} \\ &= \frac{3104.58 \text{ ton}}{36 \text{ buah}} \\ &= 86.24 \text{ ton} \end{aligned}$$

Cek efisiensi tiang kelompok

Jarak yang diambil dalam perhitungan efisiensi adalah jarak terkecil yaitu $S_y = 3.20 \text{ m}$

$$\eta = 1 - \text{arc tg} \frac{D}{S} \left(\frac{(m-1)n + (n-1)m}{90mn} \right)$$

$$= 1 - \text{arc} \operatorname{tg} \frac{0.8}{3.20} \left(\frac{(6-1)6 + (6-1)6}{90 \times 6 \times 6} \right)$$

$$= 0.74$$

Cek daya dukung 1 tiang dalam kelompok

$$\bar{Q}_{1 \text{ tiang dalam kelompok}} = \eta \times Q_u \text{ ijin 1 tiang} > P_{\text{maks}}$$

$$= 0.74 \times 117.4 \text{ ton} > 86.24 \text{ ton}$$

$$= 87.36 \text{ ton} > 86.24 \text{ ton} \rightarrow \text{Ok}$$

Jika direncanakan diameter dengan berbagai variasi, maka diperoleh data konfigurasi tiang seperti pada Tabel 5.28

d) Kontrol *Uplift*

Kontrol ini dilakukan untuk mengetahui apakah 1buah tiang pancang mampu untuk menahan gaya angkat yang terjadi.

Jika tiang bor yang digunakan memiliki data perencanaan sebagai berikut :

$$\begin{aligned} \text{Diameter tiang} &= 0.8 \text{ m} \\ Q_s \text{ 1 tiang} &= 87.54 \text{ ton} \\ P \text{ maksimum 1 tiang} &= 86.24 \text{ ton} \\ S_x &= 4.00 \text{ m} \\ S_y &= 3.20 \text{ m} \\ L \text{ tiang} &= 30 \text{ m} \\ \gamma' \text{ rata-rata} &= 0.51 \text{ t/m}^3 \\ \gamma_w &= 1.00 \text{ t/m}^3 \\ H_w &= 4.00 \text{ m} \end{aligned}$$

$$F_b = \frac{P + \sum \gamma' \cdot h_i + \frac{Q_s}{3}}{H_w \cdot \gamma_w \cdot A}$$

$$= \frac{86.24 + (0.51 \times 30) + \frac{87.54}{3}}{4.00 \times 1.00 \times (4.00 \times 3.20)}$$

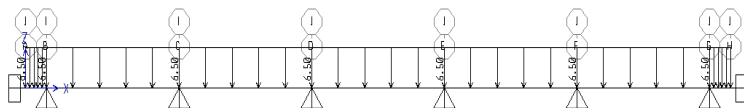
$$= 2.25 > 1.2 \text{ (memenuhi syarat)}$$

Tabel 5.28 Konfigurasi Tiang Bor Berdasarkan Ds

| Ds | Q ijin | n perlu | S min 2.5 Ds | S max 5Ds | n Psg | S rencana | | Konfigurasi tiang | | Ek tiang kel. | P maks | Q ijin 1 tiang kel. | Cek Qjin > Pmaks |
|-----|--------|---------|-----------------|--------------|-------|-----------|------|-------------------|------|---------------|--------|---------------------|------------------|
| | | | | | | Dx | Dy | x | y | | | | |
| (m) | (ton) | (bh) | (m) | (m) | (bh) | (m) | (m) | (bh) | (bh) | (ton) | ton | | |
| 0.6 | 70.35 | 58.84 | 1.50 | 3.00 | 64.00 | 2.80 | 2.20 | 8.00 | 8.00 | 0.71 | 48.51 | 49.60 | Ok |
| | 70.35 | 58.84 | 1.50 | 3.00 | 60.00 | 2.20 | 3.00 | 10.00 | 6.00 | 0.71 | 51.74 | 49.78 | Not Ok |
| 0.8 | 117.94 | 35.10 | 2.00 | 4.00 | 36.00 | 4.00 | 3.20 | 6.00 | 6.00 | 0.74 | 86.24 | 87.36 | Ok |
| 1.0 | 174.38 | 23.74 | 2.50 | 5.00 | 25.00 | 4.75 | 3.75 | 5.00 | 5.00 | 0.79 | 124.18 | 137.55 | Ok |
| 1.2 | 243.54 | 17.00 | 3.00 | 6.00 | 20.00 | 4.75 | 5.00 | 5.00 | 4.00 | 0.76 | 155.23 | 184.04 | Ok |

3) Perhitungan Penulangan Pelat Lantai

Pelat lantai dimodelkan pada program SAP untuk memperoleh harga Mu, seperti pada Gambar 5.25



Gambar 5.25 Permodelan Pelat Lantai pada Program SAP

Berdasarkan hasil output program SAP (Gambar 5.26) diperoleh harga Mu = 97.1 kNm.



Gambar 5.26 Diagram Momen Pelat Lantai Output Program SAP

Pelat lantai direncanakan sebagai berikut:

Data perencanaan :

| | |
|--------------------------|-------------|
| Tebal Pelat | = 500 mm |
| Selimut beton | = 50 mm |
| Mutu beton | = 30 Mpa |
| Modulus elastisitas (Ec) | = 27806 Mpa |
| Kuat tarik (Fy) | = 420 Mpa |
| Diameter tulangan x | = 13 mm |
| Diameter tulangan y | = 13 mm |

a. Perhitungan penulangan arah x

Diameter tulangan = 13

$$\begin{aligned} dx &= t \text{ pelat} - \text{selimut beton} - \frac{1}{2} D \\ &= 500 - 50 - 6.5 \\ &= 443.5 \text{ mm} \end{aligned}$$

Berdasarkan SNI 2487-2013 Pasal 7.12.2.1 (c) untuk slab yang menggunakan batang tulangan ulir atau tulangan

kawat las mutu 420, maka rasio tulangan terhadap luas bruto penampang beton, $\rho_{min} = 0.0018$

ρ perlu dicari dengan cara;

$$\begin{aligned} Mu &= 97.1 \text{ kNm} \\ &= 97.1 \times 10^6 \text{ Nmm} \end{aligned}$$

$$\begin{aligned} R_n &= \frac{Mu}{\phi \times b \times d^2} \\ &= \frac{97.1 \times 10^6}{0.85 \times 1000 \times 443.5^2} \\ &= 0.58 \text{ N/mm}^2 \end{aligned}$$

$$\begin{aligned} m &= \frac{f_y}{0.85f'_c} \\ &= \frac{420}{0.85 \times 30} \\ &= 16.47 \end{aligned}$$

$$\begin{aligned} \rho \text{ perlu} &= \frac{1}{m} \left[1 - \sqrt{1 - \frac{2mR_n}{f_y}} \right] \\ &= \frac{1}{16.47} \left[1 - \sqrt{1 - \frac{2 \times 16.47 \times 0.58}{420}} \right] \\ &= 0.0014 < 0.0018 \end{aligned}$$

Karena ρ perlu $< \rho_{min}$, maka digunakan $\rho_{min} = 0.0018$ untuk menghitung A_s perlu.

$$\begin{aligned} A_s \text{ perlu} &= \rho \times b \times d \\ &= 0.0018 \times 1000 \times 443.5 \\ &= 798.3 \text{ mm}^2 \end{aligned}$$

Luas 1 tulangan D13

$$\begin{aligned} A_s \text{ tul} &= \frac{1}{4} \times \pi \times d^2 \\ &= \frac{1}{4} \times \pi \times 13^2 \\ &= 132.73 \text{ mm}^2 \end{aligned}$$

Perhitungan jumlah tulangan:

$$\begin{aligned} n &= \frac{\text{As perlu}}{\text{As tul.}} \\ &= \frac{798.3}{132.73} \\ &= 6.01 \sim 9 \text{ buah} \end{aligned}$$

Perhitungan jarak tulangan:

berdasarkan SNI 2487 Pasal 7.12.2.2 Jarak tulangan susut dan suhu satu sama lain tidak boleh lebih jauh dari 5 kali tebal dinding atau tidak lebih jauh dari 450 mm

$$\begin{aligned} S &= \frac{b}{n - 1} \\ &= \frac{1000}{9 - 1} \\ &= 125 \text{ mm} < 450 \text{ mm (Ok)} \end{aligned}$$

Jadi dipasang tulangan 9D13 – 125mm (As pasang = 1194.6 mm²) untuk penulangan arah x.

- b. Perhitungan penulangan arah y

D tulangan = 13

$$\begin{aligned} dx &= t_{\text{pelat}} - \text{selimut beton} - D - \frac{1}{2} D \\ &= 500 - 50 - 13 - 6.5 \\ &= 430.5 \text{ mm} \end{aligned}$$

Berdasarkan SNI 2487-2013 Pasal 7.12.2.1 (c) untuk slab yang menggunakan batang tulangan ulir atau tulangan kawat las mutu 420, maka rasio tulangan terhadap luas bruto penampang beton, $\rho = 0.0018$

$$\begin{aligned} \text{As perlu} &= \rho \times b \times d \\ &= 0.0018 \times 1000 \times 430.5 \\ &= 774.9 \text{ mm}^2 \end{aligned}$$

Luas 1 tulangan D13

$$\begin{aligned} \text{As tul} &= \frac{1}{4} \times \pi \times d^2 \\ &= \frac{1}{4} \times \pi \times 13^2 \\ &= 132.73 \text{ mm}^2 \end{aligned}$$

Perhitungan jumlah tulangan:

$$\begin{aligned} n &= \frac{\text{As perlu}}{\text{As tul.}} \\ &= \frac{774.9}{132.73} \\ &= 5.84 \sim 6 \text{ buah} \end{aligned}$$

Perhitungan jarak tulangan:

berdasarkan SNI 2487 Pasal 7.12.2.2 Jarak tulangan susut dan suhu satu sama lain tidak boleh lebih jauh dari 5 kali tebal dinding atau tidak lebih jauh dari 450 mm

$$\begin{aligned} s &= \frac{b}{n - 1} \\ &= \frac{1000}{6 - 1} \\ &= 200 \text{ mm} < 450 \text{ mm (Ok)} \end{aligned}$$

Jadi dipasang tulangan 6D13 – 200mm (As pasang = 796.4 mm²) untuk penulangan arah y.

- c. Kontrol harga Mn terhadap Mu

Kontrol dilakukan terhadap arah penulangan yang memiliki jumlah penulangan lebih sedikit yaitu arah y dengan jumlah tulangan 6D13 – 200mm (As pasang = 796.4 mm²).

Perhitungan momen nominal sebagai berikut:

ØMn harus lebih besar daripada $\text{Mu} = 9.71 \text{ tm}$

$$\begin{aligned} a &= \frac{\text{As} \times f_y}{0.85 f'_c \times b} \\ &= \frac{796.4 \times 420}{0.85 \times 30 \times 1000} \\ &= 13.12 \text{ mm} \end{aligned}$$

$$\begin{aligned}
 \text{ØMn} &= \phi A_s f_y \left(d - \frac{a}{2} \right) \\
 &= 0.85 \times 796.4 \times 420 \left(430.5 - \frac{13.12}{2} \right) \\
 &= 113442652 \text{ Nmm} \\
 &= 11.34 \text{ tm} > 9.71 \text{ tm} \text{ (memenuhi)}
 \end{aligned}$$

4) Perhitungan Penulangan Tiang Bor

Direncanakan :

$$\text{Diameter bore pile} = 800 \text{ mm}$$

$$\begin{aligned}
 D_c &= 800 - 2 \times 40 \\
 &= 720 \text{ mm}
 \end{aligned}$$

$$\text{Kuat tekan beton (f'c)} = 30 \text{ Mpa}$$

$$\text{Kuat leleh tulangan lentur (fy)} = 400 \text{ Mpa}$$

$$\text{Kuat leleh tulangan geser (fyv)} = 250 \text{ mpa}$$

$$\text{Diameter tulangan lentur} = 22 \text{ mm}$$

$$\text{Diameter tulangan geser} = 13 \text{ mm}$$

$$\text{Decking} = 40 \text{ mm}$$

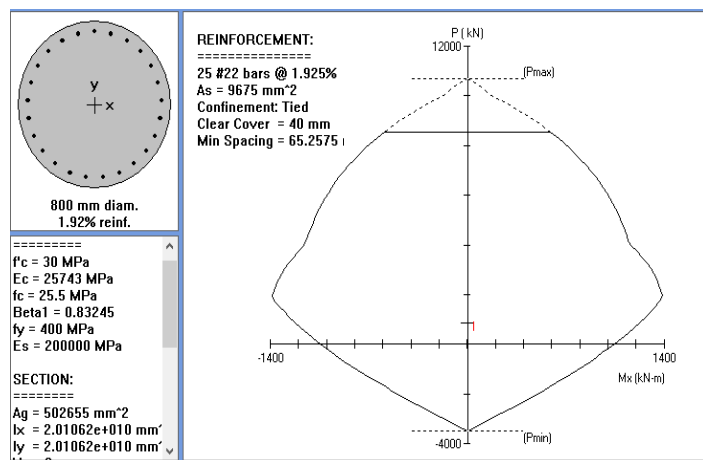
$$\begin{aligned}
 A_g (\text{Luas bore pile}) &= 0.25 \times \pi \times d^2 \\
 &= 0.25 \times \pi \times 800^2 \\
 &= 502655 \text{ mm}^2
 \end{aligned}$$

$$\begin{aligned}
 A_{ch} (\text{Luas Pengekangan}) &= 0.25 \times \pi \times (d - 2 \times \text{decking})^2 \\
 &= 0.25 \times \pi \times (800 - 2 \times 40)^2 \\
 &= 407150 \text{ mm}^2
 \end{aligned}$$

$$\begin{aligned}
 \text{Angka rasio } \beta_1 &= 0.85 - (f'c - 28) \times 0.05/7 \\
 &= 0.85 - (30 - 28) \times 0.05/7 \\
 &= 0.84
 \end{aligned}$$

$$\text{Pu maks} = 862.4 \text{ kNm}$$

Perencanaan bored pile menggunakan program PCA-Col, adapun hasil outprogram pada Gambar 5.27



Gambar 5.27 Hasil Output PCA-Col untuk Bored Pile Dimensi 800 mm

Kontrol Desain

- Luas tulangan

Berdasarkan SNI 2847-2013 Pasal 10.9.1, Luas tulangan longitudinal tidak boleh kurang dari 0.01Ag dan lebih dari 0.08Ag

$$\begin{aligned}
 Ast &= n \times 0.25 \times \pi \times d^2 \\
 &= 25 \times 0.25 \times \pi \times 22^2 \\
 &= 12271.85 \text{ mm}^2
 \end{aligned}$$

$$Ag = 502655 \text{ mm}^2$$

$$0.01Ag \leq Ast \leq 0.08Ag$$

$$\begin{aligned}
 (0.01 \times 502655 \text{ mm}^2) &\leq 9883.45 \text{ mm}^2 \leq (0.08 \times 502655 \text{ mm}^2) \\
 5026.548 &\leq 12271.85 \leq 40212.39 \text{ mm}^2 \rightarrow \text{Memenuhi syarat}
 \end{aligned}$$

- Rasio tulangan

Berdasarkan SNI 2847-2002 Pasal 23.3.2, Kriteria rasio tulangan adalah 1% - 6%, semakin kecil nilai rasio tulangan makan tulangan baja semakin efisien.

Berdasarkan output program, rasio tulangan = 1.925% < 6% (memenuhi syarat)

- Batas Spasi

Berdasarkan SNI 2847-2013 Pasal 7.6.3, Jarak bersih antar tulangan longitudinal tidak boleh kurang dari 40 mm.

Hasil output min spacing = 65 mm > 40 mm (Memenuhi syarat)

Perencanaan Penulangan Geser *Bored pile*

Berdasarkan SNI 2847-2013 Pasal 10.9.3 Rasio volume tulangan spiral, ρ_s tidak boleh kurang dari:

$$\begin{aligned}\rho_s &= 0.45 \left(\frac{A_g}{A_{ch}} - 1 \right) x \frac{f'_c}{f_y t} \\ &= 0.45 \left(\frac{502655}{407150} - 1 \right) x \frac{30}{250} \\ &= 0.0127\end{aligned}$$

Jarak spiral maksimal 150 mm

$$\begin{aligned}A_s &= 0.25 \times \pi \times 13^2 \\ &= 132.73 \text{ mm}^2\end{aligned}$$

$$\begin{aligned}s &= \frac{A_s \pi (D_c - d_b)}{(\pi / 4) D_c^2 \rho_s} \\ &= \frac{132.73 \pi (720 - 13)}{(\pi / 4) \times 720^2 \times 0.0127} \\ &= 57.16 \text{ mm}\end{aligned}$$

Dipasang tulangan spiral D 13 – 150 mm

Perhitungan Defleksi *Bored Pile* D800

$$\text{Diameter (D)} = 800 \text{ mm}$$

$$\text{Panjang tiang pancang (L)} = 30 \text{ m}$$

$$F'_c = 30 \text{ MPa}$$

$$\begin{aligned}\text{Modulus elastis tiang (E)} &= 4700 \times \sqrt{f'_c} \times 10^3 \\ &= 4700 \times \sqrt{30} \times 10^3 \\ &= 25742960 \text{ kN/m}^2\end{aligned}$$

$$\begin{aligned}\text{Momen inersia penampang (I)} &= \frac{\pi}{64} \times D^4 \\ &= \frac{\pi}{64} \times 0.4^4 \\ &= 0.020106 \text{ m}^4\end{aligned}$$

Jarak momen terhadap muka tanah (e) = 0 m

Momen design = 794.70 kNm

Untuk tanah kohesif letak jepit maksimum nilai :

$$ZF = 1.8 \text{ T}$$

Koefisien reaksi *subgrade* tanah lempung berdasarkan Paulo dan Davis, 1980 (Tabel 2.11)

$$Nh = 554 \text{ kn/m}^3$$

$$T = \sqrt[5]{\frac{EI}{nh}} = \sqrt[5]{\frac{25742960.2 \times 0.020106}{554}}$$

$$= 3.927 \text{ m}$$

$$ZF = 1.8 \times 3.927$$

$$= 7.07 \text{ m}$$

$$Hu = \frac{M_{max}}{Zf} = \frac{97.1 \text{ kNm}}{7.07 \text{ m}}$$

$$= 13.74 \text{ kN}$$

Untuk tiang dalam tanah kohesif defleksi tiang dikaitkan dengan faktor tak berdimensi (βL), dengan:

$$L \text{ tiang} = 30 \text{ m}$$

$$kh = Nh (z/d)$$

$$= 554 \times (30/0.8)$$

$$= 20775 \text{ kN/m}^3$$

$$\beta = \left(\frac{kh.d}{4Ep.I_p} \right)$$

$$= \left(\frac{20775 \times 0.8}{4 \times 25742960.2 \times 0.020106} \right)$$

$$= 0.008$$

$$\beta L = 0.008 \times 30$$

= 0.241 < 1.5 → Tiang ujung bebas berlaku seperti tiang pendek

Perhitungan defleksi

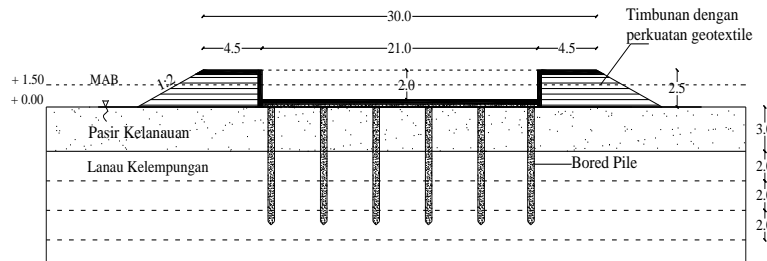
$$\begin{aligned}
 y_0 &= \frac{4H(1+1.5e/L)}{kh d L} \\
 &= \frac{4 \times 13.74 \times (1+1.5 \times 0/30)}{20775 \times 0.8 \times 30} \\
 &= 0.00011 \text{ m} \\
 &= 0.011 \text{ cm} < 4 \text{ cm} \rightarrow \text{Ok}
 \end{aligned}$$

Rotasi tiang (Θ)

$$\begin{aligned}
 \Theta &= \frac{6H(1+1.5e/L)}{kh d L} \\
 &= \frac{6 \times 13.74 \times (1+1.5 \times 0/30)}{20775 \times 0.8 \times 30} \\
 &= 0.000165
 \end{aligned}$$

5.4. Alternatif Geoteknik Untuk Pembangunan Kolam Renang

Pada alternatif ini kolam renang sedalam 2.00 meter akan dibangun pada tanah timbunan, seperti pada Gambar 5.28



Gambar 5.28 Sketsa Perencanaan Kolam Renang

Perencanaan timbunan, PVD dan perkuatan dengan geotextile pada kolam renang sama dengan perhitungan kolam loncat indah pada sub bab 5.3.1 sampai dengan 5.3.5. dimana pada area kolam renang juga akan direncanakan H inisial = 4.2 m, pemasangan PVD pola segitiga dengan jarak 0.7 m dan perkuatan geotextile dengan jumlah lapis seperti pada Tabel 5.13

Perbedaan antara perencanaan kolam loncat indah dan kolam renang adalah pada dimensi kolam, yaitu kolam renang dengan ukuran 21m x 50m x 2.00 m, sehingga pada struktur lantai kolam renang akan memiliki konfigurasi tiang yang berbeda.

5.4.1. Perencanaan Dinding Kolam Renang

Kolam renang yang dibangun pada tanah timbunan dengan perkuatan geotextile sehingga dinding kolam tidak menerima momen yang bekerja, oleh karena itu perencanaan dinding kolam menggunakan perhitungan penulangan praktis dengan data perencanaan sebagai berikut:

Tebal dinding = 300 mm

Selimut beton = 50 mm

Mutu beton (f'_c) = 30 Mpa

Mutu Baja (f_y) = 420 Mpa

Diameter Tulangan Vertikal = 13 mm

Diameter Tulangan Horizontal = 8 mm

$$\begin{aligned} d &= t - \text{selimut beton} - 0.5\varnothing_{\text{tul vertikal}} - \varnothing_{\text{tul Hz}} \\ &= 300 - 50 - 7 - 8 \\ &= 236 \text{ mm} \end{aligned}$$

1) Perencanaan Tulangan Vertikal

Berdasarkan SNI 2487 Pasal 14.3.2 (b) ρ_{\min} tulangan vertikal untuk batang tulangan ulir $\leq D-16$ adalah 0.0012 dan 0.0015 untuk $> D-16$ atau dapat menggunakan $1.4/f_y$

$$\begin{aligned} \rho_{\min} &= \frac{1.4}{f_y} \\ &= \frac{1.4}{420} \end{aligned}$$

$$\rho_{\min} = 0.0033$$

Luas Tulangan Vertikal

$$\begin{aligned} As_{\text{perlu}} &= \rho \times b \times d \\ &= 0.0033 \times 1000 \times 236 \\ &= 785.00 \text{ mm}^2 \end{aligned}$$

Luas 1 tulangan D13

$$\begin{aligned} As_{\text{tul}} &= \frac{1}{4} \times \pi \times d^2 \\ &= \frac{1}{4} \times \pi \times 13^2 \\ &= 132.73 \text{ mm}^2 \end{aligned}$$

Perhitungan jumlah tulangan:

$$\begin{aligned} n &= \frac{As_{\text{perlu}}}{As_{\text{tul}}} \\ &= \frac{785}{132.73} \\ &= 5.91 \sim 6 \text{ buah} \end{aligned}$$

Perhitungan jarak tulangan:

berdasarkan SNI 2487 Pasal 7.12.2.2 Jarak tulangan susut dan suhu satu sama lain tidak boleh lebih jauh dari 5 kali tebal dinding atau tidak lebih jauh dari 450 mm

$$\begin{aligned}
 S &= \frac{b}{n - 1} \\
 &= \frac{1000}{6 - 1} \\
 &= 200 \text{ mm} < 450 \text{ mm (Ok)}
 \end{aligned}$$

Jadi dipasang tulangan 6D13 – 200mm (As pasang = 796.39 mm²)

2) Perncanaan Tulangan Horizontal

Tulangan horizontal yang berfungsi sebagai tulangan bagi dapat direncanakan menggunakan;

$$\rho_{\min} = 0.0012$$

Luas tulangan perlu

$$\begin{aligned}
 As_{\text{perlu}} &= \rho \times b \times d \\
 &= 0.0012 \times 1000 \times 236 \\
 &= 282.6 \text{ mm}^2
 \end{aligned}$$

Luas 1 tulangan Ø8

$$\begin{aligned}
 As_{\text{tul}} &= \frac{1}{4} \times \pi \times d^2 \\
 &= \frac{1}{4} \times \pi \times 8^2 \\
 &= 50.27 \text{ mm}^2
 \end{aligned}$$

Perhitungan jumlah tulangan:

$$\begin{aligned}
 n &= \frac{As_{\text{perlu}}}{As_{\text{tul}}} \\
 &= \frac{282.6}{50.27} \\
 &= 5.62 \sim 6 \text{ buah}
 \end{aligned}$$

Perhitungan jarak tulangan:

berdasarkan SNI 2487 Pasal 7.12.2.2 Jarak tulangan susut dan suhu satu sama lain tidak boleh lebih jauh dari 5 kali tebal dinding atau tidak lebih jauh dari 450 mm

$$S = \frac{b}{n - 1}$$

$$\begin{aligned}
 &= \frac{1000}{6 - 1} \\
 &= 200 \text{ mm} < 450 \text{ mm (Ok)}
 \end{aligned}$$

Jadi dipasang tulangan $6\varnothing 8 - 200\text{mm}$ (A_s pasang = 301.59 mm^2)

Tulangan horizontal dan vertikal dipasang 2 lapis agar menghindari kekeliruan pada saat pelaksanaan

5.4.2. Perencanaan Struktur Lantai Kolam Renang

Data-data perencanaan:

Tebal dinding = 0.3 m

H dinding = 6.5 m

Tebal Pelat = 0.5 m

F_c' = 30 Mpa

1) Perhitungan beban yang bekerja

Adapun beban-beban yang bekerja pada pondasi tiang, antara lain:

$$\begin{aligned}
 \text{Beban air} &= \gamma_w \times H \times \text{Luas kolam} \\
 &= 1.00 \text{ t/m}^3 \times 2.00 \text{ m} \times 21 \text{ m} \times 50 \text{ m} \\
 &= 2100 \text{ ton}
 \end{aligned}$$

$$\begin{aligned}
 \text{Beban dinding } x &= n_x \times \gamma_c \times H \times \text{tebal} \times L_x \\
 &= 2 \text{ bh} \times 2.4 \text{ t/m}^3 \times 2.00 \text{ m} \times 0.3 \text{ m} \times 21 \text{ m} \\
 &= 60.48 \text{ ton}
 \end{aligned}$$

$$\begin{aligned}
 \text{Beban dinding } y &= n_y \times \gamma_c \times H \times \text{tebal} \times L_y \\
 &= 2 \text{ bh} \times 2.4 \text{ t/m}^3 \times 2.00 \text{ m} \times 0.3 \text{ m} \times 50 \text{ m} \\
 &= 144 \text{ ton}
 \end{aligned}$$

$$\begin{aligned}
 \text{Beban Pelat} &= \gamma_c \times \text{tebal} \times A \\
 &= 2.4 \text{ t/m}^3 \times 0.5 \text{ m} \times (21 \text{ m} \times 50 \text{ m}) \\
 &= 1260 \text{ ton}
 \end{aligned}$$

$$\begin{aligned}
 W_{\text{total}} &= \text{Beban air} + \text{beban dinding} + \text{beban pelat} \\
 &= 2100 + 60.48 + 144 + 1260 \\
 &= 3564.48
 \end{aligned}$$

2) Perencanaan Pondasi Tiang Bor

Tiang bor direncanakan dipancang sampai kedalaman -35.00 atau dengan $L = 34 \text{ m}$

a) Perhitungan daya dukung ujung tiang

$$L_{tiang} = 34 \text{ m}$$

Ujung tiang berada di tanah lapisan pasir:

Jika direncanakan $D = 0.8 \text{ m}$, maka :

$$\begin{aligned} A_p &= \frac{1}{4} \pi \cdot D^2 \\ &= \frac{1}{4} \pi \cdot 0.8^2 \\ &= 0.503 \text{ m}^2 \end{aligned}$$

Data lapisan tanah pasir :

$$\phi = 35^\circ$$

Maka berdasarkan tabel Vesic 1978 di peroleh harga $N_q = 33.3$

q' = tekanan vertikal pada ujung tiang diperoleh dari perhitungan tekanan tanah pada sub bab 5.3.6 Tabel 5.17

Hal. 132

$$= 16.40 \text{ t/m}^2$$

$$\begin{aligned} Q_e &= A_p \times q' \times (N_q - 1) \\ &= 0.503 \times 16.40 \times (33.3 - 1) \\ &= 266.27 \text{ ton} \end{aligned}$$

Jika direncanakan diameter dengan berbagai variasi, maka diperoleh data sebagai berikut:

Tabel 5.29 Harga Q_e dengan Berbagai Variasi Diameter Tiang Bor Kolam Renang

| $D_s \text{ (m)}$ | $A_p \text{ (m}^2\text{)}$ | $Q_e \text{ (ton)}$ |
|-------------------|----------------------------|---------------------|
| 0.6 | 0.283 | 149.775 |
| 0.8 | 0.503 | 266.266 |
| 1.0 | 0.785 | 416.041 |
| 1.2 | 1.131 | 599.099 |

b) Perhitungan daya dukung selimut tiang

Kedalaman -0.00 – 3.00

Jenis tanah pasir kelanauan dengan $\phi = 25^\circ$

$$Q_s \text{ pasir} = \pi D_s (1 - \sin\Phi) \operatorname{tg} \delta \sigma v' dz$$

Tekanan vertikal pada ujung tiang diperoleh dari perhitungan tekanan tanah pada sub bab 5.3.6 Tabel 5.17

$$\sigma v'_{0m} = 4.50 \text{ t/m}^2$$

$$\sigma v'_{3m} = 6.00 \text{ t/m}^2$$

$$\begin{aligned}\delta &= 2/3 \varnothing \\ &= 2/3 \times 25^\circ \\ &= 16.67\end{aligned}$$

$$\begin{aligned}Q_s \text{ pasir} &= \pi D_s (1 - \sin\Phi) \operatorname{tg} \delta \sigma v' dz \\ &= \pi \times 0.8m \times (1 - \sin 25^\circ) \times \operatorname{tg} 16.67^\circ \times \{(4.50 \text{ t/m}^2 \times \\ &\quad 3.00 \text{ m}) + (0.5 \times (6.00 - 4.50 \text{ t/m}^2) \times 3.00 \text{ m})\} \\ &= 6.879 \text{ ton}\end{aligned}$$

Kedalaman -3.00 – 5.00

$$\begin{aligned}Q_s \text{ lempung} &= \Sigma \alpha' \cdot C_u \cdot O \cdot \Delta l \\ &= 0.40 \times 1.709 \text{ t/m}^2 \times (\pi \times 0.8m) \times 2 \text{ m} \\ &= 3.436 \text{ ton}\end{aligned}$$

Kedalaman -26.00 – 28.00

Jenis tanah pasir kelanauan dengan $\varnothing = 10^\circ$

$$Q_s \text{ pasir} = \pi D_s (1 - \sin\Phi) \operatorname{tg} \delta \sigma v' dz$$

Pada tanah pasir untuk kedalaman > 15Ds maka $\sigma v'$ konstan
 $15Ds = 15 \times 0.8$

$$= 12 \text{ m atau pada elevasi } -17.00$$

Tekanan vertikal pada ujung tiang diperoleh dari perhitungan tekanan tanah pada sub bab 5.3.6 Tabel 5.17

$$\begin{aligned}\sigma v' &= 6.11 \text{ t/m}^2 \\ \delta &= 2/3 \varnothing \\ &= 2/3 \times 10^\circ \\ &= 6.67\end{aligned}$$

$$\begin{aligned}Q_s \text{ pasir} &= \pi D_s (1 - \sin\Phi) \operatorname{tg} \delta \sigma v' dz \\ &= \pi \times 0.8m \times (1 - \sin 10^\circ) \times \operatorname{tg} 6.67^\circ \times 6.11 \text{ t/m}^2 \times \\ &\quad 2.00 \text{ m} \\ &= 2.981 \text{ ton}\end{aligned}$$

Kedalaman -33.00 – 35.00

Jenis tanah pasir dengan $\varnothing = 35^\circ$

$$Q_s \text{ pasir} = \pi D_s (1 - \sin\Phi) \operatorname{tg} \delta \sigma v' dz$$

Pada tanah pasir untuk kedalaman > 15Ds maka $\sigma v'$ konstan
 $15Ds = 15 \times 0.8$

$$= 12 \text{ m atau pada elevasi } -17.00$$

$$\sigma v' = 6.11 \text{ t/m}^2$$

$$\begin{aligned}\delta &= 2/3 \varnothing \\ &= 2/3 \times 35^\circ \\ &= 23.33\end{aligned}$$

$$\begin{aligned}Q_s \text{ pasir} &= \pi D_s (1 - \sin\Phi) \tan \delta \sigma v' dz \\ &= \pi \times 0.8m \times (1 - \sin 35^\circ) \times \tan 23.33^\circ \times 6.11t/m^2 \times \\ &\quad 2.00 \text{ m} \\ &= 5.681 \text{ ton}\end{aligned}$$

Perhitungan Q_s dari kedalaman 0-34 m direkapitulasi pada Tabel 5.30

Tabel 5.30 Rekapitulasi Q_s dengan $D = 0.8 \text{ m } L=34 \text{ m}$

| kedalaman (m) | Jenis Lapisan | Cu t/m ² | \varnothing | Q_s (ton) |
|---------------|--------------------------------------|----------------------------|---------------|---------------|
| 0 - 3 | Pasir kelanauan Lanau Kelempungan | 0.000 | 25 | 6.879 |
| 3 - 5 | | 1.709 | 0 | 3.436 |
| 5 - 7 | | 1.875 | 0 | 3.770 |
| 7 - 9 | | 2.039 | 0 | 4.100 |
| 9 - 11 | | 2.208 | 0 | 4.439 |
| 11 - 13 | | 2.367 | 0 | 4.759 |
| 13 - 15 | | 2.506 | 0 | 5.039 |
| 15 - 17 | | 2.679 | 0 | 5.387 |
| 17 - 19 | | 2.829 | 0 | 5.688 |
| 19 - 21 | | 2.993 | 0 | 6.017 |
| 21 - 23 | | 3.145 | 0 | 6.324 |
| 23 - 24 | | 3.261 | 0 | 3.278 |
| 24 - 26 | Lanau kepasiran | 3.381 | 0 | 6.799 |
| 26 - 28 | Pasir kelanauan | 0.000 | 10 | 2.981 |
| 28 - 30 | Lanau Kelempungan | 3.715 | 0 | 7.469 |
| 30 - 31 | | 3.838 | 0 | 7.716 |
| 31 - 33 | | 4.026 | 0 | 8.095 |
| 33 - 35 | Pasir | 0.000 | 35 | 5.681 |
| | | Q_s total | | 97.858 |

Daya dukung tiang $D = 0.8$

$$\begin{aligned}Q_u &= Q_e + Q_s \\ &= 266.27 \text{ ton} + 97.858 \text{ ton} \\ &= 364.12 \text{ ton}\end{aligned}$$

Jika SF = 3, maka daya dukung ijin tiang :

$$\begin{aligned} \text{Qu ijin} &= \frac{\text{Qu}}{\text{SF}} \\ &= \frac{364.125}{3} = 121.375 \text{ ton} \end{aligned}$$

Jika direncanakan diameter dengan berbagai variasi, maka diperoleh data sebagai berikut:

Tabel 5.31 Daya dukung ijin tiang dengan variasi Ds Tiang Bor Kolam Renang

| Ds (m) | Qe ton | Qs ton | Qu ton | Qu ijin ton |
|-----------|-----------|-----------|-----------|----------------|
| 0.6 | 149.775 | 69.001 | 218.776 | 72.925 |
| 0.8 | 266.266 | 97.858 | 364.125 | 121.375 |
| 1.0 | 416.041 | 119.999 | 536.040 | 178.680 |
| 1.2 | 599.099 | 146.997 | 746.096 | 248.699 |

Direncanakan D = 0.8m,

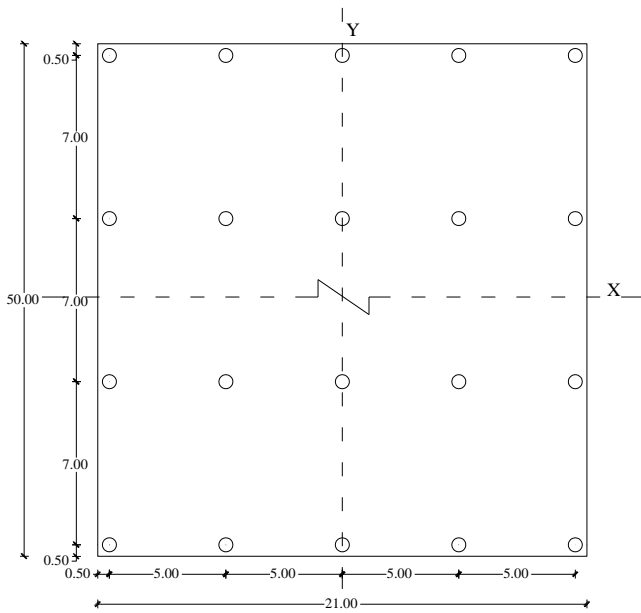
$$\begin{aligned} \text{Min. spasi} &= 2.5D \\ &= 2.5 \times 0.8 \\ &= 1.5 \text{ m} \end{aligned}$$

Ek = 0.80

$$\begin{aligned} n &= \frac{W}{Ek \cdot Qu \text{ ijin}} \\ &= \frac{3564.48 \text{ ton}}{0.80 \times 121.375 \text{ ton}} \\ &= 36.71 \text{ buah} \end{aligned}$$

Direncanakan jumlah tiang = 40 buah

Konfigurasi tiang 5 x 8 buah, seperti pada Gambar 5.29



Gambar 5.29 Konfigurasi Tiang 5 x 8 Ds = 0.8 m

$$S_x = 5.00 \text{ m}$$

$$S_y = 7.00 \text{ m}$$

$$\begin{aligned} P_{\max 1 \text{ tiang}} &= \frac{W}{n} \\ &= \frac{3564.48 \text{ ton}}{40 \text{ buah}} \\ &= 89.11 \text{ ton} \end{aligned}$$

Cek efisiensi tiang kelompok

Jarak yang diambil dalam perhitungan efisiensi adalah jarak terkecil yaitu $S_y = 5.00 \text{ m}$

$$\begin{aligned} \eta &= 1 - \text{arc} \operatorname{tg} \frac{D}{S} \left(\frac{(m-1)n + (n-1)m}{90mn} \right) \\ &= 1 - \text{arc} \operatorname{tg} \frac{0.8}{5.0} \left(\frac{(5-1)8 + (8-1)5}{90 \times 5 \times 8} \right) \end{aligned}$$

$$= 0.83$$

Cek daya dukung 1 tiang dalam kelompok

$$\begin{aligned}\bar{Q}_{1 \text{ tiang dalam kelompok}} &= \eta \times Q_{\text{ijin 1 tiang}} > P_{\text{maks}} \\ &= 0.83 \times 121.375 \text{ ton} > 89.11 \text{ ton} \\ &= 100.86 \text{ ton} > 89.11 \text{ ton (Ok)}\end{aligned}$$

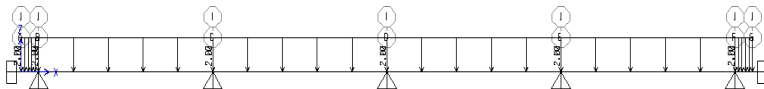
Jika direncanakan diameter dengan berbagai variasi, maka diperoleh data konfigurasi tiang seperti pada Tabel 5.32

Tabel 5.32 Konfigurasi Tiang Bor Kolam Renang Berdasarkan Ds

| Ds | Q ijin | n perlu | S min | | n Psg | S rencana | | Konfigurasi tiang | | Ek tiang kel. | P maks | Q ijin 1 tiang kel. | Cek Qiijn > Pmaks |
|-----|--------|------------|--------|------|----------|-----------|-------|-------------------|------|------------------|--------|------------------------|-------------------------|
| | | | 2.5 Ds | 5Ds | | Dx | Dy | x | y | | | | |
| (m) | (ton) | (bh) | (m) | (m) | (bh) | (m) | (m) | (bh) | (bh) | (ton) | ton | | |
| 0.6 | 72.93 | 61.10 | 1.50 | 3.00 | 64.00 | 2.80 | 7.00 | 8.00 | 8.00 | 0.77 | 55.70 | 55.84 | Ok |
| 0.8 | 121.37 | 36.71 | 2.00 | 4.00 | 40.00 | 5.00 | 7.00 | 5.00 | 8.00 | 0.83 | 89.11 | 100.86 | Ok |
| 1.0 | 178.68 | 24.94 | 2.50 | 5.00 | 28.00 | 6.50 | 8.00 | 4.00 | 7.00 | 0.84 | 127.30 | 150.78 | Ok |
| 1.2 | 248.70 | 17.92 | 3.00 | 6.00 | 20.00 | 6.50 | 12.00 | 4.00 | 5.00 | 0.82 | 178.22 | 203.88 | Ok |

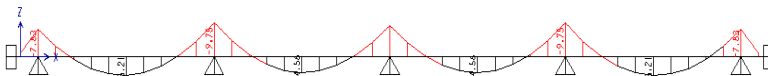
3) Perhitungan Penulangan Pelat Lantai

Pelat lantai dimodelkan pada program SAP untuk memperoleh harga Mu, seperti pada Gambar 5.30



Gambar 5.30 Permodelan Pelat Lantai Kolam Renang pada Program SAP

Berdasarkan hasil output program SAP (Gambar 5.31) diperoleh harga Mu = 97.5 kNm.



Gambar 5.31 Diagram Momen Pelat Lantai Kolam Renang Output Program SAP

Pelat lantai direncanakan sebagai berikut:

Data perencanaan :

| | |
|--------------------------|-------------|
| Tebal Pelat | = 500 mm |
| Selimut beton | = 50 mm |
| Mutu beton | = 30 Mpa |
| Modulus elastisitas (Ec) | = 27806 Mpa |
| Kuat tarik (Fy) | = 420 Mpa |
| Diameter tulangan x | = 13 mm |
| Diameter tulangan y | = 13 mm |

a. Perhitungan penulangan arah x

$$\text{Diameter tulangan} = 13$$

$$\begin{aligned} dx &= t \text{ pelat} - \text{selimut beton} - \frac{1}{2} D \\ &= 500 - 50 - 6.5 \\ &= 443.5 \text{ mm} \end{aligned}$$

Berdasarkan SNI 2487-2013 Pasal 7.12.2.1 (c) untuk slab yang menggunakan batang tulangan ulir atau tulangan kawat las mutu 420, maka rasio tulangan terhadap luas bruto penampang beton, ρ_{\min} = 0.0018 ρ perlu dicari dengan cara;

$$\begin{aligned} Mu &= 97.5 \text{ kNm} \\ &= 97.5 \times 10^6 \text{ Nmm} \end{aligned}$$

$$\begin{aligned} R_n &= \frac{Mu}{\phi \times b \times d^2} \\ &= \frac{97.5 \times 10^6}{0.85 \times 1000 \times 443.5^2} \\ &= 0.58 \text{ N/mm}^2 \end{aligned}$$

$$\begin{aligned} m &= \frac{f_y}{0.85 f'_c} \\ &= \frac{420}{0.85 \times 30} \\ &= 16.47 \end{aligned}$$

$$\begin{aligned} \rho_{\text{perlu}} &= \frac{1}{m} \left[1 - \sqrt{1 - \frac{2mR_n}{f_y}} \right] \\ &= \frac{1}{16.47} \left[1 - \sqrt{1 - \frac{2 \times 16.47 \times 0.58}{420}} \right] \\ &= 0.0014 < 0.0018 \end{aligned}$$

Karena $\rho_{\text{perlu}} < \rho_{\text{min}}$, maka digunakan $\rho_{\text{min}} = 0.0018$ untuk menghitung A_s perlu.

$$\begin{aligned} A_s &= \rho \times b \times d \\ &= 0.0018 \times 1000 \times 443.5 \\ &= 798.3 \text{ mm}^2 \end{aligned}$$

Luas 1 tulangan D13

$$\begin{aligned} A_s &= \frac{1}{4} \pi \times d^2 \\ &= \frac{1}{4} \pi \times 13^2 \\ &= 132.73 \text{ mm}^2 \end{aligned}$$

Perhitungan jumlah tulangan:

$$n = \frac{A_s \text{ perlu}}{A_s \text{ tul.}}$$

$$\begin{aligned}
 &= \frac{798.3}{132.73} \\
 &= 6.01 \sim 9 \text{ buah}
 \end{aligned}$$

Perhitungan jarak tulangan:

berdasarkan SNI 2487 Pasal 7.12.2.2 Jarak tulangan susut dan suhu satu sama lain tidak boleh lebih jauh dari 5 kali tebal dinding atau tidak lebih jauh dari 450 mm

$$\begin{aligned}
 S &= \frac{b}{n - 1} \\
 &= \frac{1000}{9 - 1} \\
 &= 125 \text{ mm} < 450 \text{ mm (Ok)}
 \end{aligned}$$

Jadi dipasang tulangan 9D13 – 125mm (As pasang = 1194.6 mm²) untuk penulangan arah x.

- b. Perhitungan penulangan arah y

D tulangan = 13

$$\begin{aligned}
 dx &= t \text{ pelat} - \text{selimut beton} - D - \frac{1}{2} D \\
 &= 500 - 50 - 13 - 6.5 \\
 &= 430.5 \text{ mm}
 \end{aligned}$$

Berdasarkan SNI 2487-2013 Pasal 7.12.2.1 (c) untuk slab yang menggunakan batang tulangan ulir atau tulangan kawat las mutu 420, maka rasio tulangan terhadap luas bruto penampang beton, $\rho = 0.0018$

$$\begin{aligned}
 As \text{ perlu} &= \rho \times b \times d \\
 &= 0.0018 \times 1000 \times 430.5 \\
 &= 774.9 \text{ mm}^2
 \end{aligned}$$

Luas 1 tulangan D13

$$\begin{aligned}
 As \text{ tul} &= \frac{1}{4} \times \pi \times d^2 \\
 &= \frac{1}{4} \times \pi \times 13^2 \\
 &= 132.73 \text{ mm}^2
 \end{aligned}$$

Perhitungan jumlah tulangan:

$$n = \frac{As \text{ perlu}}{As \text{ tul.}}$$

$$\begin{aligned}
 &= \frac{774.9}{132.73} \\
 &= 5.84 \sim 6 \text{ buah}
 \end{aligned}$$

Perhitungan jarak tulangan:

berdasarkan SNI 2487 Pasal 7.12.2.2 Jarak tulangan susut dan suhu satu sama lain tidak boleh lebih jauh dari 5 kali tebal dinding atau tidak lebih jauh dari 450 mm

$$\begin{aligned}
 S &= \frac{b}{n - 1} \\
 &= \frac{1000}{6 - 1} \\
 &= 200 \text{ mm} < 450 \text{ mm (Ok)}
 \end{aligned}$$

Jadi dipasang tulangan 6D13 – 200mm (As pasang = 796.4 mm²) untuk penulangan arah y.

- c. Kontrol harga Mn terhadap Mu

Kontrol dilakukan terhadap arah penulangan yang memiliki jumlah penulangan lebih sedikit yaitu arah y dengan jumlah tulangan 6D13 – 200mm (As pasang = 796.4 mm²).

Perhitungan momen nominal sebagai berikut:

$\emptyset M_n$ harus lebih besar daripada $M_u = 9.75 \text{ tm}$

$$\begin{aligned}
 a &= \frac{A_s \times f_y}{0.85 f'_c \times b} \\
 &= \frac{796.4 \times 420}{0.85 \times 30 \times 1000} \\
 &= 13.12 \text{ mm}
 \end{aligned}$$

$$\begin{aligned}
 \emptyset M_n &= \phi A_s f_y \left(d - \frac{a}{2} \right) \\
 &= 0.85 \times 796.4 \times 420 \left(430.5 - \frac{13.12}{2} \right) \\
 &= 113442652 \text{ Nmm} \\
 &= 11.34 \text{ tm} > 9.75 \text{ tm (memenuhi)}
 \end{aligned}$$

- 4) Perhitungan Penulangan Tiang Bor

Direncanakan :

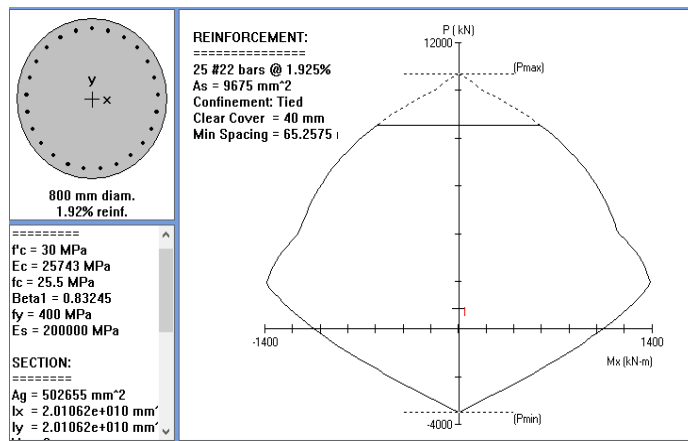
$$\begin{aligned}
 \text{Diameter bore pile} &= 800 \text{ mm} \\
 D_c &= 800 - 2 \times 40 \\
 &= 720 \text{ mm} \\
 \text{Kuat tekan beton (f'_c)} &= 30 \text{ Mpa} \\
 \text{Kuat leleh tulangan lentur (f}_y\text{)} &= 400 \text{ Mpa} \\
 \text{Kuat leleh tulangan geser (f}_{yv}\text{)} &= 250 \text{ mpa} \\
 \text{Diameter tulangan lentur} &= 22 \text{ mm} \\
 \text{Diameter tulangan geser} &= 13 \text{ mm} \\
 \text{Decking} &= 40 \text{ mm} \\
 A_g (\text{Luas bore pile}) &= 0.25 \times \pi \times d^2 \\
 &= 0.25 \times \pi \times 800^2 \\
 &= 502655 \text{ mm}^2
 \end{aligned}$$

$$\begin{aligned}
 A_{ch} (\text{Luas Pengekangan}) &= 0.25 \times \pi \times (d - 2 \times \text{decking})^2 \\
 &= 0.25 \times \pi \times (800 - 2 \times 40)^2 \\
 &= 407150 \text{ mm}^2
 \end{aligned}$$

$$\begin{aligned}
 \text{Angka rasio } \beta_1 &= 0.85 - (f'_c - 28) \times 0.05/7 \\
 &= 0.85 - (30 - 28) \times 0.05/7 \\
 &= 0.84
 \end{aligned}$$

$$P_u \text{ maks} = 891.12 \text{ kNm}$$

Perencanaan bored pile menggunakan program PCA-Col, adapun hasil outprogram pada Gambar 5.32



Gambar 5.32 Hasil Output PCA-Col untuk Bored Pile Dimensi 800 mm

Kontrol Desain

- Luas tulangan

Berdasarkan SNI 2847-2013 Pasal 10.9.1, Luas tulangan longitudinal tidak boleh kurang dari 0.01Ag dan lebih dari 0.08Ag

$$\begin{aligned} A_{st} &= n \times 0.25 \times \pi \times d^2 \\ &= 25 \times 0.25 \times \pi \times 22^2 \\ &= 12271.85 \text{ mm}^2 \end{aligned}$$

$$A_g = 502655 \text{ mm}^2$$

$$0.01A_g \leq A_{st} \leq 0.08A_g$$

$$(0.01 \times 502655 \text{ mm}^2) \leq 9883.45 \text{ mm}^2 \leq (0.08 \times 502655 \text{ mm}^2)$$

$$5026.548 \leq 12271.85 \leq 40212.39 \text{ mm}^2 \text{ (Memenuhi syarat)}$$

- Rasio tulangan

Berdasarkan SNI 2847-2002 Pasal 23.3.2, Kriteria rasio tulangan adalah 1% - 6%, semakin kecil nilai rasio tulangan makan tulangan baja semakin efesien.

Berdasarkan output program, rasio tulangan = 1.925% < 6% (memenuhi syarat)

- Batas Spasi

Berdasarkan SNI 2847-2013 Pasal 7.6.3, Jarak bersih antar tulangan longitudinal tidak boleh kurang dari 40 mm.

Hasil output min spacing = 65 mm > 40 mm (Memenuhi syarat)

Perencanaan Penulangan Geser *Bored pile*

Berdasarkan SNI 2847-2013 Pasal 10.9.3 Rasio volume tulangan spiral, ρ_s tidak boleh kurang dari:

$$\begin{aligned}\rho_s &= 0.45 \left(\frac{A_g}{A_{ch}} - 1 \right) x \frac{f'_c}{f_y t} \\ &= 0.45 \left(\frac{502655}{407150} - 1 \right) x \frac{30}{250} \\ &= 0.0127\end{aligned}$$

Jarak spiral maksimal 150 mm

$$\begin{aligned}A_s &= 0.25 \times \pi \times 13^2 \\ &= 132.73 \text{ mm}^2\end{aligned}$$

$$\begin{aligned}s &= \frac{A_s \pi (D_c - d_b)}{(\pi / 4) D_c^2 \rho_s} \\ &= \frac{132.73 \pi (720 - 13)}{(\pi / 4) \times 720^2 \times 0.0127} \\ &= 57.16 \text{ mm}\end{aligned}$$

Dipasang tulangan spiral D 13 – 150 mm

Perhitungan Defleksi *Bored Pile* D800

$$\text{Diameter (D)} = 800 \text{ mm}$$

$$\text{Panjang tiang pancang (L)} = 34 \text{ m}$$

$$F'_c = 30 \text{ MPa}$$

$$\begin{aligned}\text{Modulus elastis tiang (E)} &= 4700 \times \sqrt{f'_c} \times 10^3 \\ &= 4700 \times \sqrt{30} \times 10^3 \\ &= 25742960 \text{ kN/m}^2\end{aligned}$$

$$\begin{aligned}
 \text{Momen inersia penampang}(I_c) &= \frac{\pi}{64} \times D^4 \\
 &= \frac{\pi}{64} \times 0.4^4 \\
 &= 0.020106 \text{ m}^4
 \end{aligned}$$

Jarak momen terhadap muka tanah (e) = 0 m

Momen design = 794.70 kNm

Untuk tanah kohesif letak jepit maksimum nilai :

$$ZF = 1.8 \text{ T}$$

Koefisien reaksi *subgrade* tanah lempung berdasarkan Paulo dan Davis, 1980 (Tabel 2.11)

$$Nh = 554 \text{ kn/m}^3$$

$$\begin{aligned}
 T &= \sqrt[5]{\frac{EI}{nh}} = \sqrt[5]{\frac{25742960.2 \times 0.020106}{554}} \\
 &= 3.927 \text{ m}
 \end{aligned}$$

$$\begin{aligned}
 ZF &= 1.8 \times 3.927 \\
 &= 7.07 \text{ m}
 \end{aligned}$$

$$\begin{aligned}
 Hu &= \frac{M_{max}}{Zf} = \frac{97.1 \text{ kNm}}{7.07 \text{ m}} \\
 &= 13.74 \text{ kN}
 \end{aligned}$$

Untuk tiang dalam tanah kohesif defleksi tiang dikaitkan dengan faktor tak berdimensi (βL), dengan:

$$L \text{ tiang} = 34 \text{ m}$$

$$\begin{aligned}
 kh &= Nh (z/d) \\
 &= 554 \times (34/0.8) \\
 &= 23545 \text{ kN/m}^3
 \end{aligned}$$

$$\begin{aligned}
 \beta &= \left(\frac{kh.d}{4Ep.I_p} \right) \\
 &= \left(\frac{23545 \times 0.8}{4 \times 25742960.2 \times 0.020106} \right) \\
 &= 0.009
 \end{aligned}$$

$$\begin{aligned}
 \beta L &= 0.009 \times 34 \\
 &= 0.31 < 1.5 \rightarrow \text{Tiang ujung bebas berlaku seperti tiang pendek}
 \end{aligned}$$

Perhitungan defleksi

$$\begin{aligned}
 yo &= \frac{4H(1+1.5e/L)}{kh d L} \\
 &= \frac{4 \times 13.79 \times (1+1.5 \times 0/34)}{23545 \times 0.8 \times 34} \\
 &= 0.00009 \text{ m} \\
 &= 0.009 \text{ cm} < 4 \text{ cm} \rightarrow \text{Ok}
 \end{aligned}$$

Rotasi tiang (Θ)

$$\begin{aligned}
 \Theta &= \frac{6H(1+1.5e/L)}{kh d L} \\
 &= \frac{6 \times 13.74 \times (1+1.5 \times 0/34)}{23545 \times 0.8 \times 34} \\
 &= 0.00013
 \end{aligned}$$

5.1. Perhitungan Biaya Material

Harga satuan material diperoleh dari berbagai penawaran dari berbagai pihak penyedia dan perhitungan biaya material pada Lampiran 2. Adapun rekapitulasi harga material untuk pembangunan kolam seperti pada Tabel 5.33

Tabel 5.33 Harga Satuan Material

| No | Jenis Material | Harga Satuan | Satuan | Keterangan |
|----|---------------------------|----------------|----------------|--------------------------------|
| 1 | Timbunan pilihan | Rp 190,800 | m ³ | |
| 2 | PVD | Rp 3,500 | m ³ | CT D812, ex. UngguTex |
| 3 | Geotextile | Rp 17,000 | m ² | UW-250, ex. UngguTex |
| 4 | Tulangan | | | |
| | D32-mm | Rp 560,328 | btg | ex. Krakatau steel standar SNI |
| | D25-mm | Rp 341,880 | btg | |
| | D22-mm | Rp 264,624 | btg | |
| | D19-mm | Rp 198,024 | btg | |
| | D16-mm | Rp 140,600 | btg | |
| | D13-mm | Rp 92,352 | btg | |
| | D10-mm | Rp 54,760 | btg | |
| | Ø8-mm | Rp 35,076 | btg | |
| 5 | Ready mix K375, fc'30 | Rp 1,275,000 | m ³ | ex. Lokal, Banua Beton |
| 6 | Steel pipe pile D40 cm | Rp 10,000,000 | bh | L = 25, ex. Nippon Sumimoto |
| 7 | Sheet pile NSP II | Rp 15,000,000 | lbr | L = 25, ex. Nippon Sumimoto |
| 8 | Bored Pile | | | |
| | D1.2 m, L = 44m | Rp 168,843,084 | bh | Hasil perhitungan |
| | D0.8 m, L = 30m | Rp 43,926,532 | bh | Hasil perhitungan |
| | D0.8 m, L = 34m | Rp 49,619,850 | bh | Hasil perhitungan |
| | D0.6 m, L = 25m | Rp 29,004,355 | bh | Hasil perhitungan |
| | D0.6 m, L = 23m | Rp 26,230,229 | bh | Hasil perhitungan |
| 9 | Dinding t =30 cm dengan | Rp 509,928 | m ² | Hasil perhitungan |
| | Tulangan utama D13-200mm | | | |
| | Tulangan bagi D8-200mm | | | |
| 10 | Lantai t = 50 cm | Rp 945,340 | m ² | Hasil perhitungan |
| | Tulangan arah x D13-200mm | | | |
| | Tulangan arah y D13-125mm | | | |
| 11 | Sumur bor + Pompa | Rp 4,946,651 | unit | |

5.5.1. Biaya Material untuk Alternatif Kolam Loncat Indah

Perencanaan pekerjaan timbunan, PVD, dan geotextile merupakan item pekerjaan yang harus direncanakan pada semua alternatif pembangunan kolam untuk kasus pada Tugas Akhir ini. Perhitungan kebutuhan material untuk berbagai alternatif pada Lampiran 3

Adapun alternatif merupakan kombinasi perencanaan perkuatan tanah galian, antara lain:

1) Alternatif I

Alternatif I menggunakan turap bored pile diameter 1.2 m untuk perkuatan pada kondisi I, dimana terjadi beda tinggi muka air tanah. Berikut total biaya direkapitulasi pada Tabel 5.34

Tabel 5.34 Total Biaya Alternatif I

| No | Jenis Material | Kebutuhan | Satuan | Harga satuan | Jumlah Harga |
|--------------------------|---------------------------|-----------|----------------|----------------|------------------|
| 1 | Timbunan | 4354.56 | m ³ | Rp 190,800 | Rp 830,850,048 |
| 2 | PVD | 93950 | m' | Rp 3.500 | Rp 328,825,000 |
| 3 | Geotextile | 5832 | m ² | Rp 17.000 | Rp 99,144,000 |
| 4 | Bored pile D-1.2 m, L=44m | 33 | bh | Rp 168,843,084 | Rp 5,571,821,756 |
| 5 | Dinding t = 30cm | 494 | m ² | Rp 509,928 | Rp 251,904,432 |
| 6 | Lantai t=50cm | 357 | m ² | Rp 945,340 | Rp 337,486,380 |
| 7 | Bored pile D0.8m, L=30m | 36 | bh | Rp 43,926,532 | Rp 1,581,355,135 |
| Total Biaya Alternatif I | | | | | Rp 9,001,386,751 |

2) Alternatif II

Alternatif II menggunakan *wellpoint* dan pompa untuk menurunkan muka air tanah sehingga tidak memiliki beda tinggi. Selain itu turap bored pile diameter 0.6 m untuk perkuatan pada sisi galian dan sisi ujung timbunan untuk menghindari area sekitarnya mengalami penurunan. Berikut total biaya direkapitulasi pada Tabel 5.35

Tabel 5.35 Total Biaya Alternatif II

| No | Jenis Material | Kebutuhan | Satuan | Harga satuan | Jumlah Harga |
|----------------------------------|-------------------------|-----------|----------------|---------------|-------------------------|
| 1 | Timbunan | 4354,56 | m ³ | Rp 190,800 | Rp 830,850,048 |
| 2 | PVD | 93950 | m' | Rp 3,500 | Rp 328,825,000 |
| 3 | Geotextile | 5832 | m ² | Rp 17,000 | Rp 99,144,000 |
| 4 | Bored pile D0.6m, L=25m | 64 | bh | Rp 29,004,355 | Rp 1,856,278,736 |
| 5 | Bored pile D0.6m, L=23m | 114 | bh | Rp 26,230,229 | Rp 2,990,246,130 |
| 6 | Dinding t = 30cm | 494 | m ² | Rp 509,928 | Rp 251,904,432 |
| 7 | Lantai t=50cm | 357 | m ² | Rp 945,340 | Rp 337,486,380 |
| 8 | Bored pile D0.8m, L=30m | 36 | bh | Rp 43,926,532 | Rp 1,581,355,135 |
| 9 | Sumur bor + Pompa | 14 | Titik | Rp 4,946,651 | Rp 69,253,108 |
| Total Biaya Alternatif II | | | | | Rp 8,345,342,968 |

3) Alternatif III

Alternatif III menggunakan *wellpoint* dan pompa untuk menurunkan muka air tanah sehingga tidak memiliki beda tinggi. Selain itu turap bored pile diameter 0.6 m untuk perkuatan pada sisi galian dan *steel sheet pile* NSP II untuk sisi ujung timbunan untuk menghindari area sekitarnya mengalami penurunan. Berikut total biaya direkapitulasi pada Tabel 5.36

Tabel 5.36 Total Biaya Alternatif III

| No | Jenis Material | Kebutuhan | Satuan | Harga satuan | Jumlah Harga |
|-----------------------------------|--------------------------|-----------|----------------|---------------|-------------------------|
| 1 | Timbunan | 4354,56 | m ³ | Rp 190,800 | Rp 830,850,048 |
| 2 | PVD | 93950 | m' | Rp 3,500 | Rp 328,825,000 |
| 3 | Geotextile | 5832 | m ² | Rp 17,000 | Rp 99,144,000 |
| 4 | Bored pile D0.6m, L=25m | 64 | bh | Rp 29,004,355 | Rp 1,856,278,736 |
| 5 | Sheet Pile NSPIII, L=25m | 171 | lbr | Rp 15,000,000 | Rp 2,565,000,000 |
| 6 | Dinding t = 30cm | 494 | m ² | Rp 509,928 | Rp 251,904,432 |
| 7 | Lantai t=50cm | 357 | m ² | Rp 945,340 | Rp 337,486,380 |
| 8 | Bored pile D0.8m, L=30m | 36 | bh | Rp 43,926,532 | Rp 1,581,355,135 |
| 9 | Sumur bor + Pompa | 14 | Titik | Rp 4,946,651 | Rp 69,253,108 |
| Total Biaya Alternatif III | | | | | Rp 7,920,096,839 |

4) Alternatif IV

Alternatif IV menggunakan *wellpoint* dan pompa untuk menurunkan muka air tanah sehingga tidak memiliki beda tinggi. Selain itu turap bored pile diameter 0.6 m untuk perkuatan pada sisi galian dan *steel pipe pile* diameter 0.4 m untuk sisi ujung timbunan untuk menghindari area sekitarnya mengalami penurunan. Berikut total biaya direkapitulasi pada Tabel 5.37

Tabel 5.37 Total Biaya Alternatif IV

| No | Jenis Material | Kebutuhan | Satuan | Harga satuan | Jumlah Harga |
|----------------------------------|-------------------------|-----------|----------------|---------------|-------------------------|
| 1 | Timbunan | 4354.56 | m ³ | Rp 190,800 | Rp 830,850,048 |
| 2 | PVD | 93950 | m' | Rp 3.500 | Rp 328,825,000 |
| 3 | Geotextile | 5832 | m ² | Rp 17.000 | Rp 99,144,000 |
| 4 | Bored pile D0.6m, L=25m | 64 | bh | Rp 29,004,355 | Rp 1,856,278,736 |
| 5 | Pipe Pile D0.4m L=25 | 171 | bh | Rp 10,000,000 | Rp 1,710,000,000 |
| 6 | Dinding t = 30cm | 494 | m ² | Rp 509,928 | Rp 251,904,432 |
| 7 | Lantai t=50cm | 357 | m ² | Rp 945,340 | Rp 337,486,380 |
| 8 | Bored pile D0.8m, L=30m | 36 | bh | Rp 43,926,532 | Rp 1,581,355,135 |
| 9 | Sumur bor + Pompa | 14 | Titik | Rp 4,946,651 | Rp 69,253,108 |
| Total Biaya Alternatif IV | | | | | Rp 7,065,096,839 |

5) Alternatif V

Alternatif V menggunakan *wellpoint* dan pompa untuk menurunkan muka air tanah sehingga tidak memiliki beda tinggi. Selain itu *sheet pile* tipe NSP II untuk perkuatan pada sisi galian dan sisi ujung timbunan untuk menghindari area sekitarnya mengalami penurunan. Berikut total biaya direkapitulasi pada Tabel 5.38

Tabel 5.38 Total Biaya Alternatif V

| No | Jenis Material | Kebutuhan | Satuan | Harga satuan | Jumlah Harga |
|---------------------------------|--------------------------|-----------|----------------|---------------|-------------------------|
| 1 | Timbunan | 4354.56 | m ³ | Rp 190,800 | Rp 830,850,048 |
| 2 | PVD | 93950 | m' | Rp 3.500 | Rp 328,825,000 |
| 3 | Geotextile | 5832 | m ² | Rp 17.000 | Rp 99,144,000 |
| 4 | Sheet Pile NSPIII, L=25m | 96 | bh | Rp 15,000,000 | Rp 1,440,000,000 |
| 5 | Sheet Pile NSPIII, L=25m | 171 | lbr | Rp 15,000,000 | Rp 2,565,000,000 |
| 6 | Dinding t = 30cm | 494 | m ² | Rp 509,928 | Rp 251,904,432 |
| 7 | Lantai t=50cm | 357 | m ² | Rp 945,340 | Rp 337,486,380 |
| 8 | Bored pile D0.8m, L=30m | 36 | bh | Rp 43,926,532 | Rp 1,581,355,135 |
| 9 | Sumur bor + Pompa | 14 | Titik | Rp 4,946,651 | Rp 69,253,108 |
| Total Biaya Alternatif V | | | | | Rp 7,503,818,103 |

6) Alternatif VI

Alternatif VI menggunakan *wellpoint* dan pompa untuk menurunkan muka air tanah sehingga tidak memiliki beda tinggi. Selain itu *sheet pile* tipe NSP II untuk perkuatan pada sisi galian dan *bored pile* diameter 0.6 m untuk sisi ujung timbunan untuk menghindari area sekitarnya mengalami penurunan. Berikut total biaya direkapitulasi pada Tabel 5.39

Tabel 5.39 Total Biaya Alternatif VI

| No | Jenis Material | Kebutuhan | Satuan | Harga satuan | Jumlah Harga |
|----------------------------------|--------------------------|-----------|--------|---------------|-------------------------|
| 1 | Timbunan | 4354.56 | m3 | Rp 190,800 | Rp 830,850,048 |
| 2 | PVD | 93950 | m' | Rp 3,500 | Rp 328,825,000 |
| 3 | Geotextile | 5832 | m2 | Rp 17,000 | Rp 99,144,000 |
| 4 | Sheet Pile NSPIII, L=25m | 96 | lbr | Rp 15,000,000 | Rp 1,440,000,000 |
| 5 | Bored pile D0.6m, L=23m | 114 | bh | Rp 26,230,229 | Rp 2,990,246,130 |
| 6 | Dinding t = 30cm | 494 | m2 | Rp 509,928 | Rp 251,904,432 |
| 7 | Lantai t=50cm | 357 | m2 | Rp 945,340 | Rp 337,486,380 |
| 8 | Bored pile D0.8m, L=30m | 36 | bh | Rp 43,926,532 | Rp 1,581,355,135 |
| 9 | Sumur bor + Pompa | 14 | Titik | Rp 4,946,651 | Rp 69,253,108 |
| Total Biaya Alternatif VI | | | | | Rp 7,929,064,233 |

7) Alternatif VII

Alternatif VII menggunakan *wellpoint* dan pompa untuk menurunkan muka air tanah sehingga tidak memiliki beda tinggi. Selain itu *sheet pile* tipe NSP II untuk perkuatan pada sisi galian dan *steel pipe pile* diameter 0.4 m untuk sisi ujung timbunan untuk menghindari area sekitarnya mengalami penurunan. Berikut total biaya direkapitulasi pada Tabel 5.40

Tabel 5.40 Total Biaya Alternatif VII

| No | Jenis Material | Kebutuhan | Satuan | Harga satuan | Jumlah Harga |
|-----------------------------------|--------------------------|-----------|--------|---------------|-------------------------|
| 1 | Timbunan | 4354.56 | m3 | Rp 190,800 | Rp 830,850,048 |
| 2 | PVD | 93950 | m' | Rp 3,500 | Rp 328,825,000 |
| 3 | Geotextile | 5832 | m2 | Rp 17,000 | Rp 99,144,000 |
| 4 | Sheet Pile NSPIII, L=25m | 96 | lbr | Rp 15,000,000 | Rp 1,440,000,000 |
| 5 | Pipe Pile D0.4m L=25 | 171 | bh | Rp 10,000,000 | Rp 1,710,000,000 |
| 6 | Dinding t = 30cm | 494 | m2 | Rp 509,928 | Rp 251,904,432 |
| 7 | Lantai t=50cm | 357 | m2 | Rp 945,340 | Rp 337,486,380 |
| 8 | Bored pile D0.8m, L=30m | 36 | bh | Rp 43,926,532 | Rp 1,581,355,135 |
| 9 | Sumur bor + Pompa | 14 | Titik | Rp 4,946,651 | Rp 69,253,108 |
| Total Biaya Alternatif VII | | | | | Rp 6,648,818,103 |

8) Alternatif VIII

Alternatif VIII menggunakan *wellpoint* dan pompa untuk menurunkan muka air tanah sehingga tidak memiliki beda tinggi. Selain itu *steel pipe pile* diameter 0.4 m untuk perkuatan pada sisi galian dan sisi ujung timbunan untuk menghindari area sekitarnya mengalami penurunan. Berikut total biaya direkapitulasi pada Tabel 5.41

Tabel 5.41 Total Biaya Alternatif VIII

| No | Jenis Material | Kebutuhan | Satuan | Harga satuan | Jumlah Harga |
|------------------------------------|-------------------------|-----------|----------------|---------------|-------------------------|
| 1 | Timbunan | 4354.56 | m ³ | Rp 190,800 | Rp 830,850,048 |
| 2 | PVD | 93950 | m' | Rp 3,500 | Rp 328,825,000 |
| 3 | Geotextile | 5832 | m ² | Rp 17,000 | Rp 99,144,000 |
| 4 | Pipe Pile D0.4m L=25 | 96 | bh | Rp 10,000,000 | Rp 960,000,000 |
| 5 | Pipe Pile D0.4m L=25 | 171 | lbr | Rp 15,000,000 | Rp 2,565,000,000 |
| 6 | Dinding t = 30cm | 494 | m ² | Rp 509,928 | Rp 251,904,432 |
| 7 | Lantai t=50cm | 357 | m ² | Rp 945,340 | Rp 337,486,380 |
| 8 | Bored pile D0.8m, L=30m | 36 | bh | Rp 43,926,532 | Rp 1,581,355,135 |
| 9 | Sumur bor + Pompa | 14 | Titik | Rp 4,946,651 | Rp 69,253,108 |
| Total Biaya Alternatif VIII | | | | | Rp 7,023,818,103 |

9) Alternatif IX

Alternatif IX menggunakan *wellpoint* dan pompa untuk menurunkan muka air tanah sehingga tidak memiliki beda tinggi. Selain itu *steel pipe pile* diameter 0.4 m untuk perkuatan pada sisi galian dan *bored pile* diameter 0.6 m untuk sisi ujung timbunan untuk menghindari area sekitarnya mengalami penurunan. Berikut total biaya direkapitulasi pada Tabel 5.42

Tabel 5.42 Total Biaya Alternatif IX

| No | Jenis Material | Kebutuhan | Satuan | Harga satuan | Jumlah Harga |
|----------------------------------|-------------------------|-----------|----------------|---------------|-------------------------|
| 1 | Timbunan | 4354.56 | m ³ | Rp 190,800 | Rp 830,850,048 |
| 2 | PVD | 93950 | m' | Rp 3,500 | Rp 328,825,000 |
| 3 | Geotextile | 5832 | m ² | Rp 17,000 | Rp 99,144,000 |
| 4 | Pipe Pile D0.4m L=25 | 96 | bh | Rp 10,000,000 | Rp 960,000,000 |
| 5 | Bored pile D0.6m, L=23m | 114 | bh | Rp 26,230,229 | Rp 2,990,246,130 |
| 6 | Dinding t = 30cm | 494 | m ² | Rp 509,928 | Rp 251,904,432 |
| 7 | Lantai t=50cm | 357 | m ² | Rp 945,340 | Rp 337,486,380 |
| 8 | Bored pile D0.8m, L=30m | 36 | bh | Rp 43,926,532 | Rp 1,581,355,135 |
| 9 | Sumur bor + Pompa | 14 | Titik | Rp 4,946,651 | Rp 69,253,108 |
| Total Biaya Alternatif IX | | | | | Rp 7,449,064,233 |

10) Alternatif X

Alternatif X menggunakan *wellpoint* dan pompa untuk menurunkan muka air tanah sehingga tidak memiliki beda tinggi. Selain itu *steel pipe pile* diameter 0.4 m untuk perkuatan pada sisi galian dan *sheet pile* tipe NSP II untuk sisi ujung timbunan untuk menghindari area sekitarnya mengalami penurunan. Berikut total biaya direkapitulasi pada Tabel 5.43

Tabel 5.43 Total Biaya Alternatif X

| No | Jenis Material | Kebutuhan | Satuan | Harga satuan | Jumlah Harga |
|---------------------------------|--------------------------|-----------|--------|---------------|-------------------------|
| 1 | Timbunan | 4354.56 | m3 | Rp 190,800 | Rp 830,850,048 |
| 2 | PVD | 93950 | m' | Rp 3,500 | Rp 328,825,000 |
| 3 | Geotextile | 5832 | m2 | Rp 17,000 | Rp 99,144,000 |
| 4 | Pipe Pile D0.4m L=25 | 96 | bh | Rp 10,000,000 | Rp 960,000,000 |
| 5 | Sheet Pile NSPIII, L=25m | 171 | lbr | Rp 15,000,000 | Rp 2,565,000,000 |
| 6 | Dinding t = 30cm | 494 | m2 | Rp 509,928 | Rp 251,904,432 |
| 7 | Lantai t=50cm | 357 | m2 | Rp 945,340 | Rp 337,486,380 |
| 8 | Bored pile D0.8m, L=30m | 36 | bh | Rp 43,926,532 | Rp 1,581,355,135 |
| 9 | Sumur bor + Pompa | 14 | Titik | Rp 4,946,651 | Rp 69,253,108 |
| Total Biaya Alternatif X | | | | | Rp 7,023,818,103 |

Rekapitulasi biaya masing-masing alternatif pada Tabel 5.44

Tabel 5.44 Total Biaya Material untuk Berbagai Alternatif

| No | Jenis Alternatif | Total Biaya Alternatif |
|----|---|-------------------------|
| 1 | Alternatif I : Prealoding, PVD, Geotextile, Turap bored pile D1.2m | Rp 9,001,386,751 |
| 2 | Alternatif II : Preloading, PVD, Geotextile, Wellpoint, Turap bored pile D0.6 | Rp 8,345,342,968 |
| 3 | Alternatif III : Preloading, PVD, Geotextile, Wellpoint dan Turap bored pile D0.6 untuk sisi galian, dan Sheet Pile untuk sisi timbunan | Rp 7,920,096,839 |
| 4 | Alternatif IV : Preloading, PVD, Geotextile, Wellpoint dan Turap bored pile D0.6 untuk sisi galian, dan Pipe Pile untuk sisi timbunan | Rp 7,065,096,839 |
| 5 | Alternatif V : Preloading, PVD, Geotextile, Wellpoint dan Turap Sheet Pile untuk sisi galian dan sisi timbunan | Rp 7,503,818,103 |
| 6 | Alternatif VI : Preloading, PVD, Geotextile, Wellpoint dan Turap Sheet Pile untuk sisi galian dan bored pile untuk sisi timbunan | Rp 7,929,064,233 |
| 7 | Alternatif VII : Preloading, PVD, Geotextile, Wellpoint dan Turap Sheet Pile untuk isi galian dan Pipe pile u sisi timbunan | Rp 6,648,818,103 |
| 8 | Alternatif VIII : Preloading, PVD, Geotextile, Wellpoint dan Turap Steel pile D0.4 untuk sisi galian dan sisi timbunan | Rp 7,023,818,103 |
| 9 | Alternatif IX : Preloading, PVD, Geotextile, Wellpoint dan Turap Steel pile D0.4 untuk sisi galian dan Bore piled untuk sisi timbunan | Rp 7,449,064,233 |
| 10 | Alternatif X : Preloading, PVD, Geotextile, Wellpoint dan Turap Steel pile D0.4 untuk sisi galian dan sheet pile untuk sisi timbunan | Rp 7,023,818,103 |

Berdasarkan Tabel 5.44 alternatif pembangunan kolam loncat indah yang termurah dari segi biaya material adalah alternatif VII dengan total biaya Rp 6.648.818.103,-

5.5.2. Biaya Material untuk Kolam Renang

Perhitungan kebutuhan material untuk pembangunan kolam renang pada Lampiran 2 dan total biaya material seperti pada Tabel 5.45

Tabel 5.45 Total Biaya Material Pembangunan Kolam Renang

| No | Jenis Material | Kebutuhan | Satuan | Harga satuan | Jumlah Harga |
|-------------|-------------------------|-----------|----------------|---------------|------------------|
| 1 | Timbunan | 9676.8 | m ³ | Rp 190.800 | Rp 1,846,333,440 |
| 2 | PVD | 145597 | m' | Rp 3.500 | Rp 509,589,500 |
| 3 | Geotextile | 13704 | m ² | Rp 17.000 | Rp 232,968,000 |
| 4 | Dinding t = 30cm | 284 | m ² | Rp 509.928 | Rp 144,819,552 |
| 5 | Lantai t=50cm | 1050 | m ² | Rp 945.340 | Rp 992,607,000 |
| 6 | Bored pile D0.8m, L=34m | 40 | bh | Rp 49,619.850 | Rp 1,984,793,991 |
| Total Biaya | | | | | Rp 5,711,111,483 |

"Halaman ini sengaja dikosongkan"

BAB VI

KESIMPULAN DAN SARAN

6.1. Kesimpulan

Berdasarkan perhitungan yang telah dilakukan dalam Tugas Akhir ini, maka dapat diperoleh kesimpulan sebagai berikut;

- 1) Penyebab terjadinya kelongsoran tanah dan kegagalan struktur turap berdasarkan hasil perhitungan pada sub bab 5.3.2 adalah dikarenakan jumlah cerucuk yang digunakan sebagai turap tidak mencukupi kebutuhannya. Berdasarkan hasil perhitungan turap sebagai cerucuk diperoleh kebutuhan turap sebanyak 7 buah dengan spasi 1.25m, sedangkan dilapangan hanya dipancang cerucuk dengan $L = 10$ m dengan jumlah 1 buah/m,
- 2) Alternatif geoteknik untuk pembangunan kolam loncat indah di Banjarmasin, antara lain;
 - a) Dilakukan penimbunan yang lebih tinggi daripada muka air banjir pada area kolam ($H_{final} = 2.50$ m). berdasarkan perhitungan *preloading* pada sub bab 5.3.1 diperoleh $H_{inisial} = 4.20$ m dengan $Sc = 1.665$ m
 - b) Berdasarkan perhitungan waktu konsolidasi pada sub bab 5.3.2 dibutuhkan waktu 223.13 Tahun untuk mencapai derajat konsolidasi 90%, sehingga dibutuhkan percepatan konsolidasi dengan *Prefabricated Vertical Drain* (PVD)
 - c) Berdasarkan perhitungan pada sub bab 5.3.3 PVD yang digunakan yaitu tipe *floor drain* dengan dimensi 100 mm x 5 mm dengan pola pemasangan segitiga jarak 0.70 m dengan waktu 20 minggu untuk mencapai $U=90\%$,
 - d) Berdasarkan perhitungan pada sub bab 5.5.4 penimbunan dilakukan bertahap dengan kecepatan penimbunan 50 cm/minggu. Penimbunan bertahap dapat dilakukan langsung tanpa penundaan dikarenakan $H_{final} = 4.20$ m < $H_{kritis} = 4.50$ m
 - e) Berdasarkan perhitungan pada sub bab 5.5.5 perkualitas timbunan menggunakan *geotextile* tipe UW-250 dengan $T_{ult} = 52$ kN/m. Jumlah kebutuhan geotextile sebanyak 9 lapis dengan jarak pemasangan $Sv = 0.5$ m dan dipasang

- sepanjang badan timbunan sampai dengan ujung sisi galian di kedua sisi timbunan, sehingga perkuatan juga dapat berfungsi sebagai *geotextile wall*,
- f) Berdasarkan perhitungan pada sub bab 5.5.6 turap *bored pile* diameter 1.20 m, $L = 44$ m sebagai perkuatan tanah pada kondisi dimana terdapat perbedaan muka air tanah setinggi 4.00 m,
 - g) Perkuatan tanah dengan tambahan *wellpoint* dan pompa sehingga tidak terjadi perbedaan muka air tanah pada kedua sisi galian. *Wellpoint* diameter 0.2 m sebanyak 3 titik dengan jarak 7.5 m pada sisi terpendek dimensi kolam dan 4 titik jarak 6 m untuk sisi terpanjang. Selain itu disekeliling ujung timbunan area kolam loncat indah diberikan turap untuk menghindari penurunan muka air pada area sekitarnya,
 - h) Berdasarkan perhitungan pada sub bab 5.5.7 perkuatan tanah untuk sisi galian dapat menggunakan *bored pile* diameter 0.60 m, *steel sheet pile* tipe NSP-II dimensi 400 x 100 x 10.5 mm, dan *steel pipe pile* dimensi 400 mm dengan L turap = 25m, sedangkan untuk sisi ujung timbunan dapat menggunakan jenis turap yang sama dengan L turap = 23 m,
- 3) Dimensi struktur kolam berupa dinding dan pelat lantai,
- a) Berdasarkan perhitungan pada sub bab 5.3.8, struktur dinding kolam loncat indah menggunakan dinding beton bertulang dengan data :
- Dimensi Kolam loncat indah = 21 x 17 m
 $H_{dinding} = 6.5$ m
Tebal = 30 cm
Mutu beton = $f_c'30$ Mpa, atau K375
 $f_y = 420$ Mpa
Kebutuhan tulangan:
Tulangan vertikal menggunakan D13 – 200mm
Tulangan horizontal menggunakan D8 – 200mm

- b) Berdasarkan perhitungan pada sub bab 5.3.9 struktur lantai kolam menggunakan tiang pancang *bored pile* dimensi 80 cm L= 30m sebanyak 36 buah dengan konfigurasi tiang 6 x 6 buah.

Pelat lantai kolam loncat indah dengan data:

Dimensi Kolam loncat indah = 21 x 17 m

$H_{dinding} = 6.5 \text{ m}$

Tebal = 50 cm

Mutu beton = fc'30 Mpa, atau K375

$f_y = 420 \text{ Mpa}$

Kebutuhan tulangan:

Tulangan arah x menggunakan D13 – 125mm

Tulangan arah y menggunakan D13 – 200mm

- 4) Alternatif geoteknik untuk pembangunan kolam renang dengan dimensi 21m x 50 m x 2.00 m antara lain;

- a) Dilakukan perencanaan timbunan, PVD dan perkuatan dengan *geotextile* pada kolam renang sama dengan perhitungan kolam loncat indah pada sub bab 5.3.1 sampai dengan 5.3.5. dimana pada area kolam renang juga akan direncanakan H inisial = 4.2 m, pemasangan PVD pola segitiga dengan jarak 0.7 m dan perkuatan *geotextile* dengan jumlah 9 lapis.

- b) Berdasarkan perhitungan pada sub bab 5.4.1, struktur dinding kolam renang menggunakan dinding beton bertulang dengan data :

Dimensi kolam renang = 21 x 50 m

$H_{dinding} = 2.0 \text{ m}$

Tebal = 30 cm

Mutu beton = fc'30 Mpa, atau K375

$f_y = 420 \text{ Mpa}$

Kebutuhan tulangan:

Tulangan vertikal menggunakan D13 – 200mm

Tulangan horizontal menggunakan D8 – 200mm

- c) Berdasarkan perhitungan pada sub bab 5.4.2 struktur lantai kolam menggunakan tiang pancang *bored pile* dimensi 80

cm L= 34m sebanyak 40 buah dengan konfigurasi tiang 5 x 8 buah.

Pelat lantai kolam renang dengan data:

Dimensi Kolam renang = 21 x 50 m

H_{dinding} = 2.00 m

Tebal = 50 cm

Mutu beton = fc'30 Mpa, atau K375

f_y = 420 Mpa

Kebutuhan tulangan:

Tulangan arah x menggunakan D13 – 125mm

Tulangan arah y menggunakan D13 – 200mm

- 5) Berdasarkan perhitungan pada sub bab 5.5.1 kebutuhan biaya material untuk pembangunan dari segi material sebagai berikut;
- Total biaya untuk pembangunan kolam loncat indah dengan berbagai alternatif seperti pada Tabel 6.1

Tabel 6.1 Total Biaya Material untuk Berbagai Alternatif Pembangunan Kolam Loncat Indah

| No | Jenis Alternatif | Total Biaya Alternatif |
|----|---|------------------------|
| 1 | Alternatif I : Preloading, PVD, Geotextile, Turap bored pile D1.2m | Rp 9,001,386,751 |
| 2 | Alternatif II : Preloading, PVD, Geotextile, Wellpoint, Turap bored pile D0.6 | Rp 8,345,342,968 |
| 3 | Alternatif III : Preloading, PVD, Geotextile, Wellpoint dan Turap bored pile D0.6 untuk sisi galian, dan Sheet Pile untuk sisi timbunan | Rp 7,920,096,839 |
| 4 | Alternatif IV : Preloading, PVD, Geotextile, Wellpoint dan Turap bored pile D0.6 untuk sisi galian, dan Pipe Pile untuk sisi timbunan | Rp 7,065,096,839 |
| 5 | Alternatif V : Preloading, PVD, Geotextile, Wellpoint dan Turap Sheet Pile untuk sisi galian dan sisi timbunan | Rp 7,503,818,103 |
| 6 | Alternatif VI : Preloading, PVD, Geotextile, Wellpoint dan Turap Sheet Pile untuk sisi galian dan bored pile untuk sisi timbunan | Rp 7,929,064,233 |
| 7 | Alternatif VII : Preloading, PVD, Geotextile, Wellpoint dan Turap Sheet Pile untuk isi galian dan Pipe pile u sisi timbunan | Rp 6,648,818,103 |
| 8 | Alternatif VIII : Preloading, PVD, Geotextile, Wellpoint dan Turap Steel pile D0.4 untuk sisi galian dan sisi timbunan | Rp 7,023,818,103 |
| 9 | Alternatif IX : Preloading, PVD, Geotextile, Wellpoint dan Turap Steel pile D0.4 untuk sisi galian dan Bore piled untuk sisi timbunan | Rp 7,449,064,233 |
| 10 | Alternatif X : Preloading, PVD, Geotextile, Wellpoint dan Turap Steel pile D0.4 untuk sisi galian dan sheet pile untuk sisi timbunan | Rp 7,023,818,103 |

- b) Total biaya untuk pembangunan kolam renang seperti pada Tabel 6.2

Tabel 6.2 Total Biaya Material untuk Pembangunan Kolam Renang

| No | Jenis Material | Kebutuhan | Satuan | Harga satuan | Jumlah Harga |
|--------------------|-------------------------|-----------|----------------|---------------|-------------------------|
| 1 | Timbunan | 9676.8 | m ³ | Rp 190,800 | Rp 1,846,333,440 |
| 2 | PVD | 145597 | m' | Rp 3,500 | Rp 509,589,500 |
| 3 | Geotextile | 13704 | m ² | Rp 17,000 | Rp 232,968,000 |
| 4 | Dinding t = 30cm | 284 | m ² | Rp 509,928 | Rp 144,819,552 |
| 5 | Lantai t=50cm | 1050 | m ² | Rp 945,340 | Rp 992,607,000 |
| 6 | Bored pile D0.8m, L=34m | 40 | bh | Rp 49,619,850 | Rp 1,984,793,991 |
| Total Biaya | | | | | Rp 5,711,111,483 |

Alternatif paling optimal dari segi biaya untuk pembangunan kolam loncat indah adalah alternatif VII dengan kombinasi *Preloading*, PVD, *Geotextile*, *Wellpoint* dan Turap *Sheet Pile* untuk isi galian dan *steel pipe pile* diameter 0.4 m untuk sisi timbunan, dinding, lantai dan tiang pancang *bored pile* diameter 0.8m. Total biaya material alternatif VII sebesar **Rp 6.648.818.103,-** (Enam milyar enam ratus empat puluh delapan juta delapan ratus delapan belas ribu seratus tiga rupiah)

6.2. Saran

Setelah melakukan perhitungan perencanaan pada Tugas Akhir ini, penulis dapat memberikan saran antara lain:

- 1) Pembangunan kolam loncat indah sebaiknya jangan direncanakan pada lokasi yang memiliki tanah dasar yang sangat lunak dan dalam, kecuali jika sangat terpaksa harus berada di lokasi tersebut dengan mempertimbangkan biaya pembangunan yang pasti tidak ekonomis.
- 2) Pemilihan alternatif pembangunan kolam loncat indah harus selalu ditinjau ulang terhadap ketersediaan material, mengingat lokasi kolam yang berada di Kalimantan sehingga biaya material dapat berubah sewaktu-waktu dan bisa saja membutuhkan biaya tambahan untuk pengiriman material.

"Halaman ini sengaja dikosongkan"

DAFTAR PUSTAKA

- Anwar, S., 2014. *Kembalikan Kejayaan Loncat Indah*. Banjarmasin Post, 1, pp.1–3.
- Asiyanto. (2006). *Metode Konstruksi Dewatering*. Jakarta: Penerbit Universitas Indonesia.
- Baequnie, Hafidh, 2015. *Perencanaan Abutment dan Badan Jalan Kereta Api STA 180+500 Double Track Madiun-Paron*. Surabaya: Institut Teknologi Sepuluh Nopember.
- Bowles, J.E., 1993. *Analisis dan Desain Pondasi*. Diterjemahkan oleh Fernando & P. Silaban. Jakarta: Penerbit Erlangga.
- Das, B.M., 1998. *Mekanika Tanah (Prinsip-prinsip Rekayasa Geoteknis)*, Jilid I. Diterjemahkan oleh N. Endah & I. B. Mochtar. Jakarta: Penerbit Erlangga.
- Das, B. M. (1993). *Mekanika Tanah (Prinsip-prinsip Rekayasa Geoteknis)*. (N. Endah & I. B. Mochtar, Eds.) (Jilid 2). Jakarta: Penerbit Erlangga.
- Hardiyatmo, H.C., 2010. *Analisis dan Perancangan Fondasi*. Yogyakarta: Universitas Gadjah Mada Press, pp. 1–9.
- Hardiyatmo, H.C., 2010. *Mekanika Tanah 1*, Edisi Kelima,. Yogyakarta: Gadjah Mada University Press.
- Hardiyatmo, H.C., 1994. *Mekanika Tanah 2*, Jakarta: PT. Gramedia Pustaka Umum.
- Marbun, J., 2014. *Kalsel Masih Memerlukan Penambahan Kolam Loncat Indah*. Republika Online.
- Mochtar, Noor Endah, 2012. *Modul Ajar Metode Perbaikan Tanah*. Surabaya : Institut Teknologi Sepuluh Nopember.
- Smith, M. & Madyayanti, E., 1992. *Mekanika Tanah Seri Pedoman Godwin*. Jakarta: Penerbit Erlangga.
- Taulu, L.I., 2000. *Mekanika Tanah & Teknik Pondasi 7th*. Diedit oleh S. I. Sosrodarsono & K. Nakazawa. Jakarta: PT. Pradnya Paramita.
- Terzaghi, K. & B.Peck, R., 1993. *Mekanika Tanah Dalam Praktek Rekayasa Jilid 1*. Diterjemahkan oleh B. Witjaksono & B. Krisna R. Jakarta: Penerbit Erlangga.

"Halaman ini sengaja dikosongkan"

Table 3.2 : Bor and SPT titik B - 1

Bore No. : B - 1
Project : KOLAM RENANG GOR HASANUDIN HM
Location : JL. ANTASARI BANJARMASIN
Elevation : + 10.190 m

Coordinates of GPS (UTM) X = 0233709
 Y = 9632034

Diameter of Bore : 73 mm
 Diameter of Casing : 89 mm

BORE LOG

Table 3.3 : Bor and SPT titik B - 2

Bore No. : B - 2
Project : KOLAM RENANG GOR HASANUDIN HM
Location : JL. ANTASARI BANJARMASIN
Elevation : + 10.140 m

Coordinates of GPS (UTM) X = 0233740
 Y = 9632031

Diameter of Bore : 73 mm
 Diameter of Casing : 89 mm

BORE LOG

| DEPTH (m) | BORE LOG | Standard Penetration Test (SPT) N / 30 cm | | | | | DESCRIPTION | COLOUR | S P T Value | | | Grain Size Analysis (%) | | | |
|--------------|----------|--|----|----|----|----|-----------------------|---------------|----------------------------------|------|---|-------------------------|-------------|-------------|-------------|
| | | | | | | | | | Depth sample (Blow / 30 cm) | | | Gravel (%) | Sand (%) | Silt (%) | Clay (%) |
| 0 | | 0 | 20 | 40 | 60 | 80 | Kerikil, Lanau, Pasir | Coklat | 0 + 1 + 1 | = 2 | m | 44,22 | 22,54 | 33,24 | 0,00 |
| 1 | | 2 | | | | | | | 1,00 - 1,45 | | | | | | |
| 2 | | | | | | | | | 0 + 1 + 0 | = 1 | m | 0,36 | 3,85 | 52,96 | 42,84 |
| 3 | | | | | | | | | 4,00 - 4,45 | | | | | | |
| 4 | | 1 | | | | | | | 0 + 1 + 0 | = 1 | m | 0,00 | 0,65 | 52,63 | 46,73 |
| 5 | | | | | | | | | 7,00 - 7,45 | | | | | | |
| 6 | | | | | | | | | 10,00 - 10,45 | | | | | | |
| 7 | | 1 | | | | | | | 13,00 - 13,45 | | | | | | |
| 8 | | | | | | | | | 16,00 - 16,45 | | | | | | |
| 9 | | | | | | | | | 19,00 - 19,45 | | | | | | |
| 10 | | 1 | | | | | Lanau Kelempungan | Abu-abu | 0 + 1 + 0 | = 1 | m | 0,62 | 0,91 | 51,44 | 47,04 |
| 11 | | | | | | | | | 13,00 - 13,45 | | | | | | |
| 12 | | | | | | | | | 0 + 1 + 0 | = 1 | m | 3,48 | 0,68 | 55,04 | 40,80 |
| 13 | | 1 | | | | | | | 16,00 - 16,45 | | | | | | |
| 14 | | | | | | | | | 19,00 - 19,45 | | | | | | |
| 15 | | | | | | | Pasir Kelanauan | Abu-abu | 0 + 1 + 0 | = 1 | m | 0,00 | 0,54 | 53,26 | 46,20 |
| 16 | | 1 | | | | | | | 22,00 - 22,45 | | | | | | |
| 17 | | | | | | | | | 25,00 - 25,45 | | | | | | |
| 18 | | | | | | | | | 28,00 - 28,45 | | | | | | |
| 19 | | 1 | | | | | | | 31,00 - 31,45 | | | | | | |
| 20 | | | | | | | Lanau Kelempungan | Putih Abu-abu | 2 + 4 + 5 | = 9 | m | 0,00 | 89,49 | 10,51 | 0,00 |
| 21 | | | | | | | | | 25,00 - 25,45 | | | | | | |
| 22 | | 1 | | | | | | | 28,00 - 28,45 | | | | | | |
| 23 | | | | | | | | | 31,00 - 31,45 | | | | | | |
| 24 | | | | | | | | | 34,00 - 34,45 | | | | | | |
| 25 | | 9 | | | | | Pasir | Putih Abu-abu | 4 + 8 + 12 | = 20 | m | 0,00 | 95,72 | 4,28 | 0,00 |
| 26 | | | | | | | | | 34,00 - 34,45 | | | | | | |
| 27 | | | | | | | | | 37,00 - 37,45 | | | | | | |
| 28 | | 2 | | | | | | | 37,00 - 37,45 | | | | | | |
| 29 | | | | | | | | | 40,00 - 40,45 | | | | | | |
| 30 | | | | | | | Pasir | Putih Abu-abu | 6 + 11 + 13 | = 24 | m | 0,00 | 92,82 | 7,18 | 0,00 |
| 31 | | 2 | | | | | | | 37,00 - 37,45 | | | | | | |
| 32 | | | | | | | | | 40,00 - 40,45 | | | | | | |
| 33 | | | | | | | | | 40,00 - 40,45 | | | | | | |
| 34 | | 20 | | | | | | | 40,00 - 40,45 | | | | | | |
| 35 | | | | | | | Pasir | Putih Abu-abu | 11 + 30 + 38 | = 68 | m | 0,00 | 95,98 | 4,02 | 0,00 |
| 36 | | | | | | | | | 40,00 - 40,45 | | | | | | |
| 37 | | | | | | | | | 40,00 - 40,45 | | | | | | |
| 38 | | 24 | | | | | | | 40,00 - 40,45 | | | | | | |
| 39 | | | | | | | | | 40,00 - 40,45 | | | | | | |
| 40 | | | | | | | Pasir | Putih Abu-abu | 11 + 30 + 38 | = 68 | m | 0,00 | 95,98 | 4,02 | 0,00 |
| | | | | | | | | | 40,00 - 40,45 | | | | | | |
| | | | | | | | | | 40,00 - 40,45 | | | | | | |
| | | | | | | | | | 40,00 - 40,45 | | | | | | |
| | | | | | | | | | 40,00 - 40,45 | | | | | | |
| | | | | | | | Pasir | Putih Abu-abu | 11 + 30 + 38 | = 68 | m | 0,00 | 95,98 | 4,02 | 0,00 |
| | | | | | | | | | 40,00 - 40,45 | | | | | | |
| | | | | | | | | | 40,00 - 40,45 | | | | | | |
| | | | | | | | | | 40,00 - 40,45 | | | | | | |
| | | | | | | | | | 40,00 - 40,45 | | | | | | |
| | | | | | | | Pasir | Putih Abu-abu | 11 + 30 + 38 | = 68 | m | 0,00 | 95,98 | 4,02 | 0,00 |
| | | | | | | | | | 40,00 - 40,45 | | | | | | |
| | | | | | | | | | 40,00 - 40,45 | | | | | | |
| | | | | | | | | | 40,00 - 40,45 | | | | | | |
| | | | | | | | | | 40,00 - 40,45 | | | | | | |
| | | | | | | | Pasir | Putih Abu-abu | 11 + 30 + 38 | = 68 | m | 0,00 | 95,98 | 4,02 | 0,00 |
| | | | | | | | | | 40,00 - 40,45 | | | | | | |
| | | | | | | | | | 40,00 - 40,45 | | | | | | |
| | | | | | | | | | 40,00 - 40,45 | | | | | | |
| | | | | | | | | | 40,00 - 40,45 | | | | | | |
| | | | | | | | Pasir | Putih Abu-abu | 11 + 30 + 38 | = 68 | m | 0,00 | 95,98 | 4,02 | 0,00 |
| | | | | | | | | | 40,00 - 40,45 | | | | | | |
| | | | | | | | | | 40,00 - 40,45 | | | | | | |
| | | | | | | | | | 40,00 - 40,45 | | | | | | |
| | | | | | | | | | 40,00 - 40,45 | | | | | | |
| | | | | | | | Pasir | Putih Abu-abu | 11 + 30 + 38 | = 68 | m | 0,00 | 95,98 | 4,02 | 0,00 |
| | | | | | | | | | 40,00 - 40,45 | | | | | | |
| | | | | | | | | | 40,00 - 40,45 | | | | | | |
| | | | | | | | | | 40,00 - 40,45 | | | | | | |
| | | | | | | | | | 40,00 - 40,45 | | | | | | |
| | | | | | | | Pasir | Putih Abu-abu | 11 + 30 + 38 | = 68 | m | 0,00 | 95,98 | 4,02 | 0,00 |
| | | | | | | | | | 40,00 - 40,45 | | | | | | |
| | | | | | | | | | 40,00 - 40,45 | | | | | | |
| | | | | | | | | | 40,00 - 40,45 | | | | | | |
| | | | | | | | | | 40,00 - 40,45 | | | | | | |
| | | | | | | | Pasir | Putih Abu-abu | 11 + 30 + 38 | = 68 | m | 0,00 | 95,98 | 4,02 | 0,00 |
| | | | | | | | | | 40,00 - 40,45 | | | | | | |
| | | | | | | | | | 40,00 - 40,45 | | | | | | |
| | | | | | | | | | 40,00 - 40,45 | | | | | | |
| | | | | | | | | | 40,00 - 40,45 | | | | | | |
| | | | | | | | Pasir | Putih Abu-abu | 11 + 30 + 38 | = 68 | m | 0,00 | 95,98 | 4,02 | 0,00 |
| | | | | | | | | | 40,00 - 40,45 | | | | | | |
| | | | | | | | | | 40,00 - 40,45 | | | | | | |
| | | | | | | | | | 40,00 - 40,45 | | | | | | |
| | | | | | | | | | 40,00 - 40,45 | | | | | | |
| | | | | | | | Pasir | Putih Abu-abu | 11 + 30 + 38 | = 68 | m | 0,00 | 95,98 | 4,02 | 0,00 |
| | | | | | | | | | 40,00 - 40,45 | | | | | | |
| | | | | | | | | | 40,00 - 40,45 | | | | | | |
| | | | | | | | | | 40,00 - 40,45 | | | | | | |
| | | | | | | | | | 40,00 - 40,45 | | | | | | |
| | | | | | | | Pasir | Putih Abu-abu | 11 + 30 + 38 | = 68 | m | 0,00 | 95,98 | 4,02 | 0,00 |
| | | | | | | | | | 40,00 - 40,45 | | | | | | |
| | | | | | | | | | 40,00 - 40,45 | | | | | | |
| | | | | | | | | | 40,00 - 40,45 | | | | | | |
| | | | | | | | | | 40,00 - 40,45 | | | | | | |
| | | | | | | | Pasir | Putih Abu-abu | 11 + 30 + 38 | = 68 | m | 0,00 | 95,98 | 4,02 | 0,00 |
| | | | | | | | | | 40,00 - 40,45 | | | | | | |
| | | | | | | | | | 40,00 - 40,45 | | | | | | |
| | | | | | | | | | 40,00 - 40,45 | | | | | | |
| | | | | | | | | | 40,00 - 40,45 | | | | | | |
| | | | | | | | Pasir | Putih Abu-abu | 11 + 30 + 38 | = 68 | m | 0,00 | 95,98 | 4,02 | 0,00 |
| | | | | | | | | | 40,00 - 40,45 | | | | | | |
| | | | | | | | | | 40,00 - 40,45 | | | | | | |
| | | | | | | | | | 40,00 - 40,45 | | | | | | |
| | | | | | | | | | 40,00 - 40,45 | | | | | | |
| | | | | | | | Pasir | Putih Abu-abu | 11 + 30 + 38 | = 68 | m | 0,00 | 95,98 | 4,02 | 0,00 |
| | | | | | | | | | 40,00 - 40,45 | | | | | | |
| | | | | | | | | | 40,00 - 40,45 | | | | | | |
| | | | | | | | | | 40,00 - 40,45 | | | | | | |
| | | | | | | | | | 40,00 - 40,45 | | | | | | |
| | | | | | | | Pasir | Putih Abu-abu | 11 + 30 + 38 | = 68 | m | 0,00 | 95,98 | 4,02 | 0,00 |
| | | | | | | | | | 40,00 - 40,45 | | | | | | |
| | | | | | | | | | 40,00 - 40,45 | | | | | | |
| | | | | | | | | | 40,00 - 40,45 | | | | | | |
| | | | | | | | | | 40,00 - 40,45 | | | | | | |
| | | | | | | | Pasir | Putih Abu-abu | 11 + 30 + 38 | = 68 | m | 0,00 | 95,98 | 4,02 | 0,00 |
| | | | | | | | | | | | | | | | |

Table 3.4 : Bor and SPT titik B - 3

Bore No. : B - 3
Project : KOLAM RENANG GOR HASANUDIN HM
Location : JL. ANTASARI BANJARMASIN
Elevation : + 10.450 m

| | | |
|--------------------------|-----|---------|
| Coordinates of GPS (UTM) | X = | 0233730 |
| | Y = | 9632072 |
| Diameter of Bore | : | 73 mm |
| Diameter of Casing | : | 89 mm |

BORE LOG

Table 3.5 : Bor and SPT titik B - 4

Bore No. : B - 4
Project : KOLAM RENANG GOR HASANUDIN HM
Location : JL. ANTASARI BANJARMASIN
Elevation : + 9.840 m

| | | |
|--------------------------|-----|---------|
| Coordinates of GPS (UTM) | X = | 0233696 |
| | Y = | 9632045 |
| Diameter of Bore | : | 73 mm |
| Diameter of Casing | : | 89 mm |

BORE LOG

Table 3.6 : Bor and SPT titik B - 5

Bore No. : B - 5
Project : KOLAM RENANG GOR HASANUDIN HM
Location : JL. ANTASARI BANJARMASIN
Elevation : + 7.600 m

| | | |
|--------------------------|-----|---------|
| Coordinates of GPS (UTM) | X = | 0233724 |
| | Y = | 9632039 |
| Diameter of Bore | : | 73 mm |
| Diameter of Casing | : | 89 mm |

BORE LOG

VALEURS NUMÉRIQUES DE COMPACITÉ ET CONSOLIDATION

compacité ($G = 2,7$)

| Nature des sols | γ_d | e^* | n | w_{sat} | γ_{sat}^* |
|--------------------|-------------------|----------|-------|-----------|-------------------|
| | g/cm ³ | lb/cb.ft | | % | g/cm ³ |
| molles | 0.5 | 31.25 | 4.40 | 0.80 | 163.0 |
| | 0.6 | 37.50 | 3.50 | 0.78 | 129.6 |
| | 0.7 | 43.75 | 2.86 | 0.74 | 105.8 |
| | 0.8 | 50.00 | 2.38 | 0.70 | 88.0 |
| | 0.9 | 56.25 | 2.00 | 0.67 | 74.1 |
| | 1.0 | 62.50 | 1.70 | 0.63 | 63.0 |
| | 1.1 | 68.75 | 1.45 | 0.59 | 53.9 |
| | 1.2 | 75.00 | 1.25 | 0.56 | 46.3 |
| | 1.3 | 81.25 | 1.08 | 0.52 | 39.9 |
| | 1.4 | 87.50 | 0.93 | 0.48 | 34.4 |
| rigides | 1.5 | 93.75 | 0.80 | 0.44 | 29.6 |
| | 1.6 | 100.00 | 0.69 | 0.41 | 25.5 |
| moyennes | 1.7 | 106.25 | 0.59 | 0.37 | 21.8 |
| | 1.8 | 112.50 | 0.50 | 0.33 | 18.5 |
| étroites | 1.9 | 118.75 | 0.42 | 0.30 | 15.6 |
| | 2.0 | 125.00 | 0.35 | 0.26 | 13.0 |
| solides, graviers | 2.1 | 131.25 | 0.29 | 0.22 | 10.6 |
| | 2.2 | 137.50 | 0.23 | 0.19 | 8.4 |
| granulaires | 2.3 | 143.75 | 0.17 | 0.15 | 6.4 |
| | 2.4 | 150.00 | 0.13 | 0.11 | 4.63 |
| élastiques | 2.5 | 156.25 | 0.080 | 0.074 | 2.96 |
| | 2.6 | 162.50 | 0.038 | 0.037 | 1.42 |
| élastiques | 2.7 | 168.75 | 0.000 | 0.000 | 0.00 |

| K | | | C_v | | V | | $m_v = \frac{1}{E}$ | |
|-----------|----------------------|-----------|--------------------|-----------------------|-----------|-------------------|---------------------|----------------------|
| cm/s | ft/year | lugeon | cm ² /s | ft ² /year | bars | psi | cm ² /kg | ft ² /ton |
| 10^{-9} | $1.03 \cdot 10^{-3}$ | 10^{-4} | 10^{-5} | | 0.01 | 0.142 | 100 | 97.6 |
| 10^{-8} | $1.03 \cdot 10^{-2}$ | 10^{-3} | 1.10^{-4} | 3.4 | 0.05 | 0.71 | 20 | 19.5 |
| 10^{-7} | $1.03 \cdot 10^{-1}$ | 10^{-2} | 2 | 6.8 | 0.1 | 1.42 | 10 | 9.76 |
| | | | 3 | 10.1 | 0.5 | 7.05 | 2 | 1.95 |
| | | | 4 | 11.6 | 1 | 14.2 | 1 | 0.076 |
| | | | 5 | 16.9 | 2 | 28.4 | 0.5 | 0.488 |
| | | | 6 | 20.3 | 3 | 42.6 | 0.33 | 0.325 |
| | | | 7 | 23.6 | 4 | 56.9 | 0.25 | 0.244 |
| | | | 8 | 27.0 | 5 | 71.0 | 0.20 | 0.195 |
| | | | 9 | 30.4 | 6 | 85.3 | 0.17 | 0.163 |
| | | | 10^{-3} | $3.38 \cdot 10^1$ | 7 | 99.5 | 0.14 | 0.144 |
| | | | 7 | 7.24 | 8 | 113 | 0.12 | 0.122 |
| | | | 8 | 8.26 | 9 | 127 | 0.11 | 0.111 |
| | | | 9 | 9.30 | 10^{-2} | $3.38 \cdot 10^2$ | 0.10 | 0.0976 |
| | | | 10^{-4} | 10.33 | 10 | 142 | 0.091 | 0.0887 |
| | | | 10^{-3} | $1.03 \cdot 10^2$ | 11 | 156 | 0.083 | 0.0815 |
| | | | 10^{-2} | $1.03 \cdot 10^3$ | 12 | 170 | 0.077 | 0.075 |
| | | | 10^{-1} | $1.03 \cdot 10^4$ | 13 | 185 | 0.071 | 0.07 |
| | | | | 10000 | 14 | 199 | 0.064 | 0.065 |
| | | | | | 15 | 213 | 0.050 | 0.0488 |
| | | | | | 20 | 284 | 0.020 | 0.0195 |
| | | | | | 50 | 710 | 0.010 | $9.76 \cdot 10^{-3}$ |
| | | | | | 100 | 1420 | | |
| | | | | | 500 | 7100 | | |
| | | | | | 1000 | 14200 | | |

longueurs : 1 ft = 0,305 m = 12"

1 in = 25.4 mm

masse : 1 lb = 453,59 g

masse vol. : 1 lb/cub.ft = 0.016 g/cm³

$$\gamma = \gamma_{sat} - 1 \quad *e = G \frac{\gamma_w}{\gamma_d} - 1$$

vitesse (perméabilité) :

1 ft/mn = 0,508 cm/s

1 ft/year = $0.968 \cdot 10^{-6}$ cm/s

1 lugeon $\approx 10^{-5}$ cm/s

* 1 lugeon = 1 litre/mn/m sous 10 kg/cm²
de pression pour une poche de 5 m de long
(essai de roches)

coefficient de

consolidation :

1 ft²/year = $2.96 \cdot 10^{-5}$ cm²/s

1 sq.in./mn = 0,107 cm²/s

pressions :

1 ton/sq ft = 0,976 kg/cm²

1 psi = 0,0703 kg/cm²

1 lb/sa ft = $0.488 \cdot 10^{-3}$ kg/cm²

1 bar = 10^5 N/m² = $9.81 \cdot 10^4$ Pascal

ECOLE CENTRALE DE PARIS

Tableau pour élèves du 3^e année

rigide : lempung
stable : pasir

UngguTex

POLYPROPYLENE WOVEN GEOTEXTILES

TECHNICAL SPECIFICATIONS

| PROPERTIES | UNIT | TEST METHOD | UW - 150 | UW - 200 | UW - 250 |
|-------------------------------------|-----------------------|-------------------|------------|------------|------------|
| Physical Properties | | | | | |
| Mass | g/m ² | ASTM D 5261-92 | 150 | 200 | 250 |
| Thickness | mm | ASTM D 5199-91 | 0.5 | 0.6 | 0.7 |
| Colour | % | - | Black | Black | Black |
| Mechanical Properties | | | | | |
| Strip Tensile Strength (Wet/Wet) | kNm | ASTM D 4596-94 | 37/35 | 42/39 | 52/52 |
| Elongation at Max. Load (Wet/Wet) | % | ASTM D 4596-94 | 19/15 | 20/20 | 20/20 |
| Grip Tensile Strength (Wet/Wet) | N | ASTM D 4632-91 | 1210/1200 | 1600/1600 | 1750/1750 |
| Elongation at Max. Load (Wet/Wet) | % | ASTM D 4632-91 | 14/13 | 22/22 | 22/22 |
| Trapezoidal Tear Strength (Wet/Wet) | N | ASTM D 4533-91 | 615/615 | 700/700 | 800/800 |
| Hydraulic Properties | | | | | |
| Pore Size Ø _c | µm | ASTM D 4751-95 | 320 | 275 | 250 |
| Water Permeability | l/m ² /sec | 100 mm water head | 28 | 16 | 7.5 |
| Environmental Properties | | | | | |
| Effect of soil Alkalinity | - | - | nil | nil | nil |
| Effect of soil Acidity | - | - | nil | nil | nil |
| Effect of Bacteria | - | - | nil | nil | nil |
| Effect of U.V. Light | - | - | Stabilized | Stabilized | Stabilized |
| Packaging | | | | | |
| Roll Length | m | - | 150 - 200 | 150 - 200 | 150 - 200 |
| Roll Width | m | - | 3 - 4 | 3 - 4 | 3 - 4 |
| Roll Area | m ² | - | 640 - 760 | 640 - 760 | 640 - 760 |
| Roll Diameter (Approx) | m | - | 0.4 - 0.5 | 0.4 - 0.5 | 0.4 - 0.5 |
| Roll Weight (Approx) | kg | - | 96 - 114 | 128 - 152 | 160 - 190 |

All information, illustration and specification are based on the latest product information available at the time of printing. The right is reserved to make changes at any time without notice.

Distributed by :

PT. TEKNINDO GEOSISTEM UNGGUL

Werna STEK Building, 1st Floor, Jl. Rangkum Indah Raya 12, Surabaya 60260

Tel. (031)-8475062 Fax. (031)-8475063

Email : info@geosistem.co.id

Website : www.geosistem.co.id



Gambar 1. Spesifikasi Geotextile UngguTex UW-250

CeTeau-Drain CT-D812

Drain Body

Extrusion profile of 100% polypropylene with the following important properties:

- environmental safe
- large water flow capacity
- flexible
- high tensile strength and toughness
- inert to natural occurring acids alkalis and salt
- workable and easy to handle at low temperatures
- no wet shrinkage or growth

Filter Jacket

Nonwoven fabric of 100% polyester without any binders, with the following important properties:

- balanced strength in both directions
- high tensile strength and toughness
- no wet shrinkage or growth
- good resistance to rot, moisture and insects
- high water permeability
- inert to natural occurring acids, alkalis and salt
- excellent filtration characteristics
- tear, burst and puncture resistant
- environmental safe

| Physical properties | | | Unit | CT-D812 |
|-------------------------------------|----------------|------------|-------------------|-------------------------|
| Drain Body | Configuration | | | ===== |
| | Material | | | PP |
| Filter Jacket | Colour | | | white |
| | Material | | | PET |
| Assembled Drain | Colour | | | grey |
| | Weight | | g/m | 70 |
| | Width | | mm | 100 |
| | Thickness | | mm | 3 |
| Mechanical properties | Symbol | Test | Unit | CT-D812 |
| Filter Jacket | | | | |
| Grip Tensile Strength | F | ASTM D4632 | N | 480 |
| Elongation | c | ASTM D4632 | % | 32 |
| Tear Strength | | ASTM D4533 | N | 120 |
| Pore Size | Q _o | ASTM D4751 | μm | > 75 |
| Permeability | A | ASTM D4491 | m/s | > 1.0 × 10 ⁶ |
| Assembled Drain | | | | |
| Tensile Strength | F | ASTM D4595 | kN | 2.60 |
| Elongation at break | c | ASTM D4595 | % | 40 |
| Strength at 10% elongation | F | ASTM D4595 | kN | 2.1 |
| Elongation at 1 kN tensile strength | c | ASTM D4595 | % | 1.0 |
| Discharge capacity at 100 kPa | q _o | ASTM D4716 | m ³ /s | 92 × 10 ⁻⁶ |
| Discharge capacity at 150 kPa | q _o | ASTM D4716 | m ³ /s | 89 × 10 ⁻⁶ |
| Discharge capacity at 200 kPa | q _o | ASTM D4716 | m ³ /s | 87 × 10 ⁻⁶ |
| Discharge capacity at 250 kPa | q _o | ASTM D4716 | m ³ /s | 86 × 10 ⁻⁶ |
| Discharge capacity at 300 kPa | q _o | ASTM D4716 | m ³ /s | 85 × 10 ⁻⁶ |
| Discharge capacity at 350 kPa | q _o | ASTM D4716 | m ³ /s | 84 × 10 ⁻⁶ |
| Transport details | | | Unit | CT-D812 |
| Roll length | | | m | 300 |
| Outside diameter roll | | | m | 1.10 |
| Inside diameter roll | | | m | 0.15 |
| Weight roll | | | kg | 20 |
| 40ft container | | | m | 135,000 |

All information, illustrations and specifications are based on the latest product information available at the time of printing. The right is reserved to make changes of any kind without notice.
All mechanical properties are average values. Standard variations in mechanical strength of 10% and in hydraulic-flow and pore size of 20% have to be allowed for.

Agent & Distributor in Indonesia Are :

PT. TEKNIKINDO GEOSISTEM UNGGUL

Werna SEDI Building, 1st Floor
Jl. Raya Indah Raya No.12 Surabaya 60230.
Tel. 62-31-847562 Fax. 62-31-8475893
Email : info@geosistem.co.id Website : www.geosistem.co.id



Gambar 2. Spesifikasi PVD

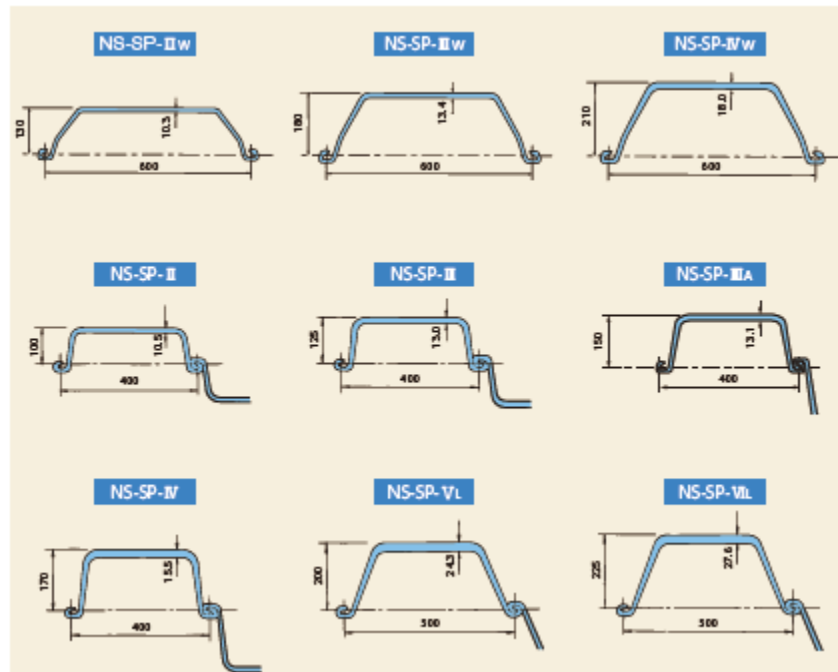
Tabel 1 Daftar Harga *Geotextile* dan PVD

| A. Harga Material | | | | | |
|-------------------|--|----------------------|-----------|----------------|---------------|
| No | Jenis Barang | Nomor seri di brosur | Kebutuhan | Satuan | Harga satuan |
| 1 | Geotekstile non-woven | UNW-150 | 1 | m ² | Rp 10,000.00 |
| | | UNW-200 | 1 | m ² | Rp 11,000.00 |
| | | UNW-250 | 1 | m ² | Rp 12,500.00 |
| | | UNW-300 | 1 | m ² | Rp 13,500.00 |
| | | UNW-350 | 1 | m ² | Rp 16,500.00 |
| | | UNW-400 | 1 | m ² | Rp 17,500.00 |
| | | UNW-450 | 1 | m ² | Rp 21,500.00 |
| | | UNW-500 | 1 | m ² | Rp 23,500.00 |
| | | UNW-600 | 1 | m ² | Rp 26,500.00 |
| | | UNW-700 | 1 | m ² | Rp 33,000.00 |
| 2 | Geotekstile woven | UW-150 | 1 | m ² | Rp 11,000.00 |
| | | UW-200 | 1 | m ² | Rp 12,500.00 |
| | | UW-250 | 1 | m ² | Rp 17,000.00 |
| 3 | PVD | CT-D812 | 1 | m ¹ | Rp 3,500.00 |
| 4 | PHD | CT-SD100-20 | 1 | m ¹ | Rp 117,000.00 |
| | | CT-SD100-30 | 1 | m ¹ | - |
| 5 | Geomembrane | Thickness 0.75 mm | 1 | m ² | Rp 35,000.00 |
| | | Thickness 1.0 mm | 1 | m ² | Rp 45,000.00 |
| | | Thickness 1.5 mm | 1 | m ² | Rp 67,500.00 |
| | | Thickness 2.0 mm | 1 | m ² | Rp 87,500.00 |
| | | Thickness 2.5 mm | 1 | m ² | Rp 110,000.00 |
| | | Thickness 3.0 mm | 1 | m ² | Rp 130,000.00 |
| 6 | Inclinometer (read out + Standart Tablet + Software) | | | 1 | Unit |
| 7 | Inclinometer (pipe) L = 24 m * | | | 1 | Titik |
| 8 | Pneumatik Piezometer (material) 3 Tip (20 m, 15 m, 10m)* | | | 1 | Titik |
| 9 | Pneumatik Piezometer (read out) | | | 1 | Unit |
| 10 | Settlement Plate (50 cm x 50 cm x 0.6 cm) Lmax 7.5 m* | | | 1 | Titik |
| 11 | Waterpass (Auto Level) | | | 1 | Unit |

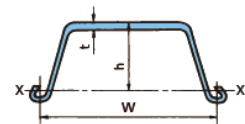
Note : * = Harga Terpasang
USD = 14,000.00

NIPPON STEEL & SUMITOMO METAL

<http://www.nssmc.com/>



■ Sectional properties



| Type | Dimension | | | Per pile | | | | Per 1 m of pile wall width | | | |
|-------------|----------------------------|-----------------------------|----------------------|-----------------------------------|--------------------------------------|------------------------------------|-------------------|--------------------------------------|---|---------------------------------------|--------------------------------|
| | Effective width W mm | Effective height h mm | Thickness t mm | Sectional area cm ² | Moment of inertia cm ⁴ | Section modulus cm ³ | Unit mass kg/m | Sectional area cm ² /m | Moment of inertia cm ⁴ /m | Section modulus cm ³ /m | Unit mass kg/m ² |
| NS-SP- II | 400 | 100 | 10.5 | 61.18 | 1,240 | 152 | 48.0 | 153.0 | 8,740 | 874 | 120 |
| NS-SP- III | 400 | 125 | 13.0 | 76.42 | 2,220 | 223 | 60.0 | 191.0 | 16,800 | 1,340 | 150 |
| NS-SP- IIIa | 400 | 150 | 13.1 | 74.40 | 2,790 | 250 | 58.4 | 186.0 | 22,800 | 1,520 | 146 |
| NS-SP- IV | 400 | 170 | 15.5 | 96.99 | 4,670 | 362 | 76.1 | 242.5 | 38,600 | 2,270 | 190 |
| NS-SP- VL | 500 | 200 | 24.3 | 133.8 | 7,960 | 520 | 105 | 267.6 | 63,000 | 3,150 | 210 |
| NS-SP- VIL | 500 | 225 | 27.6 | 153.0 | 11,400 | 680 | 120 | 306.0 | 86,000 | 3,820 | 240 |
| NS-SP- IIw | 600 | 130 | 10.3 | 78.70 | 2,110 | 203 | 61.8 | 131.2 | 13,000 | 1,000 | 103 |
| NS-SP- IIIw | 600 | 180 | 13.4 | 103.9 | 5,220 | 376 | 81.6 | 173.2 | 32,400 | 1,800 | 136 |
| NS-SP- IVw | 600 | 210 | 18.0 | 135.3 | 8,630 | 539 | 106 | 225.5 | 56,700 | 2,700 | 177 |

Sectional Properties

※Moment of Inertia and Section Modulus are the same as (P - P type) t = 9mm

| | | Steel Pipe Piles | | | | | | | | | | Steel Pipe Sheet Piles | | | | | | | | | | | | | | | | | | | | | |
|----------------|-----------------|-----------------------------------|---------------------|--------------------------------------|------------------------------------|--------------------------|-----------------------------------|--------------------------------------|------------------------------------|------------------------|--------------------------------------|---|--------------------------------------|------------------------------------|------------------------|--------------------------------------|---|--------------------------------------|------------------------------------|--------------------------------------|---------------------|--------------------------------------|------------------------------------|--------------------------------------|---------------------|--------------------------------------|--|--------------------------------------|---------------------|--------------------------------------|------------------------------------|---|---------------------|
| Diameter mm | Thickness mm | Corrosion allowance (0mm) | | | | | Corrosion allowance (1mm) | | | | | Per 1m of pile wall width (L-T type) L65 x 65 x 8 | | | | | Per 1m of pile wall width (L-T type) L75 x 75 x 9 | | | | | Per 1m of pile wall width (P-T type) | | | | | Per 1m of pile wall width (P-P type) t = 9mm | | | | | Per 1m of sheet width (P-P type) t = 1mm * | |
| | | Sectional area cm ² | Unit weight kg/m | Moment of inertia cm ⁴ | Section modulus cm ³ | Radius of gyration cm | Sectional area cm ² | Moment of inertia cm ⁴ | Section modulus cm ³ | Junction gap J65 mm | Sectional area cm ² /m | Unit weight kg/m | Moment of inertia cm ⁴ | Section modulus cm ³ | Junction gap J75 mm | Sectional area cm ² /m | Unit weight kg/m | Moment of inertia cm ⁴ | Section modulus cm ³ | Sectional area cm ² /m | Unit weight kg/m | Moment of inertia cm ⁴ | Section modulus cm ³ | Sectional area cm ² /m | Unit weight kg/m | Moment of inertia cm ⁴ | Section modulus cm ³ | Sectional area cm ² /m | Unit weight kg/m | Moment of inertia cm ⁴ | Section modulus cm ³ | Sectional area cm ² /m | Unit weight kg/m |
| 400 | 6 | 74.3 | 58.3 | 144×10^2 | 72.1 x 10 | 13.9 | 61.7 | 119×10^2 | 59.9×10 | | | | | | | | | | | | | | | | | | | | | | | | |
| | 7 | 86.4 | 67.8 | 167×10^2 | 83.5 x 10 | 13.9 | 73.9 | 142×10^2 | 71.3×10 | | | | | | | | | | | | | | | | | | | | | | | | |
| | 8 | 98.5 | 77.3 | 189×10^2 | 94.7 x 10 | 13.9 | 86.0 | 164×10^2 | 82.6×10 | | | | | | | | | | | | | | | | | | | | | | | | |
| | 9 | 110.6 | 86.8 | 211×10^2 | 106 x 10 | 13.8 | 98.0 | 186×10^2 | 93.7×10 | | | | | | | | | | | | | | | | | | | | | | | | |
| | 10 | 122.5 | 96.2 | 233×10^2 | 117 x 10 | 13.8 | 110.0 | 208×10^2 | 105×10 | | | | | | | | | | | | | | | | | | | | | | | | |
| | 11 | 134.4 | 106 | 254×10^2 | 127 x 10 | 13.8 | 121.9 | 230×10^2 | 115×10 | | | | | | | | | | | | | | | | | | | | | | | | |
| | 12 | 146.3 | 115 | 276×10^2 | 138 x 10 | 13.7 | 133.7 | 251×10^2 | 126×10 | | | | | | | | | | | | | | | | | | | | | | | | |
| | 13 | 158.1 | 124 | 296×10^2 | 148 x 10 | 13.7 | 145.5 | 271×10^2 | 136×10 | | | | | | | | | | | | | | | | | | | | | | | | |
| | 14 | 169.8 | 133 | 317×10^2 | 158 x 10 | 13.7 | 157.2 | 292×10^2 | 147×10 | | | | | | | | | | | | | | | | | | | | | | | | |
| | 15 | 181.4 | 142 | 337×10^2 | 168 x 10 | 13.6 | 168.9 | 312×10^2 | 157×10 | | | | | | | | | | | | | | | | | | | | | | | | |
| 500 | 16 | 193.0 | 152 | 356×10^2 | 178 x 10 | 13.6 | 180.5 | 331×10^2 | 167×10 | | | | | | | | | | | | | | | | | | | | | | | | |
| | 17 | 204.5 | 161 | 376×10^2 | 188 x 10 | 13.6 | 192.0 | 351×10^2 | 176×10 | | | | | | | | | | | | | | | | | | | | | | | | |
| | 6 | 93.1 | 73.1 | 284×10^2 | 114 x 10 | 17.5 | 77.4 | 235×10^2 | 94.5×10 | | | | | | | | | | | | | | | | | | | | | | | | |
| | 7 | 108.4 | 85.1 | 329×10^2 | 132 x 10 | 17.4 | 92.7 | 281×10^2 | 113×10 | | | | | | | | | | | | | | | | | | | | | | | | |
| | 8 | 123.7 | 97.1 | 374×10^2 | 150 x 10 | 17.4 | 108.0 | 325×10^2 | 131×10 | | | | | | | | | | | | | | | | | | | | | | | | |
| | 9 | 138.8 | 109 | 418×10^2 | 167 x 10 | 17.4 | 123.2 | 370×10^2 | 148×10 | | | | | | | | | | | | | | | | | | | | | | | | |
| | 10 | 153.9 | 121 | 462×10^2 | 185 x 10 | 17.3 | 138.3 | 413×10^2 | 166×10 | | | | | | | | | | | | | | | | | | | | | | | | |
| | 11 | 169.0 | 133 | 505×10^2 | 202 x 10 | 17.3 | 153.3 | 457×10^2 | 183×10 | | | | | | | | | | | | | | | | | | | | | | | | |
| | 12 | 184.0 | 144 | 548×10^2 | 219 x 10 | 17.3 | 168.3 | 499×10^2 | 200×10 | | | | | | | | | | | | | | | | | | | | | | | | |
| | 13 | 198.9 | 156 | 590×10^2 | 236 x 10 | 17.2 | 183.2 | 541×10^2 | 217×10 | | | | | | | | | | | | | | | | | | | | | | | | |
| 600 | 14 | 213.8 | 168 | 632×10^2 | 253 x 10 | 17.2 | 198.1 | 583×10^2 | 234×10 | | | | | | | | | | | | | | | | | | | | | | | | |
| | 15 | 228.6 | 179 | 673×10^2 | 269 x 10 | 17.2 | 212.9 | 624×10^2 | 251×10 | | | | | | | | | | | | | | | | | | | | | | | | |
| | 16 | 243.3 | 191 | 713×10^2 | 285 x 10 | 17.1 | 227.6 | 664×10^2 | 267×10 | | | | | | | | | | | | | | | | | | | | | | | | |
| | 17 | 258.0 | 203 | 753×10^2 | 301 x 10 | 17.1 | 242.3 | 704×10^2 | 283×10 | | | | | | | | | | | | | | | | | | | | | | | | |
| | 18 | 272.6 | 214 | 793×10^2 | 317 x 10 | 17.1 | 256.9 | 744×10^2 | 299×10 | | | | | | | | | | | | | | | | | | | | | | | | |
| | 19 | 287.1 | 225 | 832×10^2 | 333 x 10 | 17.0 | 271.4 | 783×10^2 | 314×10 | | | | | | | | | | | | | | | | | | | | | | | | |
| | 20 | 302.7 | 236 | 870×10^2 | 350 x 10 | 17.0 | 296.9 | 834×10^2 | 331×10 | | | | | | | | | | | | | | | | | | | | | | | | |
| | 21 | 319.7 | 248 | 918×10^2 | 368 x 10 | 17.0 | 312.9 | 887×10^2 | 352×10 | | | | | | | | | | | | | | | | | | | | | | | | |
| | 22 | 334.7 | 260 | 966×10^2 | 386 x 10 | 17.0 | 326.7 | 940×10^2 | 373×10 | | | | | | | | | | | | | | | | | | | | | | | | |
| | 23 | 350.5 | 272 | 1014×10^2 | 404 x 10 | 17.0 | 340.7 | 993×10^2 | 400×10 | | | | | | | | | | | | | | | | | | | | | | | | |
| 65.1 | 24 | 366.3 | 284 | 1062×10^2 | 422 x 10 | 17.0 | 350.7 | 1045×10^2 | 419×10 | | | | | | | | | | | | | | | | | | | | | | | | |
| | 25 | 382.1 | 296 | 1110×10^2 | 440 x 10 | 17.0 | 364.9 | 1098×10^2 | 438×10 | | | | | | | | | | | | | | | | | | | | | | | | |
| | 26 | 397.9 | 308 | 1168×10^2 | 458 x 10 | 17.0 | 387.0 | 1151×10^2 | 450×10 | | | | | | | | | | | | | | | | | | | | | | | | |
| | 27 | 413.5 | 320 | 1215×10^2 | 476 x 10 | 17.0 | 404.0 | 1208×10^2 | 476×10 | | | | | | | | | | | | | | | | | | | | | | | | |
| | 28 | 429.1 | 332 | 1272×10^2 | 494 x 10 | 17.0 | 414.1 | 1261×10^2 | 515×10 | | | | | | | | | | | | | | | | | | | | | | | | |
| | 29 | 444.8 | 344 | 1329×10^2 | 512 x 10 | 17.0 | 424.2 | 1320×10^2 | 534×10 | | | | | | | | | | | | | | | | | | | | | | | | |
| | 30 | 460.5 | 356 | 1386×10^2 | 530 x 10 | 17.0 | 434.6 | 1373×10^2 | 553×10 | | | | | | | | | | | | | | | | | | | | | | | | |
| | 31 | 477.2 | 368 | 1443×10^2 | 548 x 10 | 17.0 | 445.6 | 1426×10^2 | 572×10 | | | | | | | | | | | | | | | | | | | | | | | | |
| | 32 | 492.9 | 380 | 1500×10^2 | 566 x 10 | 17.0 | 457.1 | 1479×10^2 | 591×10 | | | | | | | | | | | | | | | | | | | | | | | | |
| | 33 | 508.6 | 392 | 1557×10^2 | 580 x 10 | 17.0 | 468.2 | 1550×10^2 | 600×10 | | | | | | | | | | | | | | | | | | | | | | | | |
| 65.1 | 34 | 524.3 | 404 | 1614×10^2 | 618 x 10 | 17.0 | 479.0 | 1603×10^2 | 628×10 | | | | | | | | | | | | | | | | | | | | | | | | |
| | 35 | 540.1 | 416 | 1661×10^2 | 636 x 10 | 17.0 | 490.9 | 1652×10^2 | 646×10 | | | | | | | | | | | | | | | | | | | | | | | | |
| | 36 | 555.7 | 428 | 1718×10^2 | 654 x 10 | 17.0 | 501.8 | 1 | | | | | | | | | | | | | | | | | | | | | | | | | |

Sectional Properties

*Moment of Inertia and Section Modulus are the same as (P - P type) t = 9mm

| | | Steel Pipe Piles | | | | | | | | | | | | Steel Pipe Sheet Piles | | | | | | | | | | | | | | | | | | | |
|----------------|-----------------|-----------------------------------|---------------------|--------------------------------------|------------------------------------|--------------------------|-----------------------------------|--------------------------------------|------------------------------------|------------------------|--------------------------------------|-----------------------|--------------------------------------|---|------------------------|--------------------------------------|---------------------|--------------------------------------|------------------------------------|---|-----------------------|--------------------------------------|------------------------------------|--------------------------------------|---------------------|--|------------------------------------|--------------------------------------|---------------------|--------------------------------------|------------------------------------|---|--|
| Diameter mm | Thickness mm | Corrosion allowance (0mm) | | | | | | Corrosion allowance (1mm) | | | | | | Per 1m of pile wall width (L - T type) L65 × 65 × 8 | | | | | | Per 1m of pile wall width (L - T type) L75 × 75 × 9 | | | | | | Per 1m of pile wall width (P - T type) | | | | | | Per 1m of sheet width (P - P type) t = 1mm * | |
| | | Sectional area cm ² | Unit weight kg/m | Moment of inertia cm ⁴ | Section modulus cm ³ | Radius of gyration cm | Sectional area cm ² | Moment of inertia cm ⁴ | Section modulus cm ³ | Junction gap J65 mm | Sectional area cm ² /m | Unit weight kg/m | Moment of inertia cm ⁴ | Section modulus cm ³ | Junction gap J75 mm | Sectional area cm ² /m | Unit weight kg/m | Moment of inertia cm ⁴ | Section modulus cm ³ | Sectional area cm ² /m | Unit weight kg/m | Moment of inertia cm ⁴ | Section modulus cm ³ | Sectional area cm ² /m | Unit weight kg/m | Moment of inertia cm ⁴ | Section modulus cm ³ | Sectional area cm ² /m | Unit weight kg/m | Moment of inertia cm ⁴ | Section modulus cm ³ | | |
| | | cm ² | kg/m | cm ⁴ | cm ³ | cm | cm ² | cm ⁴ | cm ³ | mm | cm ² /m | kg/m | cm ⁴ | cm ³ | mm | cm ² /m | kg/m | cm ⁴ | cm ³ | mm | kg/m | cm ⁴ | cm ³ | mm | kg/m | cm ⁴ | cm ³ | mm | kg/m | cm ⁴ | cm ³ | | |
| 700 | 7 | 152.4 | 120 | 915 × 10 ² | 261 × 10 | 24.5 | 130.4 | 781 × 10 ² | 224 × 10 | — | — | — | — | — | — | — | 306.2 | 240 | 151 × 10 ³ | 431 × 10 | 288.1 | 226 | 133 × 10 ³ | 379 × 10 | 299.4 | 235 | 123 × 10 ³ | 351 × 10 | 318.5 | 250 | | | |
| | 8 | 173.9 | 137 | 104 × 10 ³ | 297 × 10 | 24.5 | 152.0 | 907 × 10 ² | 260 × 10 | — | — | — | — | — | — | — | 329.3 | 258 | 167 × 10 ³ | 476 × 10 | 312.4 | 245 | 147 × 10 ³ | 419 × 10 | 322.0 | 253 | 136 × 10 ³ | 389 × 10 | 341.1 | 268 | | | |
| | 9 | 195.4 | 153 | 117 × 10 ³ | 333 × 10 | 24.4 | 173.4 | 103 × 10 ³ | 296 × 10 | 301.4 | 237 | 152 × 10 ³ | 435 × 10 | 361.5 | 284 | 183 × 10 ³ | 522 × 10 | 336.6 | 264 | 161 × 10 ³ | 459 × 10 | 344.5 | 270 | 149 × 10 ³ | 426 × 10 | 363.6 | 285 | | | | | | |
| | 10 | 216.8 | 170 | 129 × 10 ³ | 369 × 10 | 24.4 | 194.8 | 116 × 10 ³ | 331 × 10 | 329.3 | 258 | 168 × 10 ³ | 481 × 10 | 384.9 | 302 | 200 × 10 | 572 × 10 | 388.9 | 305 | 198 × 10 ³ | 567 × 10 | 360.8 | 283 | 174 × 10 ³ | 498 × 10 | 366.9 | 288 | | | | | | |
| | 11 | 238.1 | 187 | 141 × 10 ³ | 404 × 10 | 24.4 | 216.1 | 128 × 10 ³ | 367 × 10 | 357.1 | 280 | 184 × 10 ³ | 527 × 10 | 416.4 | 327 | 214 × 10 ³ | 611 × 10 | 384.9 | 320 | 188 × 10 ³ | 538 × 10 | 389.3 | 306 | 175 × 10 ³ | 499 × 10 | 404.8 | 321 | | | | | | |
| | 12 | 259.4 | 204 | 154 × 10 ³ | 439 × 10 | 24.3 | 237.4 | 140 × 10 ³ | 401 × 10 | 384.9 | 302 | 200 × 10 | 572 × 10 | 440.1 | 345 | 232 × 10 ³ | 662 × 10 | 443.7 | 348 | 229 × 10 ³ | 693 × 10 | 408.9 | 321 | 202 × 10 ³ | 576 × 10 | 411.6 | 323 | | | | | | |
| | 13 | 280.6 | 220 | 166 × 10 ³ | 473 × 10 | 24.3 | 258.6 | 152 × 10 ³ | 436 × 10 | 412.5 | 324 | 216 × 10 ³ | 617 × 10 | 476.7 | 367 | 247 × 10 ³ | 693 × 10 | 470.9 | 370 | 245 × 10 ³ | 693 × 10 | 432.9 | 340 | 215 × 10 ³ | 615 × 10 | 439.9 | 311 | | | | | | |
| | 14 | 301.7 | 237 | 178 × 10 ³ | 507 × 10 | 24.3 | 279.8 | 164 × 10 ³ | 470 × 10 | 495.0 | 389 | 262 × 10 | 750 × 10 | 495.0 | 391 | 260 × 10 ³ | 743 × 10 | 456.7 | 359 | 229 × 10 ³ | 653 × 10 | 456.0 | 358 | 212 × 10 ³ | 607 × 10 | 475.1 | 373 | | | | | | |
| | 15 | 322.8 | 253 | 189 × 10 ³ | 541 × 10 | 24.2 | 300.8 | 176 × 10 ³ | 504 × 10 | 522.3 | 410 | 278 × 10 ³ | 793 × 10 | 522.3 | 412 | 275 × 10 ³ | 788 × 10 | 486.0 | 377 | 242 × 10 ³ | 691 × 10 | 478.0 | 375 | 225 × 10 ³ | 642 × 10 | 497.2 | 390 | | | | | | |
| | 16 | 343.8 | 270 | 201 × 10 ³ | 575 × 10 | 24.2 | 321.9 | 188 × 10 ³ | 538 × 10 | 536.7 | 433 | 290 × 10 ³ | 836 × 10 | 536.7 | 433 | 290 × 10 ³ | 829 × 10 | 504.4 | 396 | 255 × 10 ³ | 729 × 10 | 500.1 | 393 | 237 × 10 ³ | 676 × 10 | 519.3 | 408 | | | | | | |
| | 17 | 364.8 | 286 | 213 × 10 ³ | 608 × 10 | 24.2 | 342.8 | 199 × 10 ³ | 571 × 10 | 549.6 | 451 | 303 × 10 ³ | 879 × 10 | 549.6 | 451 | 303 × 10 ³ | 871 × 10 | 528.1 | 415 | 268 × 10 ³ | 766 × 10 | 522.1 | 410 | 249 × 10 ³ | 711 × 10 | 541.2 | 425 | | | | | | |
| | 18 | 385.7 | 303 | 224 × 10 ³ | 641 × 10 | 24.1 | 363.7 | 211 × 10 ³ | 604 × 10 | 567.6 | 453 | 308 × 10 ³ | 879 × 10 | 567.6 | 453 | 308 × 10 ³ | 879 × 10 | 534.0 | 423 | 281 × 10 ³ | 802 × 10 | 544.0 | 427 | 261 × 10 ³ | 745 × 10 | 563.2 | 442 | | | | | | |
| | 19 | 406.5 | 319 | 236 × 10 ³ | 674 × 10 | 24.1 | 384.5 | 222 × 10 ³ | 637 × 10 | 603.8 | 474 | 324 × 10 ³ | 921 × 10 | 603.8 | 474 | 324 × 10 ³ | 913 × 10 | 551.7 | 433 | 281 × 10 ³ | 839 × 10 | 565.8 | 444 | 273 × 10 ³ | 779 × 10 | 585.0 | 459 | | | | | | |
| | 20 | 427.3 | 335 | 247 × 10 ³ | 706 × 10 | 24.1 | 405.3 | 234 × 10 ³ | 670 × 10 | 605.9 | 476 | 319 × 10 ³ | 921 × 10 | 605.9 | 476 | 319 × 10 ³ | 913 × 10 | 551.7 | 433 | 281 × 10 ³ | 839 × 10 | 565.8 | 444 | 284 × 10 ³ | 813 × 10 | 606.8 | 476 | | | | | | |
| | 21 | 448.0 | 352 | 258 × 10 ³ | 738 × 10 | 24.0 | 426.0 | 245 × 10 ³ | 702 × 10 | 630.8 | 495 | 337 × 10 ³ | 963 × 10 | 630.8 | 495 | 337 × 10 ³ | 954 × 10 | 575.2 | 452 | 294 × 10 ³ | 839 × 10 | 565.8 | 444 | 273 × 10 ³ | 779 × 10 | 585.0 | 459 | | | | | | |
| | 22 | 466.8 | 368 | 270 × 10 ³ | 770 × 10 | 24.0 | 446.6 | 256 × 10 ³ | 734 × 10 | 657.7 | 516 | 352 × 10 ³ | 995 × 10 | 657.7 | 516 | 352 × 10 ³ | 995 × 10 | 598.6 | 470 | 306 × 10 ³ | 875 × 10 | 587.6 | 461 | 284 × 10 ³ | 813 × 10 | 606.8 | 476 | | | | | | |
| 800 | 8 | 199.1 | 156 | 156 × 10 ³ | 390 × 10 | 26.0 | 173.9 | 136 × 10 ³ | 341 × 10 | — | — | — | — | — | — | — | 298.8 | 235 | 202 × 10 ³ | 504 × 10 | 287.5 | 226 | 179 × 10 ³ | 446 × 10 | 297.8 | 234 | 167 × 10 ³ | 417 × 10 | 315.1 | 247 | | | |
| | 9 | 223.6 | 176 | 175 × 10 ³ | 437 × 10 | 26.0 | 198.5 | 155 × 10 ³ | 388 × 10 | 327.1 | 257 | 214 × 10 ³ | 553 × 10 | 327.1 | 260 | 223 × 10 ³ | 553 × 10 | 312.5 | 245 | 198 × 10 ³ | 494 × 10 | 312.2 | 252 | 185 × 10 ³ | 462 × 10 | 338.5 | 266 | | | | | | |
| | 10 | 248.2 | 195 | 194 × 10 ³ | 484 × 10 | 26.9 | 223.1 | 174 × 10 ³ | 435 × 10 | 359.0 | 282 | 242 × 10 ³ | 605 × 10 | 359.0 | 282 | 242 × 10 ³ | 605 × 10 | 337.5 | 265 | 217 × 10 ³ | 514 × 10 | 344.6 | 270 | 202 × 10 ³ | 507 × 10 | 361.9 | 284 | | | | | | |
| | 11 | 272.7 | 214 | 212 × 10 ³ | 531 × 10 | 27.9 | 247.6 | 192 × 10 ³ | 482 × 10 | 355.3 | 279 | 245 × 10 ³ | 611 × 10 | 355.3 | 282 | 264 × 10 ³ | 659 × 10 | 362.4 | 285 | 235 × 10 ³ | 588 × 10 | 367.9 | 289 | 220 × 10 ³ | 551 × 10 | 385.2 | 302 | | | | | | |
| | 12 | 297.1 | 233 | 231 × 10 ³ | 577 × 10 | 27.9 | 272.0 | 211 × 10 ³ | 528 × 10 | 383.4 | 301 | 266 × 10 | 664 × 10 | 383.4 | 301 | 266 × 10 | 664 × 10 | 386.9 | 304 | 250 × 10 ³ | 635 × 10 | 367.9 | 303 | 228 × 10 ³ | 594 × 10 | 408.4 | 321 | | | | | | |
| | 13 | 321.4 | 252 | 249 × 10 ³ | 622 × 10 | 27.8 | 296.3 | 229 × 10 ³ | 574 × 10 | 411.5 | 323 | 287 × 10 | 717 × 10 | 411.5 | 323 | 284 × 10 ³ | 711 × 10 | 387.3 | 304 | 254 × 10 ³ | 635 × 10 | 391.1 | 307 | 238 × 10 ³ | 594 × 10 | 408.4 | 321 | | | | | | |
| | 14 | 345.7 | 271 | 267 × 10 ³ | 668 × 10 | 27.8 | 320.6 | 247 × 10 ³ | 619 × 10 | 439.5 | 345 | 308 × 10 | 729 × 10 | 439.5 | 345 | 305 × 10 ³ | 730 × 10 | 442.5 | 347 | 273 × 10 ³ | 680 × 10 | 454.7 | 357 | 227 × 10 ³ | 680 × 10 | 454.7 | 357 | | | | | | |
| | 15 | 369.9 | 290 | 285 × 10 ³ | 713 × 10 | 27.8 | 344.8 | 265 × 10 ³ | 664 × 10 | 467.4 | 367 | 328 × 10 ³ | 821 × 10 | 467.4 | 367 | 328 × 10 ³ | 821 × 10 | 481.6 | 362 | 309 × 10 ³ | 733 × 10 | 460.5 | 361 | 289 × 10 ³ | 722 × 10 | 477.8 | 375 | | | | | | |
| | 16 | 394.1 | 309 | 303 × 10 ³ | 757 × 10 | 27.7 | 369.0 | 283 × 10 ³ | 709 × 10 | 495.2 | 389 | 349 × 10 ³ | 873 × 10 | 495.2 | 389 | 349 × 10 ³ | 873 × 10 | 507.5 | 391 | 346 × 10 ³ | 865 × 10 | 506.5 | 361 | 289 × 10 ³ | 722 × 10 | 477.8 | 375 | | | | | | |
| | 17 | 418.2 | 328 | 321 × 10 ³ | 802 × 10 | 27.7 | 393.1 | 301 × 10 ³ | 753 × 10 | 523.0 | 411 | 369 × 10 ³ | 924 × 10 | 523.0 | 411 | 369 × 10 ³ | 924 × 10 | 552.7 | 434 | 386 × 10 ³ | 966 × 10 | 510.6 | 401 | 345 × 10 ³ | 807 × 10 | 523.7 | 411 | | | | | | |
| | 18 | 442.2 | 347 | 338 × 10 ³ | 846 × 10 | 27.7 | 417.1 | 318 × 10 ³ | 797 × 10 | 560.7 | 432 | 380 × 10 ³ | 974 × 10 | 560.7 | 432 | 380 × 10 ³ | 974 × 10 | 580.1 | 455 | 406 × 10 ³ | 102 × 10 ² | 535.1 | 420 | 363 × 10 ³ | 907 × 10 | 529.2 | 415 | | | | | | |
| | 19</td | | | | | | | | | | | | | | | | | | | | | | | | | | | | | | | | |

Daftar Harga Steel Sheet Pile (Turap Baja)

| No. | Type | Ukuran (mm) | Berat (Kg/12m) | Harga (Rp) |
|-----|------|------------------|----------------|------------|
| 1 | II | 400 x 100 x 10,5 | 576,0 | 5.705.000 |
| 2 | III | 400 x 125 x 13,0 | 720,0 | 7.130.000 |
| 3 | IV | 400 x 170 x 15,5 | 913,2 | 9.045.000 |

Keterangan:

1. Harga *include* PPn
2. Harga *locco* mitra perusahaan di Jakarta *on truck*
3. Harga dapat berubah tanpa pemberitahuan terlebih dahulu
4. Pembayaran *cash* atau transfer sebelum material diambil atau kami kirim
5. Material siap diambil atau dikirim selambat-lambatnya 3 hari kerja setelah uang pembayaran kami terima



PT TIGA BARAYA JAYA

Marketing Office: Jl.Pinus Niaga No 22 Pine forest Sentul City Bogor , Jawa barat

Telp : 021 - 292 32 150 (Hunting) / Fax : 021 - 292 32 149

Email : besibajamurah@gmail.com | Web : www.tigabaja.com

TO :

Quo No. : 16120715/AG/TBJ/IV/16

Date 07/12/2016

Attn : Ibu.Noor H Aisyah

Telep : 0821 4164 4036

Email : noorhadiawati.a@gmail.com

QOUTATION

| No | Descriptions Of Goods | QTY | Unit Price | Amount |
|--------------------------------|---|-------|---------------|------------------------------|
| | Besi Beton Krakatau Steel (KS) SNI Bersertifikat Toleransi 0,1mm | | | |
| 1 | Besi Beton Ulir ø32mm x 12m | 75,72 | Rp 560.328,00 | Rp 2.104.031.640,00 |
| 2 | Besi Beton Ulir ø25mm x 12m | 46,20 | Rp 341.880,00 | Rp 1.048.545.960,00 |
| 3 | Besi Beton Ulir ø22mm x 12m | 35,76 | Rp 264.624,00 | Rp 70.016.070.288,00 |
| 4 | Besi Beton Ulir ø19mm x 12m | 26,76 | Rp 198.024,00 | Rp 77.651.547.168,00 |
| 5 | Besi Beton Ulir ø16mm x 12m | 19,00 | Rp 140.600,00 | Rp 43.559.567.200,00 |
| 6 | Besi Beton Ulir ø13mm x 12m | 12,48 | Rp 92.352,00 | Rp 332.097.792,00 |
| 7 | Besi Beton Ulir ø10mm x 12m | 7,40 | Rp 54.760,00 | Rp 74.309.320,00 |
| 8 | Besi Beton Polos ø8mm x 12m | 4,74 | Rp 35.076,00 | Rp 47.598.132,00 |
| | | | | |
| Sub Total | | | | Rp 194.833.767.500,00 |
| Freight | | | | Rp 28.961.776.250,00 |
| Harga Sudah Include PPN | | | | |
| Grand Total | | | | Rp 223.795.543.750,00 |

Terms & Conditions

| | |
|-------------------|-------------------------|
| > Currency | : IDR (Rupiah) |
| > Payment | : Cash (TT) |
| > Time Of Delever | : 1-2 Day After Payment |
| > Stock | : Ready |
| > Validity | : 2 Days |

Harga dan stock tidak mengikat apabila terjadi perubahan karena kebijakan moneter atau yang lainnya maka penawaran ini akan ditinjau kembali

For and on behalf of
Tiga Baraya Jaya, PT

BANK MANDIRI
NO REKENING : 133-00-33-8474-01
ATAS NAMA : PT TIGA BARAYA JAYA

Hary Riyana
Contact : 08128 190 5631

**PT. BANUA BETON**

Jalan A Yani km. 16,300 kec.Gambut Kab.Banjar

Kalimantan Selatan – Indonesia

Telp. (0511) 6746026 , Email : banuabeton@pancagroup.com

Banjarmasin, 08 Desember 2016

Perihal : Surat penawaran harga *Ready Mix*

Lampiran : -

Kepada Yth.

Ibu Noor Hadiawati Aisyah

Dengan hormat,

Menindak lanjuti permintaan penawaran harga beton untuk kegiatan Pembangunan Kolam Renang Banjarmasin Kalimantan Selatan, berikut penawaran harga dari kami :

| No | Mutu Beton | Harga Satuan | Keterangan |
|----|------------|-----------------|------------|
| 1 | K 100 | Rp. 675.000,- | |
| 2 | K 125 | Rp. 715.000,- | |
| 3 | K 150 | Rp. 750.000,- | |
| 4 | K 175 | Rp. 805.000,- | |
| 5 | K 200 | Rp. 860.000,- | |
| 6 | K 225 | Rp. 910.000,- | |
| 7 | K 250 | Rp. 965.000,- | |
| 8 | K 275 | Rp. 1.040.000,- | |
| 9 | K 300 | Rp. 1.075.000,- | |
| 10 | K 325 | Rp. 1.185.000,- | |
| 11 | K 350 | Rp. 1.235.000,- | |
| 12 | K 375 | Rp. 1.275.000,- | |
| 13 | K 400 | Rp. 1.335.000,- | |

1. Lokasi *Batching Plant* di Jl. A Yani KM 16.300 Kec. Gambut Kab. Banjar Kalimantan Selatan.
2. Kapasitas *Batching Plant* perjam 60 kubik.



PT. BANUA BETON

Jalan A Yani km. 16,300 kec.Gambut Kab.Banjar

Kalimantan Selatan – Indonesia

Telp. (0511) 6746026 , Email : banuabeton@pancagroup.com

3. Kapasitas Truck Mixer yang kami miliki kapasitas 3,5 M³ sebanyak 4 unit, kapasitas 6 M³ sebanyak 9 unit, kapasitas 7,5 M³ sebanyak 5 unit.
4. Jika ada permintaan khusus menggunakan *Additive accelerator* dikenakan biaya tambahan Rp. 45.000,- per kubik

Demikian surat penawaran dari kami, atas perhatiannya kami ucapkan terima kasih.

Hormat kami,



Immanuel Junaedy

Direktur

| Analisa ID | Nama Analisa Harga Satuan Pekerjaan | Satuan | Harga Upah | Harga Bahan | Harga Alat | Harga Jadi |
|------------|--|-----------|---------------|---------------|----------------|----------------|
| 4182 | Membuat stapling pergeseran wesel | unit | 2.806.542,66 | 0,00 | 0,00 | 2.806.542,66 |
| 4183 | Memasukkan / mengeluarkan wesel per unit wesel R.54 | unit | 16.296.874,38 | 0,00 | 0,00 | 16.296.874,38 |
| 4184 | Angkat listring R.54 | unit | 169.584,89 | 0,00 | 0,00 | 169.584,89 |
| 4185 | Pemasangan dan penyetelan wesel .54 | m' | 24.369.876,32 | 0,00 | 0,00 | 24.369.876,32 |
| 4186 | Angkutan rel dan wesel dari gudang ke lokasi pekerjaan | m3 | 650.594,80 | 297.891,85 | 0,00 | 948.486,65 |
| 4187 | Galian balas, buang tanah profil balas | m' | 7.099,43 | 0,00 | 120.701,35 | 127.800,78 |
| 4188 | Pekerjaan sub drain | m' | 51.483,43 | 1.014.000,00 | 122.652,60 | 1.188.136,03 |
| 4189 | Pengamanan lintasan | set | 2.020.374,00 | 0,00 | 0,00 | 2.020.374,00 |
| 4190 | Membuat kompromis 1 set | 100m'jr | 249.775,53 | 1.466.106,75 | 452.696,67 | 2.168.578,95 |
| 4191 | Angkat listring 100 m'jr | m'jr | 16.958.489,49 | 0,00 | 0,00 | 16.958.489,49 |
| 4192 | Menggeser jalan rel bantalan beton per m'jr | 50m'jr | 72.310,51 | 0,00 | 0,00 | 72.310,51 |
| 4193 | Menggeser jalan rel bantalan beton per 50 m'jr | m'jr | 3.615.525,55 | 0,00 | 0,00 | 3.615.525,55 |
| 4194 | Menyetel jalan rel bantalan beton per m'jr | 50m'jr | 287.217,87 | 0,00 | 0,00 | 287.217,87 |
| 4195 | Menyetel jalan rel bantalan beton per 50 m'jr | set | 14.360.893,44 | 0,00 | 0,00 | 14.360.893,44 |
| 4196 | Memasang plat sambung /set | set | 27.129,88 | 4.811.244,40 | 0,00 | 4.838.374,28 |
| 4197 | Pekerjaan switch over | m' | 39.628.242,76 | 36.838.258,62 | 3.646.266,82 | 80.112.768,21 |
| 4198 | Perbaikan tanah dasar dan dolken | m' | 10.127,39 | 25.840,50 | 50.000,00 | 85.967,89 |
| 4199 | Pengadaan dan pemasangan pagar panel beton t=2m, untuk 3 m' | 3m' | 1.384.438,81 | 2.543.599,58 | 1.155.054,41 | 5.083.092,80 |
| 4200 | Pengadaan dan pemasangan pagar panel beton t=2m | m' | 461.433,45 | 847.781,74 | 384.979,64 | 1.694.194,83 |
| 4201 | Pengadaan dan pemasangan U-Ditch precast K.350 | m2 | 127.958,26 | 1.187.003,59 | 264.795,67 | 1.579.757,53 |
| 4202 | Memasang U-Ditch precast | bh | 30.499,23 | 924.000,00 | 252.316,70 | 1.206.815,93 |
| 4203 | Urugan pasir | m3 | 25.484,37 | 305.877,37 | 0,00 | 331.361,74 |
| 4204 | Beton K.225 | m3 | 172.878,85 | 898.118,91 | 0,00 | 1.070.997,77 |
| 4205 | Bahan pengisi | m3 | 25.484,37 | 7.248,28 | 0,00 | 32.732,65 |
| 4206 | Pengadaan L Shape beton K.350 | btg | 245.456,39 | 1.227.891,35 | 1.749.077,29 | 3.222.425,03 |
| 4207 | Pemasangan L Shape t=1,8m | bh | 89.690,56 | 924.000,00 | 1.739.794,32 | 2.753.484,88 |
| 4208 | Gali dan bongkar jalan aspal /m3 | m3 | 7.797,38 | 0,00 | 120.701,35 | 128.498,73 |
| 4209 | Menggilas alas jalan / bulan | unit | 18.370.428,75 | 0,00 | 369.912.900,00 | 388.283.328,75 |
| 4210 | Menggilas alas jalan tebal 15 cm /m2 | 15cm/m2 | 2.449,39 | 0,00 | 49.321,72 | 51.771,11 |
| 4211 | Menggilas alas jalan tebal 8 cm /100m2 | 8cm/100m2 | 489.878,10 | 0,00 | 9.864.344,00 | 10.354.222,10 |
| 4212 | Menggilas alas jalan tebal 8 cm /m2 | 8cm/m2 | 13.079,75 | 0,00 | 263.377,98 | 276.457,73 |
| 4213 | Pemasangan alas jalan tebal 15 cm /m2 (paklaag batu kali) | 15cm/m2 | 35.110,78 | 52.430,37 | 49.321,72 | 136.862,87 |
| 4214 | Pemasangan lapisan kulit penahan tebal 8cm/100m2 setelah digilas (slylaag) | 8cm/100m2 | 1.142.485,95 | 2.209.368,10 | 9.864.344,00 | 13.216.198,05 |
| 4215 | Pemasangan lapisan kulit penahan tebal 6cm/m2 setelah digilas (slylaag) | 6cm/m2 | 8.568,64 | 16.570,26 | 73.982,58 | 99.121,49 |
| 4216 | Pemasangan lapis pondasi per 100 m2 | 100m2 | 1.142.485,95 | 2.209.368,10 | 9.864.344,00 | 13.216.198,05 |
| 4217 | Pemasangan lapis pondasi per m2 | m2 | 11.424,86 | 22.093,68 | 98.643,44 | 132.161,98 |
| 4218 | Lapis aspal permukaan tebal 6 cm/m2 | 6cm/m2 | 18.667,25 | 59.417,98 | 493,22 | 78.578,45 |
| 4219 | Pengaspalan jalan/perlintasan /m2 | m2 | 76.220,93 | 150.512,29 | 271.762,68 | 498.495,90 |
| 4220 | Mobilisasi dan demobilisasi | ls | 0,00 | 0,00 | 826.896,00 | 826.896,00 |
| 4221 | Pembuatan Gudang Kontraktor ukuran 18 m2 | m2 | 836.879,10 | 6.845.273,36 | 0,00 | 7.682.152,46 |
| 4222 | Pengukuran,gambar,pasang patok dan kontrol pengukuran selama pekerjaan berlangsung | ls | 4.744.887,18 | 15.276.190,00 | 4.199.250,00 | 24.220.327,18 |
| 4223 | Pembersihan lapangan termasuk penebangan pohon dan ganti rugi tanaman terkena proyek | m2 | 21.443,62 | 0,00 | 97.905,00 | 119.348,62 |
| 4228 | Dokumentasi/ Manual Operation | ls | 31.156.000,00 | 14.000.000,00 | 0,00 | 45.156.000,00 |
| 4229 | Izin mendirikan Bangunan Gardu Traksi dan Rumah Jaga | ls | 0,00 | 64.350.000,00 | 0,00 | 64.350.000,00 |
| 4230 | Keamanan dan Keselamatan Kerja Termasuk Penjagaan Material, Peralatan dan Tenaga Ahli | bln | 18.135.000,00 | 0,00 | 0,00 | 18.135.000,00 |
| 4231 | Pekerjaan Persiapan dan Item Umum Pembangunan Gardu Listrik/Substation Kereta Api | bln | 0,00 | 0,00 | 0,00 | 0,00 |
| 4232 | Pekerjaan beton lantai kerja tebal 5 cm | m3 | 59.600,00 | 609.000,00 | 0,00 | 668.600,00 |
| 4233 | Balok atap beton K-250 (225 kg/m3) | m3 | 59.600,00 | 6.429.221,75 | 31.571,69 | 6.520.393,44 |
| 4234 | Plat atap dan parapet beton bertulang K-250 (150 kg/m3) | m3 | 59.600,00 | 4.896.164,50 | 47.429,09 | 5.003.193,59 |
| 4235 | Beton kabel trance, beton bertulang k-250 (50 kg/m3) | m3 | 59.600,00 | 2.736.821,50 | 31.571,69 | 2.827.993,19 |
| 4236 | Balok dan Kolom dudukan Trafo, beton bertulang K-250 (225 kg/m3) | m3 | 59.600,00 | 6.429.221,75 | 31.571,69 | 6.520.393,44 |
| 4237 | Pekerjaan Bak Kontrol beton bertulang | bah | 59.600,00 | 3.695.236,33 | 47.429,09 | 3.802.265,41 |
| 4238 | Pekerjaan Jendela S1 | bah | 596.506,05 | 913.700,00 | 0,00 | 1.510.206,05 |
| 4239 | Pekerjaan kusen (1000 x 2800)dan pintu plat S2 (900 x 2100) | bah | 650.077,20 | 10.982.750,00 | 0,00 | 11.632.827,20 |
| 4240 | Pekerjaan kusen (2100 x 3700) dan pintu plat S3 (2x1000 x 3000) | bah | 1.909.986,04 | 13.167.640,00 | 0,00 | 15.077.626,04 |
| 4241 | Pekerjaan kusen (1700 x 3700) dan pintu plat S4 (2x800 x 3000) | bah | 1.874.805,56 | 5.454.160,00 | 0,00 | 7.328.965,56 |
| 4242 | Pekerjaan pagar wire mess, kusen dan pintu wire mess S6 (4100 x 4000) | bah | 2.364.171,96 | 4.390.802,00 | 0,00 | 6.754.973,96 |
| 4243 | Pekerjaan kusen dan pintu kayu / Aluminium W1 | bah | 530.395,20 | 879.167,00 | 0,00 | 1.409.562,20 |
| 4244 | Pekerjaan Cat dinding dalam dan dak per M2 | m2 | 13.990,98 | 27.572,17 | 0,00 | 41.563,14 |
| 4245 | Pekerjaan Cat dinding luar dan list plank per M2 | m2 | 13.990,98 | 29.910,20 | 0,00 | 43.901,18 |
| 4246 | Pekerjaan Floor hardener per M^2 | m2 | 24.894,86 | 8.415,55 | 0,00 | 33.310,41 |
| 4247 | Pekerjaan tutup tranche kabel (checkered plate t =5 mm), hot dip galvanized | m2 | 66.460,66 | 1.231.729,53 | 0,00 | 1.298.190,19 |
| 4248 | Perlengkapan Kantor | set | 0,00 | 6.179.000,00 | 0,00 | 6.179.000,00 |
| 4249 | Pekerjaan pipa air kotor PVC dia 6 inch | m' | 18.839,35 | 162.613,25 | 0,00 | 181.452,60 |
| 4250 | Pekerjaan pipa air hujan PVC dia 6 inch | m' | 18.839,35 | 162.613,25 | 0,00 | 181.452,60 |
| 4251 | Pipa Galvanis dia. 4" (untuk feeder dan return cable) | kg | 1.903,59 | 18.489,60 | 0,00 | 20.393,19 |
| 4252 | Pekerjaan pipa air bersih PVC dia 0,5 inch | m' | 18.839,35 | 3.600,00 | 0,00 | 22.439,35 |
| 4253 | Pekerjaan sumur bor dan pompa 250 watt | unit | 825.000,00 | 3.807.129,00 | 0,00 | 4.632.129,00 |
| 4254 | Pekerjaan menara dan tandon air 1 m3 (Tandon Stainless steel) | unit | 825.000,00 | 1.442.000,00 | 0,00 | 2.267.000,00 |
| 4255 | Pekerjaan Septic tank 2 m3 | unit | 1.832.007,99 | 8.050.000,00 | 0,00 | 9.882.007,99 |
| 4256 | Kran, floor drain dan roof drain | unit | 90.420,72 | 37.450,00 | 0,00 | 127.870,72 |
| 4257 | Pekerjaan Air conditioner 1,5 PK | unit | 31.484,75 | 3.817.000,00 | 0,00 | 3.848.484,75 |
| 4258 | Pekerjaan Exhaus fan | unit | 17.631,46 | 3.546.926,40 | 0,00 | 3.564.557,86 |
| 4259 | Pekerjaan instalasi lampu titik penerangan (termasuk kabel dan titik lampu @ TL 2x40 watt) | titik | 45.956,79 | 332.000,00 | 0,00 | 377.956,79 |
| 4260 | Pekerjaan instalasi lampu titik penerangan (termasuk kabel dan titik lampu @ SL 25 watt) | titik | 45.956,79 | 332.750,00 | 0,00 | 378.706,79 |
| 4261 | Pekerjaan Lampu Exit/Emergency 25W | titik | 47.196,67 | 389.400,00 | 0,00 | 436.596,67 |
| 4262 | Pekerjaan instalasi titik daya 1 phase (termasuk kabel dan stop kontak) | titik | 54.234,88 | 246.400,00 | 0,00 | 300.634,88 |

1. PERHITUNGAN BESAR PEMAMPATAN (S_c) DAN TINGGI TIMBUNAN AWAL ($H_{INITIAL}$)

Tabel 1 Perhitungan Tegangan *Overburden* dan Tegangan Prakonsolidasi

| No | Jenis Tanah | Tebal Lapisan | Z | Pusat | γ_{SAT} | γ_W | γ' | P_o' | Fluktuasi air | P_c' | Cek | |
|----|-------------------|---------------|-------|-------|--------------------|--------------------|--------------------|--------------------|--------------------|--------------------|-------------|-----|
| | | (m) | (m) | (m) | ton/m ³ | ton/m ³ | ton/m ³ | ton/m ² | ton/m ² | ton/m ² | P_c'/P_o' | OCR |
| 1 | Pasir Kelanauan | 3.00 | 1.50 | 1.5 | 1.50 | 1.00 | 0.50 | 0.75 | 1.50 | 2.25 | 3.00 | OC |
| 2 | | 2.00 | 4.00 | 1.0 | 1.47 | 1.00 | 0.47 | 1.97 | 1.50 | 3.47 | 1.76 | OC |
| 3 | | 2.00 | 6.00 | 1.0 | 1.47 | 1.00 | 0.47 | 2.91 | 1.50 | 4.41 | 1.52 | OC |
| 4 | | 2.00 | 8.00 | 1.0 | 1.47 | 1.00 | 0.47 | 3.85 | 1.50 | 5.35 | 1.39 | OC |
| 5 | | 2.00 | 10.00 | 1.0 | 1.47 | 1.00 | 0.47 | 4.79 | 1.50 | 6.29 | 1.31 | OC |
| 6 | | 2.00 | 12.00 | 1.0 | 1.47 | 1.00 | 0.47 | 5.73 | 1.50 | 7.23 | 1.26 | OC |
| 7 | | 2.00 | 14.00 | 1.0 | 1.47 | 1.00 | 0.47 | 6.67 | 1.50 | 8.17 | 1.22 | OC |
| 8 | | 2.00 | 16.00 | 1.0 | 1.47 | 1.00 | 0.47 | 7.61 | 1.50 | 9.11 | 1.20 | OC |
| 9 | | 2.00 | 18.00 | 1.0 | 1.47 | 1.00 | 0.47 | 8.55 | 1.50 | 10.05 | 1.18 | OC |
| 10 | | 2.00 | 20.00 | 1.0 | 1.47 | 1.00 | 0.47 | 9.49 | 1.50 | 10.99 | 1.16 | OC |
| 11 | | 2.00 | 22.00 | 1.0 | 1.47 | 1.00 | 0.47 | 10.43 | 1.50 | 11.93 | 1.14 | OC |
| 12 | | 1.00 | 23.50 | 0.5 | 1.47 | 1.00 | 0.47 | 11.14 | 1.50 | 12.64 | 1.13 | OC |
| 13 | Lanau Kepasiran | 2.00 | 25.00 | 1.0 | 1.48 | 1.00 | 0.48 | 11.85 | 1.50 | 13.35 | 1.13 | OC |
| 14 | Pasir Kelanauan | 2.00 | 27.00 | 1.0 | 1.50 | 1.00 | 0.50 | 12.83 | 1.50 | 14.33 | 1.12 | OC |
| 15 | Lanau Kelempungan | 2.00 | 29.00 | 1.0 | 1.48 | 1.00 | 0.48 | 13.81 | 1.50 | 15.31 | 1.11 | OC |
| 16 | | 1.00 | 30.50 | 0.5 | 1.48 | 1.00 | 0.48 | 14.53 | 1.50 | 16.03 | 1.10 | OC |
| 17 | Lanau Kelempungan | 2.00 | 32.00 | 1.0 | 1.80 | 1.00 | 0.80 | 15.57 | 1.50 | 17.07 | 1.10 | OC |

Tabel 2 Perhitungan H inisial dan *Settlement* untuk $q = 1 \text{ t/m}^2$

| | | | | | | | | |
|----------------------------|---|------|----------------|--------------|---|------|-------|--|
| q | = | 1 | t/m^2 | Rasio miring | = | 2 | | |
| γ_{timb} | = | 1.80 | t/m^3 | a | = | 1.11 | meter | |
| $\gamma_{\text{sat timb}}$ | = | 2.13 | t/m^4 | b | = | 15 | meter | |
| H timb | = | 0.56 | meter | | | | | |

| No | Jenis Tanah | Tebal Lapisan (m) | Cc | Cs | e_0 | Akibat beban timbunan | | | | AP (t/m ²) | Po' (t/m ²) | Po'+AP (t/m ²) | Pc' (t/m ²) | Sci (m) | Sci kum (m) |
|----|-------------------|-------------------|------|------|-------|-----------------------|-------|-------|-------|---------------------------|----------------------------|-------------------------------|----------------------------|------------|----------------|
| | | | | | | z (m) | a/z | b/z | I | | | | | | |
| 1 | Pasir Kelanauan | 3.00 | - | - | 2.38 | 1.50 | 0.741 | 10.00 | 0.500 | 1.000 | 0.750 | 1.75 | 2.25 | 0 | 0.000 |
| 2 | Lanau Kelempungan | 2.00 | 1.15 | 0.21 | 2.62 | 4.00 | 0.278 | 3.75 | 0.500 | 1.000 | 1.970 | 2.97 | 3.47 | 0.021 | 0.021 |
| 3 | | 2.00 | 1.15 | 0.21 | 2.62 | 6.00 | 0.185 | 2.50 | 0.485 | 0.970 | 2.910 | 3.88 | 4.41 | 0.015 | 0.036 |
| 4 | | 2.00 | 1.15 | 0.21 | 2.62 | 8.00 | 0.139 | 1.88 | 0.470 | 0.940 | 3.850 | 4.79 | 5.35 | 0.011 | 0.047 |
| 5 | | 2.00 | 1.15 | 0.21 | 2.62 | 10.00 | 0.111 | 1.50 | 0.460 | 0.920 | 4.790 | 5.71 | 6.29 | 0.009 | 0.056 |
| 6 | | 2.00 | 1.15 | 0.21 | 2.62 | 12.00 | 0.093 | 1.25 | 0.443 | 0.886 | 5.730 | 6.62 | 7.23 | 0.007 | 0.064 |
| 7 | | 2.00 | 1.15 | 0.21 | 2.62 | 14.00 | 0.079 | 1.07 | 0.410 | 0.820 | 6.670 | 7.49 | 8.17 | 0.006 | 0.070 |
| 8 | | 2.00 | 1.15 | 0.21 | 2.62 | 16.00 | 0.069 | 0.94 | 0.405 | 0.810 | 7.610 | 8.42 | 9.11 | 0.005 | 0.075 |
| 9 | | 2.00 | 1.15 | 0.21 | 2.62 | 18.00 | 0.062 | 0.83 | 0.381 | 0.762 | 8.550 | 9.31 | 10.05 | 0.004 | 0.079 |
| 10 | | 2.00 | 1.15 | 0.21 | 2.62 | 20.00 | 0.056 | 0.75 | 0.369 | 0.738 | 9.490 | 10.23 | 10.99 | 0.004 | 0.083 |
| 11 | | 2.00 | 1.15 | 0.21 | 2.62 | 22.00 | 0.051 | 0.68 | 0.348 | 0.696 | 10.430 | 11.13 | 11.93 | 0.003 | 0.087 |
| 12 | | 1.00 | 1.15 | 0.21 | 2.62 | 23.50 | 0.047 | 0.64 | 0.333 | 0.666 | 11.135 | 11.80 | 12.64 | 0.001 | 0.088 |
| 13 | Lanau Kepasiran | 2.00 | 1.04 | 0.19 | 2.54 | 25.00 | 0.044 | 0.60 | 0.320 | 0.640 | 11.850 | 12.49 | 13.35 | 0.002 | 0.090 |
| 14 | Pasir Kelanauan | 2.00 | - | - | 2.38 | 27.00 | 0.041 | 0.56 | 0.318 | 0.636 | 12.830 | 13.47 | 14.33 | 0 | 0.090 |
| 15 | Lanau Kelempungan | 2.00 | 1.09 | 0.21 | 2.54 | 29.00 | 0.038 | 0.52 | 0.290 | 0.580 | 13.810 | 14.39 | 15.31 | 0.002 | 0.093 |
| 16 | | 1.00 | 1.09 | 0.21 | 2.54 | 30.50 | 0.036 | 0.49 | 0.279 | 0.558 | 14.530 | 15.09 | 16.03 | 0.001 | 0.094 |
| 17 | Lanau Kelempungan | 2.00 | 0.42 | 0.10 | 1.14 | 32.00 | 0.035 | 0.47 | 0.272 | 0.544 | 15.570 | 16.11 | 17.07 | 0.001 | 0.095 |
| | | | | | | | | | | | Total Sc | 0.095 | m | | |

$$\begin{aligned}
 H_{\text{initial}} &= \frac{q + Sc \cdot (\gamma_{\text{timb}} - \gamma'_{\text{timb}})}{\gamma'_{\text{timb}}} \\
 &= \frac{1 + 0.095 \times (1.80 - 1.13)}{1.80} \\
 &= 0.591 \text{ m}
 \end{aligned}
 \quad
 \begin{aligned}
 H_{\text{final}} &= H_{\text{initial}} - Sc \\
 &= 0.591 - 0.095 \\
 &= 0.496 \text{ m}
 \end{aligned}$$

Tabel 3 Perhitungan H inisial dan *Settlement* untuk $q = 2 \text{ t/m}^2$

| | | | | | | | | |
|----------------------------|---|------|----------------|--------------|---|------|-------|--|
| q | = | 2 | t/m^2 | Rasio miring | = | 2 | | |
| γ_{timb} | = | 1.80 | t/m^3 | a | = | 2.22 | meter | |
| $\gamma_{\text{sat timb}}$ | = | 2.13 | t/m^4 | b | = | 15 | meter | |
| H timb | = | 1.11 | meter | | | | | |

| No | Jenis Tanah | Tebal Lapisan (m) | Cc | Cs | e_0 | Akibat beban timbunan | | | | ΔP (t/m^2) | P_o' (t/m^2) | $P_o' + \Delta P$ (t/m^2) | P_c' (t/m^2) | Sci (m) | Sci kum (m) |
|----|-------------------|-------------------|------|------|-------|-----------------------|-------|-------|-------|----------------------------------|------------------------------|---|------------------------------|---------|-------------|
| | | | | | | z (m) | a/z | b/z | I | | | | | | |
| 1 | Pasir Kelanauan | 3.00 | - | - | 2.38 | 1.50 | 1.481 | 10.00 | 0.500 | 2.000 | 0.750 | 2.75 | 2.25 | 0 | 0.000 |
| 2 | Lanau Kelempungan | 2.00 | 1.15 | 0.21 | 2.62 | 4.00 | 0.556 | 3.75 | 0.500 | 2.000 | 1.970 | 3.97 | 3.47 | 0.066 | 0.066 |
| 3 | | 2.00 | 1.15 | 0.21 | 2.62 | 6.00 | 0.370 | 2.50 | 0.480 | 1.920 | 2.910 | 4.83 | 4.41 | 0.046 | 0.113 |
| 4 | | 2.00 | 1.15 | 0.21 | 2.62 | 8.00 | 0.278 | 1.88 | 0.475 | 1.900 | 3.850 | 5.75 | 5.35 | 0.037 | 0.149 |
| 5 | | 2.00 | 1.15 | 0.21 | 2.62 | 10.00 | 0.222 | 1.50 | 0.465 | 1.860 | 4.790 | 6.65 | 6.29 | 0.029 | 0.179 |
| 6 | | 2.00 | 1.15 | 0.21 | 2.62 | 12.00 | 0.185 | 1.25 | 0.451 | 1.804 | 5.730 | 7.53 | 7.23 | 0.023 | 0.202 |
| 7 | | 2.00 | 1.15 | 0.21 | 2.62 | 14.00 | 0.159 | 1.07 | 0.420 | 1.680 | 6.670 | 8.35 | 8.17 | 0.016 | 0.218 |
| 8 | | 2.00 | 1.15 | 0.21 | 2.62 | 16.00 | 0.139 | 0.94 | 0.410 | 1.640 | 7.610 | 9.25 | 9.11 | 0.013 | 0.232 |
| 9 | | 2.00 | 1.15 | 0.21 | 2.62 | 18.00 | 0.123 | 0.83 | 0.390 | 1.560 | 8.550 | 10.11 | 10.05 | 0.010 | 0.242 |
| 10 | | 2.00 | 1.15 | 0.21 | 2.62 | 20.00 | 0.111 | 0.75 | 0.371 | 1.484 | 9.490 | 10.97 | 10.99 | 0.007 | 0.249 |
| 11 | | 2.00 | 1.15 | 0.21 | 2.62 | 22.00 | 0.101 | 0.68 | 0.350 | 1.400 | 10.430 | 11.83 | 11.93 | 0.006 | 0.256 |
| 12 | | 1.00 | 1.15 | 0.21 | 2.62 | 23.50 | 0.095 | 0.64 | 0.343 | 1.372 | 11.135 | 12.51 | 12.64 | 0.003 | 0.259 |
| 13 | Lanau Kepasiran | 2.00 | 1.04 | 0.19 | 2.54 | 25.00 | 0.089 | 0.60 | 0.326 | 1.304 | 11.850 | 13.15 | 13.35 | 0.005 | 0.264 |
| 14 | Pasir Kelanauan | 2.00 | - | - | 2.38 | 27.00 | 0.082 | 0.56 | 0.310 | 1.240 | 12.830 | 14.07 | 14.33 | 0 | 0.264 |
| 15 | Lanau Kelempungan | 2.00 | 1.09 | 0.21 | 2.54 | 29.00 | 0.077 | 0.52 | 0.300 | 1.200 | 13.810 | 15.01 | 15.31 | 0.004 | 0.268 |
| 16 | | 1.00 | 1.09 | 0.21 | 2.54 | 30.50 | 0.073 | 0.49 | 0.286 | 1.144 | 14.530 | 15.67 | 16.03 | 0.002 | 0.270 |
| 17 | Lanau Kelempungan | 2.00 | 0.42 | 0.10 | 1.14 | 32.00 | 0.069 | 0.47 | 0.280 | 1.120 | 15.570 | 16.69 | 17.07 | 0.003 | 0.273 |
| | | | | | | | | | | | | Total Sc | 0.273 | m | |

$$\begin{aligned}
 H_{\text{initial}} &= \frac{q + Sc \cdot (\gamma_{\text{timb}} - \gamma'_{\text{timb}})}{\gamma_{\text{timb}}} \\
 &= \frac{2 + 0.273 \times (1.80 - 1.13)}{1.80} \\
 &= 1.213 \text{ m}
 \end{aligned}$$

$$\begin{aligned}
 H_{\text{final}} &= H_{\text{initial}} - Sc \\
 &= 1.213 - 0.273 \\
 &= 0.940 \text{ m}
 \end{aligned}$$

Tabel 4 Perhitungan H inisial dan *Settlement* untuk $q = 3 \text{ t/m}^2$

| | | | | | | | | | | | | | |
|----------------------------|---|------|----------------|--------------|---|------|-------|--|--|--|--|--|--|
| q | = | 3 | t/m^2 | Rasio miring | = | 2 | | | | | | | |
| γ_{timb} | = | 1.80 | t/m^3 | a | = | 3.33 | meter | | | | | | |
| $\gamma_{\text{sat timb}}$ | = | 2.13 | t/m^4 | b | = | 15 | meter | | | | | | |
| H timb | = | 1.67 | meter | | | | | | | | | | |

| No | Jenis Tanah | Tebal Lapisan (m) | Cc | Cs | e_0 | Akibat beban timbunan | | | | ΔP (t/m^2) | P_o' (t/m^2) | $P_o' + \Delta P$ (t/m^2) | P_c' (t/m^2) | Sc (m) | $Sc \text{ kum}$ (m) |
|----|-------------------|-------------------|------|------|-------|-----------------------|-------|-------|-------|----------------------------------|------------------------------|---|------------------------------|-------------|-------------------------|
| 1 | Pasir Kelanauan | 3.00 | - | - | 2.38 | 1.50 | 2.222 | 10.00 | 0.500 | 3.000 | 0.750 | 3.75 | 2.25 | 0 | 0.000 |
| 2 | Lanau Kelempungan | 2.00 | 1.15 | 0.21 | 2.62 | 4.00 | 0.833 | 3.75 | 0.500 | 3.000 | 1.970 | 4.97 | 3.47 | 0.128 | 0.128 |
| 3 | | 2.00 | 1.15 | 0.21 | 2.62 | 6.00 | 0.556 | 2.50 | 0.485 | 2.910 | 2.910 | 5.82 | 4.41 | 0.098 | 0.226 |
| 4 | | 2.00 | 1.15 | 0.21 | 2.62 | 8.00 | 0.417 | 1.88 | 0.481 | 2.886 | 3.850 | 6.74 | 5.35 | 0.080 | 0.306 |
| 5 | | 2.00 | 1.15 | 0.21 | 2.62 | 10.00 | 0.333 | 1.50 | 0.468 | 2.808 | 4.790 | 7.60 | 6.29 | 0.066 | 0.372 |
| 6 | | 2.00 | 1.15 | 0.21 | 2.62 | 12.00 | 0.278 | 1.25 | 0.453 | 2.718 | 5.730 | 8.45 | 7.23 | 0.055 | 0.427 |
| 7 | | 2.00 | 1.15 | 0.21 | 2.62 | 14.00 | 0.238 | 1.07 | 0.427 | 2.562 | 6.670 | 9.23 | 8.17 | 0.044 | 0.471 |
| 8 | | 2.00 | 1.15 | 0.21 | 2.62 | 16.00 | 0.208 | 0.94 | 0.418 | 2.508 | 7.610 | 10.12 | 9.11 | 0.038 | 0.509 |
| 9 | | 2.00 | 1.15 | 0.21 | 2.62 | 18.00 | 0.185 | 0.83 | 0.395 | 2.370 | 8.550 | 10.92 | 10.05 | 0.031 | 0.540 |
| 10 | | 2.00 | 1.15 | 0.21 | 2.62 | 20.00 | 0.167 | 0.75 | 0.375 | 2.250 | 9.490 | 11.74 | 10.99 | 0.026 | 0.566 |
| 11 | | 2.00 | 1.15 | 0.21 | 2.62 | 22.00 | 0.152 | 0.68 | 0.360 | 2.160 | 10.430 | 12.59 | 11.93 | 0.022 | 0.587 |
| 12 | | 1.00 | 1.15 | 0.21 | 2.62 | 23.50 | 0.142 | 0.64 | 0.345 | 2.070 | 11.135 | 13.21 | 12.64 | 0.009 | 0.597 |
| 13 | Lanau Kepasiran | 2.00 | 1.04 | 0.19 | 2.54 | 25.00 | 0.133 | 0.60 | 0.330 | 1.980 | 11.850 | 13.83 | 13.35 | 0.015 | 0.611 |
| 14 | Pasir Kelanauan | 2.00 | - | - | 2.38 | 27.00 | 0.123 | 0.56 | 0.313 | 1.878 | 12.830 | 14.71 | 14.33 | 0 | 0.611 |
| 15 | Lanau Kelempungan | 2.00 | 1.09 | 0.21 | 2.54 | 29.00 | 0.115 | 0.52 | 0.300 | 1.800 | 13.810 | 15.61 | 15.31 | 0.010 | 0.622 |
| 16 | | 1.00 | 1.09 | 0.21 | 2.54 | 30.50 | 0.109 | 0.49 | 0.290 | 1.740 | 14.530 | 16.27 | 16.03 | 0.004 | 0.626 |
| 17 | Lanau Kelempungan | 2.00 | 0.42 | 0.10 | 1.14 | 32.00 | 0.104 | 0.47 | 0.282 | 1.692 | 15.570 | 17.26 | 17.07 | 0.006 | 0.632 |
| | | | | | | | | | | | | Total Sc | 0.632 | m | |

$$\begin{aligned}
 H_{\text{initial}} &= \frac{q + Sc \cdot (\gamma_{\text{timb}} - \gamma'_{\text{timb}})}{\gamma'_{\text{timb}}} \\
 &= \frac{3 + 0.632 \times (1.80 - 1.13)}{1.80} \\
 &= 1.902 \text{ m}
 \end{aligned}
 \quad
 \begin{aligned}
 H_{\text{final}} &= H_{\text{initial}} - Sc \\
 &= 1.902 - 0.632 \\
 &= 1.270 \text{ m}
 \end{aligned}$$

Tabel 5 Perhitungan H inisial dan *Settlement* untuk $q = 4 \text{ t/m}^2$

| | | | | | | | |
|----------------------------|---|------|----------------|--------------|---|------|-------|
| q | = | 4 | t/m^2 | Rasio miring | = | 2 | |
| γ_{timb} | = | 1.80 | t/m^3 | a | = | 4.44 | meter |
| $\gamma_{\text{sat timb}}$ | = | 2.13 | t/m^4 | b | = | 15 | meter |
| H timb | = | 2.22 | meter | | | | |

| No | Jenis Tanah | Tebal Lapisan (m) | Cc | Cs | e_0 | Akibat beban timbunan | | | | ΔP (t/m^2) | P_o' (t/m^2) | $P_o' + \Delta P$ (t/m^2) | P_c' (t/m^2) | Sci (m) | Sci kum (m) |
|----|-------------------|-------------------|------|------|-------|-----------------------|-------|-------|-------|----------------------------------|------------------------------|---|------------------------------|---------|-------------|
| | | | | | | z (m) | a/z | b/z | I | | | | | | |
| 1 | Pasir Kelanauan | 3.00 | - | - | 2.38 | 1.50 | 2.963 | 10.00 | 0.500 | 4.000 | 0.750 | 4.75 | 2.25 | 0 | 0.00 |
| 2 | | 2.00 | 1.15 | 0.21 | 2.62 | 4.00 | 1.111 | 3.75 | 0.500 | 4.000 | 1.970 | 5.97 | 3.47 | 0.178 | 0.178 |
| 3 | | 2.00 | 1.15 | 0.21 | 2.62 | 6.00 | 0.741 | 2.50 | 0.490 | 3.920 | 2.910 | 6.83 | 4.41 | 0.142 | 0.320 |
| 4 | | 2.00 | 1.15 | 0.21 | 2.62 | 8.00 | 0.556 | 1.88 | 0.475 | 3.800 | 3.850 | 7.65 | 5.35 | 0.115 | 0.435 |
| 5 | | 2.00 | 1.15 | 0.21 | 2.62 | 10.00 | 0.444 | 1.50 | 0.470 | 3.760 | 4.790 | 8.55 | 6.29 | 0.098 | 0.534 |
| 6 | | 2.00 | 1.15 | 0.21 | 2.62 | 12.00 | 0.370 | 1.25 | 0.453 | 3.624 | 5.730 | 9.35 | 7.23 | 0.083 | 0.616 |
| 7 | Lanau Kelempungan | 2.00 | 1.15 | 0.21 | 2.62 | 14.00 | 0.317 | 1.07 | 0.430 | 3.440 | 6.670 | 10.11 | 8.17 | 0.069 | 0.685 |
| 8 | | 2.00 | 1.15 | 0.21 | 2.62 | 16.00 | 0.278 | 0.94 | 0.420 | 3.360 | 7.610 | 10.97 | 9.11 | 0.060 | 0.746 |
| 9 | | 2.00 | 1.15 | 0.21 | 2.62 | 18.00 | 0.247 | 0.83 | 0.400 | 3.200 | 8.550 | 11.75 | 10.05 | 0.051 | 0.797 |
| 10 | | 2.00 | 1.15 | 0.21 | 2.62 | 20.00 | 0.222 | 0.75 | 0.380 | 3.040 | 9.490 | 12.53 | 10.99 | 0.044 | 0.841 |
| 11 | | 2.00 | 1.15 | 0.21 | 2.62 | 22.00 | 0.202 | 0.68 | 0.365 | 2.920 | 10.430 | 13.35 | 11.93 | 0.038 | 0.878 |
| 12 | | 1.00 | 1.15 | 0.21 | 2.62 | 23.50 | 0.189 | 0.64 | 0.350 | 2.800 | 11.135 | 13.94 | 12.64 | 0.017 | 0.895 |
| 13 | Lanau Kepasiran | 2.00 | 1.04 | 0.19 | 2.54 | 25.00 | 0.178 | 0.60 | 0.340 | 2.720 | 11.850 | 14.57 | 13.35 | 0.028 | 0.923 |
| 14 | Pasir Kelanauan | 2.00 | - | - | 2.38 | 27.00 | 0.165 | 0.56 | 0.323 | 2.584 | 12.830 | 15.41 | 14.33 | 0 | 0.923 |
| 15 | Lanau Kelempungan | 2.00 | 1.09 | 0.21 | 2.54 | 29.00 | 0.153 | 0.52 | 0.310 | 2.480 | 13.810 | 16.29 | 15.31 | 0.022 | 0.945 |
| 16 | | 1.00 | 1.09 | 0.21 | 2.54 | 30.50 | 0.146 | 0.49 | 0.296 | 2.368 | 14.530 | 16.90 | 16.03 | 0.010 | 0.954 |
| 17 | Lanau Kelempungan | 2.00 | 0.42 | 0.10 | 1.14 | 32.00 | 0.139 | 0.47 | 0.287 | 2.296 | 15.570 | 17.87 | 17.07 | 0.012 | 0.966 |
| | | | | | | | | | | | | Total Sc | 0.966 | m | |

$$\begin{aligned}
 H_{\text{initial}} &= \frac{q + Sc \cdot (\gamma_{\text{timb}} - \gamma'_{\text{timb}})}{\gamma_{\text{timb}}} \\
 &= \frac{4 + 0.966 \times (1.80 - 1.13)}{1.80} \\
 &= 2.582 \text{ m}
 \end{aligned}
 \quad
 \begin{aligned}
 H_{\text{final}} &= H_{\text{initial}} - Sc \\
 &= 2.582 - 0.966 \\
 &= 1.616 \text{ m}
 \end{aligned}$$

Tabel 6 Perhitungan H inisial dan *Settlement* untuk $q = 5 \text{ t/m}^2$

| | | | | | | | | |
|----------------------------|---|------|----------------|--------------|---|------|-------|--|
| q | = | 5 | t/m^2 | Rasio miring | = | 2 | | |
| γ_{timb} | = | 1.80 | t/m^3 | a | = | 5.56 | meter | |
| $\gamma_{\text{sat timb}}$ | = | 2.13 | t/m^3 | b | = | 15 | meter | |
| H timb | = | 2.78 | meter | | | | | |

| No | Jenis Tanah | Tebal Lapisan (m) | Cc | Cs | e_0 | Akibat beban timbunan | | | | ΔP (t/m^2) | P_o' (t/m^2) | $P_o' + \Delta P$ (t/m^2) | P_c' (t/m^2) | Sci (m) | Sci kum (m) |
|----|-------------------|-------------------|------|------|-------|-----------------------|-------|-------|-------|----------------------------------|------------------------------|---|------------------------------|---------|-------------|
| | | | | | | z (m) | a/z | b/z | I | | | | | | |
| 1 | Pasir Kelanauan | 3.00 | - | - | 2.38 | 1.50 | 3.704 | 10.00 | 0.500 | 5.000 | 0.750 | 5.75 | 2.25 | 0 | 0.000 |
| 2 | Lanau Kelempungan | 2.00 | 1.15 | 0.21 | 2.62 | 4.00 | 1.389 | 3.75 | 0.500 | 5.000 | 1.970 | 6.97 | 3.47 | 0.221 | 0.221 |
| 3 | | 2.00 | 1.15 | 0.21 | 2.62 | 6.00 | 0.926 | 2.50 | 0.490 | 4.900 | 2.910 | 7.81 | 4.41 | 0.178 | 0.399 |
| 4 | | 2.00 | 1.15 | 0.21 | 2.62 | 8.00 | 0.694 | 1.88 | 0.481 | 4.810 | 3.850 | 8.66 | 5.35 | 0.149 | 0.549 |
| 5 | | 2.00 | 1.15 | 0.21 | 2.62 | 10.00 | 0.556 | 1.50 | 0.470 | 4.700 | 4.790 | 9.49 | 6.29 | 0.127 | 0.676 |
| 6 | | 2.00 | 1.15 | 0.21 | 2.62 | 12.00 | 0.463 | 1.25 | 0.457 | 4.570 | 5.730 | 10.30 | 7.23 | 0.109 | 0.785 |
| 7 | | 2.00 | 1.15 | 0.21 | 2.62 | 14.00 | 0.397 | 1.07 | 0.435 | 4.350 | 6.670 | 11.02 | 8.17 | 0.093 | 0.878 |
| 8 | | 2.00 | 1.15 | 0.21 | 2.62 | 16.00 | 0.347 | 0.94 | 0.425 | 4.250 | 7.610 | 11.86 | 9.11 | 0.082 | 0.959 |
| 9 | | 2.00 | 1.15 | 0.21 | 2.62 | 18.00 | 0.309 | 0.83 | 0.405 | 4.050 | 8.550 | 12.60 | 10.05 | 0.070 | 1.030 |
| 10 | | 2.00 | 1.15 | 0.21 | 2.62 | 20.00 | 0.278 | 0.75 | 0.385 | 3.850 | 9.490 | 13.34 | 10.99 | 0.061 | 1.091 |
| 11 | | 2.00 | 1.15 | 0.21 | 2.62 | 22.00 | 0.253 | 0.68 | 0.370 | 3.700 | 10.430 | 14.13 | 11.93 | 0.053 | 1.144 |
| 12 | | 1.00 | 1.15 | 0.21 | 2.62 | 23.50 | 0.236 | 0.64 | 0.358 | 3.580 | 11.135 | 14.72 | 12.64 | 0.024 | 1.168 |
| 13 | Lanau Kepasiran | 2.00 | 1.04 | 0.19 | 2.54 | 25.00 | 0.222 | 0.60 | 0.350 | 3.500 | 11.850 | 15.35 | 13.35 | 0.041 | 1.209 |
| 14 | Pasir Kelanauan | 2.00 | - | - | 2.38 | 27.00 | 0.206 | 0.56 | 0.330 | 3.300 | 12.830 | 16.13 | 14.33 | 0 | 1.209 |
| 15 | Lanau Kelempungan | 2.00 | 1.09 | 0.21 | 2.54 | 29.00 | 0.192 | 0.52 | 0.313 | 3.130 | 13.810 | 16.94 | 15.31 | 0.032 | 1.242 |
| 16 | | 1.00 | 1.09 | 0.21 | 2.54 | 30.50 | 0.182 | 0.49 | 0.308 | 3.080 | 14.530 | 17.61 | 16.03 | 0.015 | 1.257 |
| 17 | Lanau Kelempungan | 2.00 | 0.42 | 0.10 | 1.14 | 32.00 | 0.174 | 0.47 | 0.295 | 2.950 | 15.570 | 18.52 | 17.07 | 0.018 | 1.275 |
| | | | | | | | | | | Total Sc | 1.275 | m | | | |

$$\begin{aligned}
 H_{\text{initial}} &= \frac{q + Sc \cdot (\gamma_{\text{timb}} - \gamma'_{\text{timb}})}{\gamma'_{\text{timb}}} \\
 &= \frac{5 + 1.275 \times (1.80 - 1.13)}{1.80} \\
 &= 3.253 \text{ m}
 \end{aligned}
 \quad
 \begin{aligned}
 H_{\text{final}} &= H_{\text{initial}} - Sc \\
 &= 3.253 - 1.275 \\
 &= 1.978 \text{ m}
 \end{aligned}$$

Tabel 7 Perhitungan H inisial dan *Settlement* untuk $q = 6 \text{ t/m}^2$

| | | | | | | | | |
|----------------------------|---|------|----------------|--------------|---|------|-------|--|
| q | = | 6 | t/m^2 | Rasio miring | = | 2 | | |
| γ_{timb} | = | 1.80 | t/m^3 | a | = | 6.67 | meter | |
| $\gamma_{\text{sat timb}}$ | = | 2.13 | t/m^3 | b | = | 15 | meter | |
| H timb | = | 3.33 | meter | | | | | |

| No | Jenis Tanah | Tebal Lapisan (m) | Cc | Cs | e_0 | Akibat beban timbunan | | | | ΔP (t/m^2) | P_o' (t/m^2) | $P_o' + \Delta P$ (t/m^2) | P_c' (t/m^2) | Sci (m) | Sci kum (m) |
|----|-------------------|-------------------|------|------|-------|-----------------------|-------|-------|-------|-------------------------------|---------------------------|--------------------------------------|---------------------------|---------|-------------|
| 1 | Pasir Kelanauan | 3.00 | - | - | 2.38 | 1.50 | 4.444 | 10.00 | 0.500 | 6.000 | 0.750 | 6.75 | 2.25 | 0 | 0.000 |
| 2 | | 2.00 | 1.15 | 0.21 | 2.62 | 4.00 | 1.667 | 3.75 | 0.500 | 6.000 | 1.970 | 7.97 | 3.47 | 0.258 | 0.258 |
| 3 | | 2.00 | 1.15 | 0.21 | 2.62 | 6.00 | 1.111 | 2.50 | 0.490 | 5.880 | 2.910 | 8.79 | 4.41 | 0.211 | 0.469 |
| 4 | | 2.00 | 1.15 | 0.21 | 2.62 | 8.00 | 0.833 | 1.88 | 0.482 | 5.784 | 3.850 | 9.63 | 5.35 | 0.179 | 0.647 |
| 5 | | 2.00 | 1.15 | 0.21 | 2.62 | 10.00 | 0.667 | 1.50 | 0.472 | 5.664 | 4.790 | 10.45 | 6.29 | 0.154 | 0.801 |
| 6 | | 2.00 | 1.15 | 0.21 | 2.62 | 12.00 | 0.556 | 1.25 | 0.461 | 5.532 | 5.730 | 11.26 | 7.23 | 0.134 | 0.935 |
| 7 | Lanau Kelempungan | 2.00 | 1.15 | 0.21 | 2.62 | 14.00 | 0.476 | 1.07 | 0.440 | 5.280 | 6.670 | 11.95 | 8.17 | 0.115 | 1.050 |
| 8 | | 2.00 | 1.15 | 0.21 | 2.62 | 16.00 | 0.417 | 0.94 | 0.430 | 5.160 | 7.610 | 12.77 | 9.11 | 0.102 | 1.152 |
| 9 | | 2.00 | 1.15 | 0.21 | 2.62 | 18.00 | 0.370 | 0.83 | 0.410 | 4.920 | 8.550 | 13.47 | 10.05 | 0.089 | 1.240 |
| 10 | | 2.00 | 1.15 | 0.21 | 2.62 | 20.00 | 0.333 | 0.75 | 0.392 | 4.704 | 9.490 | 14.19 | 10.99 | 0.078 | 1.318 |
| 11 | | 2.00 | 1.15 | 0.21 | 2.62 | 22.00 | 0.303 | 0.68 | 0.372 | 4.464 | 10.430 | 14.89 | 11.93 | 0.068 | 1.386 |
| 12 | | 1.00 | 1.15 | 0.21 | 2.62 | 23.50 | 0.284 | 0.64 | 0.364 | 4.368 | 11.135 | 15.50 | 12.64 | 0.031 | 1.418 |
| 13 | Lanau Kepasiran | 2.00 | 1.04 | 0.19 | 2.54 | 25.00 | 0.267 | 0.60 | 0.350 | 4.200 | 11.850 | 16.05 | 13.35 | 0.052 | 1.470 |
| 14 | Pasir Kelanauan | 2.00 | - | - | 2.38 | 27.00 | 0.247 | 0.56 | 0.327 | 3.924 | 12.830 | 16.75 | 14.33 | 0 | 1.470 |
| 15 | Lanau Kelempungan | 2.00 | 1.09 | 0.21 | 2.54 | 29.00 | 0.230 | 0.52 | 0.320 | 3.840 | 13.810 | 17.65 | 15.31 | 0.043 | 1.513 |
| 16 | | 1.00 | 1.09 | 0.21 | 2.54 | 30.50 | 0.219 | 0.49 | 0.307 | 3.684 | 14.530 | 18.21 | 16.03 | 0.020 | 1.533 |
| 17 | Lanau Kelempungan | 2.00 | 0.42 | 0.10 | 1.14 | 32.00 | 0.208 | 0.47 | 0.300 | 3.600 | 15.570 | 19.17 | 17.07 | 0.024 | 1.557 |
| | | | | | | | | | | | | Total Sc | 1.557 | m | |

$$\begin{aligned}
 H_{\text{initial}} &= \frac{q + Sc \cdot (\gamma_{\text{timb}} - \gamma'_{\text{timb}})}{\gamma_{\text{timb}}} \\
 &= \frac{6 + 1.557 \times (1.80 - 1.13)}{1.80} \\
 &= 3.913 \text{ m}
 \end{aligned}
 \quad
 \begin{aligned}
 H_{\text{final}} &= H_{\text{initial}} - Sc \\
 &= 3.913 - 1.557 \\
 &= 2.356 \text{ m}
 \end{aligned}$$

Tabel 8 Perhitungan H inisial dan Settlement untuk $q = 7 \text{ t/m}^2$

| | | | | | | | |
|----------------------------|---|------|----------------|--------------|---|------|-------|
| q | = | 7 | t/m^2 | Rasio miring | = | 2 | |
| γ_{timb} | = | 1.80 | t/m^3 | a | = | 7.78 | meter |
| $\gamma_{\text{sat timb}}$ | = | 2.13 | t/m^3 | b | = | 15 | meter |
| H timb | = | 3.89 | meter | | | | |

| No | Jenis Tanah | Tebal Lapisan (m) | Cc | Cs | e_0 | Akibat beban timbunan | | | | ΔP (t/m^2) | P_o' (t/m^2) | $P_o' + \Delta P$ (t/m^2) | P_c' (t/m^2) | Sci (m) | Sci kum (m) |
|----|-------------------|-------------------|------|------|-------|-----------------------|-------|-------|-------|----------------------------------|------------------------------|---|------------------------------|---------|-------------|
| | | | | | | z (m) | a/z | b/z | I | | | | | | |
| 1 | Pasir Kelanauan | 3.00 | - | - | 2.38 | 1.50 | 5.185 | 10.00 | 0.500 | 7.000 | 0.750 | 7.75 | 2.25 | 0 | 0.00 |
| 2 | | 2.00 | 1.15 | 0.21 | 2.62 | 4.00 | 1.944 | 3.75 | 0.500 | 7.000 | 1.970 | 8.97 | 3.47 | 0.290 | 0.290 |
| 3 | | 2.00 | 1.15 | 0.21 | 2.62 | 6.00 | 1.296 | 2.50 | 0.490 | 6.860 | 2.910 | 9.77 | 4.41 | 0.240 | 0.530 |
| 4 | | 2.00 | 1.15 | 0.21 | 2.62 | 8.00 | 0.972 | 1.88 | 0.488 | 6.832 | 3.850 | 10.68 | 5.35 | 0.207 | 0.737 |
| 5 | | 2.00 | 1.15 | 0.21 | 2.62 | 10.00 | 0.778 | 1.50 | 0.472 | 6.608 | 4.790 | 11.40 | 6.29 | 0.177 | 0.915 |
| 6 | | 2.00 | 1.15 | 0.21 | 2.62 | 12.00 | 0.648 | 1.25 | 0.462 | 6.468 | 5.730 | 12.20 | 7.23 | 0.156 | 1.070 |
| 7 | Lanau Kelempungan | 2.00 | 1.15 | 0.21 | 2.62 | 14.00 | 0.556 | 1.07 | 0.442 | 6.188 | 6.670 | 12.86 | 8.17 | 0.135 | 1.205 |
| 8 | | 2.00 | 1.15 | 0.21 | 2.62 | 16.00 | 0.486 | 0.94 | 0.432 | 6.048 | 7.610 | 13.66 | 9.11 | 0.121 | 1.326 |
| 9 | | 2.00 | 1.15 | 0.21 | 2.62 | 18.00 | 0.432 | 0.83 | 0.415 | 5.810 | 8.550 | 14.36 | 10.05 | 0.106 | 1.432 |
| 10 | | 2.00 | 1.15 | 0.21 | 2.62 | 20.00 | 0.389 | 0.75 | 0.400 | 5.600 | 9.490 | 15.09 | 10.99 | 0.095 | 1.527 |
| 11 | | 2.00 | 1.15 | 0.21 | 2.62 | 22.00 | 0.354 | 0.68 | 0.380 | 5.320 | 10.430 | 15.75 | 11.93 | 0.083 | 1.610 |
| 12 | | 1.00 | 1.15 | 0.21 | 2.62 | 23.50 | 0.331 | 0.64 | 0.359 | 5.026 | 11.135 | 16.16 | 12.64 | 0.037 | 1.647 |
| 13 | Lanau Kepasiran | 2.00 | 1.04 | 0.19 | 2.54 | 25.00 | 0.311 | 0.60 | 0.354 | 4.956 | 11.850 | 16.81 | 13.35 | 0.064 | 1.711 |
| 14 | Pasir Kelanauan | 2.00 | - | - | 2.38 | 27.00 | 0.288 | 0.56 | 0.330 | 4.620 | 12.830 | 17.45 | 14.33 | 0 | 1.711 |
| 15 | Lanau Kelempungan | 2.00 | 1.09 | 0.21 | 2.54 | 29.00 | 0.268 | 0.52 | 0.327 | 4.578 | 13.810 | 18.39 | 15.31 | 0.054 | 1.766 |
| 16 | | 1.00 | 1.09 | 0.21 | 2.54 | 30.50 | 0.255 | 0.49 | 0.317 | 4.438 | 14.530 | 18.97 | 16.03 | 0.025 | 1.791 |
| 17 | Lanau Kelempungan | 2.00 | 0.42 | 0.10 | 1.14 | 32.00 | 0.243 | 0.47 | 0.305 | 4.270 | 15.570 | 19.84 | 17.07 | 0.030 | 1.820 |
| | | | | | | | | | | | | Total Sc | 1.820 | m | |

$$\begin{aligned}
 H_{\text{initial}} &= \frac{q + Sc \cdot (\gamma_{\text{timb}} - \gamma')}{\gamma_{\text{timb}}} \\
 &= \frac{7 + 1.820 \times (1.80 - 1.13)}{1.80} \\
 &= 4.567 \text{ m}
 \end{aligned}
 \quad
 \begin{aligned}
 H_{\text{final}} &= H_{\text{initial}} - Sc \\
 &= 4.567 - 1.820 \\
 &= 2.747 \text{ m}
 \end{aligned}$$

Tabel 9 Perhitungan H inisial dan Settlement untuk $q = 8 \text{ t/m}^2$

| | | | | | | | |
|----------------------------|---|------|----------------|--------------|---|------|-------|
| q | = | 8 | t/m^2 | Rasio miring | = | 2 | |
| γ_{timb} | = | 1.80 | t/m^3 | a | = | 8.89 | meter |
| $\gamma_{\text{sat timb}}$ | = | 2.13 | t/m^3 | b | = | 15 | meter |
| H timb | = | 4.44 | meter | | | | |

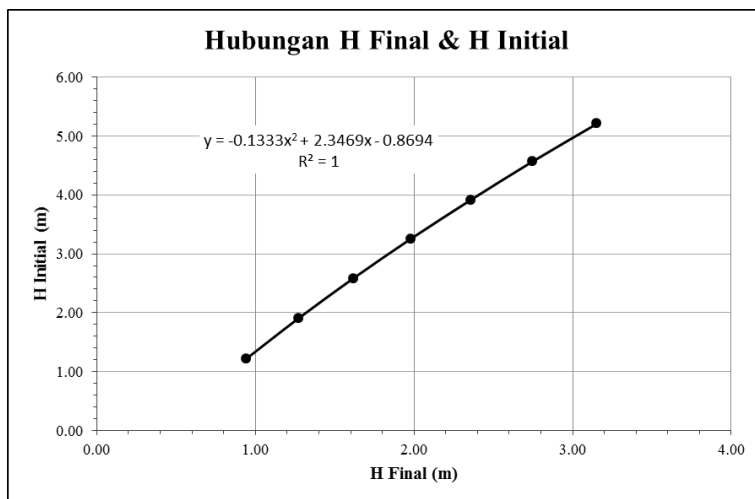
| No | Jenis Tanah | Tebal Lapisan (m) | Cc | Cs | e_0 | Akibat beban timbunan | | | | ΔP (t/m^2) | P_o' (t/m^2) | $P_o' + \Delta P$ (t/m^2) | P_c' (t/m^2) | Sci (m) | Sci kum (m) |
|----|-------------------|-------------------|------|------|-------|-----------------------|-------|-------|-------|----------------------------------|------------------------------|---|------------------------------|---------|-------------|
| | | | | | | z (m) | a/z | b/z | I | | | | | | |
| 1 | Pasir Kelanauan | 3.00 | - | - | 2.38 | 1.50 | 5.926 | 10.00 | 0.500 | 8.000 | 0.750 | 8.75 | 2.25 | 0 | 0.00 |
| 2 | | 2.00 | 1.15 | 0.21 | 2.62 | 4.00 | 2.222 | 3.75 | 0.500 | 8.000 | 1.970 | 9.97 | 3.47 | 0.319 | 0.319 |
| 3 | | 2.00 | 1.15 | 0.21 | 2.62 | 6.00 | 1.481 | 2.50 | 0.490 | 7.840 | 2.910 | 10.75 | 4.41 | 0.266 | 0.585 |
| 4 | | 2.00 | 1.15 | 0.21 | 2.62 | 8.00 | 1.111 | 1.88 | 0.480 | 7.680 | 3.850 | 11.53 | 5.35 | 0.228 | 0.813 |
| 5 | | 2.00 | 1.15 | 0.21 | 2.62 | 10.00 | 0.889 | 1.50 | 0.470 | 7.520 | 4.790 | 12.31 | 6.29 | 0.199 | 1.012 |
| 6 | | 2.00 | 1.15 | 0.21 | 2.62 | 12.00 | 0.741 | 1.25 | 0.462 | 7.392 | 5.730 | 13.12 | 7.23 | 0.176 | 1.188 |
| 7 | Lanau Kelempungan | 2.00 | 1.15 | 0.21 | 2.62 | 14.00 | 0.635 | 1.07 | 0.448 | 7.168 | 6.670 | 13.84 | 8.17 | 0.155 | 1.343 |
| 8 | | 2.00 | 1.15 | 0.21 | 2.62 | 16.00 | 0.556 | 0.94 | 0.435 | 6.960 | 7.610 | 14.57 | 9.11 | 0.138 | 1.481 |
| 9 | | 2.00 | 1.15 | 0.21 | 2.62 | 18.00 | 0.494 | 0.83 | 0.410 | 6.560 | 8.550 | 15.11 | 10.05 | 0.120 | 1.602 |
| 10 | | 2.00 | 1.15 | 0.21 | 2.62 | 20.00 | 0.444 | 0.75 | 0.400 | 6.400 | 9.490 | 15.89 | 10.99 | 0.109 | 1.711 |
| 11 | | 2.00 | 1.15 | 0.21 | 2.62 | 22.00 | 0.404 | 0.68 | 0.382 | 6.112 | 10.430 | 16.54 | 11.93 | 0.097 | 1.807 |
| 12 | | 1.00 | 1.15 | 0.21 | 2.62 | 23.50 | 0.378 | 0.64 | 0.370 | 5.920 | 11.135 | 17.06 | 12.64 | 0.044 | 1.852 |
| 13 | Lanau Kepasiran | 2.00 | 1.04 | 0.19 | 2.54 | 25.00 | 0.356 | 0.60 | 0.360 | 5.760 | 11.850 | 17.61 | 13.35 | 0.076 | 1.928 |
| 14 | Pasir Kelanauan | 2.00 | - | - | 2.38 | 27.00 | 0.329 | 0.56 | 0.341 | 5.456 | 12.830 | 18.29 | 14.33 | 0 | 1.928 |
| 15 | Lanau Kelempungan | 2.00 | 1.09 | 0.21 | 2.54 | 29.00 | 0.307 | 0.52 | 0.330 | 5.280 | 13.810 | 19.09 | 15.31 | 0.064 | 1.992 |
| 16 | | 1.00 | 1.09 | 0.21 | 2.54 | 30.50 | 0.291 | 0.49 | 0.320 | 5.120 | 14.530 | 19.65 | 16.03 | 0.030 | 2.022 |
| 17 | Lanau Kelempungan | 2.00 | 0.42 | 0.10 | 1.14 | 32.00 | 0.278 | 0.47 | 0.310 | 4.960 | 15.570 | 20.53 | 17.07 | 0.035 | 2.057 |
| | | | | | | | | | | Total Sc | 2.057 | m | | | |

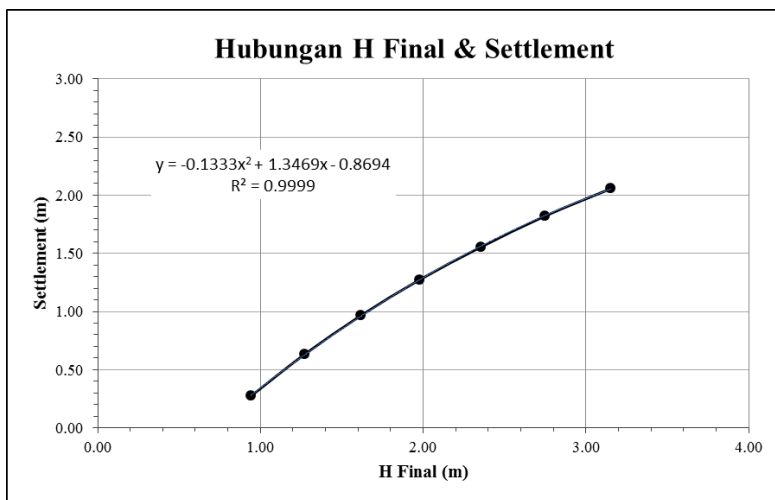
$$\begin{aligned}
 H_{\text{initial}} &= \frac{q + Sc \cdot (\gamma_{\text{timb}} - \gamma')}{\gamma_{\text{timb}}} \\
 &= \frac{8 + 2.057 \times (1.80 - 1.13)}{1.80} \\
 &= 5.211 \text{ m}
 \end{aligned}$$

$$\begin{aligned}
 H_{\text{final}} &= H_{\text{initial}} - Sc \\
 &= 5.211 - 2.057 \\
 &= 3.154 \text{ m}
 \end{aligned}$$

Tabel 10 Rekapitulasi Perhitungan Hinsial dan *settlement*

| q | Sc Timbunan | H inisial | H final |
|------------------|------------------------|------------------|----------------|
| t/m ² | m | m | m |
| 2.00 | 0.273 | 1.213 | 0.940 |
| 3.00 | 0.632 | 1.902 | 1.270 |
| 4.00 | 0.966 | 2.582 | 1.616 |
| 5.00 | 1.275 | 3.253 | 1.978 |
| 6.00 | 1.557 | 3.913 | 2.356 |
| 7.00 | 1.820 | 4.567 | 2.747 |
| 8.00 | 2.057 | 5.211 | 3.154 |

Gambar 1 Kurva Hubungan Antara H_{final} dan H_{inisial}



Gambar 2 Kurva Hubungan Antara H_{final} dan *Settlement*

2. PERHITUNGAN DERAJAT KONSOLIDASI TOTAL PVD POLA PEMASANGAN SEGITIGA

Tabel 11 Hasil Perhitungan Faktor Hambatan (F_n) dengan PVD Pola Segitiga

| Jarak PVD S (m) | D (m) | a (m) | b (m) | d _w (m) | n | F(n) |
|-----------------|-------|-------|-------|--------------------|-------|------|
| 0.50 | 0.525 | 0.10 | 0.005 | 0.0525 | 10.00 | 1.57 |
| 0.60 | 0.630 | 0.10 | 0.005 | 0.0525 | 12.00 | 1.75 |
| 0.70 | 0.735 | 0.10 | 0.005 | 0.0525 | 14.00 | 1.90 |
| 0.80 | 0.840 | 0.10 | 0.005 | 0.0525 | 16.00 | 2.03 |
| 1.00 | 1.050 | 0.10 | 0.005 | 0.0525 | 20.00 | 2.25 |
| 1.20 | 1.260 | 0.10 | 0.005 | 0.0525 | 24.00 | 2.43 |
| 1.50 | 1.575 | 0.10 | 0.005 | 0.0525 | 30.00 | 2.65 |
| 1.80 | 1.890 | 0.10 | 0.005 | 0.0525 | 36.00 | 2.84 |
| 2.00 | 2.100 | 0.10 | 0.005 | 0.0525 | 40.00 | 2.94 |
| 2.50 | 2.625 | 0.10 | 0.005 | 0.0525 | 50.00 | 3.16 |

| | | |
|----------------|----------|------------------------|
| Cv rata-rata = | 0.000159 | cm ² /sec |
| = | 0.009639 | m ² /minggu |
| Hdr = | 11.50 | m |
| Ch = | 0.02892 | m ² /minggu |

Tabel 12 Hasil Perhitungan Derajat Konsolidasi dengan PVD Pola Segitiga

| Spasi = 0.5 m | | | | |
|----------------------|-----------|-----------|-----------|---------------|
| D = 0.525 m | | | | |
| F(n) = 1.57 | | | | |
| t (minggu) | Tv | Uv (%) | Uh (%) | Utotal (%) |
| 1 | 0.0000729 | 0.0096 | 0.235 | 24.25 |
| 2 | 0.0001458 | 0.0136 | 0.415 | 42.29 |
| 3 | 0.0002187 | 0.0167 | 0.553 | 56.00 |
| 4 | 0.0002915 | 0.0193 | 0.658 | 66.43 |
| 5 | 0.0003644 | 0.0215 | 0.738 | 74.38 |
| 6 | 0.0004373 | 0.0236 | 0.800 | 80.45 |
| 7 | 0.0005102 | 0.0255 | 0.847 | 85.07 |
| 8 | 0.0005831 | 0.0272 | 0.883 | 88.60 |
| 9 | 0.0006560 | 0.0289 | 0.910 | 91.30 |
| 10 | 0.0007289 | 0.0305 | 0.931 | 93.35 |
| 11 | 0.0008017 | 0.0320 | 0.948 | 94.92 |
| 12 | 0.0008746 | 0.0334 | 0.960 | 96.12 |
| 13 | 0.0009475 | 0.0347 | 0.969 | 97.04 |
| 14 | 0.0010204 | 0.0360 | 0.977 | 97.74 |
| 15 | 0.0010933 | 0.0373 | 0.982 | 98.27 |
| 16 | 0.0011662 | 0.0385 | 0.986 | 98.68 |
| 17 | 0.0012391 | 0.0397 | 0.990 | 98.99 |
| 18 | 0.0013119 | 0.0409 | 0.992 | 99.23 |
| 19 | 0.0013848 | 0.0420 | 0.994 | 99.41 |
| 20 | 0.0014577 | 0.0431 | 0.995 | 99.55 |
| 21 | 0.0015306 | 0.0441 | 0.996 | 99.66 |
| 22 | 0.0016035 | 0.0452 | 0.997 | 99.74 |
| 23 | 0.0016764 | 0.0462 | 0.998 | 99.80 |
| 24 | 0.0017493 | 0.0472 | 0.998 | 99.85 |

| Spasi = 0.6 m | | | | |
|----------------------|-----------|-----------|-----------|---------------|
| D = 0.630 m | | | | |
| F(n) = 1.75 | | | | |
| t (minggu) | Tv | Uv (%) | Uh (%) | Utotal (%) |
| 1 | 0.0000729 | 0.0096 | 0.154 | 16.19 |
| 2 | 0.0001458 | 0.0136 | 0.284 | 29.37 |
| 3 | 0.0002187 | 0.0167 | 0.394 | 40.42 |
| 4 | 0.0002915 | 0.0193 | 0.487 | 49.71 |
| 5 | 0.0003644 | 0.0215 | 0.566 | 57.54 |
| 6 | 0.0004373 | 0.0236 | 0.633 | 64.15 |
| 7 | 0.0005102 | 0.0255 | 0.689 | 69.72 |
| 8 | 0.0005831 | 0.0272 | 0.737 | 74.42 |
| 9 | 0.0006560 | 0.0289 | 0.778 | 78.39 |
| 10 | 0.0007289 | 0.0305 | 0.812 | 81.75 |
| 11 | 0.0008017 | 0.0320 | 0.841 | 84.58 |
| 12 | 0.0008746 | 0.0334 | 0.865 | 86.97 |
| 13 | 0.0009475 | 0.0347 | 0.886 | 88.99 |
| 14 | 0.0010204 | 0.0360 | 0.903 | 90.69 |
| 15 | 0.0010933 | 0.0373 | 0.918 | 92.14 |
| 16 | 0.0011662 | 0.0385 | 0.931 | 93.35 |
| 17 | 0.0012391 | 0.0397 | 0.941 | 94.38 |
| 18 | 0.0013119 | 0.0409 | 0.950 | 95.25 |
| 19 | 0.0013848 | 0.0420 | 0.958 | 95.99 |
| 20 | 0.0014577 | 0.0431 | 0.965 | 96.61 |
| 21 | 0.0015306 | 0.0441 | 0.970 | 97.13 |
| 22 | 0.0016035 | 0.0452 | 0.975 | 97.58 |
| 23 | 0.0016764 | 0.0462 | 0.979 | 97.95 |
| 24 | 0.0017493 | 0.0472 | 0.982 | 98.27 |

| Spasi = 0.70 m | | | | |
|-----------------------|-----------|-----------|-----------|---------------|
| D = 0.735 m | | | | |
| F(n) = 1.90 | | | | |
| t (minggu) | Tv | Uv (%) | Uh (%) | Utotal (%) |
| 1 | 0.0000729 | 0.0096 | 0.107 | 11.53 |
| 2 | 0.0001458 | 0.0136 | 0.202 | 21.29 |
| 3 | 0.0002187 | 0.0167 | 0.287 | 29.91 |
| 4 | 0.0002915 | 0.0193 | 0.363 | 37.55 |
| 5 | 0.0003644 | 0.0215 | 0.431 | 44.34 |
| 6 | 0.0004373 | 0.0236 | 0.492 | 50.39 |
| 7 | 0.0005102 | 0.0255 | 0.546 | 55.77 |
| 8 | 0.0005831 | 0.0272 | 0.595 | 60.56 |
| 9 | 0.0006560 | 0.0289 | 0.638 | 64.83 |
| 10 | 0.0007289 | 0.0305 | 0.676 | 68.63 |
| 11 | 0.0008017 | 0.0320 | 0.711 | 72.02 |
| 12 | 0.0008746 | 0.0334 | 0.742 | 75.04 |
| 13 | 0.0009475 | 0.0347 | 0.769 | 77.74 |
| 14 | 0.0010204 | 0.0360 | 0.794 | 80.14 |
| 15 | 0.0010933 | 0.0373 | 0.816 | 82.28 |
| 16 | 0.0011662 | 0.0385 | 0.836 | 84.19 |
| 17 | 0.0012391 | 0.0397 | 0.853 | 85.90 |
| 18 | 0.0013119 | 0.0409 | 0.869 | 87.42 |
| 19 | 0.0013848 | 0.0420 | 0.883 | 88.77 |
| 20 | 0.0014577 | 0.0431 | 0.895 | 89.98 |
| 21 | 0.0015306 | 0.0441 | 0.906 | 91.06 |
| 22 | 0.0016035 | 0.0452 | 0.916 | 92.02 |
| 23 | 0.0016764 | 0.0462 | 0.925 | 92.88 |
| 24 | 0.0017493 | 0.0472 | 0.933 | 93.65 |

Tabel 12 Hasil Perhitungan Derajat Konsolidasi dengan PVD Pola Segitiga (lanjutan)

| Spasi = 0.80 m | | | | | Spasi = 1.00 m | | | | | Spasi = 1.20 m | | | | |
|-----------------------|-----------|-----------|-----------|---------------|-----------------------|-----------|-----------|-----------|---------------|-----------------------|-----------|-----------|-----------|---------------|
| t (minggu) | Tv | Uv (%) | Uh (%) | Utotal (%) | t (minggu) | Tv | Uv (%) | Uh (%) | Utotal (%) | t (minggu) | Tv | Uv (%) | Uh (%) | Utotal (%) |
| 1 | 0.0000729 | 0.0096 | 0.078 | 8.65 | 1 | 0.0000729 | 0.0096 | 0.046 | 5.47 | 1 | 0.0000729 | 0.0096 | 0.030 | 3.89 |
| 2 | 0.0001458 | 0.0136 | 0.149 | 16.08 | 2 | 0.0001458 | 0.0136 | 0.089 | 10.14 | 2 | 0.0001458 | 0.0136 | 0.058 | 7.10 |
| 3 | 0.0002187 | 0.0167 | 0.215 | 22.83 | 3 | 0.0002187 | 0.0167 | 0.131 | 14.50 | 3 | 0.0002187 | 0.0167 | 0.086 | 10.12 |
| 4 | 0.0002915 | 0.0193 | 0.276 | 29.00 | 4 | 0.0002915 | 0.0193 | 0.170 | 18.61 | 4 | 0.0002915 | 0.0193 | 0.113 | 13.00 |
| 5 | 0.0003644 | 0.0215 | 0.332 | 34.66 | 5 | 0.0003644 | 0.0215 | 0.208 | 22.50 | 5 | 0.0003644 | 0.0215 | 0.139 | 15.77 |
| 6 | 0.0004373 | 0.0236 | 0.384 | 39.86 | 6 | 0.0004373 | 0.0236 | 0.244 | 26.18 | 6 | 0.0004373 | 0.0236 | 0.165 | 18.42 |
| 7 | 0.0005102 | 0.0255 | 0.432 | 44.64 | 7 | 0.0005102 | 0.0255 | 0.278 | 29.68 | 7 | 0.0005102 | 0.0255 | 0.189 | 20.99 |
| 8 | 0.0005831 | 0.0272 | 0.476 | 49.02 | 8 | 0.0005831 | 0.0272 | 0.311 | 33.00 | 8 | 0.0005831 | 0.0272 | 0.213 | 23.46 |
| 9 | 0.0006560 | 0.0289 | 0.517 | 53.06 | 9 | 0.0006560 | 0.0289 | 0.343 | 36.16 | 9 | 0.0006560 | 0.0289 | 0.236 | 25.84 |
| 10 | 0.0007289 | 0.0305 | 0.554 | 56.77 | 10 | 0.0007289 | 0.0305 | 0.373 | 39.17 | 10 | 0.0007289 | 0.0305 | 0.259 | 28.15 |
| 11 | 0.0008017 | 0.0320 | 0.589 | 60.19 | 11 | 0.0008017 | 0.0320 | 0.401 | 42.03 | 11 | 0.0008017 | 0.0320 | 0.281 | 30.37 |
| 12 | 0.0008746 | 0.0334 | 0.621 | 63.33 | 12 | 0.0008746 | 0.0334 | 0.428 | 44.75 | 12 | 0.0008746 | 0.0334 | 0.302 | 32.53 |
| 13 | 0.0009475 | 0.0347 | 0.650 | 66.22 | 13 | 0.0009475 | 0.0347 | 0.454 | 47.34 | 13 | 0.0009475 | 0.0347 | 0.323 | 34.61 |
| 14 | 0.0010204 | 0.0360 | 0.677 | 68.89 | 14 | 0.0010204 | 0.0360 | 0.479 | 49.81 | 14 | 0.0010204 | 0.0360 | 0.343 | 36.63 |
| 15 | 0.0010933 | 0.0373 | 0.702 | 71.34 | 15 | 0.0010933 | 0.0373 | 0.503 | 52.16 | 15 | 0.0010933 | 0.0373 | 0.362 | 38.58 |
| 16 | 0.0011662 | 0.0385 | 0.725 | 73.60 | 16 | 0.0011662 | 0.0385 | 0.526 | 54.39 | 16 | 0.0011662 | 0.0385 | 0.381 | 40.47 |
| 17 | 0.0012391 | 0.0397 | 0.747 | 75.67 | 17 | 0.0012391 | 0.0397 | 0.547 | 56.52 | 17 | 0.0012391 | 0.0397 | 0.399 | 42.30 |
| 18 | 0.0013119 | 0.0409 | 0.766 | 77.59 | 18 | 0.0013119 | 0.0409 | 0.568 | 58.55 | 18 | 0.0013119 | 0.0409 | 0.417 | 44.07 |
| 19 | 0.0013848 | 0.0420 | 0.784 | 79.35 | 19 | 0.0013848 | 0.0420 | 0.588 | 60.49 | 19 | 0.0013848 | 0.0420 | 0.434 | 45.78 |
| 20 | 0.0014577 | 0.0431 | 0.801 | 80.98 | 20 | 0.0014577 | 0.0431 | 0.606 | 62.33 | 20 | 0.0014577 | 0.0431 | 0.451 | 47.44 |
| 21 | 0.0015306 | 0.0441 | 0.817 | 82.47 | 21 | 0.0015306 | 0.0441 | 0.624 | 64.09 | 21 | 0.0015306 | 0.0441 | 0.467 | 49.05 |
| 22 | 0.0016035 | 0.0452 | 0.831 | 83.85 | 22 | 0.0016035 | 0.0452 | 0.641 | 65.76 | 22 | 0.0016035 | 0.0452 | 0.483 | 50.61 |
| 23 | 0.0016764 | 0.0462 | 0.844 | 85.12 | 23 | 0.0016764 | 0.0462 | 0.658 | 67.35 | 23 | 0.0016764 | 0.0462 | 0.498 | 52.12 |
| 24 | 0.0017493 | 0.0472 | 0.856 | 86.29 | 24 | 0.0017493 | 0.0472 | 0.673 | 68.87 | 24 | 0.0017493 | 0.0472 | 0.513 | 53.58 |

Tabel 12 Hasil Perhitungan Derajat Konsolidasi dengan PVD Pola Segitiga (lanjutan)

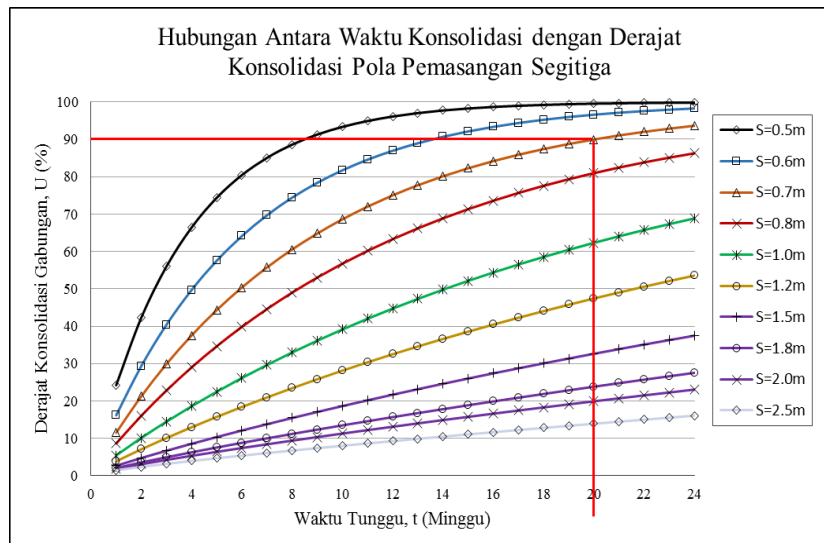
| Spasi = 1.50 m | | | | |
|-----------------------|-----------|-----------|-----------|---------------|
| D = 1.575 m | | | | |
| F(n) = 2.65 | | | | |
| t (minggu) | Tv | Uv (%) | Uh (%) | Utotal (%) |
| 1 | 0.0000729 | 0.0096 | 0.017 | 2.69 |
| 2 | 0.0001458 | 0.0136 | 0.035 | 4.77 |
| 3 | 0.0002187 | 0.0167 | 0.051 | 6.72 |
| 4 | 0.0002915 | 0.0193 | 0.068 | 8.58 |
| 5 | 0.0003644 | 0.0215 | 0.084 | 10.38 |
| 6 | 0.0004373 | 0.0236 | 0.100 | 12.13 |
| 7 | 0.0005102 | 0.0255 | 0.116 | 13.83 |
| 8 | 0.0005831 | 0.0272 | 0.131 | 15.48 |
| 9 | 0.0006560 | 0.0289 | 0.146 | 17.09 |
| 10 | 0.0007289 | 0.0305 | 0.161 | 18.67 |
| 11 | 0.0008017 | 0.0320 | 0.176 | 20.21 |
| 12 | 0.0008746 | 0.0334 | 0.190 | 21.71 |
| 13 | 0.0009475 | 0.0347 | 0.204 | 23.18 |
| 14 | 0.0010204 | 0.0360 | 0.218 | 24.63 |
| 15 | 0.0010933 | 0.0373 | 0.232 | 26.04 |
| 16 | 0.0011662 | 0.0385 | 0.245 | 27.42 |
| 17 | 0.0012391 | 0.0397 | 0.258 | 28.77 |
| 18 | 0.0013119 | 0.0409 | 0.271 | 30.09 |
| 19 | 0.0013848 | 0.0420 | 0.284 | 31.39 |
| 20 | 0.0014577 | 0.0431 | 0.296 | 32.66 |
| 21 | 0.0015306 | 0.0441 | 0.309 | 33.91 |
| 22 | 0.0016035 | 0.0452 | 0.321 | 35.13 |
| 23 | 0.0016764 | 0.0462 | 0.332 | 36.33 |
| 24 | 0.0017493 | 0.0472 | 0.344 | 37.50 |

| Spasi = 1.80 m | | | | |
|-----------------------|-----------|-----------|-----------|---------------|
| D = 1.890 m | | | | |
| F(n) = 2.84 | | | | |
| t (minggu) | Tv | Uv (%) | Uh (%) | Utotal (%) |
| 1 | 0.0000729 | 0.0096 | 0.011 | 2.09 |
| 2 | 0.0001458 | 0.0136 | 0.023 | 3.59 |
| 3 | 0.0002187 | 0.0167 | 0.034 | 4.98 |
| 4 | 0.0002915 | 0.0193 | 0.045 | 6.31 |
| 5 | 0.0003644 | 0.0215 | 0.056 | 7.58 |
| 6 | 0.0004373 | 0.0236 | 0.066 | 8.83 |
| 7 | 0.0005102 | 0.0255 | 0.077 | 10.04 |
| 8 | 0.0005831 | 0.0272 | 0.087 | 11.22 |
| 9 | 0.0006560 | 0.0289 | 0.098 | 12.38 |
| 10 | 0.0007289 | 0.0305 | 0.108 | 13.51 |
| 11 | 0.0008017 | 0.0320 | 0.118 | 14.62 |
| 12 | 0.0008746 | 0.0334 | 0.128 | 15.72 |
| 13 | 0.0009475 | 0.0347 | 0.138 | 16.79 |
| 14 | 0.0010204 | 0.0360 | 0.148 | 17.85 |
| 15 | 0.0010933 | 0.0373 | 0.157 | 18.89 |
| 16 | 0.0011662 | 0.0385 | 0.167 | 19.91 |
| 17 | 0.0012391 | 0.0397 | 0.176 | 20.92 |
| 18 | 0.0013119 | 0.0409 | 0.186 | 21.91 |
| 19 | 0.0013848 | 0.0420 | 0.195 | 22.89 |
| 20 | 0.0014577 | 0.0431 | 0.204 | 23.85 |
| 21 | 0.0015306 | 0.0441 | 0.213 | 24.80 |
| 22 | 0.0016035 | 0.0452 | 0.222 | 25.73 |
| 23 | 0.0016764 | 0.0462 | 0.231 | 26.65 |
| 24 | 0.0017493 | 0.0472 | 0.240 | 27.56 |

| Spasi = 2.00 m | | | | |
|-----------------------|-----------|-----------|-----------|---------------|
| D = 2.100 m | | | | |
| F(n) = 2.94 | | | | |
| t (minggu) | Tv | Uv (%) | Uh (%) | Utotal (%) |
| 1 | 0.0000729 | 0.0096 | 0.009 | 1.84 |
| 2 | 0.0001458 | 0.0136 | 0.018 | 3.11 |
| 3 | 0.0002187 | 0.0167 | 0.026 | 4.26 |
| 4 | 0.0002915 | 0.0193 | 0.035 | 5.36 |
| 5 | 0.0003644 | 0.0215 | 0.044 | 6.42 |
| 6 | 0.0004373 | 0.0236 | 0.052 | 7.45 |
| 7 | 0.0005102 | 0.0255 | 0.061 | 8.45 |
| 8 | 0.0005831 | 0.0272 | 0.069 | 9.42 |
| 9 | 0.0006560 | 0.0289 | 0.077 | 10.38 |
| 10 | 0.0007289 | 0.0305 | 0.085 | 11.32 |
| 11 | 0.0008017 | 0.0320 | 0.093 | 12.24 |
| 12 | 0.0008746 | 0.0334 | 0.102 | 13.15 |
| 13 | 0.0009475 | 0.0347 | 0.109 | 14.04 |
| 14 | 0.0010204 | 0.0360 | 0.117 | 14.92 |
| 15 | 0.0010933 | 0.0373 | 0.125 | 15.79 |
| 16 | 0.0011662 | 0.0385 | 0.133 | 16.64 |
| 17 | 0.0012391 | 0.0397 | 0.141 | 17.48 |
| 18 | 0.0013119 | 0.0409 | 0.148 | 18.31 |
| 19 | 0.0013848 | 0.0420 | 0.156 | 19.13 |
| 20 | 0.0014577 | 0.0431 | 0.163 | 19.94 |
| 21 | 0.0015306 | 0.0441 | 0.171 | 20.74 |
| 22 | 0.0016035 | 0.0452 | 0.178 | 21.53 |
| 23 | 0.0016764 | 0.0462 | 0.185 | 22.31 |
| 24 | 0.0017493 | 0.0472 | 0.193 | 23.08 |

Tabel 12 Hasil Perhitungan Derajat Konsolidasi dengan PVD Pola Segitiga (lanjutan)

| Spasi = 2.50 m D = 2.625 m F(n) = 3.16 | | | | |
|--|-----------|--------|--------|------------|
| t (minggu) | Tv | Uv (%) | Uh (%) | Utotal (%) |
| 1 | 0.0000729 | 0.0096 | 0.005 | 1.49 |
| 2 | 0.0001458 | 0.0136 | 0.011 | 2.40 |
| 3 | 0.0002187 | 0.0167 | 0.016 | 3.22 |
| 4 | 0.0002915 | 0.0193 | 0.021 | 3.99 |
| 5 | 0.0003644 | 0.0215 | 0.026 | 4.72 |
| 6 | 0.0004373 | 0.0236 | 0.031 | 5.42 |
| 7 | 0.0005102 | 0.0255 | 0.036 | 6.10 |
| 8 | 0.0005831 | 0.0272 | 0.042 | 6.77 |
| 9 | 0.0006560 | 0.0289 | 0.047 | 7.42 |
| 10 | 0.0007289 | 0.0305 | 0.052 | 8.06 |
| 11 | 0.0008017 | 0.0320 | 0.057 | 8.68 |
| 12 | 0.0008746 | 0.0334 | 0.062 | 9.30 |
| 13 | 0.0009475 | 0.0347 | 0.067 | 9.91 |
| 14 | 0.0010204 | 0.0360 | 0.072 | 10.51 |
| 15 | 0.0010933 | 0.0373 | 0.077 | 11.10 |
| 16 | 0.0011662 | 0.0385 | 0.081 | 11.68 |
| 17 | 0.0012391 | 0.0397 | 0.086 | 12.26 |
| 18 | 0.0013119 | 0.0409 | 0.091 | 12.83 |
| 19 | 0.0013848 | 0.0420 | 0.096 | 13.39 |
| 20 | 0.0014577 | 0.0431 | 0.101 | 13.94 |
| 21 | 0.0015306 | 0.0441 | 0.105 | 14.49 |
| 22 | 0.0016035 | 0.0452 | 0.110 | 15.04 |
| 23 | 0.0016764 | 0.0462 | 0.115 | 15.58 |
| 24 | 0.0017493 | 0.0472 | 0.120 | 16.11 |



Gambar 3 Grafik Hubungan Antara Waktu Konsolidasi dan Derajat Konsolidasi Pola Pemasangan Segitiga

3. PERHITUNGAN DERAJAT KONSOLIDASI TOTAL PVD POLA PEMASANGAN SEGIEMPAT

Tabel 13 Hasil Perhitungan Faktor Hambatan (F_n) dengan PVD Pola Segiempat

| Jarak PVD S (m) | D (m) | a (m) | b (m) | dw (m) | n | F(n) |
|-----------------|-------|-------|-------|--------|-------|------|
| 0.50 | 0.565 | 0.10 | 0.005 | 0.0525 | 10.76 | 1.64 |
| 0.60 | 0.678 | 0.10 | 0.005 | 0.0525 | 12.91 | 1.82 |
| 0.70 | 0.791 | 0.10 | 0.005 | 0.0525 | 15.07 | 1.97 |
| 0.80 | 0.904 | 0.10 | 0.005 | 0.0525 | 17.22 | 2.10 |
| 1.00 | 1.130 | 0.10 | 0.005 | 0.0525 | 21.52 | 2.32 |
| 1.20 | 1.356 | 0.10 | 0.005 | 0.0525 | 25.83 | 2.50 |
| 1.50 | 1.695 | 0.10 | 0.005 | 0.0525 | 32.29 | 2.73 |
| 1.80 | 2.034 | 0.10 | 0.005 | 0.0525 | 38.74 | 2.91 |
| 2.00 | 2.260 | 0.10 | 0.005 | 0.0525 | 43.05 | 3.01 |
| 2.50 | 2.825 | 0.10 | 0.005 | 0.0525 | 53.81 | 3.24 |

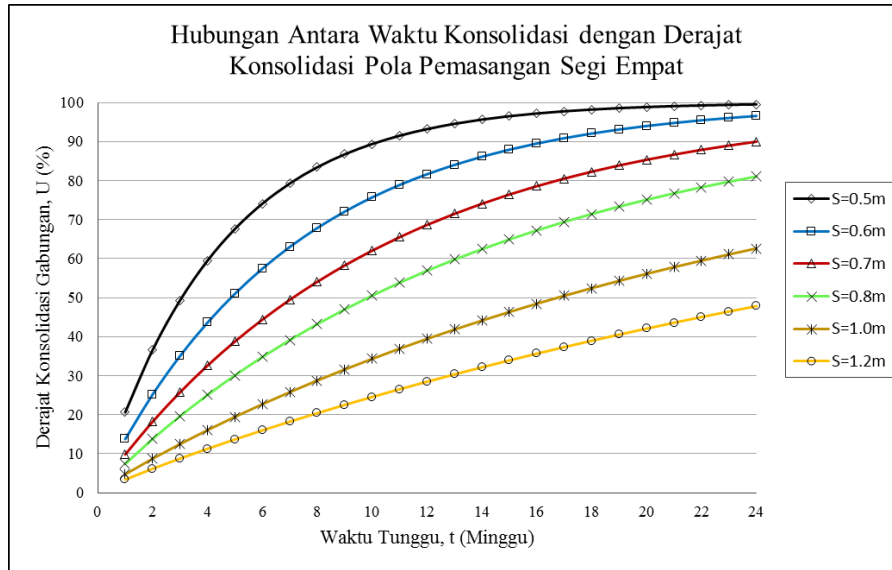
| | | |
|----------------|----------|------------------------|
| Cv rata-rata = | 0.000159 | cm ² /sec |
| = | 0.009639 | m ² /minggu |
| Hdr = | 11.50 | m |
| Ch = | 0.02892 | m ² /minggu |

Tabel 14 Hasil Perhitungan Derajat Konsolidasi dengan PVD Pola Segiempat

| Spasi = 0.50 m | | | | | Spasi = 0.60 m | | | | | Spasi = 0.70 m | | | | |
|-----------------------|-----------|-----------|-----------|---------------|-----------------------|-----------|-----------|-----------|---------------|-----------------------|-----------|-----------|-----------|---------------|
| | | | | | | | | | | | | | | |
| t (minggu) | Tv | Uv (%) | Uh (%) | Utotal (%) | t (minggu) | Tv | Uv (%) | Uh (%) | Utotal (%) | t (minggu) | Tv | Uv (%) | Uh (%) | Utotal (%) |
| 1 | 0.0000729 | 0.0096 | 0.198 | 20.62 | 1 | 0.0000729 | 0.0096 | 0.129 | 13.77 | 1 | 0.0000729 | 0.0096 | 0.090 | 9.83 |
| 2 | 0.0001458 | 0.0136 | 0.358 | 36.63 | 2 | 0.0001458 | 0.0136 | 0.242 | 25.22 | 2 | 0.0001458 | 0.0136 | 0.171 | 18.24 |
| 3 | 0.0002187 | 0.0167 | 0.485 | 49.36 | 3 | 0.0002187 | 0.0167 | 0.340 | 35.09 | 3 | 0.0002187 | 0.0167 | 0.245 | 25.80 |
| 4 | 0.0002915 | 0.0193 | 0.587 | 59.52 | 4 | 0.0002915 | 0.0193 | 0.425 | 43.63 | 4 | 0.0002915 | 0.0193 | 0.313 | 32.62 |
| 5 | 0.0003644 | 0.0215 | 0.669 | 67.63 | 5 | 0.0003644 | 0.0215 | 0.500 | 51.03 | 5 | 0.0003644 | 0.0215 | 0.374 | 38.80 |
| 6 | 0.0004373 | 0.0236 | 0.735 | 74.11 | 6 | 0.0004373 | 0.0236 | 0.564 | 57.45 | 6 | 0.0004373 | 0.0236 | 0.431 | 44.40 |
| 7 | 0.0005102 | 0.0255 | 0.787 | 79.28 | 7 | 0.0005102 | 0.0255 | 0.621 | 63.02 | 7 | 0.0005102 | 0.0255 | 0.482 | 49.47 |
| 8 | 0.0005831 | 0.0272 | 0.830 | 83.43 | 8 | 0.0005831 | 0.0272 | 0.670 | 67.86 | 8 | 0.0005831 | 0.0272 | 0.528 | 54.08 |
| 9 | 0.0006560 | 0.0289 | 0.863 | 86.74 | 9 | 0.0006560 | 0.0289 | 0.712 | 72.06 | 9 | 0.0006560 | 0.0289 | 0.570 | 58.27 |
| 10 | 0.0007289 | 0.0305 | 0.891 | 89.39 | 10 | 0.0007289 | 0.0305 | 0.750 | 75.71 | 10 | 0.0007289 | 0.0305 | 0.609 | 62.07 |
| 11 | 0.0008017 | 0.0320 | 0.912 | 91.51 | 11 | 0.0008017 | 0.0320 | 0.782 | 78.89 | 11 | 0.0008017 | 0.0320 | 0.644 | 65.52 |
| 12 | 0.0008746 | 0.0334 | 0.930 | 93.20 | 12 | 0.0008746 | 0.0334 | 0.810 | 81.64 | 12 | 0.0008746 | 0.0334 | 0.676 | 68.65 |
| 13 | 0.0009475 | 0.0347 | 0.944 | 94.56 | 13 | 0.0009475 | 0.0347 | 0.835 | 84.04 | 13 | 0.0009475 | 0.0347 | 0.705 | 71.50 |
| 14 | 0.0010204 | 0.0360 | 0.955 | 95.64 | 14 | 0.0010204 | 0.0360 | 0.856 | 86.12 | 14 | 0.0010204 | 0.0360 | 0.731 | 74.09 |
| 15 | 0.0010933 | 0.0373 | 0.964 | 96.51 | 15 | 0.0010933 | 0.0373 | 0.875 | 87.93 | 15 | 0.0010933 | 0.0373 | 0.755 | 76.44 |
| 16 | 0.0011662 | 0.0385 | 0.971 | 97.21 | 16 | 0.0011662 | 0.0385 | 0.891 | 89.50 | 16 | 0.0011662 | 0.0385 | 0.777 | 78.58 |
| 17 | 0.0012391 | 0.0397 | 0.977 | 97.77 | 17 | 0.0012391 | 0.0397 | 0.905 | 90.87 | 17 | 0.0012391 | 0.0397 | 0.797 | 80.52 |
| 18 | 0.0013119 | 0.0409 | 0.981 | 98.21 | 18 | 0.0013119 | 0.0409 | 0.917 | 92.06 | 18 | 0.0013119 | 0.0409 | 0.815 | 82.29 |
| 19 | 0.0013848 | 0.0420 | 0.985 | 98.57 | 19 | 0.0013848 | 0.0420 | 0.928 | 93.10 | 19 | 0.0013848 | 0.0420 | 0.832 | 83.89 |
| 20 | 0.0014577 | 0.0431 | 0.988 | 98.85 | 20 | 0.0014577 | 0.0431 | 0.937 | 94.00 | 20 | 0.0014577 | 0.0431 | 0.847 | 85.35 |
| 21 | 0.0015306 | 0.0441 | 0.990 | 99.08 | 21 | 0.0015306 | 0.0441 | 0.945 | 94.78 | 21 | 0.0015306 | 0.0441 | 0.861 | 86.68 |
| 22 | 0.0016035 | 0.0452 | 0.992 | 99.26 | 22 | 0.0016035 | 0.0452 | 0.952 | 95.46 | 22 | 0.0016035 | 0.0452 | 0.873 | 87.88 |
| 23 | 0.0016764 | 0.0462 | 0.994 | 99.41 | 23 | 0.0016764 | 0.0462 | 0.959 | 96.05 | 23 | 0.0016764 | 0.0462 | 0.884 | 88.98 |
| 24 | 0.0017493 | 0.0472 | 0.995 | 99.53 | 24 | 0.0017493 | 0.0472 | 0.964 | 96.56 | 24 | 0.0017493 | 0.0472 | 0.895 | 89.98 |

Tabel 14 Hasil Perhitungan Derajat Konsolidasi dengan PVD Pola Segiempat (lanjutan)

| Spasi = 0.80 m | | | | | Spasi = 1.00 m | | | | | Spasi = 1.20 m | | | | |
|-----------------------|-----------|-----------|-----------|---------------|-----------------------|-----------|-----------|-----------|---------------|-----------------------|-----------|-----------|-----------|---------------|
| D = 0.904 m | | | | | D = 1.130 m | | | | | D = 1.356 m | | | | |
| F(n) = 2.10 | | | | | F(n) = 2.32 | | | | | F(n) = 2.50 | | | | |
| t (minggu) | Tv | Uv (%) | Uh (%) | Utotal (%) | t (minggu) | Tv | Uv (%) | Uh (%) | Utotal (%) | t (minggu) | Tv | Uv (%) | Uh (%) | Utotal (%) |
| 1 | 0.0000729 | 0.0096 | 0.065 | 7.41 | 1 | 0.0000729 | 0.0096 | 0.038 | 4.75 | 1 | 0.0000729 | 0.0096 | 0.025 | 3.42 |
| 2 | 0.0001458 | 0.0136 | 0.126 | 13.79 | 2 | 0.0001458 | 0.0136 | 0.075 | 8.76 | 2 | 0.0001458 | 0.0136 | 0.049 | 6.19 |
| 3 | 0.0002187 | 0.0167 | 0.183 | 19.65 | 3 | 0.0002187 | 0.0167 | 0.110 | 12.52 | 3 | 0.0002187 | 0.0167 | 0.073 | 8.80 |
| 4 | 0.0002915 | 0.0193 | 0.236 | 25.08 | 4 | 0.0002915 | 0.0193 | 0.144 | 16.09 | 4 | 0.0002915 | 0.0193 | 0.096 | 11.30 |
| 5 | 0.0003644 | 0.0215 | 0.286 | 30.12 | 5 | 0.0003644 | 0.0215 | 0.177 | 19.48 | 5 | 0.0003644 | 0.0215 | 0.118 | 13.70 |
| 6 | 0.0004373 | 0.0236 | 0.332 | 34.81 | 6 | 0.0004373 | 0.0236 | 0.209 | 22.72 | 6 | 0.0004373 | 0.0236 | 0.140 | 16.02 |
| 7 | 0.0005102 | 0.0255 | 0.376 | 39.17 | 7 | 0.0005102 | 0.0255 | 0.239 | 25.82 | 7 | 0.0005102 | 0.0255 | 0.161 | 18.26 |
| 8 | 0.0005831 | 0.0272 | 0.416 | 43.24 | 8 | 0.0005831 | 0.0272 | 0.268 | 28.79 | 8 | 0.0005831 | 0.0272 | 0.182 | 20.43 |
| 9 | 0.0006560 | 0.0289 | 0.454 | 47.02 | 9 | 0.0006560 | 0.0289 | 0.296 | 31.63 | 9 | 0.0006560 | 0.0289 | 0.202 | 22.54 |
| 10 | 0.0007289 | 0.0305 | 0.490 | 50.55 | 10 | 0.0007289 | 0.0305 | 0.323 | 34.35 | 10 | 0.0007289 | 0.0305 | 0.222 | 24.58 |
| 11 | 0.0008017 | 0.0320 | 0.523 | 53.84 | 11 | 0.0008017 | 0.0320 | 0.349 | 36.95 | 11 | 0.0008017 | 0.0320 | 0.241 | 26.56 |
| 12 | 0.0008746 | 0.0334 | 0.554 | 56.91 | 12 | 0.0008746 | 0.0334 | 0.374 | 39.45 | 12 | 0.0008746 | 0.0334 | 0.260 | 28.49 |
| 13 | 0.0009475 | 0.0347 | 0.583 | 59.77 | 13 | 0.0009475 | 0.0347 | 0.398 | 41.85 | 13 | 0.0009475 | 0.0347 | 0.279 | 30.36 |
| 14 | 0.0010204 | 0.0360 | 0.610 | 62.44 | 14 | 0.0010204 | 0.0360 | 0.421 | 44.15 | 14 | 0.0010204 | 0.0360 | 0.296 | 32.18 |
| 15 | 0.0010933 | 0.0373 | 0.636 | 64.93 | 15 | 0.0010933 | 0.0373 | 0.443 | 46.36 | 15 | 0.0010933 | 0.0373 | 0.314 | 33.95 |
| 16 | 0.0011662 | 0.0385 | 0.659 | 67.26 | 16 | 0.0011662 | 0.0385 | 0.464 | 48.47 | 16 | 0.0011662 | 0.0385 | 0.331 | 35.67 |
| 17 | 0.0012391 | 0.0397 | 0.682 | 69.43 | 17 | 0.0012391 | 0.0397 | 0.485 | 50.50 | 17 | 0.0012391 | 0.0397 | 0.347 | 37.34 |
| 18 | 0.0013119 | 0.0409 | 0.702 | 71.45 | 18 | 0.0013119 | 0.0409 | 0.504 | 52.45 | 18 | 0.0013119 | 0.0409 | 0.364 | 38.97 |
| 19 | 0.0013848 | 0.0420 | 0.722 | 73.34 | 19 | 0.0013848 | 0.0420 | 0.523 | 54.32 | 19 | 0.0013848 | 0.0420 | 0.379 | 40.55 |
| 20 | 0.0014577 | 0.0431 | 0.740 | 75.11 | 20 | 0.0014577 | 0.0431 | 0.541 | 56.12 | 20 | 0.0014577 | 0.0431 | 0.395 | 42.09 |
| 21 | 0.0015306 | 0.0441 | 0.757 | 76.75 | 21 | 0.0015306 | 0.0441 | 0.559 | 57.85 | 21 | 0.0015306 | 0.0441 | 0.410 | 43.59 |
| 22 | 0.0016035 | 0.0452 | 0.773 | 78.29 | 22 | 0.0016035 | 0.0452 | 0.576 | 59.50 | 22 | 0.0016035 | 0.0452 | 0.424 | 45.05 |
| 23 | 0.0016764 | 0.0462 | 0.787 | 79.73 | 23 | 0.0016764 | 0.0462 | 0.592 | 61.09 | 23 | 0.0016764 | 0.0462 | 0.439 | 46.47 |
| 24 | 0.0017493 | 0.0472 | 0.801 | 81.07 | 24 | 0.0017493 | 0.0472 | 0.608 | 62.62 | 24 | 0.0017493 | 0.0472 | 0.453 | 47.85 |



Gambar 4 Grafik Hubungan Antara Waktu Konsolidasi dan Derajat Konsolidasi Pola Pemasangan Segiempat

4. PERHITUNGAN BIAYA BAHAN

1) TIMBUNAN

Area yang ditimbun adalah area kolam loncat indah dan kolam renang

a. Zona I (Kolam Loncat Indah)

$$H \text{ insial} = 4.20 \text{ m}$$

$$B_1 = 30\text{m}$$

$$B_2 = 46.8\text{m}$$

$$L = 5 + 17 + 5$$

$$= 27 \text{ m}$$

$$\text{Vol. timbunan} = \text{Luas zona timbuna Trapesium} \times L$$

$$= (0.5 \times (30 + 46.8) \times 4.20) \times 27$$

$$= 161.28 \times 27$$

$$= 4354.56 \text{ m}^3$$

$$\text{Harga timbunan /m}^3 = \text{Rp } 190,800$$

$$\text{Total Biaya} = \text{Volume timbunan} \times \text{Harga timbunan/m}^3$$

$$= 4354.56 \times \text{Rp } 190,800$$

$$= \text{Rp } 830,850,048$$

b. Zona II (Kolam Renang)

$$H \text{ insial} = 4.20 \text{ m}$$

$$B_1 = 30\text{m}$$

$$B_2 = 46.8\text{m}$$

$$L = 5 + 60 + 5$$

$$= 60 \text{ m}$$

$$\text{Vol. timbunan} = \text{Luas zona timb. Trapesium} \times L$$

$$= (0.5 \times (30 + 46.8) \times 4.20) \times 60$$

$$= 161.28 \times 60$$

$$= 9676.8 \text{ m}^3$$

$$\text{Harga timbunan /m}^3 = \text{Rp } 190,800$$

$$\text{Total Biaya} = 9676.8 \times \text{Rp } 190,800$$

$$= \text{Rp } 1,846,333,440$$

2) BORED PILE D 1.2 m

Bored pile yang akan digunakan sebagai turap pada kondisi I dengan spesifikasi

Diameter = 1.2 m

L tiang = 44 m

Mutu beton = 30 Mpa

Fy = 420 Mpa

D tul. Lentur = 32 mm

D tul.geser = 13 mm

Selimut beton = 40 mm

$$\begin{aligned} Ag (\text{ Luas bore pile}) &= 0.25 \times 3.14 \times D^2 \\ &= 1130973.355 \text{ mm}^2 \end{aligned}$$

a. Perhitungan Beton

$$\text{Volume tiang} = Ag \times L \text{ tiang}$$

$$= 1130973.355 \times (44 \times 1000)$$

$$= 49762827633 \text{ mm}^3$$

$$= 49.77 \text{ m}^3$$

$$= 50 \text{ m}^3$$

Harga Beton fc'30 atau K 375 = Rp 1,275,000/m³

Jumlah harga beton = Volume tiang x Harga beton/m³

$$= 50 \times \text{Rp } 1,275,000$$

$$= \text{Rp } 63,750,000$$

b. Perhitungan Besi

n tul utama = 47 buah

Volume total = n tulangan x L tiang

$$= 47 \times 44$$

$$= 2068 \text{ m}$$

Volume per 12 m = volume total / panjang 1 btg tulangan

$$= 2068 \text{ m} / 12 \text{ m}$$

$$= 172.33 \text{ buah}$$

Harga D32 @12m = Rp 560,328

Jumlah harga D32 = 172.33 x Rp 560,328

$$= \text{Rp } 96,563,192$$

Tulangan sengkang

$$D13 - 150 \text{ mm} = 0.15 \text{ m}$$

$$\text{Jumlah spiral pertiang} = 44 / 0.15$$

$$= 294 \text{ buah}$$

$$\begin{aligned} \text{Panjang 1 sengkang} &= 3.14 \times 1.2 \\ &= 3.77 \text{ m} \end{aligned}$$

$$\begin{aligned} \text{Pjg total sengkang} &= 294 \times 3.77 \\ &= 1108.35 \text{ m} \end{aligned}$$

$$\begin{aligned} \text{Jml tul. @12 m} &= 1108.35 / 12 \\ &= 92.36 \text{ buah} \end{aligned}$$

$$\text{Harga D13 @12m} = \text{Rp } 92,352$$

$$\begin{aligned} \text{Jumlah harga D13} &= 92.36 \times \text{Rp } 92,352 \\ &= \text{Rp } 8,529,892 \end{aligned}$$

Total Harga 1 buah tiang borpile D1.2m L = 44m

= Harga Beton + Harga Tulangan D32 + Harga Tulangan
D13

$$\begin{aligned} &= \text{Rp } 63,750,000 + \text{Rp } 96,563,192 + \text{Rp } 8,529,892 \\ &= \text{Rp } 168,843,084 \end{aligned}$$

- c. Perhitungan kebutuhan borpile untuk kolam loncat indah

$$L1 = 21\text{m}$$

$$\begin{aligned} \text{Kebutuhan turap} &= 21 / 1.2 \\ &= 18 \text{ buah} \end{aligned}$$

$$L2 = 17\text{m}$$

$$\begin{aligned} \text{Kebutuhan turap} &= 17 / 1.2 \\ &= 15 \text{ buah} \end{aligned}$$

$$\begin{aligned} \text{Total borepile} &= 18 + 15 \\ &= 33 \text{ buah} \end{aligned}$$

3) BORED PILE D 0.6 m

Bored pile yang akan digunakan sebagai turap pada kondisi II dengan spesifikasi

Diameter = 0.6 m

L tiang = 23 m

Mutu beton = 30 Mpa

Fy = 420 Mpa

D tul. Lentur = 25 mm

D tul.geser = 13 mm

Selimut beton = 40 mm

$$\begin{aligned} A_g (\text{Luas bore pile}) &= 0.25 \times 3.14 \times D^2 \\ &= 282743.3388 \text{ mm}^2 \end{aligned}$$

a. Perhitungan Beton

$$\text{Volume tiang} = A_g \times L \text{ tiang}$$

$$= 282743.3388 \times (23 \times 1000)$$

$$= 6503096793 \text{ mm}^3$$

$$= 6.51 \text{ m}^3$$

$$= 7 \text{ m}^3$$

Harga Beton fc'30 atau K 375 = Rp 1,275,000/m³

$$\text{Jumlah harga beton} = \text{Volume tiang} \times \text{Harga beton}/\text{m}^3$$

$$= 7 \times \text{Rp } 1,275,000$$

$$= \text{Rp } 8,925,000$$

b. Perhitungan Besi

$$n \text{ tul utama} = 23 \text{ buah}$$

$$\text{Volume total} = n \text{ tulangan} \times L \text{ tiang}$$

$$= 23 \times 23$$

$$= 529 \text{ m}$$

$$\text{Volume per 12 m} = \text{volume total} / \text{panjang 1 btg tulangan}$$

$$= 529 \text{ m} / 12 \text{ m}$$

$$= 44.08 \text{ buah}$$

Harga D25 @12m = Rp 341,880

$$\text{Jumlah harga D25} = 44.08 \times \text{Rp } 341,880$$

$$= \text{Rp } 15,071,210$$

Tulangan sengkang

$$D13 - 150 \text{ mm} = 0.15 \text{ m}$$

$$\begin{aligned} \text{Jumlah spiral pertiang} &= 23 / 0.15 \\ &= 154 \text{ buah} \end{aligned}$$

$$\begin{aligned} \text{Panjang 1 sengkang} &= 3.14 \times 0.6 \\ &= 1.88 \text{ m} \end{aligned}$$

$$\begin{aligned} \text{Pjg total sengkang} &= 154 \times 1.88 \\ &= 290.28 \text{ m} \end{aligned}$$

$$\begin{aligned} \text{Jml tul. @12 m} &= 290.28 / 12 \\ &= 24.19 \text{ buah} \end{aligned}$$

$$\text{Harga D13 @12m} = \text{Rp } 92,352$$

$$\begin{aligned} \text{Jumlah harga D13} &= 24.19 \times \text{Rp } 92,352 \\ &= \text{Rp } 2,234,019 \end{aligned}$$

Total Harga 1 buah tiang borpile D0.6 m L = 23m

= Harga Beton + Harga Tulangan D25 + Harga Tulangan

D13

$$= \text{Rp } 8,925,000 + \text{Rp } 15,071,210 + \text{Rp } 2,234,019$$

$$= \text{Rp } 26,230,229$$

- c. Perhitungan kebutuhan borpile untuk kolam loncat indah sisi ujung timbunan untuk menghindari penurunan muka air di luar area kolam

$$L1 = 41\text{m}$$

$$\begin{aligned} \text{Kebutuhan turap} &= 41 / 0.6 \\ &= 69 \text{ buah} \end{aligned}$$

$$L2 = 27\text{m}$$

$$\begin{aligned} \text{Kebutuhan turap} &= 27 / 0.6 \\ &= 45 \text{ buah} \end{aligned}$$

$$\begin{aligned} \text{Total borepile} &= 69 + 45 \\ &= 114 \text{ buah} \end{aligned}$$

4) BORED PILE D 0.6 m

Bored pile yang akan digunakan sebagai turap pada kondisi II dengan spesifikasi

$$\text{Diameter} = 0.6 \text{ m}$$

$$\text{L tiang} = 25 \text{ m}$$

$$\text{Mutu beton} = 30 \text{ Mpa}$$

$$F_y = 420 \text{ Mpa}$$

$$D_{\text{tul. Lentur}} = 25 \text{ mm}$$

$$D_{\text{tul. geser}} = 13 \text{ mm}$$

$$\text{Selimut beton} = 40 \text{ mm}$$

$$\begin{aligned} A_g (\text{Luas bore pile}) &= 0.25 \times 3.14 \times D^2 \\ &= 282743.3388 \text{ mm}^2 \end{aligned}$$

a. Perhitungan Beton

$$V_{\text{tiang}} = A_g \times L_{\text{tiang}}$$

$$= 282743.3388 \times (25 \times 1000)$$

$$= 7068583471 \text{ mm}^3$$

$$= 7.07 \text{ m}^3$$

$$= 8 \text{ m}^3$$

$$\text{Harga Beton fc'30 atau K 375} = \text{Rp } 1,275,000/\text{m}^3$$

$$\text{Jumlah harga beton} = \text{Volume tiang} \times \text{Harga beton}/\text{m}^3$$

$$= 8 \times \text{Rp } 1,275,000$$

$$= \text{Rp } 10,200,000$$

b. Perhitungan Besi

$$n_{\text{tul utama}} = 23 \text{ buah}$$

$$V_{\text{total}} = n_{\text{tulangan}} \times L_{\text{tiang}}$$

$$= 23 \times 25$$

$$= 575 \text{ m}$$

$$V_{\text{per 12 m}} = \text{volume total} / \text{panjang 1 btg tulangan}$$

$$= 575 \text{ m} / 12 \text{ m}$$

$$= 47.9 \text{ buah}$$

$$\text{Harga D25 @12m} = \text{Rp } 341,880$$

$$\text{Jumlah harga D25} = 47.9 \times \text{Rp } 341,880$$

$$= \text{Rp } 16,381,750$$

Tulangan sengkang

$$D13 -150 \text{ mm} = 0.15 \text{ m}$$

$$\begin{aligned} \text{Jumlah spiral pertiang} &= 25 / 0.15 \\ &= 167 \text{ buah} \end{aligned}$$

$$\begin{aligned} \text{Panjang 1 sengkang} &= 3.14 \times 0.6 \\ &= 1.88 \text{ m} \end{aligned}$$

$$\begin{aligned} \text{Pjg total sengkang} &= 167 \times 1.88 \\ &= 314.79 \text{ m} \end{aligned}$$

$$\begin{aligned} \text{Jml tul. @12 m} &= 314.79 / 12 \\ &= 26.23 \text{ buah} \end{aligned}$$

Harga D13 @12m = Rp 92,352

$$\begin{aligned} \text{Jumlah harga D13} &= 26.23 \times \text{Rp } 92,352 \\ &= \text{Rp } 2,422,605 \end{aligned}$$

Total Harga 1 buah tiang borpile D0.6 m L = 25m

$$\begin{aligned} &= \text{Harga Beton} + \text{Harga Tulangan D25} + \text{Harga Tulangan} \\ &\quad \text{D13} \end{aligned}$$

$$\begin{aligned} &= \text{Rp } 10,200,000 + \text{Rp } 16,381,750 + 2,422,605 \\ &= \text{Rp } 29,004,355 \end{aligned}$$

- c. Perhitungan kebutuhan borpile untuk kolam loncat indah

$$L1 = 21 \text{ m}$$

$$\begin{aligned} \text{Kebutuhan turap} &= 21 / 0.6 \\ &= 35 \text{ buah} \end{aligned}$$

$$L2 = 17 \text{ m}$$

$$\begin{aligned} \text{Kebutuhan turap} &= 17 / 0.6 \\ &= 29 \text{ buah} \end{aligned}$$

$$\begin{aligned} \text{Total borepile} &= 35 + 29 \\ &= 64 \text{ buah} \end{aligned}$$

5) BORED PILE D 0.8 m

Bored pile yang akan digunakan sebagai pondasi tiang pada struktur kolam renang

Diameter = 0.8 m

L tiang = 30 m

Mutu beton = 30 Mpa

Fy = 420 Mpa

D tul. Lentur = 25 mm

D tul.geser = 13 mm

Selimut beton = 40 mm

$$\text{Ag (Luas bore pile)} = 0.25 \times 3.14 \times D^2 \\ = 502654.8246 \text{ mm}^2$$

a. Perhitungan Beton

Volume tiang = Ag x L tiang

$$= 502654.8246 \times (34 \times 1000)$$

$$= 17090264036 \text{ mm}^3$$

$$= 17.1 \text{ m}^3$$

$$= 18 \text{ m}^3$$

Harga Beton fc'30 atau K 375 = Rp 1,275,000/m³

Jumlah harga beton = Volume tiang x Harga beton/m³

$$= 18 \times \text{Rp } 1,275,000$$

$$= \text{Rp } 22,950,000$$

b. Perhitungan Besi

n tul utama = 23 buah

Volume total = n tulangan x L tiang

$$= 23 \times 34$$

$$= 782 \text{ m}$$

Volume per 12 m = volume total / panjang 1 btg tulangan

$$= 782 \text{ m} / 12 \text{ m}$$

$$= 65.17 \text{ buah}$$

Harga D25 @12m = Rp 341,880

Jumlah harga D25 = 65.17 x Rp 341,880

$$= \text{Rp } 22,279,180$$

Tulangan sengkang

$$D13 -150 \text{ mm} = 0.15 \text{ m}$$

$$\begin{aligned} \text{Jumlah spiral pertiang} &= 34 / 0.15 \\ &= 227 \text{ buah} \end{aligned}$$

$$\begin{aligned} \text{Panjang 1 sengkang} &= 3.14 \times 0.8 \\ &= 2.51 \text{ m} \end{aligned}$$

$$\begin{aligned} \text{Pjg total sengkang} &= 227 \times 2.51 \\ &= 570.51 \text{ m} \end{aligned}$$

$$\begin{aligned} \text{Jml tul. @12 m} &= 570.51 / 12 \\ &= 47.54 \text{ buah} \end{aligned}$$

Harga D13 @12m = Rp 92,352

$$\begin{aligned} \text{Jumlah harga D13} &= 47.54 \times \text{Rp } 92,352 \\ &= \text{Rp } 4,390,670 \end{aligned}$$

Total Harga 1 buah tiang borpile D0.8 m L = 34 m

$$\begin{aligned} &= \text{Harga Beton} + \text{Harga Tulangan D25} + \text{Harga Tulangan} \\ &\quad D13 \end{aligned}$$

$$\begin{aligned} &= \text{Rp } 22,950,000 + \text{Rp } 22,279,180 + \text{Rp } 4,390,670 \\ &= \text{Rp } 49,619,850 \end{aligned}$$

- c. kebutuhan tiang pancang borpile untuk kolam renang = 40 buah

6) BORED PILE D 0.8 m

Bored pile yang akan digunakan sebagai pondasi tiang pada struktur kolam loncat indah dengan spesifikasi

Diameter = 0.8 m

L tiang = 34 m

Mutu beton = 30 Mpa

Fy = 420 Mpa

D tul. Lentur = 25 mm

D tul.geser = 13 mm

Selimut beton = 40 mm

$$\begin{aligned} A_g (\text{Luas bore pile}) &= 0.25 \times 3.14 \times D^2 \\ &= 502654.8246 \text{ mm}^2 \end{aligned}$$

a. Perhitungan Beton

Volume tiang = $A_g \times L$ tiang

$$= 502654.8246 \times (30 \times 1000)$$

$$= 15079644737 \text{ mm}^3$$

$$= 15.08 \text{ m}^3$$

$$= 16 \text{ m}^3$$

Harga Beton fc'30 atau K 375 = Rp 1,275,000/m³

Jumlah harga beton = Volume tiang x Harga beton/m³

$$= 16 \times \text{Rp } 1,275,000$$

$$= \text{Rp } 20,400,000$$

b. Perhitungan Besi

n tul utama = 23 buah

Volume total = n tulangan x L tiang

$$= 23 \times 30$$

$$= 690 \text{ m}$$

Volume per 12 m = volume total / panjang 1 btg tulangan

$$= 690 \text{ m} / 12 \text{ m}$$

$$= 57.5 \text{ buah}$$

Harga D25 @12m = Rp 341,880

Jumlah harga D25 = 57.5 x Rp 341,880

$$= \text{Rp } 19,658,100$$

Tulangan sengkang

D13 -150 mm = 0.15 m

Jumlah spiral pertiang = $30 / 0.15$

= 200 buah

Panjang 1 sengkang = 3.14×0.8

= 2.51 m

Pjg total sengkang = 200×2.51

= 502.65 m

Jml tul. @12 m = $502.65 / 12$

= 41.89 buah

Harga D13 @12m = Rp 92,352

Jumlah harga D13 = $41.89 \times \text{Rp } 92,352$

= Rp 3,868,432

Total Harga 1 buah tiang borpile D0.8 m L = 30 m

= Harga Beton + Harga Tulangan D25 + Harga Tulangan
D13

= Rp 20,400,000 + 19,658,100 + Rp 3,868,432

= Rp 43,926,532

- c. kebutuhan tiang pancang borpile untuk kolam loncat indah
= 36 buah

7) Steel Pipe pile

Pipe pile yang akan digunakan sebagai turap

Diameter = 0.4 m

L tiang = 25 m

Tebal = 6 mm

Perhitungan Kebutuhan Pile untuk sisi penahan galian tanah

L1 = 21m

$$\begin{aligned}\text{Kebutuhan turap} &= 21 / 0.4 \\ &= 53 \text{ buah}\end{aligned}$$

L2 = 17 m

$$\begin{aligned}\text{Kebutuhan turap} &= 17 / 0.4 \\ &= 43 \text{ buah}\end{aligned}$$

Total tiang = 53 + 43

= 96 buah

Perhitungan Kebutuhan Pile untuk sisi ujung timbunan untuk menghindari penurunan muka air tanah di area luar kolam

L1 = 41 m

$$\begin{aligned}\text{Kebutuhan turap} &= 41 / 0.4 \\ &= 103 \text{ buah}\end{aligned}$$

L2 = 27 m

$$\begin{aligned}\text{Kebutuhan turap} &= 27 / 0.4 \\ &= 68 \text{ buah}\end{aligned}$$

Total borepile = 103 + 68

= 171 buah

8) Steel Sheet Pile

Sheet pile yang akan digunakan sebagai turap tipe NSP II

Dimensi = 0.4 x 0.1 m

L tiang = 25 m

Tebal = 10.5 mm

Perhitungan Kebutuhan Pile untuk sisi penahan galian tanah

L1 = 21m

$$\begin{aligned}\text{Kebutuhan turap} &= 21 / 0.4 \\ &= 53 \text{ buah}\end{aligned}$$

L2 = 17 m

$$\begin{aligned}\text{Kebutuhan turap} &= 17 / 0.4 \\ &= 43 \text{ buah}\end{aligned}$$

$$\begin{aligned}\text{Total tiang} &= 53 + 43 \\ &= 96 \text{ buah}\end{aligned}$$

Perhitungan Kebutuhan Pile untuk sisi ujung timbunan untuk menghindari penurunan muka air tanah di area luar kolam

$$L1 = 41 \text{ m}$$

$$\begin{aligned}\text{Kebutuhan turap} &= 41 / 0.4 \\ &= 103 \text{ buah}\end{aligned}$$

$$L2 = 27 \text{ m}$$

$$\begin{aligned}\text{Kebutuhan turap} &= 27 / 0.4 \\ &= 68 \text{ buah}\end{aligned}$$

$$\begin{aligned}\text{Total borepile} &= 103 + 68 \\ &= 171 \text{ buah}\end{aligned}$$

9) DINDING

$$\begin{aligned}\text{Tebal} &= 0.3 \text{ m} \\ \text{Mutu beton} &= 30 \text{ Mpa} \\ \text{Fy} &= 420 \text{ Mpa} \\ \text{dia tul. Utama} &= 13 \text{ mm} \\ \text{dia tul.bagi} &= 8 \text{ mm} \\ \text{Selimut beton} &= 50 \text{ mm} \\ \text{H dinding} &= 6.5 \text{ m} \\ \text{L1} &= 21 \text{ m} \\ \text{L2} &= 17 \text{ m}\end{aligned}$$

a. Perhitungan Beton

$$\begin{aligned}\text{Volume beton/m}^2 &= 1 \text{ m} \times 1 \text{ m} \times 0.3 \text{ m} \\ &= 0.3 \text{ m}^3\end{aligned}$$

$$\text{Harga Beton fc'30} = \text{Rp } 1,275,000 / \text{m}^3$$

$$\begin{aligned}\text{Jumlah harga beton} &= 0.3 \times \text{Rp } 1,275,000 \\ &= \text{Rp } 382,500\end{aligned}$$

b. Perhitungan Besi

$$\text{n tul utama} = 6 \text{ buah/m'}$$

$$\text{dipasang 2 lapis}$$

$$\text{Volume total} = 2 \times 6 = 12 \text{ m}$$

Jumlah @12 m = 1.00 buah

Harga D13 @12m = Rp 92,352

Jumlah harga D13 = Rp 92,352

Tulangan bagi

D8 mm

n tul utama = 6 buah/m'

dipasang 2 lapis

Volume total = 12 m

Jumlah tul @12 m = 1.00 buah

Harga Ø8 @12m = Rp 35,076

Jumlah harga Ø8 = Rp 35,076

c. Harga dinding per m^2

Beton = Rp 382,500

D13 = Rp 92,352

Ø8 = Rp 35,076

Harga dinding/ m^2 = Rp 509,928

d. Kebutuhan dinding kolam loncat indah

Luasan I = 2 buah x 21 m x 6.5 m

= 273 m^2

Luasan II = 2 bh x 17 m x 6.5 m

= 221 m^2

Luas total = 494 m^2

e. Kebutuhan dinding kolam renang

Luasan I = 2 buah x 21 m x 2 m

= 84 m^2

Luasan II = 2 bh x 50 m x 2 m

= 200 m^2

Luas total = 284 m^2

10) PELAT LANTAI

Tebal = 0.5 m
 Mutu beton = 30 Mpa
 Fy = 420 Mpa
 dia tul. Utama = 13 mm
 dia tul.bagi = 13 mm
 Selimut beton = 50 mm

a. Perhitungan Beton

Volume beton/m² = 0.5 m³
 Harga Beton fc'30 = Rp 1,275,000/m³
 Jumlah harga beton = 0.5 x Rp 1,275,000
 = Rp 637,500

b. Perhitungan Besi

n tulangan arah x
 dipasang 2 lapis
 Volume total = 20 m
 Jumlah @12 m = 1.67 buah
 Harga D13 @12m = Rp 92,352
 Jumlah harga D13 = 1.67 x Rp 92,352
 = Rp 153,920

n tulangan arah y
 n tul utama = 10 buah/m'
 dipasang 2 lapis
 Volume total = 20 m
 Jumlah @12 m = 1.67 buah
 Harga D13 @12m = Rp 92,352
 Jumlah harga D13 = Rp 153,920

c. Harga Lantai per m²

Beton = Rp 637,500
 D13 = Rp 153,920
 D13 = Rp 153,920
 Harga Lantai/ m² = Rp 945,340

11) GEOTEXTILE

a. Area kolam loncat indah

| No | L per lapis | Larea | m2 bahan |
|----|-------------|-------|-------------|
| 1 | 16.00 | 27 | 432 |
| 2 | 15.00 | 27 | 405 |
| 3 | 14.00 | 27 | 378 |
| 4 | 13.00 | 27 | 351 |
| 5 | 12.00 | 27 | 324 |
| 6 | 11.00 | 27 | 297 |
| 7 | 10.00 | 27 | 270 |
| 8 | 9.00 | 27 | 243 |
| 9 | 8.00 | 27 | 216 |
| | | | 2916 |

Kebutuhan 2 sisi timbunan = 5832

b. Area Kolam renang

| No | L per lapis | Larea | m2 bahan |
|----|-------------|-------|-------------|
| 1 | 16.00 | 60 | 960 |
| 2 | 15.00 | 60 | 900 |
| 3 | 14.00 | 60 | 840 |
| 4 | 13.00 | 60 | 780 |
| 5 | 12.00 | 60 | 720 |
| 6 | 11.00 | 60 | 660 |
| 7 | 10.00 | 60 | 600 |
| 8 | 9.00 | 60 | 540 |
| 9 | 8.00 | 60 | 480 |
| | | | 6480 |

Kebutuhan 2 sisi timbunan = 12960

12) PVD

a. Area Kolam Loncat indah

Jarak PVD = 0.7 m

Panjang pemasangan 1 = 33 m

$$\text{arah x} = (30 / 0.7) - 1$$

$$= 42 \text{ Titik}$$

$$\text{arah y} = (27+8.4 / 0.7) - 1$$

$$= 50 \text{ Titik}$$

$$\text{Jumlah titik} = 42 \times 50$$

$$= 2100 \text{ Titik}$$

Panjang pemasangan 2 = 5 m

$$\text{arah x} = (2 \times 8.4 / 0.7) - 1$$

$$= 23 \text{ Titik}$$

$$\text{arah y} = (27+8.4 / 0.7) - 1$$

$$= 50 \text{ Titik}$$

$$\text{Jumlah titik} = 23 \times 50$$

$$= 1150 \text{ Titik}$$

$$\text{Kebutuhan PVD} = (2100 \times 33) + (1150 \times 5)$$

$$= 93950 \text{ m}$$

b. Area Kolam Renang

Jarak PVD = 0.7 m

Panjang pemasangan = 33 m

$$\text{arah x} = (30 / 0.7) - 1$$

$$= 42 \text{ Titik}$$

$$\text{arah y} = (60+8.4 / 0.7) - 1$$

$$= 97 \text{ Titik}$$

$$\text{Jumlah titik} = 42 \times 97$$

$$= 4074 \text{ Titik}$$

Panjang pemasangan 2 = 5 m

$$\text{arah x} = (2 \times 8.4 / 0.7) - 1$$

$$= 23 \text{ Titik}$$

$$\text{arah y} = (60+8.4 / 0.7) - 1$$

$$= 97 \text{ Titik}$$

$$\begin{aligned}\text{Jumlah titik} &= 23 \times 97 \\ &= 2231 \text{ Titik}\end{aligned}$$

$$\begin{aligned}\text{Kebutuhan PVD} &= (4074 \times 33) + (2231 \times 5) \\ &= 145597 \text{ m}\end{aligned}$$



INSTITUT TEKNOLOGI
SEPULUH NOPEMBER
SURABAYA

JURUSAN TEKNIK SIPIL
PROGRAM STUDI
S1 LINTAS JALUR
FAKULTAS TEKNIK SIPIL
DAN PERENCANAAN

JUDUL TUGAS AKHIR

Alternatif Perencanaan
Geoteknik untuk Pembangunan
Kolam Loncat Indah di
Banjarmasin

NAMA & NRP MHS.

Noor Hadiawati Aisyah
3114 105 009

DOSEN PEMBIMBING I

Prof. Ir. Indrasurya B.M, M.Sc,
Ph.D

DOSEN PEMBIMBING II

Ir. Suwarno, M.Eng

JUDUL GAMBAR

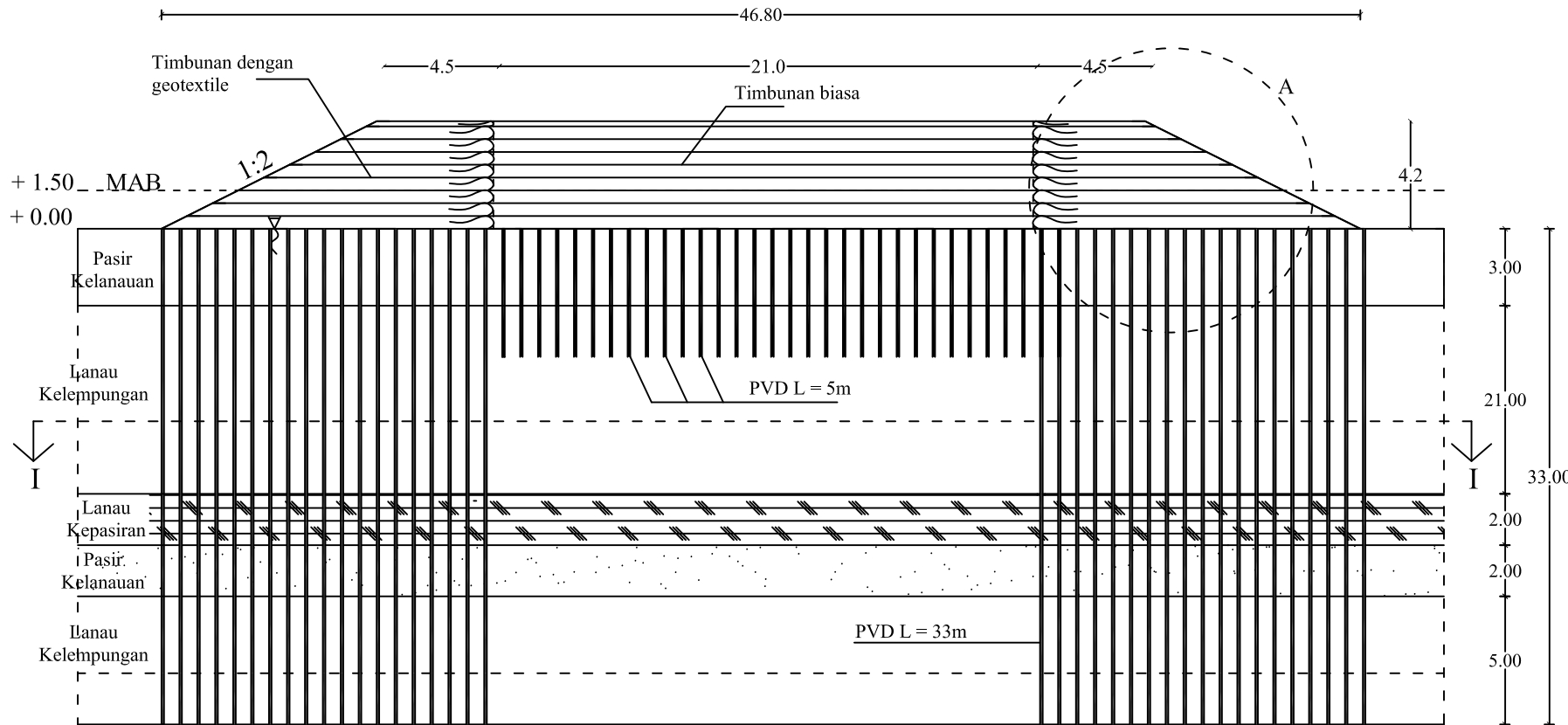
Perencanaan Preloading &
PVD

SKALA GAMBAR

CATATAN

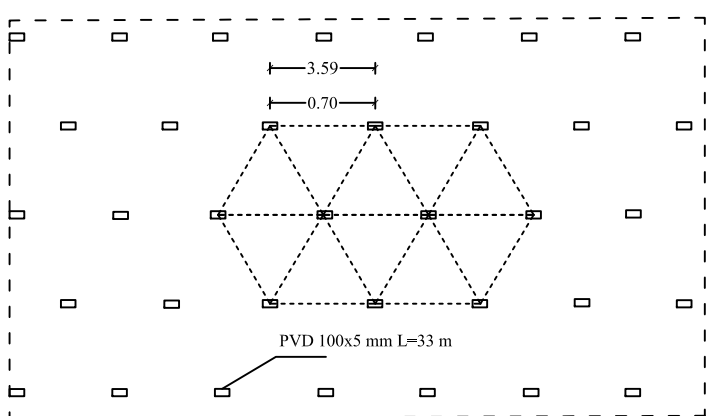
NO.GAMBAR JML.GAMBAR

1 7



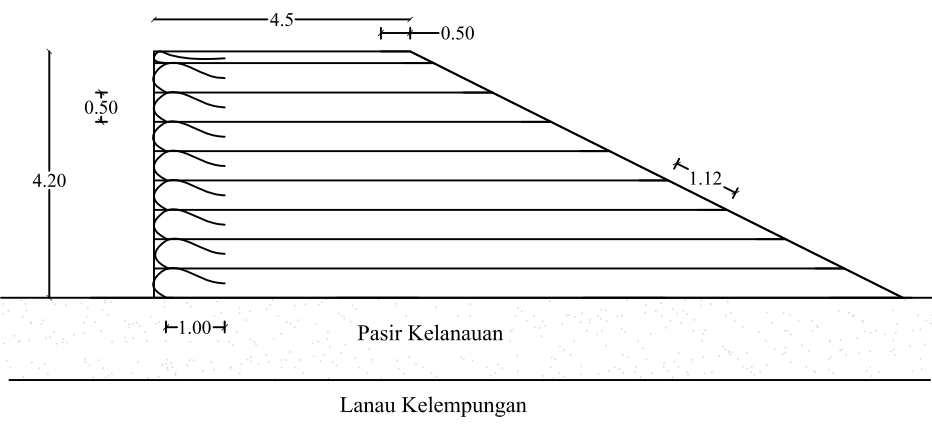
PERENCANAAN PRELOADING & PVD

Skala 1 : 250
Satuan dalam M



POT. I-I PVD POLA PEMASANGAN SEGITIGA

Skala 1 : 20
Satuan dalam M



DET. A-A PERKUATAN GEOTEXTILE

Skala 1 : 50
Satuan dalam M



INSTITUT TEKNOLOGI
SEPULUH NOPEMBER
SURABAYA

JURUSAN TEKNIK SIPIL
PROGRAM STUDI
S1 LINTAS JALUR
FAKULTAS TEKNIK SIPIL
DAN PERENCANAAN

JUDUL TUGAS AKHIR

Alternatif Perencanaan
Geoteknik untuk Pembangunan
Kolam Loncat Indah di
Banjarmasin

NAMA & NRP MHS.

Noor Hadiawati Aisyah
3114 105 009

DOSEN PEMBIMBING I

Prof. Ir. Indrasurya B.M, M.Sc,
Ph.D

DOSEN PEMBIMBING II

Ir. Suwarno, M.Eng

JUDUL GAMBAR

Layout Perencanaan Kolam
Loncat Indah

SKALA GAMBAR

1 : 250

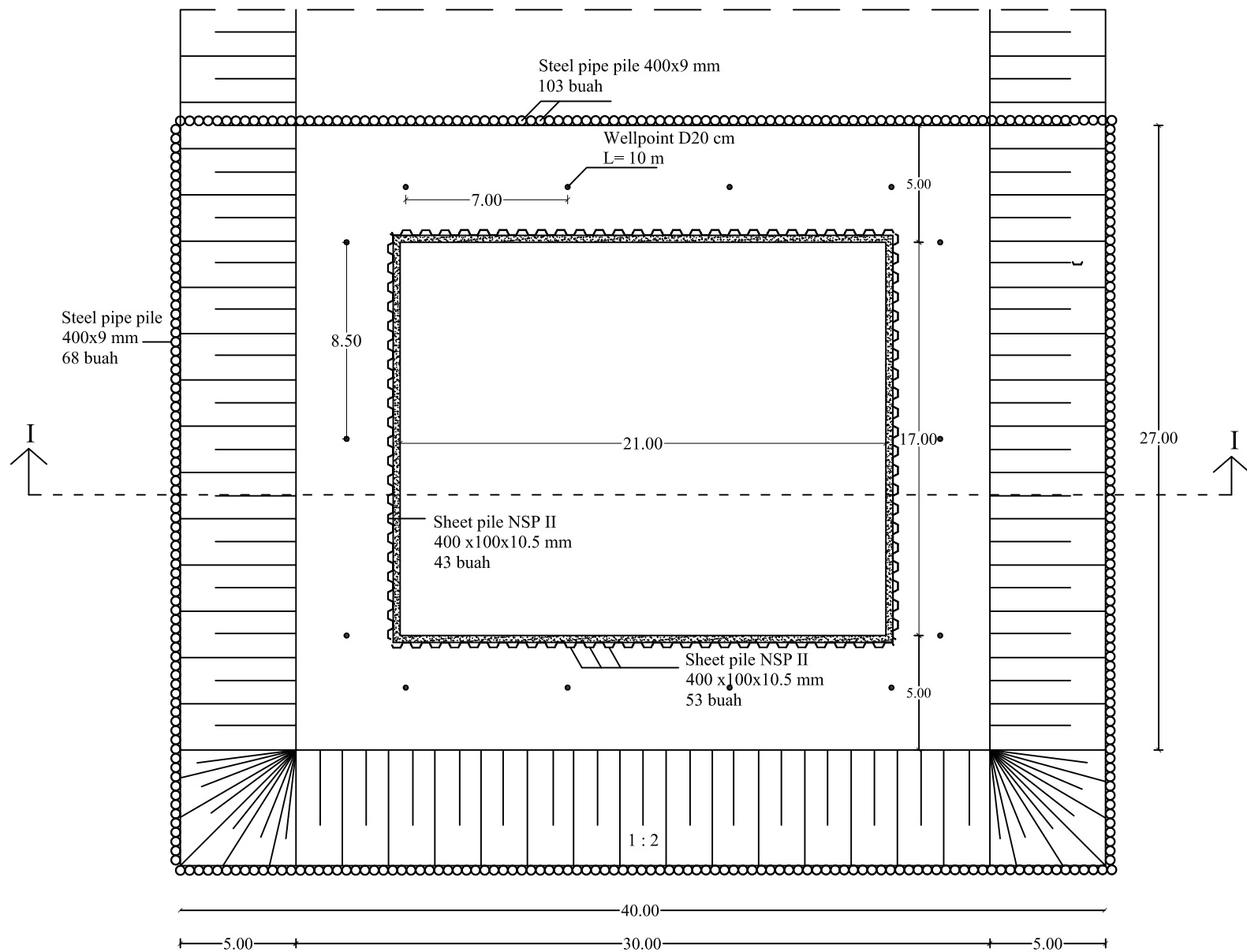
CATATAN

Satuan dalam meter

NO.GAMBAR JML.GAMBAR

2

7





INSTITUT TEKNOLOGI
SEPULUH NOPEMBER
SURABAYA

JURUSAN TEKNIK SIPIL
PROGRAM STUDI
S1 LINTAS JALUR
FAKULTAS TEKNIK SIPIL
DAN PERENCANAAN

JUDUL TUGAS AKHIR

Alternatif Perencanaan
Geoteknik untuk Pembangunan
Kolam Loncat Indah di
Banjarmasin

NAMA & NRP MHS.

Noor Hadiawati Aisyah
3114 105 009

DOSEN PEMBIMBING I

Prof. Ir. Indrasurya B.M, M.Sc,
Ph.D

DOSEN PEMBIMBING II

Ir. Suwarno, M.Eng

JUDUL GAMBAR

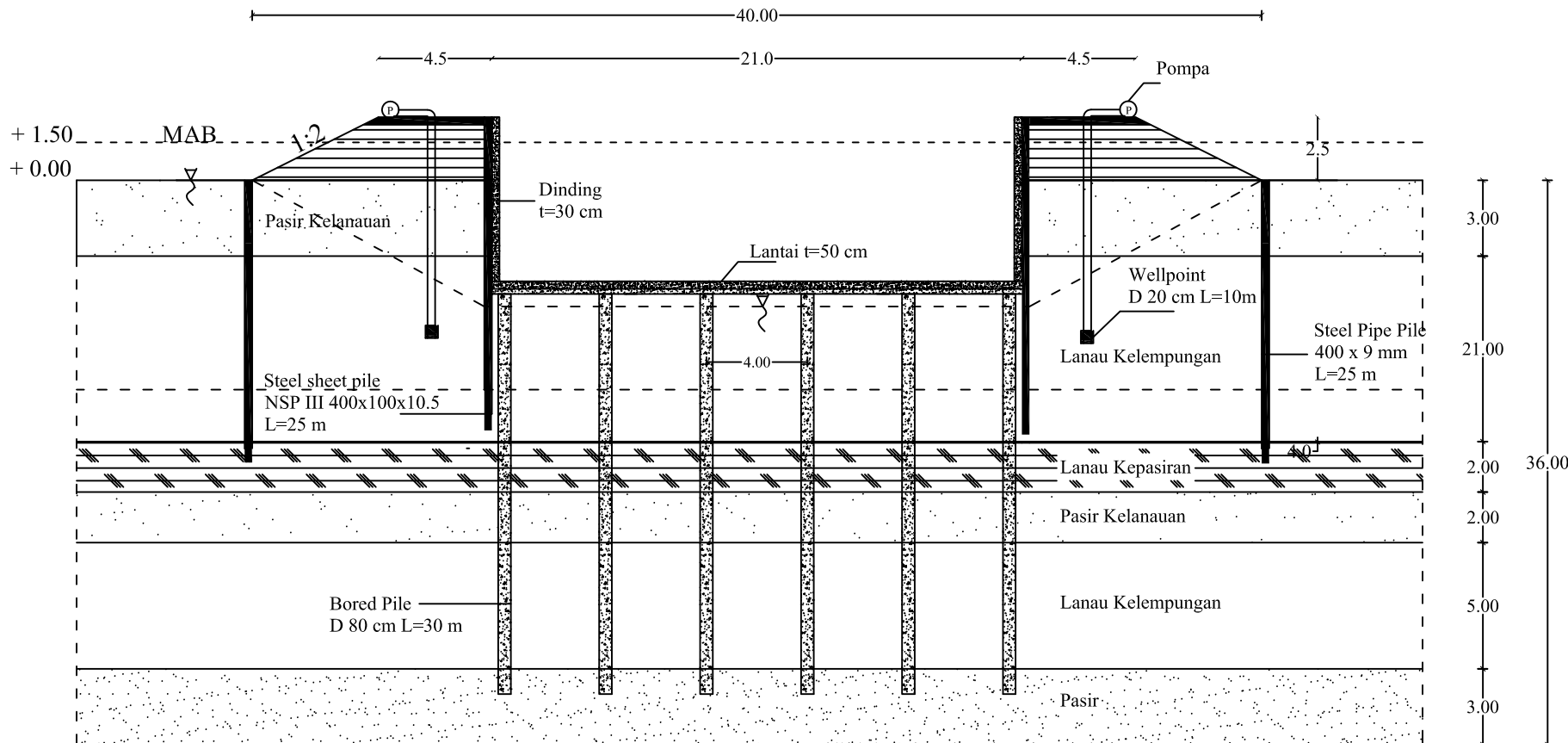
Potongan I-I
Perencanaan Kolam
Loncat Indah

SKALA GAMBAR

1 : 250

CATATAN

Satuan dalam meter



NO.GAMBAR JML.GAMBAR

3 7



INSTITUT TEKNOLOGI
SEPULUH NOPEMBER
SURABAYA

JURUSAN TEKNIK SIPIL
PROGRAM STUDI
S1 LINTAS JALUR
FAKULTAS TEKNIK SIPIL
DAN PERENCANAAN

JUDUL TUGAS AKHIR

Alternatif Perencanaan
Geoteknik untuk Pembangunan
Kolam Loncat Indah di
Banjarmasin

NAMA & NRP MHS.

Noor Hadiawati Aisyah
3114 105 009

DOSEN PEMBIMBING I

Prof. Ir. Indrasurya B.M, M.Sc,
Ph.D

DOSEN PEMBIMBING II

Ir. Suwarno, M.Eng

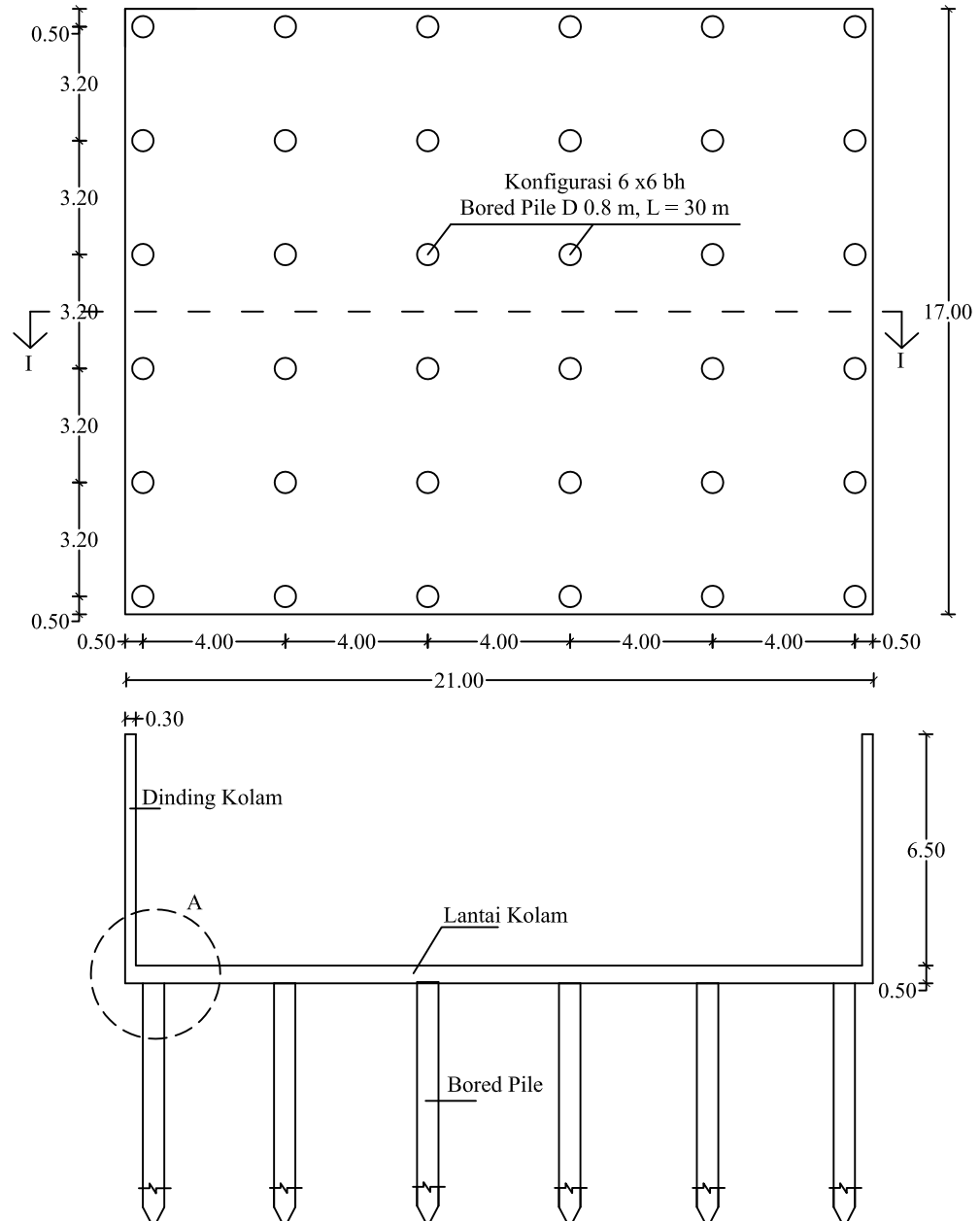
JUDUL GAMBAR

Struktur Kolam Loncat Indah

SKALA GAMBAR

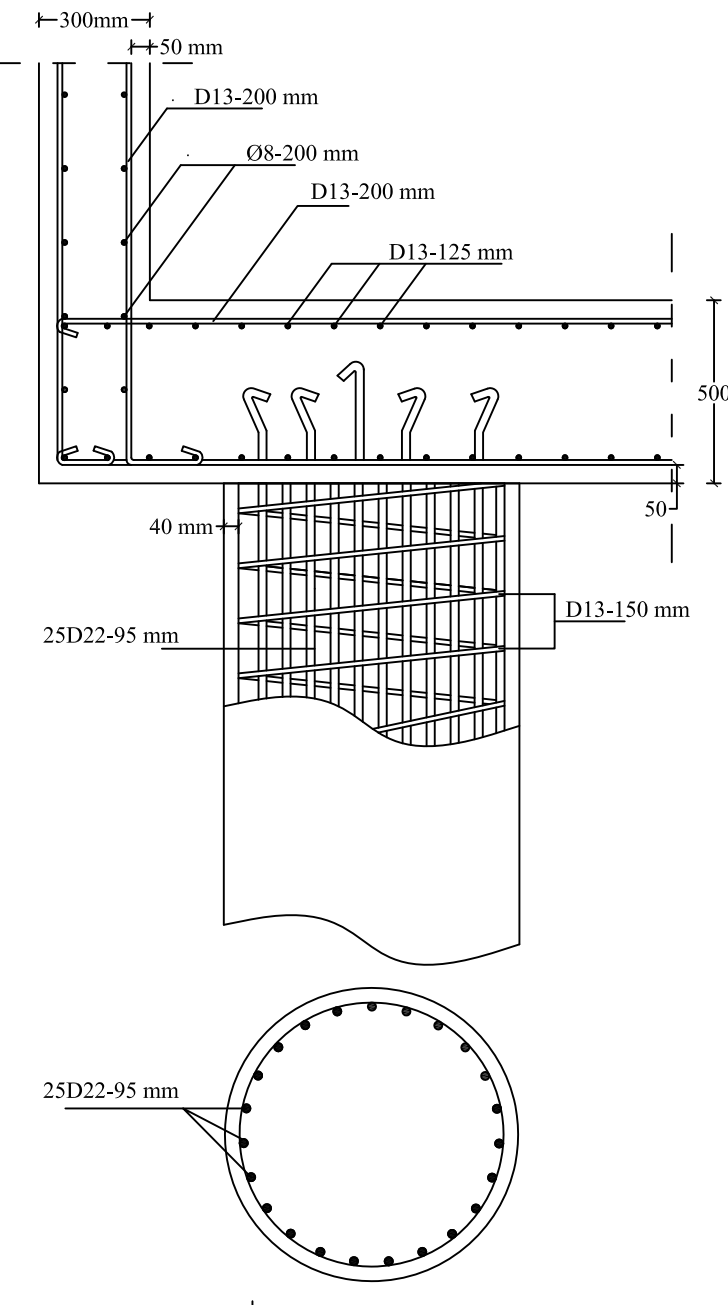
CATATAN

| NO.GAMBAR | JML.GAMBAR |
|-----------|------------|
| 4 | 7 |



STRUKTUR KOLAM LONCAT INDAH

Skala 1 : 200
Satuan dalam M



DETAIL A
Skala 1 : 200
Satuan dalam mm



INSTITUT TEKNOLOGI
SEPULUH NOPEMBER
SURABAYA

JURUSAN TEKNIK SIPIL
PROGRAM STUDI
S1 LINTAS JALUR
FAKULTAS TEKNIK SIPIL
DAN PERENCANAAN

JUDUL TUGAS AKHIR

Alternatif Perencanaan
Geoteknik untuk Pembangunan
Kolam Renang Indah di
Banjarmasin

NAMA & NRP MHS.

Noor Hadiawati Aisyah
3114 105 009

DOSEN PEMBIMBING I

Prof. Ir. Indrasurya B.M, M.Sc,
Ph.D

DOSEN PEMBIMBING II

Ir. Suwarno, M.Eng

JUDUL GAMBAR

Layout Perencanaan Kolam
Renang

SKALA GAMBAR

1 : 250

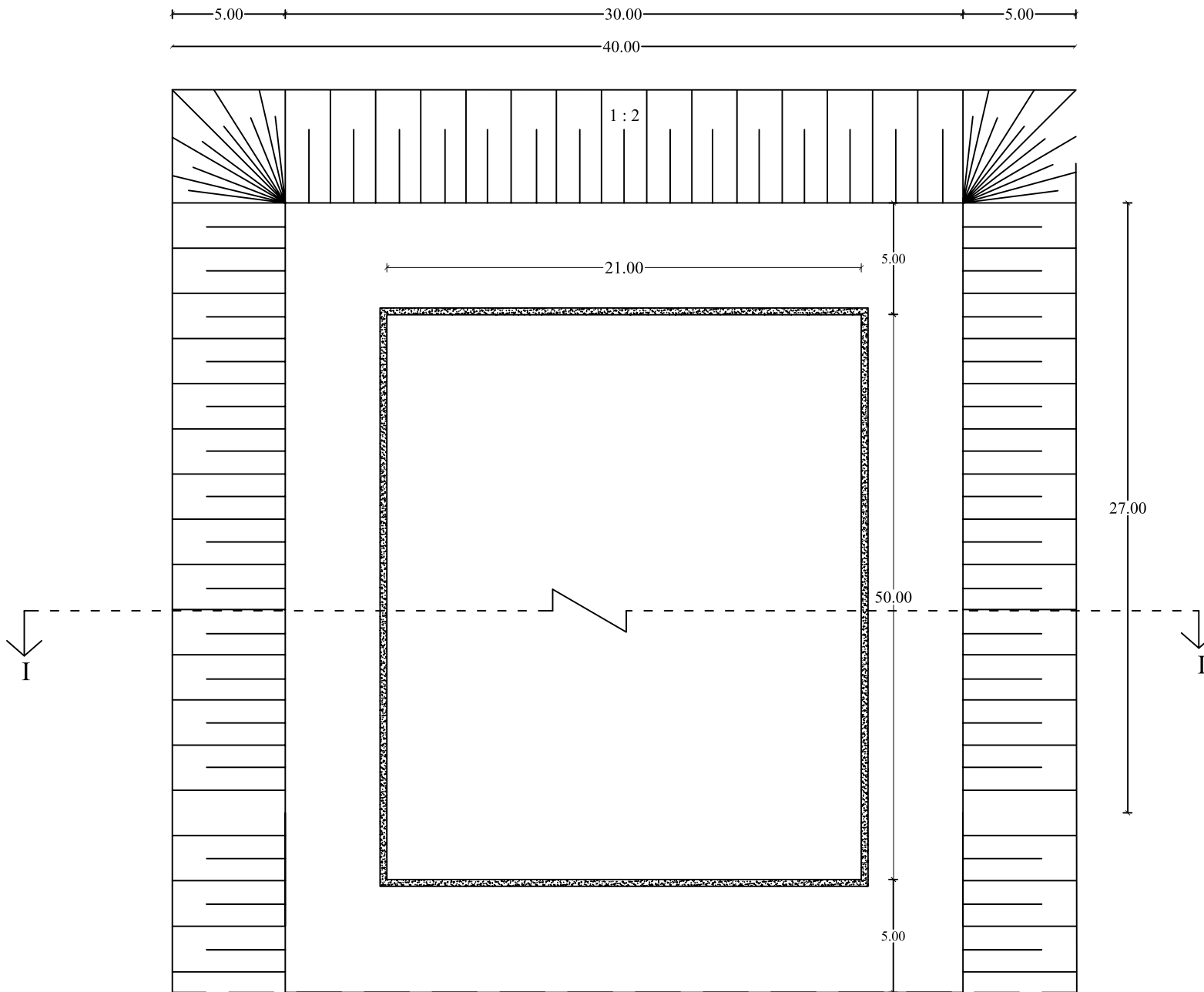
CATATAN

Satuan dalam meter

NO.GAMBAR JML.GAMBAR

5

7





INSTITUT TEKNOLOGI
SEPULUH NOPEMBER
SURABAYA

JURUSAN TEKNIK SIPIL
PROGRAM STUDI
S1 LINTAS JALUR
FAKULTAS TEKNIK SIPIL
DAN PERENCANAAN

JUDUL TUGAS AKHIR

Alternatif Perencanaan
Geoteknik untuk Pembangunan
Kolam Renang Indah di
Banjarmasin

NAMA & NRP MHS.

Noor Hadiawati Aisyah
3114 105 009

DOSEN PEMBIMBING I

Prof. Ir. Indrasurya B.M, M.Sc,
Ph.D

DOSEN PEMBIMBING II

Ir. Suwarno, M.Eng

JUDUL GAMBAR

Potongan I-I
Perencanaan Kolam
Renang

SKALA GAMBAR

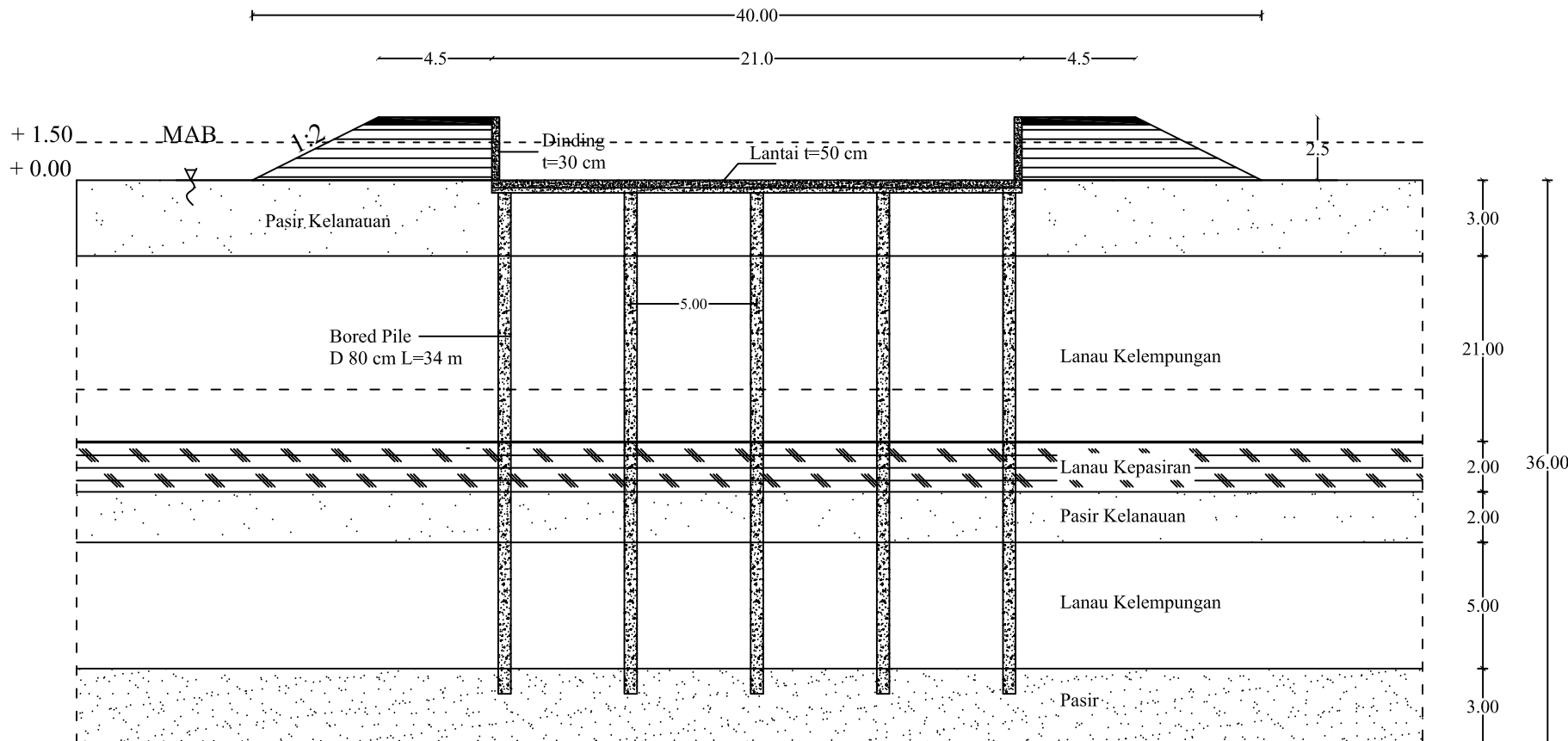
1 : 250

CATATAN

Satuan dalam meter

NO.GAMBAR JML.GAMBAR

6 7





INSTITUT TEKNOLOGI
SEPULUH NOPEMBER
SURABAYA

JURUSAN TEKNIK SIPIL
PROGRAM STUDI
S1 LINTAS JALUR
FAKULTAS TEKNIK SIPIL
DAN PERENCANAAN

JUDUL TUGAS AKHIR

Alternatif Perencanaan
Geoteknik untuk Pembangunan
Kolam Renang Indah di
Banjarmasin

NAMA & NRP MHS.

Noor Hadiawati Aisyah
3114 105 009

DOSEN PEMBIMBING I

Prof. Ir. Indrasurya B.M, M.Sc,
Ph.D

DOSEN PEMBIMBING II

Ir. Suwarno, M.Eng

JUDUL GAMBAR

Struktur Kolam Renang

SKALA GAMBAR

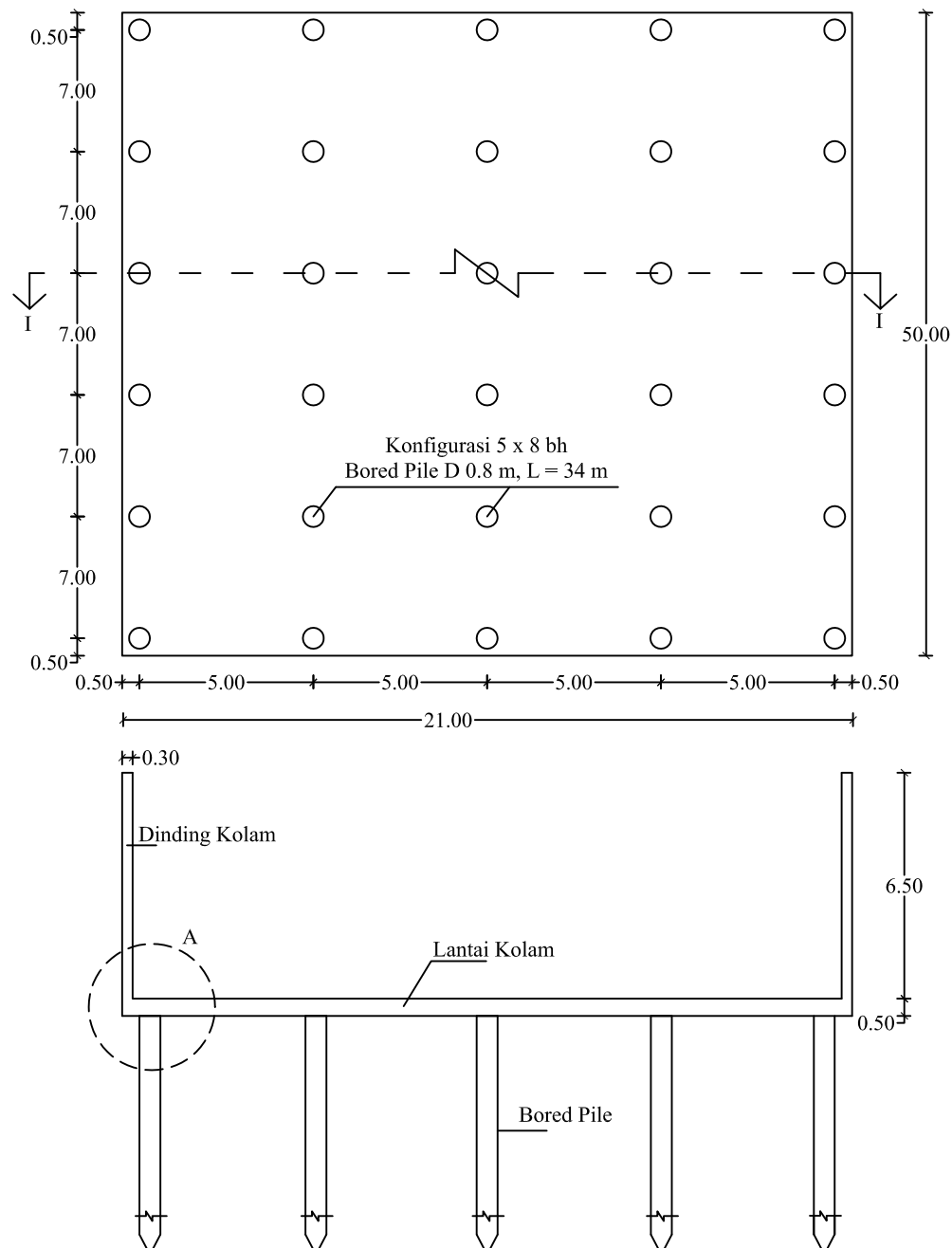
CATATAN

Skala untuk denah konfigurasi
 $v = 1 : 400$

NO.GAMBAR JML.GAMBAR

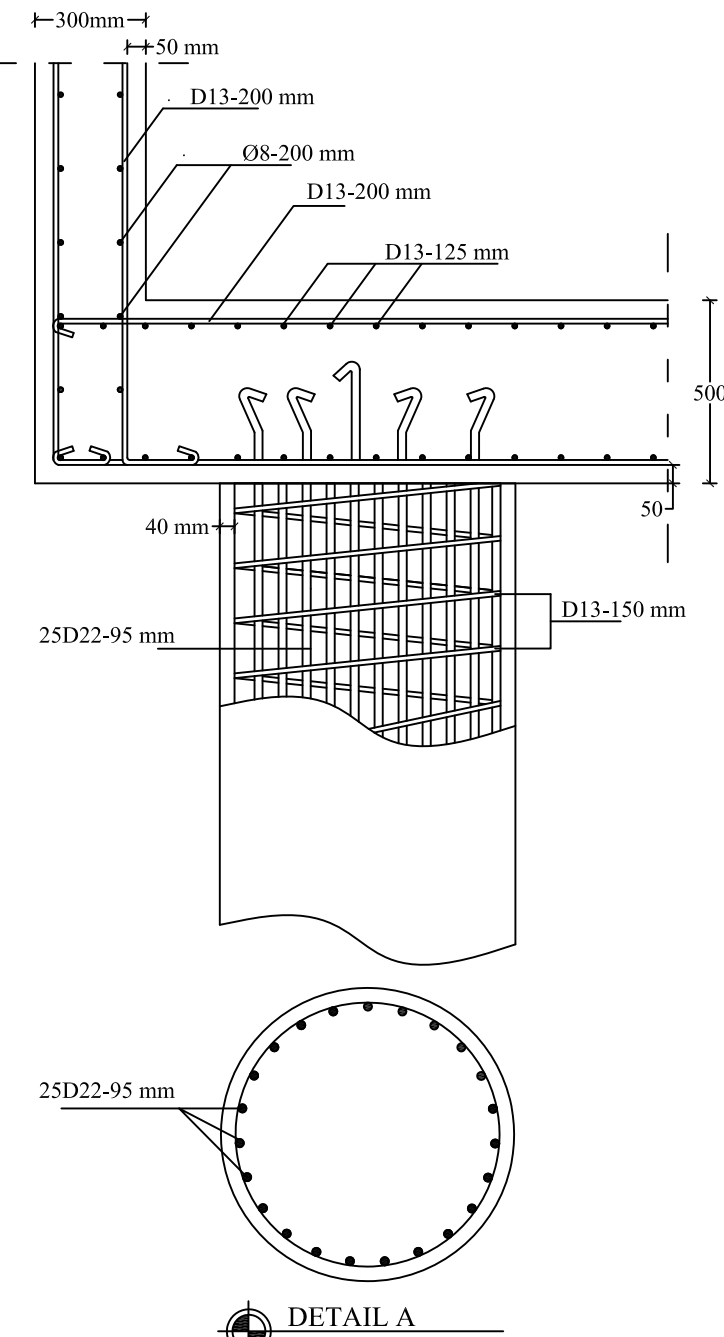
7

7



STRUKTUR KOLAM RENANG

Skala 1 : 200
Satuan dalam M



| NO.GAMBAR | JML.GAMBAR |
|-----------|------------|
| 7 | 7 |

BIODATA PENULIS



Noor Hadiawati Aisyah

Lahir di Tamiang Layang, 04 Nopember 1992, merupakan anak bungsu dari 6 bersaudara.

Penulis telah menempuh pendidikan formal di SDN 6 Buntok, SMPN 1 Dusun Selatan, dan SMAN 1 Dusun Selatan, Kalimantan Tengah. Penulis kemudian melanjutkan studi D3 Teknik Sipil Bidang Konstruksi Sipil di Politeknik Negeri Semarang tahun 2010 – 2013.

Pada periode Nopember 2013 – Mei 2014, penulis bekerja di PT. KBK Mirah Gold Mining Project sebagai Construction Officer. Selanjutnya pada Juli 2014 penulis melanjutkan pendidikan sarjananya di Institut Teknologi Sepuluh Nopember Surabaya Jurusan Teknik Sipil (FTSP-ITS) melalui Program Lintas Jalur dan terdaftar dengan NRP. 3114105009 dan penulis adalah Mahasiswa Program Sarjana dengan bidang Studi Geoteknik. Bagi pembaca yang ingin berdiskusi, memberikan kritik dan saran dapat berkorespondensi melalui email :

noorhadiawati.a@gmail.com